

# 调幅调频接收机的設計

苏联著 陈鹤良译

科学出版社·北京·杭州·南京

人民邮电出版社

# 調幅調頻接收机的設計

苏联 K. A. 舒茨科依

張 鴻 騰

余 琦 譯

張 鍾

人民出版社

К. А. ЩУЦКОЙ  
ПРОЕКТИРОВАНИЕ  
РАДИОПРИЕМНИКОВ  
АМПЛИТУДНО-  
И  
ЧАСТОТНО-МОДУЛИРОВАННЫХ  
СИГНАЛОВ  
ГОСЭНЕРГОИЗДАТ 1958

本書首先敘述了調幅和調頻的無線電接收机的一般原理、結構和对这些接收机的主要要求。其次介紹了設計無線電接收机的技术要求，以及怎样选择接收机各部分的电路。然后討論了接收机各部分电路的計算方法。

本書可以作为中等無線電技术学校学生的参考書，也可以供高等学校無線电接收专业的学生，以及从事無線電接收机設計工作的工程技术人员参考。

調幅調頻接收机的設計

---

著者：苏联 K. A. 什 裕 依  
译者：張溥懿 余 玲 張 錄  
出版者：人 民 高 电 山 版 社  
北京東四6號13号  
(北京市電利圖書公司，許可證編號0四八号)  
印刷者：北 京 印 刷 一 厂  
發行者：新 华 書 店

---

五九 737 1992 3/32 1959年11月北京第一版  
开本 787×1092mm 1/16 115 1959年11月北京第一次印刷  
印数字：166,000册 印数 1—2,700 册

统一書号：15045·总1086-無295  
定价：(10) 0.94 元

## 序 言

接收机的設計是以闡述無線電接收机和它的各級工作原理的無線電接收設備的教科書為基礎的。由於教科書里沒有談到設計無線電接收机的特点，所以學生們在選擇接收机的电路、在各級間分配參量、計算各級和綜合特性曲線的時候，就遇到了很大的困難。

中等無線電工業技术学校的学生們需要有这样的一本參考書，它应当包括有選擇無線電接收机电路的一般方法、分配各級參量的标准、闡述選擇各級电路的一般方法和它們的全部計算過程，以及計算綜合特性曲線的方法。本書就是企圖滿足這方面的要求的一個嘗試。

書里列舉了計算調幅和調頻的超外差接收机就是通信接收机、干線通信用接收机和广播接收机的方法。

本書沒有談到直接放大式接收机的計算問題，因為目前很少使用它們。但是書里引用的資料可以用来計算用二極管檢波器的直接放大式接收机。

低頻放大器的計算通常是單獨討論的，因此書里只談了這類放大器的初步計算方法。

作者在關於放大器穩定度問題的許多著作里提出了穩定增益系數的條件，本書在計算接收机的放大級的時候，引用了上述條件。

鏡頻波道的選擇性是采用一般教科書里所沒有的公式來計算的。因此，在附錄里給出了輸入裝置和高頻放大器等對鏡頻波道的選擇性的公式的推導。

本書闡述問題的方式是力求使學生能根據給與他們的技术課題獨立地來選擇和討論接收机和各級的电路，能進行全部計算并求出接收机的主要特性曲線。

作 者

# 目 录

## 序言

<b>第一章 調幅和調頻無線電接收机的概述和对它們的主要要求</b>	<b>1</b>
1-1 調幅和調頻無線電接收机的概述	1
1-2 对調幅和調頻接收机的主要要求	6
<b>第二章 設計無線電接收机的技术要求及其初步計算</b>	<b>16</b>
2-1 設計專業通信無線電接收机的技术要求	16
2-2 設計無線電广播接收机的技术要求	18
2-3 無線電接收机电路类型的选择	20
2-4 电子管类型的选择	21
2-5 中頻的选择	22
2-6 通頻帶的計算	24
2-7 实际灵敏度的計算	28
2-8 增益系数的計算及其在接收机各系統的分配	31
2-9 选择性和通頻帶不均匀性的指标在各系統間的分配	37
2-10 射頻系統的回路衰減和級數的确定	41
2-11 中頻系統的回路衰減和級數的确定	49
2-12 自动增益調整的初步計算	54
2-13 低頻系統級數的确定	55
2-14 無線電接收机簡圖的組成	56
2-15 通信接收机的初步計算举例	58
<b>第三章 輸入裝置的計算</b>	<b>67</b>
3-1 輸入裝置概述	67
3-2 輸入电路的选择	69
3-3 用頻帶工作的輸入回路的計算	71
3-4 用固定频率工作的輸入回路的計算	74

3-5	自耦变压器耦合的輸入裝置的計算	74
3-6	变压器耦合的輸入裝置的計算	78
3-7	串联电感耦合的輸入裝置的計算	80
3-8	諧振線耦合的輸入裝置的計算	82
3-9	使回路具有最小噪声系数的变换系数和輸入裝置的傳輸 系数的計算	86
3-10	回路和天綫用電容耦合的輸入裝置的計算	87
3-11	回路和天綫用內電容耦合的輸入裝置的計算	89
3-12	回路和天綫用电感耦合的輸入裝置的計算	93
3-13	回路与天綫用双电容和电感耦合的双回路輸入裝置的 計算	98
3-14	对等于中頻的干扰频率的选择性的計算和阻抗陷波器的 計算	102
<b>第四章 高頻放大器的計算</b>		107
4-1	概述	107
4-2	电路的选择	108
4-3	計算高頻放大級的原始数据	111
4-4	自耦变压器耦合的放大級的計算	112
4-5	直接耦合的放大級的計算	116
4-6	串联电感耦合的放大級的計算	119
4-7	共栅極和直接耦合的放大級的計算	121
4-8	共栅極和諧振線耦合的放大級的計算	124
4-9	变压器耦合的放大級的計算	128
4-10	桥接电路耦合的放大級的計算	130
4-11	放大級的电阻和旁路电容器的計算	134
4-12	射頻系統的增益系数、諧振曲線和对鏡頻波道的选择性的 計算	136
4-13	应用負向授来提高放大級对等于中頻頻率的选择性	139
<b>第五章 中頻放大器的計算</b>		140
5-1	概述	140

5-2	電路的选择.....	141
5-3	濾波器回路电容量的选择和电感量的計算.....	142
5-4	濾波器第一回路的耦合回路的选择.....	144
5-5	計算中頻放大級的原始数据.....	145
5-6	具有帶通濾波器的放大級的計算.....	146
5-7	具有調諧到不同中頻的兩個串联帶通濾波器的放大級的 計算.....	147
5-8	具有可变通頻帶的放大級的計算.....	148
5-9	集中選擇級的計算.....	151
<b>第六章 變頻器的計算.....</b>		<b>154</b>
6-1	概述.....	154
6-2	電路的选择.....	155
6-3	原始数据.....	155
6-4	复合管变頻器的計算.....	156
6-5	具有單獨本机振蕩器的变頻器的計算.....	159
6-6	本机振蕩器电路的选择.....	160
6-7	回路統調的計算.....	166
6-8	扩展調諧的計算.....	172
6-9	在分波段任何点上的扩展調諧的計算.....	175
6-10	产生交扰哨声的頻率的确定.....	177
6-11	中頻系統的增益系数、諧振曲綫和对相隣波道的选 擇性的計算.....	178
<b>第七章 二極管檢波器的計算.....</b>		<b>180</b>
7-1	概述.....	180
7-2	二極管檢波器的計算.....	181
7-3	半导体檢波器.....	185
7-4	陰極射綫調諧指示器工作狀態的計算.....	186
7-5	未調制电报信号的听覺接收.....	188
<b>第八章 頻率檢波器的計算.....</b>		<b>189</b>
8-1	概述.....	189

8-2 頻率檢波器電路的選擇.....	190
8-3 限幅器的計算.....	191
8-4 鑑頻器的計算.....	198
8-5 比例檢波器的計算.....	202
<b>第九章 自動增益調整的計算.....</b>	<b>206</b>
9-1 延遲式自動增益調整電路的計算.....	206
9-2 延遲和放大自動增益調整整流器輸出電壓之直流 分量的自動增益調整電路的計算.....	211
9-3 被調整管的柵極和控制柵極的電源.....	215
<b>第十章 接收機的綜合特性曲線的計算.....</b>	<b>215</b>
<b>附录.....</b>	<b>219</b>
在大失諧時對鏡頻波道的選擇性.....	219
<b>參考文獻.....</b>	<b>223</b>

# 第一章 調幅和調頻無線電接收机的 概述和对它們的主要要求

## 1-1. 調幅和調頻無線電接收机的概述

無線電接收設備是由下列部分組成的：

1. 天線饋線裝置；
2. 無線電接收机；
3. 終端机。

本書所闡述的只是超外差式無線電接收机的計算和設計方法。天線饋線裝置和終端机的計算和設計不包括在無線電接收机的設計任务之内。

調幅和調頻無線電接收机分为兩大类：專業接收机和广播接收机。

專業無線電接收机是用来接收無線电报信号、無線電話信号或者用来接收这两种信号。它分为干綫接收机和通信接收机。

干綫無線電接收机用于远距离無線電通信（莫斯科——伯力，莫斯科——巴庫等）。这种接收机都是固定式的，并且安裝在工業干扰电平很小的城郊的專門無線電接收中心內。

为了可靠地通信，在晝夜的不同时刻应当使用不同的波長，而接收机本身是用兩付或三付分集式天綫〔天綫間的距离为 (5—10)  $\lambda$  〕来进行接收的。它們的輸出端接到一个負載上。用分集式天綫接收时，可避免信号的衰落，因为当一付天綫的信号場强减小的时候，另一付天綫的信号場强增加，因此負載上的信号值差不多是不变的。

干綫接收机是固定式的。它們的線路和結構比較复杂，能够保証在远距离上进行可靠的無綫电通信。它們的工作波段通常是3—25兆赫。干綫接收机灵敏度的單位用微伏来表示。無綫电话信号的通頻帶是4—5千赫，而無綫电报信号的通頻帶小于1千赫。

通信接收机可以用于不同距离上的通信。利用这类接收机可以进行飞机与飞机、飞机与机场、船艦与船艦、船艦与港口之間的無綫电通信。

通信接收机安装在飞机、船艦和汽車等上面。

通信接收机的工作波段是1—500兆赫。在近距離进行通信的时候，使用高于20—30兆赫的频率，而在远距离进行無綫电通信的时候，使用比較低的频率。

不需要进行調諧來寻找的通信使用具有固定频率和晶体振蕩器的無綫电接收机来完成。

根据不同的用途，通信接收机的灵敏度用几个微伏和几十微伏来表示。

广播接收机按照它的电气指标和声学指标分成好几級。高質量接收机应当具有下列特点：灵敏度高(大約25到50微伏)；选择性好；通頻帶是可变的；高、低音頻能分別單獨調整，并且能發出立体声(这一点可以在接收机机匣的前面和侧面裝几个电动揚声器来实现)。

等級比較低的接收机相应地有比較低的电气指标和声学指标。

广播接收机有下列的結構样式：

1. 落地式 (只有电唱收音兩用接收机)；
2. 台式 (电唱收音兩用接收机和接收机)；
3. 汽車用的接收机；

#### 4. 携帶式（旅行用接收机）。

所有的現代广播接收机都用鍵式波段开关，波段如下：

長波	150—415 千赫 (2000—722.9米),
中波	520—1600 千赫 (577—187.5米),
短波	3.95—12.1兆赫 (75.9—24.8米),
超短波 (УКВ)	64.5—73 兆赫 (4.65—4.11米).

为了調諧接收机方便起見，把短波和超短波的波段各分为兩個或者三个扩展波段。

高級广播接收机的中頻在長波、中波、短波时是465千赫，在超短波时是8.4兆赫；較低等級的广播接收机的中頻則是110—115千赫。

在長波、中波和短波上进行广播时，采用調幅制，而在超短波上采用調頻制。因此，現代广播接收机應該能够接收調幅信号和調頻信号。广播接收机的电源用交流电或者用蓄电池和干电池。

現代調幅和調頻接收机通常都采用超外差式电路。这种电路可以分为两种：一次变頻电路和二次变頻电路。

一次变頻的超外差接收机具有可以放大不同頻率电压的三个系統：

1. 由輸入裝置和高頻放大器組成的射頻系統（放大信号的載頻电压）；

2. 由变頻器和中頻放大器組成的中頻系統（放大中頻电压）；

3. 由低頻放大器組成的低頻系統（放大低頻电压）。

二次变頻的超外差接收机有四个系統。它的中頻系統被分为：1) 第一中頻系統，2) 第二中頻系統。

圖 1-1 是一次变頻的超外差接收机的簡圖。被天綫接收的

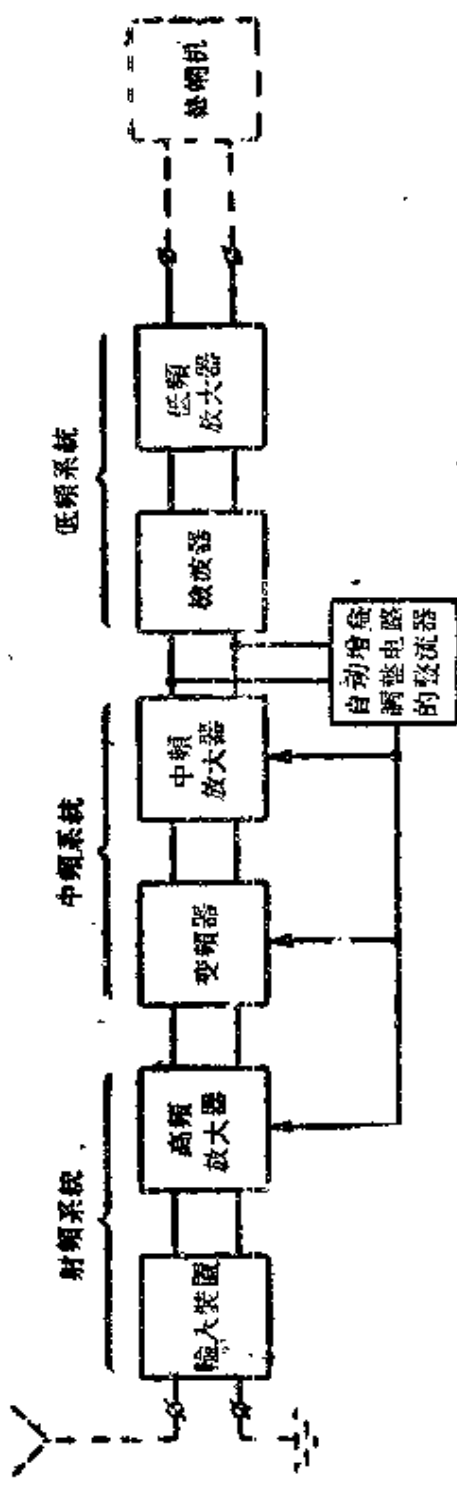


圖 1-1 一次變頻的超外差式接收機的構造

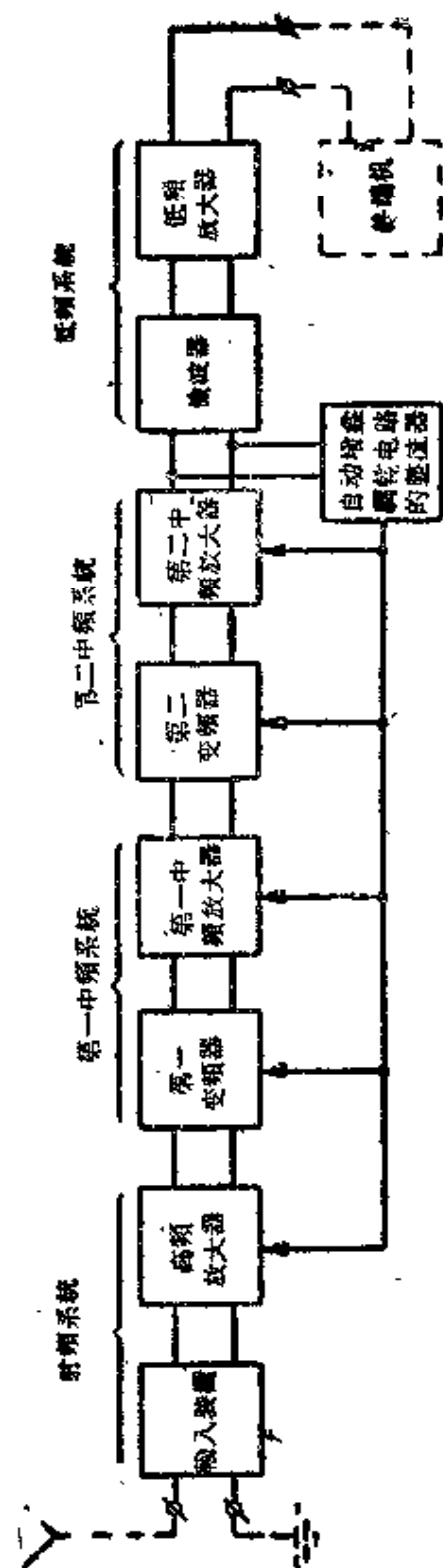


圖 1-2 二次變頻的超外差式接收機的構造

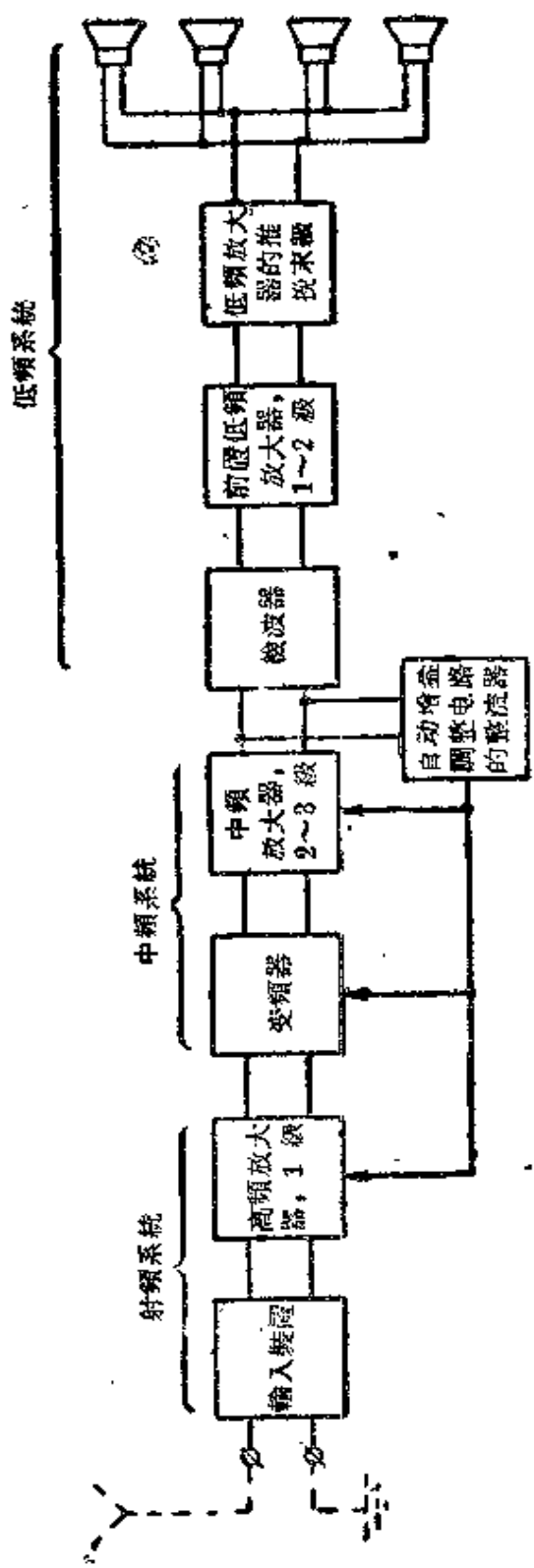


图 1-3 高质量广播接收机的简图

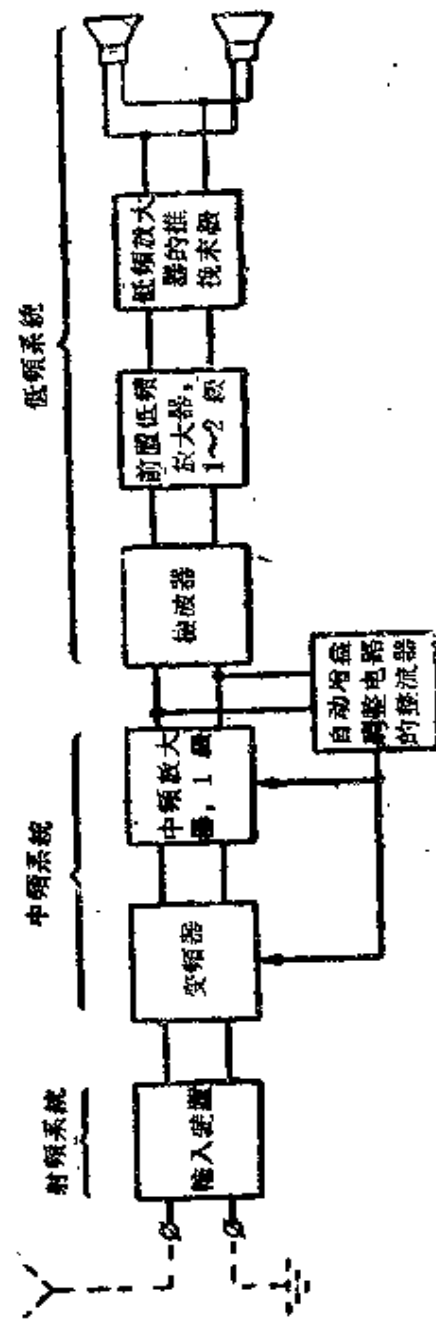


图 1-4 中等广播接收机的简图

信号的載頻在这个电路中变成中頻（它对一切被接收的頻率都是一样的）。

当对鏡頻波道的选择性提出很高的要求时，则采用二次变頻电路（圖1-2）。天綫所接收的信号的載頻在这个电路中由第一变頻器把它变成第一中頻（它比第二中頻大許多倍）。第二变頻器有一个用固定頻率工作的本机振蕩器，它把第一中頻变成較低的中頻——第二中頻。这样一来，由于第一中頻高，所以对鏡頻波道的选择性好，又由于第二中頻低，所以对相隣波道的选择性也很好。因此采用二次变頻电路，可以利用高中頻和低中頻的优点。

但是二次变頻电路有以下缺点：可能产生大量的交扰哨声和由第二变頻器产生的第二个鏡頻波道。实际上这种电路是很少使用的。

广播接收机大都采用一次变頻电路。高質量的广播接收机必定有一級高頻放大器，兩、三級中頻放大器和能帶动三、四个电动式揚声器的推挽末級。

高質量广播接收机簡圖如圖 1-3 所示。

中等接收机和便宜的普及型接收机沒有高頻放大器。它們有一級中頻放大器和帶动一、二个电动式揚声器的單臂末級。这类接收机的簡圖如圖 1-4 所示。

## 1-2. 对調幅和調頻接收机的主要要求

对任何無綫电接收机的主要要求如下：灵敏度高；选择性好；接收頻帶多；輸出功率或輸出电压高；保真度好；自动增益調整性能好；工作稳定可靠；用电节省；操縱方便；絕緣强度和机械强度高；体积小；重量輕；成本低和适宜于大量生产和成批生产。

按照接收机的特定用途还可以提出許多补充要求；例如要求能在 $-60$ — $+60^{\circ}\text{C}$ 的溫度变化下工作；在气压降低的条件下工作；以及良好的防潮性能等。

**实际灵敏度和額定灵敏度** 实际灵敏度是指：足以使输出端得到超过接收机固有噪声功率（或电压）若干倍的額定功率（或电压）的天綫中的最小电动势数值。

短波和超短波接收机用实际灵敏度来表示。

使输出端得到額定功率或电压的天綫最小电动势叫做接收机的“額定灵敏度”或簡称为“灵敏度”。

中波和長波接收机用額定灵敏度来表示。

接收机的实际灵敏度（微伏）等于

$$E_A = \frac{1}{8} \sqrt{R_A B (N + t_A - 1) \gamma}, \quad (1-1)$$

式中  $R_A$ ——天綫电阻，欧姆；

$B$ ——接收机的噪声帶，兆赫；

$N$ ——接收机的噪声系数；

$t_A = \frac{T_A}{T}$ ——天綫的相对噪声溫度；

$T_A$ ——天綫的有效噪声溫度；

$T$ ——天綫的室內溫度；

$\gamma$ ——輸出端的信号功率与噪声功率之比。

在表 1-1 中所列舉的是为保証可靠地接收所必須的功率比

$$\gamma = \left( \frac{P_{c,a}}{P_u} \right)_{\text{min}}$$

天綫的相对噪声溫度  $t_A = \frac{P_A}{P} = \frac{T_A}{T}$  表示；天綫的額定噪声功率比室溫条件下等效天綫的額定噪声功率大若干倍。

$t_A$  值与輸入頻率有关，也和定向天綫对宇宙射綫源的定向

表 1-1

接 收 种 类	$\gamma$	$\gamma_r$ 分 贝
無線電術：		
听覺接收	0.5—4.0	3—6
用波紋机接收	4—25	6—14
印字接收	10—100	10—20
調幅通信的無線電器	15—100	12—20
調幅無線电广播	50—10 <sup>2</sup>	17—30
調頻無線电广播	3—10	5—10

有关。

$t_A$  在 30—120 兆赫频率上的平均值可以用近似的經驗公式求出来

$$t_A = \frac{1.8 \times 10^6}{f^2 \text{ (兆赫)}} \quad (1-2)$$

如果频率大于 120 兆赫,  $t_A$  的值可以認為等于 1。

不同频率的噪声系数的近似值列入表 1-2 中。

表 1-2

工作频率 $f$ , 兆赫	工作波長 $\lambda$ , 米	$N$	$N$ , 分贝
$\leq 30$	$\geq 10$	2—5	3—7
60	5	4—6.5	6—8
100	3	6.5—16	8—12
600	0.5	10—32	10—15

天綫在特高频时的阻抗, 半波天綫通常是 70 欧姆; 而环形天綫約为 300 欧姆。反射器和檢波器的存在降低了天綫的阻抗。

各种类型的天线阻抗列在表 1-3 中。

表 1-3

天 线 类 型	天线阻抗，欧姆
半波天线	70
带反射器的半波天线	60
带反射器和天线引向器的半波天线	20—30
环形天线	300
带反射器的环形天线	250
带反射器和检波器的环形天线	80—120

在波段内接收机灵敏度的变化是由于下列各种数值的变化而引起的：输入装置传输系数的变化；高频放大级的增益系数的变化（分波段内回路的谐振阻抗随频率的增高而增大）和本机振荡器电压幅度的变化（这种变化使变频器的变频跨导发生相应的变化）。

在接收已调制波信号时，输出功率和输出电压与调制系数有关。因此，我们在标准调制系数  $m=0.3$  和调制频率  $F=400$  赫（广播接收机），或  $F=400$  赫，或 1000 赫（干线接收机和通信接收机）时确定灵敏度。因为接收机的输出电压与调制系数成正比，而功率与输出电压的平方，即调制系数的平方成正比，所以在  $m=1$  时功率将是最大。因此，与标准调制系数  $m=0.3$  相应的输出电压等于

$$U_{out} = 0.3(U_{out})_{max}$$

而正常的输出功率等于

$$P_{out} = 0.3^2(P_{out})_{max} \approx 0.1(P_{out})_{max}$$

于是，接收机的正常功率等于额定功率的十分之一。

为了得到不失真的接收，必须把  $E_{av,0}=2—5$  伏的中频电

压加到幅度检波器的输入端和频率检波器的限幅器的输入端上。

接收机的灵敏度（接收机天线中的电动势  $E_A$ ）便等于

$$E_A = \frac{U_{ex,\theta}}{K_{npue}}, \quad (1-3)$$

式中  $K_{npue}$ ——高频和中频系统的总增益系数。

因此，接收机的灵敏度决定于它的高频系统的增益系数。

采用增加接收机高、中频系统增益系数的办法并不能使灵敏度无限制地增加，因为随着这一系数的增加将会引起接收机固有噪声的增大，而噪声会妨碍对弱信号的接收。这样一来，接收机的固有噪声限制了灵敏度。在长波、中波和短波上限制广播接收机灵敏度的不是固有噪声，而是工业干扰和天电干扰。

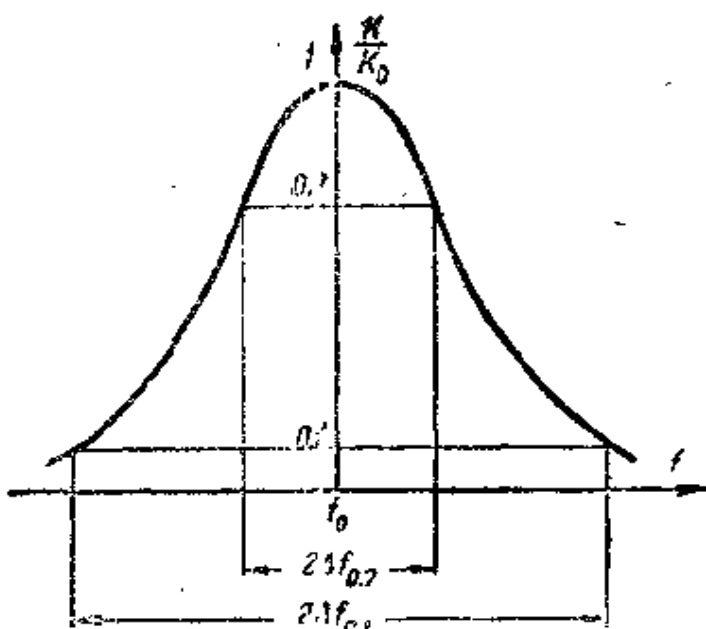


图 1-5 接收机的谐振曲线

### 选择性。选择

性是这样一个参数，它表示在接收机的调谐不变时，而输入信号的频率向接收机调谐频率的两边变动时，接收机增益降低的程度。

接收机的选择性用接收机高频系统的选择性曲线和谐振曲线来表示。

### 接收机的选择

性曲綫是根据實驗得來的，因為信號的頻譜很複雜，要計算它是很困難的。所以在設計接收機時要計算接收機高頻部份的諧振曲綫，根據它就可以判斷選擇性。

接收機的諧振曲綫和選擇性曲綫只在低調制頻率（400—1000 赫）時是一致的。

對於較高的調制頻率來說，接收機的諧振曲綫和選擇性曲綫是不同的。這是由於諧振曲綫是當一個未調制的正弦波信號加到接收機輸入端時計算出來的，並且表示當該信號頻率變化時接收機增益系數的變化情況。

接收機的選擇性曲綫則表示當其載頻變化時，其已調信號的增益系數的變化情況。

圖 1-5 是接收機的諧振曲綫。諧振曲綫往往用矩形系數來表示：

$$K_{n,a} = \frac{2\Delta f_a}{2\Delta f_{0.7}}, \quad (1-4)$$

式中  $2\Delta f_a$ ——衰減到  $a$  分之一時的通頻帶。矩形系數越接近于 1，諧振曲綫就越好，因為在這種情況下它接近于矩形。

變頻器前各級對相隣波道和鏡頻波道的選擇性隨著頻率的增加而變壞，而這些級的通頻帶却加寬了，並且回路的諧振阻抗也增加了，從而提高了它們的增益（圖 1-6）。

在選擇性和通頻帶之間存在着反變的關係：選擇性越好，通頻帶越窄，或者反過來說也對。通常對相隣波道和鏡頻波道的選擇性是按最壞的情況——在每一分波段的最高頻率時來計算的。

廣播接收機對相隣波道的選擇性是按照失諧 10 千赫計算出來的。所有接收機對鏡頻波道的選擇性是按照失諧相當於接

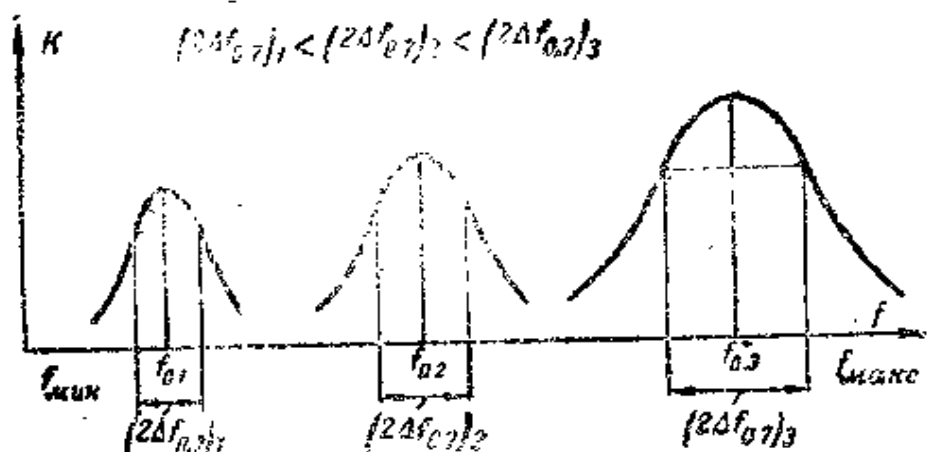


圖 1-6 变频器前各级的选择性和通频带与波段里的各个频率的关系

收机的兩倍中頻的情况計算出来的。

对相隣波道的选择性是由接收机的射頻系統和中頻系統来确定的。对选择性有影响的主要是中頻系統。在频率高于1—2兆赫的时候，射頻系統有相当宽的通頻帶，所以它已經不影响相隣波道的选择性，而后者完全是由中頻系統来确定的。

对鏡頻波道的选择性只由射頻系統来确定。

**被接收的波段** 大多数接收机的波段是很寬的，它被分为几个分波段。某些接收机用几个固定频率工作，从而可以进行不用調諧的通信。

接收机应当能調到規定波段的任何频率上，同时在調諧过程中，它的各項主要指标不应当变化得大于規定标准。

**输出功率，输出电压** 輸出功率或輸出电压是由終端負載的种类来确定的。电动式揚声器所需要的輸出功率为0.1—10瓦；高阻話筒所需要的輸出电压为30—60伏。

**保真度** 保真度用幅度失真和非線性失真来表示。这些失真值越小，保真度就越高。

專業接收机的幅度失真用电压的保真度曲綫（就是在固定

調制系数下表示。接收机输出电压与調制频率間关系的曲綫)来表示(圖 1-7)。

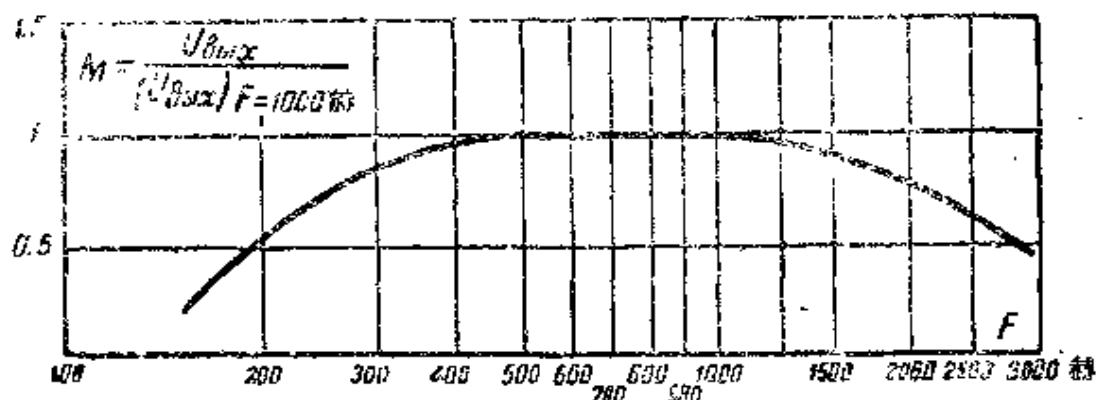


图 1-7 用相对值  $\frac{U_{dist}}{(U_{dist})_0}$  表示的电压保真度曲綫

中頻放大級、檢波器和低頻放大級对电压保真度曲綫的性質有强烈的影响。变頻器以前的各級只在長波上有影响，在中波上影响不大。对于語言保真度來說，專業接收机應該通过 200—3000 赫的頻帶。电压保真度曲綫在頻帶的兩端通常需要下降一半，即 6 分貝。

广播接收机的幅度失真用声压保真度曲綫来表示。这个保真度曲綫是由电压保真度曲綫和一个或多个揚声器的振幅特性曲綫相加而成的(圖 1-8)。因此，声压保真度曲綫表示整个接收机的幅度失真的狀況。

为了使語音和音乐的放音逼真动听，高質量广播接收机應該通过 60—6500 赫的頻帶；而中等的接收机應該通过 100—4000 赫的頻帶。声压保真度曲綫的不均匀性(即頻率失真系数兩種限值的絕對值之差)通常給定为  $| (M_{kp})_{\pm 6} | = | (M_{kp_1})_{\pm 6} | - | (M_{kp_2})_{\pm 6} | = 14$  到 18 分貝。

高质量接收机的各中頻放大級的通頻帶是可变的，可以从

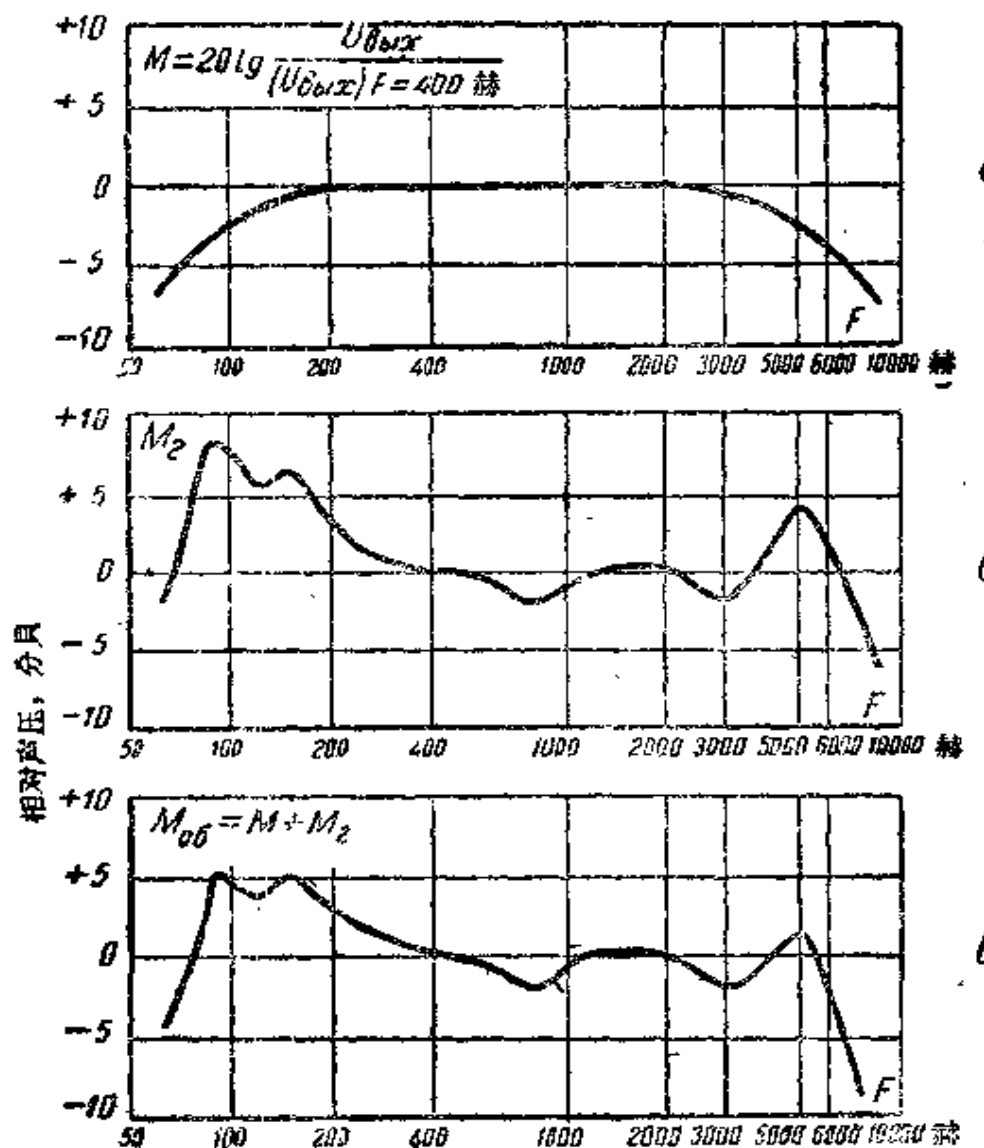


圖 1-8 接收机的声压保真度曲线

6 千赫变到 13 千赫，从而在没有干扰时可以靠加宽通频带来获得高质量的接收。

高质量的超短波广播接收机应该通过 60 到 10000—12000 赫的频带。

**非直綫性失真** 非直綫性失真表示，在信号以正弦波調制

時，接收机輸出端上出現頻率為 $2F$ 、 $3F$ 、 $4F$ ……的諧波。這主要是由於低頻放大器末級的特性曲線是非直線性的緣故。非直線性失真用非直線性失真系數來表示。

$$K_f = \frac{\sqrt{U_{m2}^2 + U_{m3}^2 + U_{m4}^2 + \dots}}{U_{m1}}, \quad (1-5)$$

式中  $U_{m1}$ 、 $U_{m2}$  和  $U_{m3}$  ——二次、三次和四次諧波的輸出電壓的振幅。

專業接收機和中等廣播接收機的非直線性失真系數不能大於 10%，而高質量廣播接收機的非直線性失真系數不能超過 5%。

**自動增益調整** 接收機的自動增益調整可以在輸入電壓劇烈變化時，大大地減少輸出電壓的變化。

專業接收機的輸入電壓變化值約為  $10^4$ — $10^5$ ，輸出電壓的變化值則為  $1.1$ — $3$ ，通常，高質量廣播接收機的輸入電壓變化值為  $10^3$ ，而輸出電壓變化值為  $4$ 。中等廣播接收機的輸入電壓變化值為  $20$ ，輸出電壓變化值為  $4$ 。

**工作的穩定性和可靠性** 如果接收機滿足這些條件，即，1)它不自激並沒有自激的條件；2)它的參數在電源工作狀態、濕度、溫度、氣壓、震動等變化時變化很小，它就能夠穩定而可靠地工作。

**用電省** 著省電源的要求主要是對攜帶式的電池接收機提出的，所有攜帶式收發信電台的重量主要都決定於電池的重量，而電池的重量歸根到底還是決定於電台工作的持續時間長短。

**操縱方便** 操縱方便要求滿足下列條件：1)控制旋鈕的數量少並配臵得當；2)有波長和頻率標得清楚的度盤；3)更換分波段的指示清楚。

飛機接收機通常具有遙控裝置。旋鈕放在操縱板上並用

弹性轴与接收机连接起来。

**絕緣强度和机械强度** 接收机的絕緣强度和机械强度取决于它的零件和组件，以及整个接收机构造的絕緣强度和机械强度。

对于通常在恶劣气象和气候条件下工作的通信接收机，在絕緣强度和机械强度方面要提出特殊的要求。

**体积小和重量輕** 通信接收机（飞机用和携帶式的）以及携帶式广播接收机通常要求体积小和重量輕。

**成本和适合于大量生产和成批生产** 接收机的电路和構造应当滿足电气要求和使用要求，同时接收机也应当适宜于大量生产或者成批生产。使用标准零件和组件就可以降低接收机的成本，并且使它更加适宜于大量生产。因此在計算和設計的时候，应当尽可能地使用标准零件和组件。

## 第二章 設計無綫电接收机的 技术要求及其初步計算

### 2-1. 設計專業通信無綫电接收机的技术要求

設計專業通信無綫电接收机，需要提出下列数据：

1. 接收机的用途（干线用或通信用）。
2. 接收机的裝置地点（固定式的，飞机上用的，船艦的，汽車的和携帶式的等等）。
3. 工作种类（电话、电报）。
4. 調制种类（調幅、調頻、調制指数和最大頻率偏移）。
5. 上端的調制頻率  $F_{max}$ （千赫）。
6. 頻率范围（千赫或兆赫）。

### 7. 分波段数和分波段系数。

8. 在所有分波段，其比值  $\gamma = \frac{P_{c, \text{peak}}}{P_{\text{out}, \text{avg}}}$  时，实际灵敏度不劣于  $P_{c, \text{peak}}$ 。[实际灵敏度用有效值（微伏）表示。]

9. 在失谐为  $\Delta f$  (千赫) 时，所有分波段上对相位波道的选择性不劣于  $S_{\text{sep}}$  (分贝) 或者单形系数。

10. 所有分波段上对镜频波道的选择性不劣于  $S_{\text{sep}}$  (分贝)，或在每个分波段上都指出对镜频波道的选择性。

11. 对等于中频频率的干扰选择性不劣于  $S_{\text{sep}}$  (分贝)。

12. 负载的种类 (听筒、电动式扬声器、印字电报机等) 及其阻抗 (欧姆)。

13. 输出功率  $P_{\text{out}}$  (瓦) 或者输出电压  $U_{\text{out}}$  (伏)。

14. 非直线性失真的允许值  $K_f$  (%)。

15. 在衰减  $M$  (分贝) 时，频率  $F_{\text{AIF}} - F_{\text{IF}}$  的电压保真度曲线。

16. 天线参数 (阻抗的电阻分量和电抗分量) (欧姆)。

17. 馈线的类型和参数 (二线式馈线或同轴馈线，特性阻抗，欧姆)，馈线长度 (米)，及其衰耗 (分贝/米)。

18. 自动增益调整：

输入电压  $v$  (分贝) 的变化。

输出电压  $P$  (分贝) 的变化。

19. 接收种类：a) 有微调的；b) 不进行调谐的和无微调的。

20. 发射机和本机振荡器的最大可能频率漂移  $\Delta f_{\text{sep}}$  和  $\Delta f_{\text{IF}}$  (千赫) 或其相对变化  $\frac{\Delta f}{f}$  (无微调接收的)。

21. 对自动频率微调的要求。

22. 人工增益调整 (改变输出电压的电平)。

23. 电子管的类型。

24. 一次电源的种类（蓄电池，干电池，交流市电，飞机或船艦的机上电源）及其参数（蓄电池和干电池的容量，电源电压，电压的容許改变值）。

25. 消耗功率不大于  $P$  (瓦)。

26. 結構上的要求：a)环境溫度的变化；b)气压的变化；c)湿度的变化；d)振动（是否必需阻尼）；e)外廓尺寸；f)控制装置；g)便于大量或者成批生产。

27. 安全技术的要求。

根据接收机的用途不同还可以提出其它补充要求。

## 2-2. 設計無線電广播接收机的技术要求

1. 接收机的結構类型（落地式，台式，汽車用，攜帶式）。

2. 頻率範圍（千赫或兆赫）。

3. 分波段数和分波段系数。

4. 調制种类（調幅、調頻、調制指数和最大頻率偏移）。

5. 上端調制頻率  $F_{make}$  (赫)。

6. 分波段在比值  $\gamma = \frac{P_{c. aux}}{P_{m. aux}}$  下的灵敏度或实际灵敏度，

長波波段 } 不劣于  $E_{A1}$ ,  $E_{A1 peakn}$ ,  
中波波段 }

短波波段不劣于  $E_{A2}$ ,  $E_{A2 peakn}$ ,

超短波波段不劣于  $E_{A3}$ ,  $E_{A3 peakn}$ .

[实际灵敏度用有效值（微伏）表示。]

7. 在失諧  $\Delta f = \pm 10$  千赫时，在所有分波段上对相隣波道的选择性不劣于  $S_{cross}$  (分貝)。

8. 各分波段对鏡頻波道的选择性：

長波波段不劣于  $S_{sepw1}$  (分貝)，

中波波段不劣于  $S_{sep_{22}}$  (分貝),

短波波段不劣于  $S_{sep_{23}}$  (分貝),

超短波波段不劣于  $S_{sep_{24}}$  (分貝)。

9. 对等于中頻頻率的干扰的选择性不劣于  $N_{np_{2M}}$  (分貝)。

10. 接收机的中頻:

①有短波波段时,  $f_{np} = 465$  千赫;

②無短波波段时,  $f_{np} = 110 - 115$  千赫。

超短波波段的中頻通常都取 8.4 兆赫。

11. 电动式扬声器的数目, 它們的功率、音圈阻抗和振幅-頻率特性曲綫或总的頻率失真系数。

12. 輸出功率  $P_{out}$  (瓦)。

13. 非線性失真的允許值  $K_f$  (%)。

14. 在頻率失真系数  $M$  (分貝) 或不均匀性  $M_{sep}$  (分貝)

下, 頻率  $F_{min} - F_{max}$  范圍內的声压保真度曲綫。

15. 接收机的通頻帶:

窄頻帶通常为 6 千赫;

寬頻帶为 13 千赫。

通頻帶的調整通常是平滑的或步进的。

16. 天綫參量及其在波段中的改变量。

17. 自动增益調整:

輸入电压改变量  $a$  (分貝);

輸出电压改变量  $p$  (分貝)。

18. 人工增益調整 (輸出电压电平的变化范围)。

19. 低頻放大器頻率特性曲綫的变化范围。

a) 在低頻域 (分貝);

b) 在高頻域 (分貝)。

20. 拾音器塞孔处的灵敏度 (毫伏)

21. 电子管的类型。
22. 一次电源的种类（蓄电池、干电池、交流市电）及其参数（蓄电池和干电池的容量、电源电压、电压的允许改变值）。
23. 消耗功率不大于  $P$  (瓦)。
24. 结构要求：a) 外廓尺寸；b) 控制装置；c) 塑子的加工；d) 便于大量或成批生产。
25. 安全技术要求。

根据接收机的等级还可以提出其它一些补充要求。

### 2-3. 無線電接收机电路类型的選擇

專用接收机电路的选择应当从解决使用一次变频或二次变频的问题开始。在对镜频波道的选择性提出很高的要求的情况下，应当采用二次变频。但是如果用改善高频系統回路質量的办法可能使一次变频对镜频波道有良好的选择性时，那么，最好使用一次变频。

采用二次变频可以取得很高的对镜频波道的选择性，但是同时在波段里会产生大量的交扰噪声，并使接收机的电路和結構大大地复杂起来。因此，只有在不能保证所要求的镜频波道选择性的时候，才应当使用二次变频。

为了使振盪频率非常稳定，使用具有單独本机振盪器的变频电路。

專業接收机各个系统的級数通常是这样的：高频放大器不多于三級；中頻放大器不多于四到五級；低頻放大器不多于三級。使用多于三級的高频放大器是非常困难的，因为这要使用多节可变同軸电容器，以致使体积增大，使接收机的結構和調整复杂起来，并使它的工作稳定性降低。

广播接收机都使用一次变频电路。它的电路和级数由接收机的等級来决定。高級接收机在長波波段和中波波段上都用双回路輸入裝置，以保証对在兩個波道具有良好選擇性时，使分波段內具有均匀的通頻帶；此外还有一級高頻放大器，兩到三級中頻放大器，兩級前置低頻放大器和推挽末級。

中級接收机沒有高頻放大器，有一級中頻放大器，一到二級前置低頻放大器和單臂末級。

#### 2-4. 电子管类型的選擇

如果在設計接收机的技术要求中沒有提出电子管的型号，那末就应当从下面各点來考慮选择电子管。接收机各級中最好少用不同型号的电子管。这一点对携帶式通信接收机特別重要，因为在野地条件下，少用型号不同的电子管对准备备份电子管是有利的。

对于固定式干线通信接收机和广播接收机來說这个要求沒有多大的意义。

为了使各放大級取得高的稳定的增益，应当选择这样类型的电子管，即它們有最大的下列比值

$$\frac{S}{C_{a.c} + C_{n.a}}, \quad (2-1)$$

式中  $C_{n.a}$ ——管座电容，对金属管等于 0.01 微微法，对指形管等于 0.017 微微法。

在特高频上如果使用輸入阻抗尽可能大的电子管，便可以使輸入电路具有比較大的傳輸系数，并使放大級具有比較大的增益系数。电子管的輸入阻抗随着頻率的升高而迅速下降，它可用下式求出来。

$$R_{eq} = \frac{1}{g_{eq}} = \frac{K \text{千欧·兆赫}^2}{(f \text{兆赫})^2}. \quad (2-2)$$

式中  $K$  —— 决定电子管输入阻抗的系数，与电子管的类型有关；在手册中有说明（参阅表 2-1）。

为了使特高频接收机具有比较小的噪声系数和比较高的实际灵敏度，必须在前几级中使用比值

$$\frac{R_w}{R_{eq}}, \quad (2-3)$$

最小的电子管

式中  $R_w$  —— 电子管等效噪声阻抗。

在表 2-1 和 2-2 中列举了系数  $K$  的值和电子管等效噪声电阻  $R_{eq}$  的值。

对携带式接收机必须选择消耗功率尽可能小的电子管。

表 2-1

电子管型号	$K, \text{千欧·兆赫}^2$	电子管型号	$K, \text{千欧·兆赫}^2$
6C1K	$160 \times 10^3$	6Ж4П	$7 \times 10^3$
6C1П	$160 \times 10^3$	6Ж1K	$200 \times 10^3$
6Ж1K	$200 \times 10^3$	6Ж1П	$40 \times 10^3$
6Ж1П	$70 \times 10^3$	6K3	$20 \times 10^3$
6K3	$13 \times 10^3$	6С5Д	$200 \times 10^3$
6Ж3П	$37 \times 10^3$	1K1П	$36 \times 10^3$
6Ж4	$7 \times 10^3$		

## 2-5. 中频的选择

中频值根据下列理由来选择：

1. 中频不应当在接收机的频带范围内。
2. 中频不应当与某一大电力发射机的频率相同。下列的频

表 2-2

电子管型号	$R_{in}$ , 欧姆	电子管型号	$R_{in}$ , 欧姆
6ЖС1	720	6К1И	13 000
6ЖС1(接成二極管)	120	6К3	11 000
6ЖС4(用作混頻管)	2 300	6К4	4 000
6ЖК1П	1 800	6С2С	960
6ЖК1П(接成三極管)	385	6С2П	210
6ЖК1П(用作混頻管)	7 520	6С3И	126
6ЖК2П	4 170	6ЖК3П	470
6ЖК3П	1 650	6Н1П	480
6ЖК3П(用作混頻管)	6 600	6Н2П	1 600
6К7	1 400	6Н45П	470

率符合这个条件: 110—115; 463—467; 620—630; 1200; 1600; 1900; 2200; 4500; 8400 千赫。

3. 随着中频的增加, 应当发生下列各种现象:

- a) 对镜频波道的选择性增加;
- b) 通频带加宽;
- c) 电子管的输入阻抗减小, 因而对回路的旁路作用增大;
- d) 中频放大器的稳定度变坏。
- e) 级的增益由于回路谐振阻抗的减小而减小。

4. 随着中频的减小, 应当发生下列各种现象:

- a) 对镜频波道的选择性降低;
- b) 通频带压缩;
- c) 电子管输入阻抗增加, 因而对回路的旁路作用减小;
- d) 中频放大器的稳定度变好;
- e) 由于回路谐振阻抗增大, 级的增益增大。

5. 为了在检波器输出端很好地滤去中频, 应当满足下列条

件：

$$f_{np} \geq 10 F_{max}, \quad (2-4)$$

式中  $F_{max}$  —— 最高的调制频率。

如果对音频波道的选择性提出很高的要求，那就应当选择较高的中频。

上面所列举的要求都是互相矛盾的。因而在选择中频时，应当采取妥善的解决办法。

## 2-6. 频带的计算

确定接收机通频带的方法如下：

1. 先确定被接收信号的频谱宽度，它应当能通过高频和中频系统加到检波器的输入端。

a) 在调幅时信号的频谱宽度等于

$$2\Delta f_a = 2F_{max}. \quad (2-5)$$

b) 在振幅键控时，信号的频谱宽度等于：

$$2\Delta f_c = 0.8nN, \quad (2-6)$$

式中  $2\Delta f_a$  —— 单位为赫；

$n$  —— 高次谐波（通常 2—3 次）的次数；

$N$  —— 标准五单位制电报以每分钟计算的通报速度  
(每分钟 250—350 字)。

c) 在按正弦规律变化的调频时，信号频谱的宽度等于

$$2\Delta f_c = 2F_{max}(1 + \psi_m + \sqrt{\psi_m}), \quad (2-7)$$

式中  $\psi_m = \frac{\Delta f_{max}}{F_{max}}$  —— 调制指数；

$\Delta f_{max}$  —— 频率的最大变化幅度。

对广播发射机来说调制指数为：

$$\psi_m = \frac{75}{15} = 5.$$

①在按矩形規律变化的頻率鍾控时，信号的頻譜寬度等于

$$2\Delta f_c = 2F \sqrt{\frac{200}{\pi} \psi_m + \psi_m^2}, \quad (2-8)$$

式中  $F = 0.4nN$

②如果接收机用于接收不同种类的信号，则应根据每一种信号来计算頻譜宽度，并取其中的最大者；或者选定能在中频系統內轉換的接收机的兩個通頻帶。

2. 对于在接收过程中能对电台进行微調的接收机来说，接收机的通頻帶应选得等于信号的頻譜宽度：

$$2\Delta f_n = 2\Delta f_c. \quad (2-9)$$

3. 对無微調的接收机来说（这种接收机在制造时 經过最初調諧以后，使用过程中不需要再作額外的微調，便可进行可靠的接收），通頻帶应宽于發射机、接收机本机振盪器频率和中频系統譜振频率的漂移值。

如果接收机內沒有自动频率微調(AFM)，那么通頻帶应等于：

$$2\Delta f_n = 2\Delta f_c + K(2\Delta f_{nep} + 2\Delta f_{wem} + 2\Delta f_{mnp}). \quad (2-10)$$

式中  $K$ ——頻率漂移吻合系数，是指發射机、本机振盪器和中频系統的頻率同时偏离額定值的頻率漂移而言；

$\Delta f_{nep}$ 、 $\Delta f_{wem}$  和  $\Delta f_{mnp}$ ——發射机、本机振盪器和中频系統的頻率对額定值的最大可能漂移值。

公式(2-10)中的系数2是由于發射机、本机振盪器和中频系統的頻率可能向額定值的兩邊漂移。

無微調接收机的通頻帶如圖 2-1 所示。

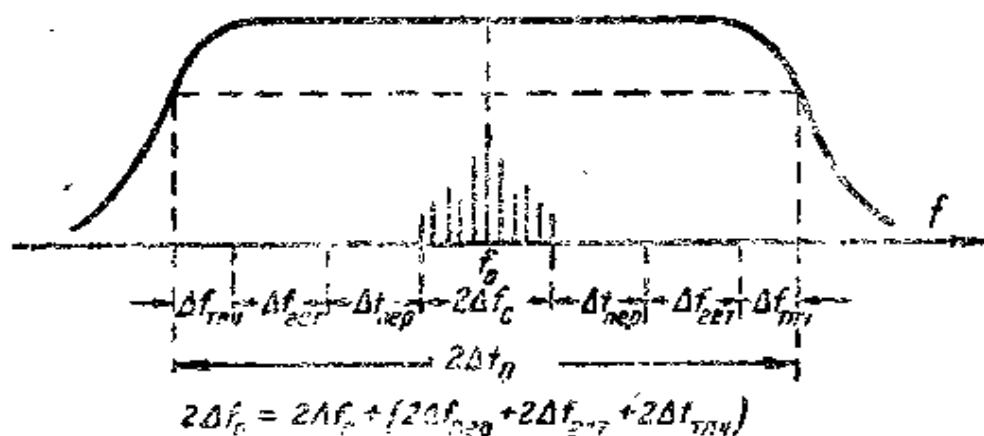


圖 2-1 超級電接收機的通頻帶

在表 2-3 中列舉了各種發信電台的相對頻率變化值  $\frac{\Delta f}{f_0} = a_{nsp}$ 。

表 2-3

電　　台　　種　　類	$\frac{\Delta f}{f_0} = a_{nsp}$
固　定　式　電　台	$(3-10) \times 10^{-5}$
移　动　式　電　台	$(1-5) \times 10^{-4}$
廣　播　　電　　台	$(3-5) \times 10^{-6}$

本機振蕩器頻率的相對變化約為  $a_{rem} = (1-5) \times 10^{-4}$ ，而  
晶体本機振蕩器頻率的相對變化約為

$$a_{rem} = 5 \times 10^{-5}.$$

中頻系統頻率的相對變化約為  $a_{mni} = (1-5) \times 10^{-5}$ 。

對額定值的最大可能頻率漂移等於

$$\Delta f = a f_0. \quad (2-11)$$

考慮到發射機、本機振蕩器的頻率漂移和中頻系統諧振頻率的漂移後得到的中頻等於：

$$\begin{aligned} f'_{np} &= f_{iem} + \Delta f_{iem} - (f_{nep} + \Delta f_{nep}) + \Delta f_{mnq} = \\ &= f_{np} + \Delta f_{iem} + \Delta f_{mnq} - \Delta f_{nep}. \end{aligned}$$

因此，当频率  $\Delta f_{iem} + \Delta f_{mnq}$  和  $\Delta f_{nep}$  的漂移方向不同时，中频对额定值的漂移最大。

当系数  $K=1$  时，所有频率向一个方向漂移的可能性是很小的。因此取  $K=1$  时，就使得通频带比要求的大，从而增大了干扰对接收机的影响，并降低了它对相邻波道的选择性。在计算通频带时，通常取系数  $K$  等于 0.3—0.7。

对于有自动微调的接收机来说，通频带应选得等于：

$$2\Delta f_n = 2\Delta f_o + \frac{K}{K_{A\mu q}} (2\Delta f_{nep} + 2\Delta f_{iem} + 3\Delta f_{mnq}), \quad (2-12)$$

式中  $K_{A\mu q}$ ——自动微调系数。

自动微调系数等于：

$$K_{A\mu q} = 10 - 20.$$

在接收机内使用自动频率微调，可以大大地压缩通频带，从而减少了干扰对接收机的影响，并提高了它对相邻波道的选择性。但是采用自动频率微调使得接收机的结构和在工厂制造时调整与调谐接收机的手续复杂化起来。

4. 对不调谐的接收机和无微调的接收机来说（在按接收机的度盘进行调谐后，或接通固定调谐后就能稳定地接收），所取通频带的宽度应能使接收机在发射机、本机振荡器、中频系统的频率对其额定值的一切可能漂移的情况下进行接收。这些频率对额定值的漂移取决于：1) 不稳定因素的作用；2) 发射机和接收机的度盘刻度误差；3) 由于调谐机构和度盘装置结构的空隙使得用度盘调整发射机和接收机的频率时所引起的误差。

在不调谐接收和无微调接收时，通频带应等于：

$$2\Delta f_n = 2\Delta f_c + K(2\Delta f'_{rep} + 2\Delta f'_{iem} + 2\Delta f_{mod}), \quad (2-13)$$

式中  $\Delta f'_{rep}$  和  $f'_{iem}$ ——对额定值的可能产生的最大频率漂移；这一频率漂移是由于不稳定因素和收、发信机的度盤刻度誤差和频率調整的誤差所引起的。

## 2-7. 实际灵敏度的計算

在短波，米波和分米波等波段工作的接收机，具有与馈线匹配的调谐天线。

为了计算这些接收机的实际灵敏度，必须求出接收机的噪声系数。接收机的噪声系数主要由第一級确定，比值  $\frac{R_m}{R_{ex}} = R_m g_{ex}$  越小，噪声系数也越小。

当輸入裝置与馈线匹配时，第一級噪声系数等于

$$N_o = 2 + 4R_m g + \frac{4g_{ex}}{g}. \quad (2-14a)$$

当輸入回路的总变换系数（它未必总是等于匹配时的总变换系数）为某一数值时，会得到最小噪声系数，并且它等于

$$N_{min} = 1 + 2R_m g + 2\sqrt{R_m g \left( 1 + R_m g + 4 \frac{g_{ex}}{g} \right)}, \quad (2-14b)$$

式中  $R_m$ ——所选第一級电子管的等效噪声阻抗，千欧姆；

$g = g_x + g_{ex}$ ——回路的总电导，毫姆欧 =  $\frac{1}{\text{千欧姆}}$ ；

$g_x$ ——回路在諧振频率上的电导，毫姆欧；

$g_{ex}$ ——电子管的输入电导，毫姆欧。

当  $g_x \ll g_{ex}$  时（特高频时就是这样），公式(2-14b)简化为：

$$N_{min} = 1 + 2R_m g_{ex} \left( 1 + \sqrt{1 + \frac{5}{R_m g_{ex}}} \right). \quad (2-15)$$

在  $\xi_n \ll g_{ox}$  时最小噪声系数与比值

$$\frac{R_{in}}{R_{ox}} = R_{in} g_{ox}$$

的关系圖如圖 2-2 所示。保証輸入回路具有最小噪声系数的总变换系数的求法見 § 3-14。

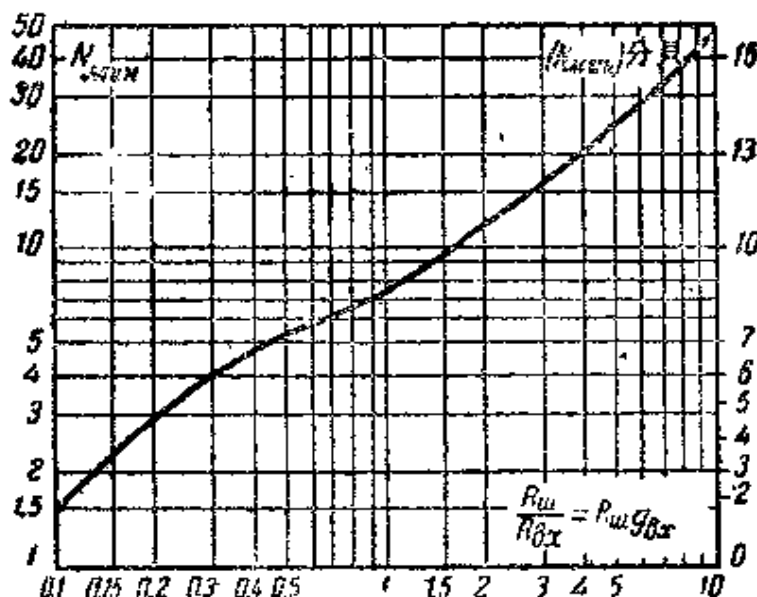


圖 2-2 在  $\xi_n \ll g_{ox}$  时最小噪声系数与比值  $\frac{R_{in}}{R_{ox}} = R_{in} g_{ox}$  的关系圖

如果饋線很長，那就應該計算它的噪声系数，而后求出接收机的总噪声系数。

饋線的噪声系数等于

$$N_{\phi} = \frac{1}{K_{p\phi}}. \quad (2-16)$$

饋線額定功率的傳輸系数（当饋線与接收机輸入端匹配时）等于

$$K_{p\phi} = 10^{-0.1\beta l}, \quad (2-17)$$

式中  $\beta$ ——饋線衰減因数，分貝/米；

$l$ ——饋線長，米。

饋線額定功率的傳輸系數与數值  $\beta l$  的关系圖如圖 2-3 所示。

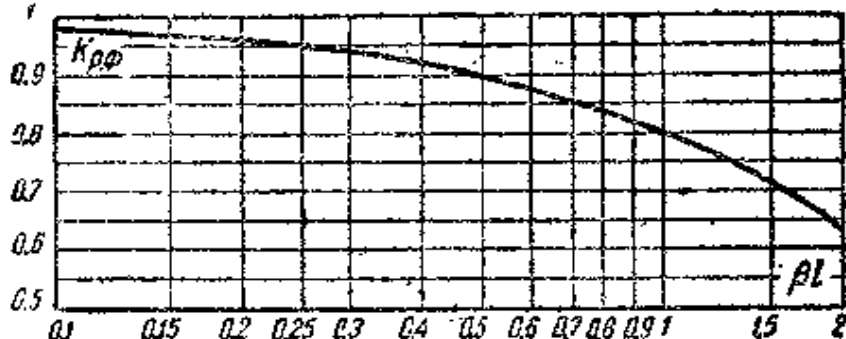


圖 2-3 饋線額定功率的傳輸系數与數值  $\beta l$  的关系圖  
接收机的总噪声系数等于

$$N'_{m,n} = \frac{N'_{max}}{K_{p\phi}}, \quad (2-18)$$

根据公式(1-1)接收机的实际灵敏度等于

$$\bar{E}_{A,pmax} = \frac{1}{8} \sqrt{R_A B (N'_{max} + t_A - 1)} \gamma, \quad (2-19)$$

式中  $E_{A,pmax}$ ——微伏 (有效值);

$R_A$ ——給定的天綫輸入阻抗, 欧姆;

$B$ ——噪声的頻帶, 兆赫;

$t_A = \frac{T_A}{T}$ ——天綫的相对噪声溫度;

$\gamma = \frac{P_o}{P_u}$ ——給定的接收机輸出端的信号功率和噪声功率之比。

具有多級中頻放大器与双耦合回路的接收机的噪声頻帶等于

$$B = 1.1 \times 2 \Delta f_n. \quad (2-20)$$

如果用等效天綫来計算实际灵敏度, 象通常所做的那样, 则当  $t_A = 1$  时公式(2-19)具有如下形式

$$E_{A,peak} = \frac{1}{8} \sqrt{R_A B N_m \gamma}, \quad (2-21)$$

当所得到的实际灵敏度比给定的灵敏度坏时，应该降低噪声系数，为此第一级应该选择另一种比值  $\frac{R_w}{R_{ex}}$  较小的电子管。

实际灵敏度应该等于

$$E_{A,peak} = \frac{(E_{A,peak})_{given}}{K_{saf}}, \quad (2-22)$$

式中  $K_{saf}$ ——增益的安全系数，通常等于 1.5—3。

增益的安全系数考虑了如下的因素：1) 电子管互导值的偏差不一；2) 电源电压的变化；3) 气候条件和大气条件的影响；4) 灵敏度的测量误差；5) 生产安全量。

专用接收机的增益安全系数  $K_{saf}=2-3$ ，而无线电广播接收机的  $K_{saf}=1.5-2$ 。

接收机的噪声系数，也就是固有噪声使取得较大的实际灵敏度受到了限制。只有灵敏度为 25—50 微伏的高质量广播接收机，才需要计算实际灵敏度。

对于灵敏度为 100—200 微伏和更坏一些的接收机来说，计算实际灵敏度没有意义，因为这些接收机的电子管很少，增益也不大，所以接收机的固有噪声对它的灵敏度不可能起限制作用。对这种接收机就简单地根据灵敏度来衡量它。

如果这种接收机的天线输入阻抗  $R_A$  没有给定，那末对畏波和中波可以取为 30 欧姆，而对短波可以取为 400 欧姆。

### 2·8. 增益系数的计算及其在接收机各系统的分配

为使检波器正常地工作，必须在它的输入端加上一定大小的载频电压。

表 2-4 中列举了各种檢波器的輸入电压值和輸出电压值。差不多在一切接收机中都采用二極管檢波器，而柵極檢波器則很少使用，并且多用在簡單的电子管接收机中。

接收机在檢波器以前，即在高頻和中頻系統的增益系数，根据檢波器的輸入电压(可以从表 2-4 中选取)和各分波段的給定灵敏度或实际灵敏度來計算：

$$K_{\text{uphol}} = K_{mp}, \quad K_{mn4} = \frac{U_{m0,ex}}{\sqrt{2} E_{A,\text{peak}}}, \quad (2-23)$$

式中  $E_{A,\text{peak}}$ ——由公式(2-22)得到的实际灵敏度，或  $E_A = E_{n,\text{peak}}$ ——給定的灵敏度。

表 2-4

調幅信号的檢波		調頻信号的檢波			
檢波器类型	輸入电压 $U_{m0,ex}$ , 伏	檢波器 类 型	电压振幅值		檢波特性曲 線的斜率 $S_d$ , 毫伏/千赫
			輸入电压 $U_{m0,ex}$ , 伏	輸出电压 $U_{m0,out}$ , 伏	
二極管直線性檢波器	2—5	邊頻器	2—4	1.0—2.0	10—30
柵極直線性檢波器	0.1—0.2	比例檢波器	0.05—0.1	0.3—0.5	4—6
柵極平方律檢波器	0.025—0.1				

在各种不同电路类型的接收机的各系統中分配增益系数的方法如下。

#### A. 一次變頻接收机

为了使接收机的参数与频率、波段和对鏡頻波道的高度選擇性沒有关系，中頻系統的增益系数  $K_{mn4}$  应該是射頻系統的增益系数  $K_{mp}$  的 50—100 倍。

用接收机的增益系数来表示的中頻系統的增益系数等于

$$K_{mpu} = \sqrt{\frac{(K_{npme})_{max}}{a}}, \quad (2-24)$$

式中  $(K_{npme})_{max}$  ——由公式(2-23)得到的接收机的最大增益;

$$a = \frac{K_{mpu}}{K_{mn4}} = 0.001 - 0.02 —— 两系统的增益系数比。$$

对于灵敏度在 50 微伏内的接收机，增益系数比  $a = 0.01 - 0.02$ ；而对于灵敏度大于 50 微伏的接收机，则  $a = 0.001 - 0.01$ 。射频系统的增益系数等于

$$K_{mpu} = a K_{mn4}. \quad (2-25)$$

其他分波段的射频系统的增益系数用下式计算出来

$$K_{mpu} = \frac{(K_{npme})_{max}}{K_{mn4}}. \quad (2-26)$$

表 2-5 和 2-6 中举出了接收机和它的各个系统的增益系数的数值。

表 2-5

		$U_{m\delta ax} = 3$ 伏; $K_{son} = 2$					
$E_{A, peak}$ , 微 伏	$K_{npme}$	$K_{mpu}$			$K_{mn4}$		
		$a = 0.001$	0.01	0.02	0.001	0.01	0.02
6	$8.5 \times 10^5$	—	92	130.5	—	9200	6525
10	$4.25 \times 10^5$	—	63.3	92	—	6300	4600
50	$8.5 \times 10^4$	—	29	41.2	—	2900	2060
100	$4.25 \times 10^4$	6.5	20.6	29.2	6533	2060	1455
200	$2.125 \times 10^4$	4.6	14.6	21.6	4667	1460	1032

由表 2-5 和 2-6 可知，灵敏度不同的接收机的增益系数大约为 20000—1300000，而射频系统和中频系统的增益系数分别

表 2-6

$U_{m\theta, sx} = 3$ 伏; $K_{sat} = 3$							
$E_A prav, \mu$	$K_{npue, n}$	$K_{mp1}$		$K_{mnq}$		0.01	0.02
		$\alpha = 0.001$	0.01	0.02	0.001		
5	$1.28 \times 10^8$	—	113	160	—	11300	8000
10	$6.4 \times 10^5$	—	80	113	—	8000	5650
50	$1.28 \times 10^5$	—	36.5	50.5	—	3680	2530
100	$6.4 \times 10^4$	8	25.4	35.8	8000	2540	1790
200	$3.2 \times 10^4$	5.7	17.9	25.3	5560	1790	1270

为 5—160 和 1000—11000。

### 6. 二次变频接收机

第二中频系统决定着接收机的通频带和对相隣波道的选择性。因此，它的增益系数要选得为第一中频系统的增益系数的 7—20 倍。

第二中频系统的增益系数可以用接收机的增益系数来表示，它等于

$$K_{mnq_2} = \sqrt{\frac{(K_{npue, n})_{max}}{bc}}, \quad (2-27)$$

$$b = \frac{K_{mnq_1}}{K_{mnq_2}} = 0.05 - 0.15;$$

$$c = \frac{K_{mp1}}{K_{mnq_2}} = 0.005 - 0.015.$$

第一中频系统的增益系数等于

$$K_{mnq_1} = b K_{mnq_2}. \quad (2-28)$$

射频系统的增益系数等于

$$K_{mp1} = \alpha K_{mnq_2}. \quad (2-29)$$

其他分波段的射頻系統的增益系数可用下式計算出来

$$K_{mpu} = \frac{(K_{npus})_{max}}{K_{mnq_1} K_{mnq_2}}. \quad (2-30)$$

表 2-7 中举出了接收机和它的各个系统的增益系数的数值。

表 2-7

$U_{m0,ex}=3$ 伏; $K_{3an}=3$ ; $b=0.1$ ; $c=0.01$				
$E_{A-prakt}$ 微 伏	$K_{npus}$	$K_{mpu}$	$K_{mnq_1}$	$K_{mnq_2}$
5	$1.28 \times 10^4$	10.9	109	1090
10	$6.4 \times 10^4$	8.6	86	860
20	$3.2 \times 10^4$	6.8	68.4	684
50	$1.28 \times 10^4$	5	50.4	504

由表 2-7 可知，灵敏度不同的接收机在各系统的增益系数如下：

- 1) 射頻系統为 5—11;
- 2) 第一中頻系統为 50—110;
- 3) 第二中頻系統为 500—1100。

各系統增益系数的已知值將在選擇級數時准确地确定。

低頻系統的增益系数应根据末級輸入电压的振幅来計算。

末級輸入电压的振幅等于：

在單臂放大級時

$$U_{me} = \frac{44.6}{S} \sqrt{\frac{P_{\sim}(1+\alpha^2)}{\eta_{mp} a R_i}}, \quad (2-31)$$

式中  $U_{me}$ ——伏，而  $\eta_{mp}$ ——輸出变压器的效率

$$(\eta_{mp}=0.8-0.9),$$

$P_{\infty}$ ——給定的（要求的）輸出功率，瓦；  
 $\alpha = \frac{R_a}{R_i}$ ——負載因數（對三極管是3—5；對五極管是0.08—0.12）；  
 $S$ ——電子管互導，毫安/伏；  
 $R_i$ ——電子管的內阻，千歐。

對於用A類狀態工作的推挽級的一個支路來說：

$$U_{m.e} = \frac{31.6}{S} \sqrt{\frac{P_{\infty}(1+\alpha^2)}{\eta_{mp}\alpha R_i}}. \quad (2-32)$$

對於用AB<sub>1</sub>類狀態工作的推挽級的一個支路來說：

$$U_{m.e} \approx \frac{40}{S} \sqrt{\frac{P_{\infty}(1+\alpha^2)}{\eta_{mp}\alpha R_i}}. \quad (2-33)$$

低頻系統的增益系數等於

$$K_{mav} = \frac{U_{m.e}}{U_{m.o.eav}}. \quad (2-34)$$

振幅檢波器的音頻輸出電壓等於

$$U_{m.o.eav} = m K_r U_{m.o.e}, \quad (2-35)$$

式中  $K_r$ ——檢波器的傳輸系數，等於0.5—0.8；

$m$ ——調制度，通常為0.9。

由表2-4得到鑑頻器的輸出音頻電壓  $U_{m.o.eav}$  等於1—2伏，而比例檢波器的音頻輸出電壓等於0.3—0.5伏。如果需要接收機又能接收調幅信號，又能接收調頻信號，則在計算低頻系統的增益系數時，必須取檢波器輸出電壓的最小值。

末級推挽的低頻系統的增益系數，用倒相級的一個支路來計算。

如果需要能夠使用拾音器時，低頻系統的增益系數，應該根據輸出檢波器電壓和拾音器電壓中較小的一個電壓，即拾音

器塞孔的灵敏度来计算。

## 2-9. 选择性和通频带均匀性的指标在各系统的分配

专用接收机用3兆赫以上的频率工作，因此射频系统的通频带比接收机的通频带要宽。所以射频系统对瞬波道选择性和接收机的通频带的影响很小。

在频率失真系数  $M_{\sigma,mu} = 0.7 - 0.8$ ，即  $-3 - (-2)$  分贝的、低频系统振幅-频率特性曲线的高音频区域内，不均匀性一般是不大的。

在专用接收机中，为了取得所要求的选择性和通频带均匀度，需要给接收机各系统分配一定的任务，具体安排如下：

- 1) 取得对镜频波道的选择性——由射频系统完成；
- 2) 取得对相邻波道的选择性——由中频系统完成；
- 3) 通频带的均匀性问题——在中频和低频系统内解决，窄通频带时在射频系统内解决。

调幅时中频系统在高音频上的频率失真系数等于

$$(M_{mu})_{ab} = M_{ab} + (M_{mpu})_{ab} + (M_{\sigma,mu})_{ab}, \quad (2-36)$$

式中  $M_{ab}$ ——给定的接收机频率失真系数，分贝；

$(M_{mpu})_{ab}$ ——射频系统的频率失真系数，分贝 ( $M_{mpu} < 1$ )；  
 $(M_{\sigma,mu})_{ab}$ ——低频系统的频率失真系数，分贝 ( $M_{\sigma,mu} < 1$ )。

如果在各分波段都能满足下列条件时，可以使射频系统的频率失真系数为零。这个条件是：

$$\frac{f_{no,mu}}{2\Delta f_n} \geq (300 - 500). \quad (2-37)$$

如果不能满足这个条件，则射频系统的频率失真系数应当等于  $-1 - (-2)$  分贝。

在接收调频信号时，射频和中频系统不会产生调制频率

(声频) 失真。这两个系统只会产生对频率检波器特性曲线的直线上部分有影响的振幅失真。各系统的通频带越窄，频率检波器的特性曲线的直线上部分就越小，检波器的振幅特性曲线也就越坏。为了使频率检波器在给定频率偏移时得到直线性的特性曲线，必需使射频和中频系统以最小的失真让信号的全部频谱通过。因此，射频系统和中频系统对调频信号的通频带根据衰减为3分贝，即电平为0.7来确定。

接收机通频带的频率失真系数等于

$$M_{\delta\delta} = M_{mpu(\delta\delta)} + M_{mn4(\delta\delta)} = -3 \text{ 分贝}, \quad (2-38)$$

由此得到

$$(M_{mn4})_{\delta\delta} = -3 \text{ 分贝} - (M_{mpu})_{\delta\delta}. \quad (2-39)$$

计算中频系统的频率失真系数时，应该取

$$(M_{mpu})_{\delta\delta} = -(0.5-0.8) \text{ 分贝}.$$

如果射频系统的通频带很宽，足以满足(2-37)的条件，则射频系统的通频带的频率失真系数应该取为零。

对于具有二次变频的接收机来说，为了取得所要求的选择性和通频带不均匀度，需要给各系统分配不同的任务，具体安排如下：

- 1) 取得对第一中频波道的选择性——由射频系统完成；
- 2) 取得对第二中频波道的选择性——由第一中频系统完成；
- 3) 第一中频的频率是相当高的，因而对相邻波道的选择由第二中频系统来决定；
- 4) 通频带的不均匀性问题——在第二中频和低频系统解决，以及在第一中频系统解决一部分。

第二中频系统在高音频上的频率失真系数可用下式计算出来：

$$(M_{mn\alpha_2})_{\partial\delta} = M_{\partial\delta} - (M_{mp\alpha})_{\partial\delta} - (M_{mn\alpha_1})_{\partial\delta} - (M_{m\alpha})_{\partial\delta}. \quad (2-40)$$

可以取第一中頻系統的頻率失真系數為 0 或者  $-1 \cdots -2$  分貝。

第二中頻系統的通頻帶對調頻信號的頻率失真系數等於

$$(M_{mn\alpha_2})_{\partial\delta} = -3 \text{ 分貝} - (M_{mp\alpha})_{\partial\delta} - (M_{mn\alpha_1})_{\partial\delta}. \quad (2-41)$$

這裡應該取

$$(M_{mp\alpha})_{\partial\delta} = -(0.5 - 0.8) \text{ 分貝}; \quad (M_{mn\alpha_1})_{\partial\delta} = -(0.8 - 1) \text{ 分貝}.$$

廣播接收機射頻系統的通頻帶，只是在短波和超短波波段上才比較寬。在長波和中波波段上，射頻系統的通頻帶和接收機的通頻帶相差不大。在長波和中波波段上，對相隣波道的選擇性主要由中頻系統決定，而部分地由射頻系統來決定，但在短波和超短波波段上則主要由中頻系統決定。因為一般要求在所有波段上的對相隣波道的選擇性是相同的，所以應該認為它是由中頻系統決定的。因而長波和中波波段的對隣波道的選擇性要比給定值大一些，就是說將有一些富裕。

高級和中級接收機的通頻帶是可變的（由 7 到 13 千赫）；而低級接收機的通頻帶等於 8 千赫。短波和超短波波段上通頻帶由中頻系統和低頻系統決定；而在長波和中波波段上決定通頻帶的還有射頻系統。當輸入裝置為單回路時，通頻帶的不均勻性將在長波上最大。

高質量廣播接收機在中波和長波上都采用雙回路的輸入裝置，以便得到頻率失真小的通頻帶。採用雙回路輸入裝置時，高頻放大級的可變電容器應接到帶通濾波器的第一回路上，而放大器的板路中應接入一個電阻。這樣一來，便在採用同軸可變電容器組的情況下接成雙回路輸入裝置以及沒有選擇性和頻

率失真的非諧振放大器。

广播接收机的低频系統是由低頻放大系統和揚聲器組成的。低頻系統在高音頻段的頻率失真系數等於

$$(M'_{mnu})_{\partial\delta} = (M_{e,ynu})_{\partial\delta} + (M_{e,v})_{\partial\delta}, \quad (2-42)$$

其中  $(M_{e,ynu})_{\partial\delta}$ ——低頻放大器在高音頻上的頻率失真系數，分貝；

$(M_{e,v})_{\partial\delta}$ ——揚聲器在高音頻上的頻率失真系數，分貝。

低頻放大器的頻率失真系數是在高、低音頻調整器調到中間位置時求出來的，因為在中間位置上振幅-頻率特性曲線最均勻。可以認為在高音頻上這一頻率失真系數等於 $-2$ — $(-3)$ 分貝。

把揚聲器的振幅-頻率特性曲線疊加起來便可以求得它們的頻率失真系數，或者在技術要求中指明。

對廣播接收機來說，為了取得所要求的選擇性和通頻帶不均勻度，需要給各系統分配一定任務，具體安排如下：

- 1) 取得對鏡頻波道的選擇性——由射頻系統完成；
- 2) 取得對相隣波道的選擇性——由中頻系統完成。

射頻系統的頻率失真系數規定如下。

由輸入裝置形成的射頻系統：在長波上為 $-3$ — $(-4)$ 分貝；在中波上為 $-2$ — $(-3)$ 分貝；在短波上為 $0$ — $(-1.5)$ 分貝。由雙回路輸入裝置和非調諧放大器組成的射頻系統，在中波和長波上為 $-2$ — $(-3)$ 分貝。

中頻系統的頻率失真系數取為 $-3$ — $(-5)$ 分貝。

接收機在長波、中波和短波上的頻率失真系數等於

$$M_{106} = |(M_{mpu_1})_{\partial\delta} + (M_{mnu})_{\partial\delta}| + (M'_{mnu})_{\partial\delta} \leq |(M_{grau})_{\partial\delta}|,$$

$$\left. \begin{aligned} M_{\alpha\delta} &= |(M_{mpv_2})_{\alpha\delta} + (M_{mnv})_{\alpha\delta} \\ &\quad + (M'_{mnv})_{\alpha\delta}| \leq |(M_{\text{radio}})_{\alpha\delta}|, \\ M_{\beta\delta} &= |(M_{mpv_3})_{\beta\delta} + (M_{mnv})_{\beta\delta} \\ &\quad + (M'_{mnv})_{\beta\delta}| \leq |(M_{\text{radio}})_{\beta\delta}|. \end{aligned} \right\} \quad (2-43)$$

接收机在所有波段上的频率失真系数，在带回路输入装置时应小于给定值。在频率低于250千赫的长波波段上，有比其他波段大的频率失真系数是允许的。

## 2-10. 射频系统的回路衰减和参数的测定

如果射频系统在各波段的频率失真系数已经选定，射频系统各回路的等效衰减（即考虑到电子管分流作用的衰减），是按照最坏情况（在各波段的最高频率）下的镜频波道选择性和按照接收机在最坏情况（在各波段的最低频率）下的通频带来确定的。此外，我们还要根据给定的高频放大器的不同级数来求射频系统各回路的等效衰减。

### A. 根据给定的各波段镜频波道的选择性来求回路的等效衰减

最简单的射频系统是由输入装置构成的，而比较复杂的射频系统则包括输入装置和若干级高频放大器。

在确定射频系统的回路对镜频波道而言的等效衰减之前，应该确定每一波段最高频率时的失谐系数（在各波段的最高频率上对镜频波道的选择性最差）。

$$X = \frac{f_{n\sigma,\max}}{f_{n\sigma,\max} + 2f_{np}}, \quad (2-44)$$

式中  $f_{n\sigma,\max}$ ——分波段的最高频率。

只有当本机振荡器的频率大于信号频率时，公式(2-44)才是正确的。如果本机振荡器的频率低于信号频率（这种情况很少见，只在接收机采用固定调谐时才会有），那末分子上应

該用負號代替正號。

大失諧的範圍相當於下列的失諧系數的數值：

$$\left. \begin{array}{l} X < 0.9, \\ X > 1.1. \end{array} \right\} \quad (2-45)$$

小失諧的範圍相當於下列的失諧系數的數值：

$$0.9 < X < 1.1. \quad (2-46)$$

在低中頻時（在  $f_{n\sigma, max} \gg f_{np}$  時），通常在特高頻上得到小失諧的範圍。

對於各失諧範圍，要用相應的公式來計算回路對鏡頻波道選擇性而言的等效衰減。

當射頻系統由單回路輸入裝置組成時，保證對鏡頻波道具有選擇性的該回路的等效衰減因數為：

在大失諧時

$$d_{\theta, sep\kappa} = -\frac{|1-X^2|}{S_{sep\kappa} X^2}, \quad (2-47)$$

式中  $S_{sep\kappa}$ ——給定的對鏡頻波道的選擇性（相對數值）；

在小失諧時

$$d_{\theta, sep\kappa} = -\frac{4f_{np}}{f_{n\sigma, max}^2} \frac{1}{\sqrt{S_{sep\kappa}^2 - 1}}. \quad (2-48)$$

當射頻系統由用雙電容耦合的雙回路輸入裝置（帶通濾波器）組成，且  $\beta = \frac{K}{d_2} = 1$  時，能保證對鏡頻波道具有選擇性的該系統的回路的等效衰減為：

大失諧時

$$d_{\theta, sep\kappa} = -\frac{|1-X^2|}{3.44 X^2 \sqrt{S_{sep\kappa}}}, \quad (2-49)$$

小失諧時

$$d_{\text{sep}, \text{双}} = \frac{4f_{\text{np}}}{f_{\text{nose}} - \frac{1}{1.41\sqrt{S_{\text{sep}}^2 - 1}}} \quad (2-50)$$

双回路输入装置主要用在广播接收机的长波和中波上，因为在这些波段上，如果镜频波道的选择已经给定，则不可能获得频率失真系数小的通频带。

当射频系统由单回路输入装置和高频放大器组成时，该回路能保证对镜频波道具有选择性的等效衰减为：

大失谐时

$$d_{\text{sep}, \text{大}} = \frac{|1 - X^2|}{\sqrt{S_{\text{sep}} X^{n_1 + 1}}} \quad (2-51)$$

式中  $n_1 = n + 1$ ——射频系统的回路数，它等于高频放大器的级数  $n$  加上输入装置的回路数<sup>2</sup>

小失谐时

$$d_{\text{sep}, \text{小}} = \frac{4f_{\text{np}}}{f_{\text{nose}} - \frac{1}{\sqrt{2\sqrt{S_{\text{sep}} - 1}}}} \quad (2-52)$$

当射频系统由用双电容耦合的双回路输入装置( $\beta = 1$ )和高频放大器组成时，该回路能保证对镜频波道具有选择性的等效衰减为：

大失谐时

$$d_{\text{sep}, \text{大}} \approx \frac{|1 - X^2|}{\sqrt{\frac{n_1^2}{2} S_{\text{sep}} X^{n_1 + 4}}} \quad (2-53)$$

小失谐时应该这样来分配双回路输入装置和高频放大器之间的对镜频波道的选择性，要使得输入装置和高频放大器的回路等效衰减差不多。令  $n_1 = n$ ，可用公式(2-52)求出高频放大器的回路等效衰减。双回路输入装置的回路的等效衰减可由公

式(2-50)求出来。

### 5 根据接收机的通频带和射频系统在各波段的频率失真系数

$M_{mpu}$  来确定回路的等效衰减

回路等效衰减是用对应于分波段最低频率的分波段的最窄通频带来确定的。

为保证得到给定的频率失真系数，单回路输入装置的回路等效衰减应当等于

$$d_{s,n} = \frac{2\Delta f_n}{f_{n\delta,nun}\sqrt{\frac{n_1}{V}\frac{1}{(M_{mpu})^2}-1}}. \quad (2-54)$$

如果是双回路输入装置，则应该在输入装置和高频放大器之间分配射频系统的频率失真系数：

$$(M_{mpu})_{\partial\delta} = (M_{e,y})_{\partial\delta} + (M_{yey})_{\partial\delta}, \quad (2-55)$$

式中  $(M_{e,y})_{\partial\delta}$ ——输入装置的频率失真系数，分贝；

$(M_{yey})_{\partial\delta}$ ——高频放大器的频率失真系数，分贝，它在不调谐的级上等于零。

输入装置和高频放大器的频率失真系数，应该这样选择，要使得输入装置和高频放大器的回路等效衰减大致相同。若  $n_1=n$ ，高频放大器的回路等效衰减可由公式(2-54)决定。双回路输入装置的回路等效衰减等于

$$d_{s,n} = \frac{2\Delta f_n}{f_{n\delta,nun}\sqrt{\frac{1}{1.41\frac{1}{M_{e,y}^2}-1}}} \quad (2-56)$$

在所列的全部公式中，不带註脚  $\partial\delta$  的  $S_{sepK}$  和  $M_{mpu}$  的数值都是相对值，而带有註脚  $\partial\delta$  的  $(S_{sepK})_{\partial\delta}$  和  $(M_{mpu})_{\partial\delta}$  的数值都是用分贝表示的值。

相对值用分贝表示时等于

$$A = 10^{\frac{A_{dB}}{20}} \quad (2-57)$$

分贝值用相对值表示时等于

$$A_{dB} = 20 \lg A \quad (2-58)$$

表 2-8 中列出了相对值与分贝值的换算表。

表 2-8

衰减 电压比	分贝	放大 电压比	衰减 电压比	分贝	放大 电压比
1.00	0	1.00	0.13	18	7.94
0.89	1	1.12	0.11	19	8.91
0.79	2	1.26	0.10	20	10.00
0.71	3	1.41	0.056	25	17.8
0.63	4	1.58	0.032	30	31.6
0.56	5	1.78	0.018	35	56.2
0.5	6	1.99	0.010	40	100
0.45	7	2.24	0.006	45	177.8
0.4	8	2.51	0.003	50	316
0.36	9	2.82	0.002	55	562
0.32	10	3.16	0.001	60	1000
0.28	11	3.55	0.0006	65	1770
0.25	12	3.98	0.0003	70	3160
0.22	13	4.47	0.0002	75	5620
0.2	14	5.01	0.0001	80	10000
0.18	15	5.62			
0.16	16	6.31			
0.14	17	7.08			

### B. 回路等效衰减的选择

各波段的回路等效衰减由下列不等式决定

$$d_{\theta,step} > d_{\theta} > d_{\theta,x} \quad (2-59)$$

当  $d_9 < d_{9,sep_n}$  时，对鏡頻波道的选择性將大于給定值；而当  $d_9 > d_{9,M}$  时，频率失真系数將小于选定值。因此，这样选定的回路等效衰減数值，將完全滿足对射頻系統的鏡頻波道选择性和频率失真系数的要求。

如果在計算回路等效衰減时出現了  $d_{9,sep_n} < d_{9,M}$  的情况，那末应当使射頻系統取更大的频率失真系数  $M_{mpn}$ ，并从确定中頻系統的频率失真系数着手，重新进行全部計算。

当频率大于 3 兆赫时，在大多数情况下都可以使射頻系統的频率失真系数等于零。于是，回路等效衰減只根据給定的对鏡頻波道的选择性来确定。

所得到的回路等效衰減，不應該小于此表 2-9 中所列举的數值。

表 2-9

波 段	$d_n$	$Q_n$	$d_9$	$Q_9$
長 波	0.1—0.05	10—20	0.1—0.05	10—20
中 波	0.025—0.0167	40—60	0.025—0.0167	40—60
短 波	0.0125—0.01	80—100	0.0167—0.0125	60—80
特高頻	0.01—0.005	100—200	0.04—0.02	25—50

表 2-9 中舉出了回路衰減和回路等效衰減的平均值。

电子管的輸入阻抗和輸出阻抗，隨着频率的提高而显著地減小，使回路出現了明显的旁路現象，并且提高了回路的衰減。

如果計算時出現了回路等效衰減小于此表 2-9 中所列數值的情况，那就是說在制作上不能達到這些數值，因而在已选定的高頻放大器的級數下，不能取得給定的對鏡頻波道的选择性。

所以必須增加一級高頻放大器。

在射頻系統的回路等效真值確定之後，需要首先的是射頻系統是否取得了必要的增益系数。

从確定射頻系統的回路等效衰減中，可以知道高頻放大器的級數。

現在我們來求輸入裝置的傳輸系數和高頻放大級的增益系数。

輸入裝置的傳輸系數（在饋線與它匹配的情況下）等於

$$K_{oc} = \frac{1}{2} \sqrt{\frac{R_{ex}}{R_p}}, \quad (2-60)$$

式中  $R_{ex} = \frac{K}{f_{nc,mc}^2}$  ——電子管的輸入阻抗；

$R_p$ ——饋線的特性阻抗。

輸入裝置在匹配狀態下工作時，其傳輸系數可從表 2-10 中選取。

表 2-10

波段	$K_{oc,y}$	
	單回路輸入裝置	雙回路輸入裝置
長波	2—3	1.5—2.5
中波	4—6	3—5
短波	3—5	—

高頻放大級的增益系数為

$$K_{ay\theta t_1} = \frac{10^2 m_1 m_2 S}{2\pi f_{n2,mc} d_2 C_{g,mc}}, \quad (2-61)$$

式中  $m_1$  和  $m_2$ ——放大管板極端和下一級電子管輸入端的變換系数，是在初步計算中給定的；

$S$ ——毫安/伏;

$f_{no.mun}$ ——兆赫;

$C_{e,maxc}$ ——微微法。

回路的最大等效电容  $C_{e,maxc}$  是由调谐电容器的电容和电路电容组成的。由于频率范围不同，最大等效电容量也不同。表 2-11 中举出了各种接收机的电容量的平均值。

表 2-11

接 收 机 种 类.	$C_{e,maxc}$ 微微法
短波通信接收机	120—150
特高频通信接收机	40—60
广播接收机：	
1) 长波、中波和短波的	550
2) 超短波的和特高频的	15—40

放大级的增益系数应该等于或小于稳定的增益系数：

$$K_{ayeu_1} \leq K_{yem} = 12.6\gamma \sqrt{\frac{S}{f_{no,maxc}(C_{a.c} + C_{n.a})}}, \quad (2-62)$$

式中  $\gamma$ ——依放大器级数而定的系数( $n=1$  时  $\gamma=0.45$ ;  $n=2$  时  $\gamma=0.31$ ;  $n=3$  时  $\gamma=0.27$ ;  $n=4$  时  $\gamma=0.26$ );

$S$ ——毫安/伏;

$f_{no,maxc}$ ——兆赫;

$C_{a.c}$ ——微微法;

$C_{n.a}$ ——管座电容：金属管为 0.01 微微法；指形管为 0.017 微微法。

如果不能满足(2-62)的要求，那就意味着用共阴极的放大

級不可能稳定地工作，因而为了取得要求的放大倍数，必須采用桥式电路或者用其它型式的电子管。

射頻系統的增益系数等于

$$K_{mpu} = (K_{oc})_{s,y} K_{byc_1}^n, \quad (2-63)$$

式中  $n$ ——高頻放大器的級數，在确定射頻系統的回路衰減时选定。

射頻系統的增益系数是在按系統分配增益数量时选定的。如果所得到增益系数比所选定的小，那就應該增加高頻放大器的級數，并应重新进行全部計算；或者选用互导大的电子管，并重新再次計算增益系数。如果所取得的射頻系統的增益系数比需要的大，那就應該減掉一級高頻放大器，并从头进行計算。

射頻系統的增益系数，大致上應該等于按照系統所分配的数值。

## 2-11. 中頻系統的回路衰減和級數的確定

中頻系統各級采用的帶通濾波器是由臨界耦合相当于广义耦合系数

$$\beta = \frac{K}{d_3} = 1$$

时的两个在同一频率上調諧的双耦合回路組成的。

在广义耦合系数下，帶通濾波器可以取得上部平坦的單峯譜振曲線。

在  $\beta=1$  的情况下采用具有譜振曲線的帶通濾波器的好处如下：

1. 簡化工厂对濾波器的調諧，因为只要根据最大譜振电压来調諧；

2. 簡化修理接收机时对濾波器的調整；
3. 簡化接收机根据檢波器輸入端的最大載頻对电台的調  
諧；
4. 在确保選擇性的条件下可以得到所需要的通頻帶。

在高質量广播接收机中，可調通頻帶是用下列方法取得的，就是移动濾波器線圈的相互位置，也就是增加 $\beta$ 的數值，使通頻帶加寬并使諧振曲綫出現双峯。

并不是在中頻系統的所有濾波器中都調整它的通頻帶，因此有可能使中頻系統取得頂峯基本平坦的總諧振曲綫。

首先在 $\beta=1$ 时計算高質量广播接收机的帶通濾波器，而后在 $\beta>1$ 时計算若干个帶通濾波器，以使中頻系統具有更寬的通頻帶。这一节中舉出了当 $\beta=1$ 时进一步計算帶通濾波器的方法。

中頻系統的回路等效衰減，根据該系統所选定的頻率失真系數 $M_{mnu}$ 和給定的对相隣波道的選擇性 $S_{crossover}$ 来确定。我們还要根据所給定的不同的中頻放大器的級數 $n$ ，来确定中頻系統的回路等效衰減。

A.能保証接收机在选定的頻率失真系數下得到通頻帶的回路等效衰減等于

$$d_{\sigma, n} = \frac{2\Delta f_n}{f_{np}} \cdot \frac{1}{4^{\frac{n_2}{n_2}} \cdot 1.41 \sqrt{\sqrt{1 - \frac{1}{(M_{mnu})^2}} - 1}}, \quad (2-64)$$

式中  $n_2 = n + 1$ ——中頻系統的帶通濾波器的数目，等于中頻放大器的級數 $n$ 加上变頻級的濾波器。

B.能保証对相隣波道的選擇性的回路等效衰減等于

$$d_{\text{eq},\text{cocept}} = \frac{2\Delta f_{\text{cocept}}}{f_{np}} \cdot \frac{1}{1.41 \sqrt{\frac{n_2}{V} S_{\text{cocept}}^2 + 1}}, \quad (2-65)$$

回路等效衰減  $d_s$  由下列不等式选定：

$$d_{\text{eq},\text{cocept}} > d_s > d_{\text{eq},\mu} \quad (2-66)$$

如果  $d_s < d_{\text{eq},\text{cocept}}$ , 对相鄰波道的选择性將大于给定值；而当  $d_s > d_{\text{eq},\mu}$ , 則頻率失真系数將小于选定值。

这样选定的回路等效衰減，將使中頻系統获得十分滿意的对相鄰波道的选择性和頻率失真系数。

如果計算回路等效衰減时  $d_{\text{eq},\text{cocept}} < d_{\text{eq},\mu}$ , 则就應該使中頻系統取更大的頻率失真系数，并重新進行計算。

选定的回路等效衰減，不应小于表 2-12 中所举出来的数值。

对于通信接收机來說，給定的往往不是对相鄰波道的选择性，而是矩形系数。矩形系数在  $\beta=1$  时为

$$K_{n_0,1} = \frac{2\Delta f_{0,1}}{2\Delta f_{0,7}} = \sqrt{\frac{\frac{n_2}{V} 10^2 - 1}{\frac{n_2}{V} 2 - 1}}, \quad (2-67)$$

$$K_{n_0,01} = \frac{2\Delta f_{0,01}}{2\Delta f_{0,7}} = \sqrt{\frac{\frac{n_2}{V} 10^4 - 1}{\frac{n_2}{V} 2 - 1}}. \quad (2-68)$$

这时，中頻系統的回路等效衰減，只由接收机的通頻帶和頻率失真系数来确定。

用于接收調幅和調頻信号的接收机，有兩個不同的中頻，即接收調幅信号的低中頻和接收調頻信号的高中頻，它保證有接收这类信号所必需的通頻帶。

表 2-12

中頻，千赫	$d_n$	$Q_n$	$d_s$	$Q_s$
110—115	0.1—0.05	10—20	0.1—0.05	10—20
463—467	0.0125—0.01	80—100	0.02—0.0143	50—70
620—630	0.0125—0.01	80—100	0.02—0.0143	50—70
1200, 1600 1900, 2200	0.0125—0.01	80—100	0.025—0.0167	40—60
4500, 8400	0.0125—0.01	80—100	0.033—0.02	30—50

中頻系統各級應該能够放大具有兩個不同頻率的信號電壓。要做到這一點，就要在電子管的板極電路中接入兩個串聯的帶通濾波器，并把它們分別調諧到高、低中頻。

中頻系統對於高、低中頻的回路等效衰減是用上面所述的方法來計算的。

具有二次變頻的接收機有兩個中頻系統：高中頻的第一中頻系統和低中頻的第二中頻系統。

第二中頻系統的回路等效衰減用上述方法計算。第一中頻系統的回路等效衰減根據第二鏡頻波道的選擇性  $S_{sep\kappa_2}$  進行計算。

如果第二鏡頻波道的選擇性沒有給定，那就令它等於或大於給定的第一鏡頻波道的選擇性。

在  $\beta=1$  時第一中頻系統的回路等效衰減等於

$$d_{sep\kappa_2} = \frac{\left[1 - X^2\right]}{1.41x\sqrt{S_{sep\kappa_2}}}, \quad (2-69)$$

式中  $n_3 = n + 1$  —— 第一中頻系統的回路數，等於第一中頻系統放大器的級數加上第一變頻回路。

中頻系統各級的增益系數計算如下。

中頻放大級的增益系數在  $\beta = 1$  時等於

$$K_{\text{obj}} = \frac{10^3 S}{4\pi f_{np} d_s C_s}, \quad (2-70)$$

式中  $S$  —— 毫安/伏；

$f_{np}$  —— 兆赫；

$C_s$  —— 帶通濾波器各回路的等效電容，初步計算時取它等於 100—300 微微法。

級的增益系數應該等於或者小於穩定的增益系數：

$$K_{\text{obj}} \leq K_{\text{yem}} = 12.67 \sqrt{\frac{S}{f_{np}(C_{a.o} + C_{n.a})}}, \quad (2-71)$$

式中  $S$  —— 毫安/伏；

$f_{np}$  —— 兆赫；

$C$  —— 微微法。

如果級的增益系數大於穩定的增益系數，那末應該用不完全接入板極回路的辦法來減少增益系數；給板極回路選定一個適當的變換系數，以使一級的增益系數小於穩定的增益系數。

增大帶通濾波器各回路中的電容量，也可以減少放大級的增益系數。

變頻器的增益系數在  $\beta = 1$  時等於

$$K_{\text{obj}} = \frac{10^3 S_{np}}{4\pi f_{np} d_s C_s} = \frac{S_{np}}{S} K_{\text{yem}}, \quad (2-72)$$

式中  $S_{np}$  —— 變頻管或混頻管的變頻跨導，毫安/伏。

在使用變頻管時（變頻管起兩個作用：作混頻器和本機振蕩器），變頻跨導可從手冊中查到。

用三極管和五極管作混頻器時，中頻跨導由下式決定

$$S_{np} = \frac{S}{4}, \quad (2-73)$$

式中  $S$ ——電子管在放大狀態下的互導。

中頻系統的增益系數等於

$$K_{mn} = K_{mn} K_{0mn_1}^n, \quad (2-74)$$

式中  $n$ ——中頻放大器的級數。

如果中頻系統所得到的增益系數，小於按系統分配增益它所應該有的增益系數，那就應該增加中頻放大器的級數，并重新進行全部計算。或者選用大互導電子管，並重新計算增益系數。

如果中頻系統的增益系數，比所要求的增益系數大得多，那就應該減掉一至二級中頻放大器，並重新進行全部計算。

中頻系統的增益系數，應該大致等於按系統分配接收機的增益系數時所應當有的數值。第一和第二中頻系統的增益系數可以用類似的方法計算。

## 2-12. 自動增益調整的初步計算

計算自動增益調整就先說明用哪種自動增益調整電路（遲延式自動增益調整電路或同時有遲延和放大作用的自動增益調整電路）和增益調整所控制的高頻和中頻電路的級數。自動增益調整計算如下。

我們首先求出可調電壓的絕對值

$$U_p = E_1(p-1), \quad (2-75)$$

式中  $E_1$ ——遲延電壓，等於電子管在選定狀態下的起始柵偏壓；

$p$ ——輸出電壓的變化。

根据电子管的特性曲线，我們得到負偏压  $E_c = -E_2$  时的最大互导  $S_{1max}$ ，負偏压为  $E_c + U_p$  时的最小互导  $S_{1min}$ 。然后我們求出被調各电子管的最大互导之积和最小互导之积，并根据兩者之比来确定接收机的输出电压的变化率：

$$\alpha = p \cdot \frac{(S_1 S_2 S_3 \cdots \cdots S_n)_{max}}{(S_1 S_2 S_3 \cdots \cdots S_n)_{min}} \quad (2-76)$$

如果所得到的数值  $\alpha$  等于或者大于給定数值，那就是說，选定的被調級的級數能保證在使用延迟式自动增益調整电路时具有給定的增益調整範圍。

如果所得到的数值  $\alpha$  比給定的数值大得多，那就表示說，可以減少被調級的級數；或者不減少級數，而使接收机取得較好的增益調整範圍。

如果所得到的数值  $\alpha$  小于給定的数值，那就說明这样多的被調級數不能在采用延迟式自动增益調整电路时具有給定的增益調整範圍。在这种情况下或是增加被調級數，或是采用有延迟作用和能放大自動增益調整电路的整流輸出电压直流分量的自動增益調整电路。这种电路在初步計算中將不討論。

### 2-13. 低頻系統級數的確定

在 § 2-8中曾求出了低頻系統的前置放大器的电压增益系数。根据这个增益系数和选定的电子管型式來定前置放大器的級數。應該考慮到在倒相級中總是采用 6H8 或 6H9 型的双三極管。

首先計算出所选定的电子管一級的增益系数。

用三極管时增益系数为

$$K_1 = \mu_1 \frac{\alpha}{1+\alpha}, \quad (2-77)$$

式中  $\alpha = \frac{R_a}{R_i} = 4-5$ —負載系數；

$R_a$ —板路負載的阻抗；

$R_i$ —電子管的內阻。

用五極管時一級的增益系數為

$$K = S\alpha R_i; \quad (2-78)$$

式中  $\alpha = 0.08-0.12$ 。

低頻系統的增益系數（前置放大器的增益系數）為

$$K_{mnu} = K_1 K_2 K_3. \quad (2-79)$$

低頻系統的增益系數大致應該等於確定低頻系統的增益系數時（§ 2-8）所得到的數值。如果低頻系統的增益系數與要求的數值相差太大，那就需要改變前置放大器的級數。

如果在高音頻域和低音頻域調整頻率特性和使用負回授，那就應該把低頻系統的增益系數增加2—3倍。在採用推挽末級時，前置放大器的級數根據倒相級的一條支路來計算。

## 2-14. 無線電接收機簡圖的組成

無線電接收機的簡圖是在初步計算的基礎上組成的，它們與圖 1-1-1-4 中所示的簡圖相似，表示出每一系統的級數和特徵。

### A. 射頻系統

- 1) 輸入裝置（單回路的或雙回路的）；
- 2) 高頻放大器——級數。

### B. 中頻系統

- 1) 變頻級（有單獨本機振盪器或者用變頻管兼作本機振盪）；
- 2) 中頻放大器——級數。

如果是二次变頻接收机，那是指兩個中頻系統的級數。

### 3. 低頻系統

- 1) 檢波器（振幅的或頻率的）；
- 2) 前置放大器——級數；
- 3) 末級放大器（單端式或推挽式）。

### 4. 接收机的調整

- 1) 自動增益調整（延遲式或延遲、放大式）；
- 2) 自動頻率微調。

在接收机的簡圖組成之后，为了便于进一步計算起見，最好把初步計算中得到的一切数据集中起来，列入表 2-13, 2-14 和 2-15 中。根据这些表中的数据进行最后的計算，修訂初步計算中得到的数据。

高頻系統的數值

表 2-13

分 波 段	輸入裝置		高頻放大器		射頻系統		
	電路		電子管类型		$K_{mpu}$	$M_{mpu}$	$d_s$
	$K_{av}$	$M_{av}$	級數	$K_{yav_1}$	$M_{yav_1}$		
1							
2							
3							

中頻系統的數值 表 2-14

變頻器和本機振盪器的 電子管類型	
中頻放大器的電子管類 型	
$K_{mn1}$	
$M_{mn1}$	
$2M_h$	
$K_{nq}$	
$K_{gna_1}$	
$d_g$	
自動增益調整電路	

低頻系統的數值 表 2-15

前置放大 器的電子 管類型	
末級放大 器的電子 管類型	
末級放大 器的電路	
$K_{mra}$	
$M_{mra}$	

### 2-15. 通信接收机的初步計算舉例

初步計算通信接收机的原始数据是：

1. 接收机的用途——通信用。
2. 安裝地点——飞机。
3. 工作种类——电话。
4. 調制种类——調頻，調制指數  $\psi_m=5$ 。
5. 高調制頻率  $F_a=3000$  赫。
6. 頻率範圍140—145兆赫。
7. 分波段數—1。
8. 實際灵敏度在  $\gamma=3$  時不差于 5 微伏。
9. 矩形系数  $K_{n0,1} \leq 2$ 。
10. 對鏡頻波道的選擇性不劣于  $S_{sep,n}=40$  分貝。
11. 負載种类——听筒，總阻抗为 125 欧姆。
12. 輸出电压  $U_{out}=5$  伏。

13. 非線性失真的容許值  $K_f \leq 10\%$ 。
14. 頻率為 200—3000 赫，衰減  $M = 6$  分貝時的電壓保真度曲線。
15. 天線阻抗  $R_A = 75$  欧姆。
16. 餋線類型 PK-1；餋線的特性阻抗為 75 欧姆，餋線長為 3 米，餋線的衰減  $\beta = 0.073$  分貝/米。
17. 自動增益調整：
- 輸入電壓的變化  $a = 3000$ ，
- 輸出電壓的變化  $b \leq 2$ 。
18. 接收種類——無微調的接收。
19. 發射機頻率的相對變化  $a_{nep} = \frac{\Delta f_{nep}}{f} = 10^{-4}$  和本機振盪器頻率的相對變化  $a_{rem} = \frac{\Delta f_{rem}}{f} = 2 \times 10^{-4}$ 。
20. 電子管類型——選擇。

無線電接收機電路類型的選擇 因為給定的對鏡頻波道的選擇性不大，所以可以採用一次變頻電路。

這樣就大大地簡化了接收機的電路和結構，從而也使交擾噪聲大大地減少了。

為使本機振盪器的頻率具有較高的穩定性，我們選用帶單獨本機振盪器的變頻器電路。

電子管類型的選擇 為使接收機具有最小的體積（這對於飛機用接收機來說是非常重要的）。我們採用了指形管。

為了便於更換和儲備電子管起見，在所有的級上都用了 6Ж1П 型銳截止高頻五極管。我們選用這種電子管的理由如下：

### 1. 比值

$$\frac{S}{C_{a,e} + C_{n,a}} = \frac{5.2}{0.025 + 0.017} = 124 \text{ 毫安/伏·微微法} \quad (2-1)$$

比較大，可以得到較大的穩定增益系数。

2. 輸入阻抗足夠大：

$$R_{sx} = \frac{K}{f^2} = \frac{7 \times 10^4 \text{千歐}}{(145 \text{兆赫})^2} = 3.33 \text{千歐。} \quad (2-2)$$

3. 比值

$$\frac{R_u}{R_{sx}} = \frac{1800}{3330} = 0.54 \quad (2-3)$$

比較小，從而使得噪聲系數較小，而接收機的實際靈敏度較大。

**中頻的選擇** 我們選用的中頻為  $f_{np} = 4500$  千赫，因為這種數值的中頻可以保證達到給定的對鏡頻波道的選擇性、給定的矩形系數和通頻帶。

**邊頻帶的計算** 求出信號頻譜的寬度：

$$\begin{aligned} 2\Delta f_c &= 2F_{maxc}(1 + \psi_m + \sqrt{\psi_m}) \\ &= 2.3(1 + 5 + \sqrt{5}) = 49.4 \approx 50 \text{千赫。} \end{aligned} \quad (2-7)$$

確定發射機和本機振盪器的頻率的變化：

$$\begin{aligned} \Delta f_{nep} &= a_{nep} f_{maxa} = 10^{-4} \times 145 = 0.0145 \text{兆赫} = 14.5 \text{千赫,} \\ \Delta f_{rem} &= a_{rem}(f_{maxc} + f_{np}) = 2 \times 10^{-4} \times (145 + 4.5) \approx 30 \text{千赫。} \end{aligned} \quad (2-11)$$

對於中頻系統，我們取頻率的相對變化  $a_{mnw} = 5 \times 10^{-5}$ ，並求出其頻率的變化：

$$\Delta f_{mnw} = a_{mnw} f_{np} = 5 \times 10^{-5} \times 4500 = 0.225 \text{千赫。} \quad (2-11)$$

令頻率漂移的吻合系數  $K = 0.6$ ，我們確定接收機的通頻帶：

$$\begin{aligned} 2\Delta f_r &= 2\Delta f_c + K(2\Delta f_{nep} + 2\Delta f_{rem} + 2\Delta f_{mnw}) \\ &= 50 + 0.6(2 \times 14.5 + 2 \times 30 + 2 \times 0.225) = 103.5 \text{千赫。} \end{aligned} \quad (2-10)$$

**實際靈敏度的計算** 設若  $\xi_n \ll \xi_{sx}$ ，我們首先求出與輸入裝置的總變換系數的既定值相當的最小噪聲系數：

$$N_{myn} = 1 + 2 \frac{R_{in}}{R_{ex}} \left( 1 + \sqrt{1 + \frac{5}{\frac{R_{in}}{R_{ex}}}} \right)$$

$$= 1 + 2 \times 0.54 \left( 1 + \sqrt{1 + \frac{5}{0.54}} \right) \approx 5.55。 \quad (2-15)$$

因为馈线不长，所以可以取馈线的噪声系数等于1，而接收机的噪声系数将等于第一级的噪声系数。

設  $B = 1.1 \times 2 \Delta f_n = 1.1 \times 103.5 = 114$  千赫和  $t_A = 1$ ，我們求得接收机的实际灵敏度

$$E_{A,peak} = \frac{1}{8} \sqrt{R_A B N_{myn}}$$

$$= \frac{1}{8} \sqrt{75 \times 0.114 \times 5.55 \times 3} \approx 1.5 \text{ 微伏。} \quad (2-21)$$

接收机的实际灵敏度應該為給定值的2—3倍。現在我們檢查一下是否滿足這個條件：

$$E_{A,peak} = \frac{(E_{A,peak})_{given}}{3} = \frac{5}{3} = 1.66 \text{ 微伏} (\approx 1.5)。 \quad (2-22)$$

可見，选定的电子管和通頻帶可以保証有給定的实际灵敏度。

**增益系数的計算和在接收机各系統間的分配** 我們選擇鑑頻器作頻率檢波器。为了使限幅器正常地工作，根据表2—4必需在限幅器的輸入端上加上一个振幅为3伏的电压。我們求得接收机的增益系数：

$$K_{amp,ex} = \frac{U_{mamp,ex}}{\sqrt{\frac{3}{2} E_{A,peak}}} = \frac{3}{\sqrt{\frac{3}{2} \times 1.5 \times 10^{-6}}} = 1.42 \times 10^4。 \quad (2-23)$$

設  $\alpha=0.01$ , 求得中頻系統的增益系數:

$$K_{mnu} = \sqrt{\frac{K_{mpue}}{\alpha}} = \sqrt{\frac{1.42 \times 10^6}{0.01}} = 11900 \approx 12000.$$

(2-24)

射頻系統的增益系數為

$$K_{mpu} = \alpha K_{mnu} = 0.01 \times 12000 = 120.$$

(2-25)

為了確定低頻系統的增益系數, 首先必須求出輸出功率,

$$P_{\sim} = \frac{U_{6AU}^2}{R_1} = \frac{3.5^2}{125} \approx 0.1 \text{瓦.}$$

為了縮小輸出變壓器的體積, 我們把末級電子管接成三極管。電子管 6J1Π 接成三極管時, 其參數如下:  $S=6$ 毫安/伏和  $R_1 \approx 10$ 千歐。

設  $\alpha=5$  和輸出變壓器的效率  $\eta_{mp}=0.8$ , 我們得到末級輸入電壓的振幅:

$$U_{mc} = \frac{44.6}{S} \sqrt{\frac{P_{\sim}(1+\alpha^2)}{\eta_{mp}\alpha R_1}} = \frac{44.6}{6} \sqrt{\frac{0.1(1+5^2)}{0.8 \times 5 \times 10}} \approx 1.9 \text{伏.}$$

(2-31)

由表 2-2 中找出鑑頻器的輸出電壓, 我們得到低頻系統的增益系數:

$$K_{mnu} = \frac{U_{mc}}{U_{.m. . . . .}} = \frac{1.9}{2} \approx 1.$$

(2-34)

可見, 不必用前置放大器, 而末級就可以直接用檢波器工作。

**選擇性和通頻帶的不均勻性在接收機各系統間的分配狀況**

如果滿足不等式(2-37), 射頻系統通頻帶的頻率失真系數將等於零(分貝)。

現在我們來檢查一下, 看是否滿足該不等式,

$$\frac{f_{max}}{2\Delta f_n} = \frac{140000}{103.5} = 1350 > 300 - 500, \quad (2-37)$$

因为满足了不等式(2-37)的要求，所以我们可以取射频系统通频带的频率失真系数为零。

根据式(2-39)我们计算出  $M_{mpk} = 3$  分贝。对镜频波道的选择性由射频系统决定。射频系统的通频带比较宽，因此矩形系数将只由中频系统决定。

射频系统的回路衰减和级数的确定：我们给定高频放大器为两极。这时射频系统回路的数目  $n_1$  就等于 3。

我们得到

$$X = \frac{f_{max}}{f_{max} + 2f_{np}} = \frac{145}{145 + 2 \times 4.5} = 0.94, \quad (2-44)$$

因为满足了相当于小失真的条件

$$0.9 < X < 1.1, \quad (2-46)$$

所以回路衰减可以用公式(2-52)求出来。为了求出回路衰减，需要把给定的对镜频波道的选择性(分贝)换成相对值，即  $(S_{sepk})_{db} = 40$  相当于  $S_{sepk} = 100$ 。

如果数值  $S_{sepk} = 100$ ，我们得到回路等效衰减：

$$d_3 = \frac{4f_{np}}{f_{max}} \sqrt{\frac{1}{S_{sepk}^2 - 1}} = \\ = \frac{4 \times 4.5}{145} \sqrt{\frac{1}{100^2 - 1}} = 0.027. \quad (2-52)$$

根据表 2-7 中的数据来看所求得的回路等效衰减是满足要求的。

我们根据选定的高频放大器的级数来求出高频系统的增益系数。我们首先求出输入装置的传输系数和高频放大器一级的

增益系数。

当输入装置与馈线匹配时，输入装置的传输系数为

$$K_{\text{in}} = \frac{1}{2} \sqrt{\frac{R_{\text{in}}}{R_{\phi}}} = \frac{1}{2} \sqrt{\frac{3330}{75}} = 3.3. \quad (2-60)$$

从表2-11中查到电容量  $C_{\text{g, max}} = 35$  微微法，并给定  $m_1 m_2 = 1$ ，我们有：

$$\begin{aligned} K_{\text{gyr}_1} &= \frac{S}{2\pi f_{\text{max}} d_s C_{\text{g, max}}} = \\ &= \frac{5.2 \times 10^{-9}}{6.28 \times 140 \times 10^6 \times 0.027 \times 35 \times 10^{-12}} = 6.25. \quad (2-61) \end{aligned}$$

我们得到放大级的稳定增益系数：

$$\begin{aligned} K_{\text{yom}} &= 12.6 \gamma \sqrt{\frac{S}{f_{\text{max}} (C_{\text{a, o}} + C_{\text{n, o}})}} = \\ &= 12.6 \times 0.31 \sqrt{\frac{5.2}{345 (0.025 + 0.017)}} = 3.6. \quad (2-62) \end{aligned}$$

因为得到的稳定增益系数小于一级的增益系数，即  $K_{\text{yom}} < K_{\text{gyr}_1}$ ，所以放大级采用蝶式同轴电容器的桥式电路。这种电路在平衡时不会产生自激，因此级的增益系数在初步的近似计算中仅由电子管的互导和回路的谐振阻抗来决定。

#### 射频系统的增益系数

$$K_{\text{mpu}} = K_{\text{gyr}} K_{\text{yom}}^2 = 3.3 \times 6.25^2 \approx 129 (> 120). \quad (2-63)$$

所得到的  $K_{\text{mpu}}$  的数值完全合适。

**中频系统的回路衰减和级数的确定** 当相当于  $\beta = 1$  的临界耦合时，我们在中频系统中采用具有单峰谐振曲线的带通滤波器。

如果设中频放大器的级数  $n = 3$ ，则中频系统中的带通滤

波器的数目将是  $n_2 = n + 1 = 4$ 。

我們將根据接收机的通頻帶和頻率失真系數 ( $M_{mn4} = -3$  分貝, 即  $M_{mn4} = 0.7$ ) 来求出回路等效衰減:

$$\begin{aligned} d_{2,3} &= \frac{2\Delta f_n}{f_{np}} \frac{1}{1.41 \sqrt[4]{\frac{n_2}{\sqrt{\frac{1}{M_{mn4}^2} - 1}}}} \\ &= \frac{108.5}{4500} \frac{1}{1.41 \sqrt[4]{\sqrt{\frac{1}{0.7^2} - 1}}} \approx 0.025. \end{aligned} \quad (2-64)$$

根据表 2-9 来看所得到的濾波器回路衰減滿足要求。

現在我們來求中頻系統的矩形系数:

$$K_{mn1} = \sqrt[4]{\frac{n_2 \cdot 10^2 - 1}{2 - 1}} = \sqrt[4]{\frac{\sqrt{10^2 - 1}}{\sqrt{2 - 1}}} = 1.84 (< 2). \quad (2-67)$$

因为矩形系数与給定的相符, 所以說选定的中頻放大器的級數是正确的。

我們將根据选定的中頻放大器的級数求出中頻系統的增益系数。

設帶通濾波器各回路的电容量  $C_s = 100$  微微法, 我們得到中頻放大器一級的增益系数为:

$$\begin{aligned} K_{mn4} &= \frac{10^{-8} S}{4\pi f_{np} d_{2,3} C_s} = \\ &= \frac{5.2 \times 10^{-8}}{12.56 \times 4.5 \times 10^6 \times 0.025 \times 100 \times 10^{-12}} = 38. \end{aligned} \quad (2-70)$$

現在我們求出一級的稳定增益系数:

$$K_{yom} = 12.67 \sqrt{\frac{S}{f_{np} (C_{a,s} + C_{n,a})}}$$

$$= 12.6 \times 0.27 \sqrt{\frac{5.2}{4.5(0.025+0.017)}} = 17.9. \quad (2-71)$$

一級的穩定增益的條件沒有達到。因此為了降低級的增益，我們採用不完全接通板極回路的電路。取  $K_{\text{syn}_1} = 15 (< 17.9)$ ，我們得到必需的變換系數：

$$m = \frac{15}{38} \approx 0.4.$$

變頻器的增益系數為

$$K_{\text{syn}} = \frac{S_{np}}{S} K_{\text{syn}_1} = \frac{\frac{5.2}{4}}{5.2} \times 15 = 3.85. \quad (2-72)$$

中頻系統的增益系數為

$$K_{mn_1} = K_{n_1} K_{\text{syn}_1}^n = 3.85 \times 15^3 = 13000 (> 12000). \quad (2-74)$$

所得到的  $K_{mn_1}$  的數值完全合適。

**自動增益調整的計算** 設  $E_c = E_s = -1.8$  伏，我們得到調整電壓的絕對值：

$$U_p = E_s(p-1) = 1.8(2-1) = 1.8 \text{ 伏}. \quad (2-75)$$

根據 6K1Π 型電子管的特性曲線，我們得到混頻管和放大管的互導的數值：

在  $E_c = -1.8$  伏時，

$$S_{np,max} = \frac{5.2}{4} = 1.3 \text{ 毫安/伏}; \quad S_{max} = 5.2 \text{ 毫安/伏}.$$

在  $E_c + U_p = -1.8 + (-1.8) = -3.6$  伏時，

$$S_{np,min} = 0.38 \text{ 毫安/伏}; \quad S_{min} = 1.5 \text{ 毫安/伏}.$$

如果把所有的級都加以調整，那末我們得到輸入電壓的變化值：

$$\alpha = \rho \frac{(S_1 S_2 S_3 \cdots \cdots S_n)_{max}}{(S_1 S_2 S_3 \cdots \cdots S_n)_{min}} = 2 \frac{1.3 \times 5 \cdot 2^6}{0.38 \times 1 \cdot b^6} \approx 3400 (> 3000). \quad (2-76)$$

因为所得到的輸入电压的变化值大于給定值，所以选定的被調級的數目，保証在采用延迟式自动增益調整电路时具有足够的增益調整範圍。

根据初步計算構成了接收机的簡圖，同时把全部計算数据列入表 2-13, 2-14 和 2-15 中，于是接收机的初步計算到此为止。以后接收机的各級將根据初步計算所得到的数据进行全面的計算。

### 第三章 輸入裝置的計算

#### 3-1. 輸入裝置概述

輸入裝置是供天綫饋綫裝置与接收机第一电子管輸入端进行耦合用的。

輸入裝置的重要作用是：

1. 能把有效信号从天綫傳輸到第一电子管輸入端；
2. 能衰減对接收有害的干扰，即通过鏡頻波道进入的干扰和与中頻相等的頻率的干扰。

輸入裝置既能用調諧的和与饋綫匹配的天綫工作，也能用非調諧天綫工作。調諧天綫具有固定的参数，而非調諧天綫的参数随波段頻率而变化。因此，計算对調諧天綫和非調諧天綫的輸入裝置的方法将是不同的。

專用接收机的輸入裝置通常在与饋綫匹配的状态下工作，而饋綫本身又是与調諧天綫匹配的。

广播接收机的输入装置在长波、中波和短波上用非调谐天线工作；而在超短波上用调谐天线工作。

调谐的，有方向性的和与馈线匹配的天线使用在短波和超短波上；而非调谐天线使用在长波，中波以及短波上。

对无论用调谐天线，或者非调谐天线的输入装置有以下的共同要求：

- 1) 电压传输系数尽可能大；
- 2) 具有需要的通频带；
- 3) 对镜频波道和与中频相等频率的选择性，尽可能大。

对用非调谐天线工作的输入装置还有以下两点补充要求：

- 1) 天线使回路失谐的数值尽可能小；
- 2) 沿波段的电压传输系数的尽可能稳定。

根据回路与天线馈线装置耦合的种类划分输入装置的种类：

接收机里输入装置采用如下电路：

A. 用调谐天线时采用：

- 1) 直接变压器耦合的电路；
- 2) 变压器耦合的电路；
- 3) 串联电感耦合的电路；
- 4) 谐振线耦合的电路。

B. 用非调谐天线时采用：

- 1) 回路与天线用电容耦合的电路；
- 2) 回路与天线用内电容耦合的电路；
- 3) 回路与天线用电感耦合的电路；
- 4) 回路与天线用电感耦合的双回路输入电路。

提高输入装置对与中频相等的频率的选择性的办法是把阻抗倍器接人大线电路。只有当输入装置的分波段频率接近于

中頻，而且輸入裝置不能保證所選的選擇性時，才這樣做。

廣播接收機的中頻接近于長波波段的最高頻率和中波波段的最低頻率。因此，在這些波段上通常把阻抗陷波器接入天線電路。

### 3-2. 輸入回路的選擇

輸入電路根據給定的頻帶、給定的天線型式（調諧的或非調諧的）和饋線類型（對稱的或非對稱的——同軸的）來選擇。

用對稱饋線時使用輸入端對稱的變壓器耦合的輸入電路。

用非對稱饋線時使用如下電路：自耦變壓器耦合電路；串聯電感耦合電路和諧振線耦合電路。這些輸入電路的輸入端，都是不對稱的。

自耦變壓器耦合的輸入電路用在350兆赫以下的頻率上。

變壓器耦合的輸入電路用在低於150兆赫的頻率上。在更高的頻率上不能採用這種電路，因為它不能使線圈間得到要求的耦合系數。

串聯電感耦合的輸入電路用在從200到500兆赫的頻率上，而且在固定頻率上工作。對固定頻率的調諧是用改變電感的方法來完成的。

諧振線耦合的輸入電路用在從350到1000兆赫頻率上。在與饋線匹配狀態下工作的特高頻輸入裝置可以在與天線通頻帶寬度相等的頻帶上工作，因為只有在天線通頻帶的範圍內，天線與饋線的匹配才會令人滿意。

在特高頻上，電子管的輸入阻抗是很小的。因此，為了減少電子管輸入阻抗對回路的旁路作用，電子管應當接到部分回路上。這樣一來還可以減少由於電子管的輸入電容的參差不一而在更換新電子時影響回路的調諧。

特高频的输入装置只在与馈线匹配的状态下工作。如果要求有最小的噪声系数，那末对于这个系数找出一个总的变换系数，并且根据这个变换系数与匹配时的变换系数的比值可以求出输入装置的传输系数。

在 20—30 兆赫以下的频率上用非调谐天线工作的输入电路，根据下列条件选定：即在波段里各频率上的传输系数比较均匀；具有所需要的通频带；以及天线回路对输入回路参数的影响不大。

回路与天线用电容耦合的输入电路的传输系数是随着波段频率的提高而成平方地增大。所以只有当输入回路所复盖的分波段不大，或者设计低质量的接收机要求输入装置结构简单时，才采用这种电路。

回路与天线用内电容耦合的输入电路用缩短的天线工作（天线回路的频率高于分波段的最高频率），它的传输系数在分波段里比较均匀，频率升高时传输系数增加不大。

用内电容耦合的输入装置以用小电容天线（鞭状天线）工作时效率为高。

用普通大尺寸天线工作时，输入装置只在长波和中波上具有比较大的传输系数，而在短波上传输系数不大。但是用不大的小电容天线工作时，不论在长波和中波，或者短波上传输系数都是很大的。

当传输系数在分波段里的不均匀性相同的条件下，回路与天线用内电容耦合的输入装置的传输系数要比回路与天线用电感耦合的输入装置的传输系数大一些。

回路与天线用电感耦合的输入装置用加长天线（天线回路的频率低于分波段的最低频率）工作，它的传输系数在分波段里比较均匀，频率上升时降低不多。传输系数在短波波段上最大。

从結構上来看，回路与天綫用內电容耦合的电路，比回路与天綫用电感耦合的电路簡單，因为电路中的耦合元件是电容器。

当要求輸入裝置具有頻率失真系数不大的通頻帶，而对鏡頻波道和与中頻相等的干扰頻率有比較大的選擇性时，在頻率从 150 千赫到 1.6 兆赫的广播接收机內使用双回路輸入裝置。

### 3-3. 用頻帶工作的輸入回路的計算

原始的計算数据是：

1. 輸入頻帶  $f_{\min} - f_{\max}$ ;
2. 分波段数目;
3. 分波段系数;
4. 电子管的輸入电容  $C_{ex}$ 。

計算程序如下。

在技术要求中沒有規定所要求的分波段数目时，應該确定这个数目并求出分波段系数。

首先我們求出波段系数

$$K_o = \frac{f_{\max}}{f_{\min}} \quad (3-1)$$

如果給定了不同的分波段数目  $n$ ，我們得到分波段系数

$$K'_o = \sqrt[n]{\frac{f_{n\beta,\max}}{f_{n\beta,\min}}} = n \sqrt[K_o]{K_o} \leq 3. \quad (3-2)$$

在分波段数目小时，分波段系数增大，从而增大了每个分波段的調諧密度(增大刻度每一度的千赫数)，并使接收机对电台的調諧复杂化。

为了使各分波段的复蓋有些余裕(即相互有些重疊——譯註)應該增大分波段系数

$$K_{n\delta} = (1.04 - 1.06) K'_{n\delta_0} \quad (3-3)$$

上述确定分波段数和分波段系数的方法是“重叠式”波段划分法。

当必需把波段分成各分波段间有一定空隙时，则需要给定一些不同的分波段系数，采用选择法进行划分。

我們根据表 3—1 来选择同轴多速可变电容器(最好是标准的)。

表 3-1

$f$ , 兆赫	0.15—1.5	1.5—6	6—30	30以上
$C_{\kappa, max}$ , 微微法	500	150—250	50—150	30—50
$C_{\kappa, min}$ , 微微法	10—15	8—12	6—10	3—7

带有超短波波段的广播接收机有一个两速电容量不同的双速可变电容器。供长波、中波和短波用的一速，其电容为  $C_{\kappa, max} = 500$  微微法；而供超短波用的一速，其电容为  $C_{\kappa, max} = 30—50$  微微法。

表 3-2

波 段	$(C_0 + C_{\kappa})$ , 微微法	$C_0$ , 微微法
长 波	25—30	15—20
中 波	15—20	5—10
短 波	8—15	1.0—1.5
超短波	5—7	0.5—1.0

从表 3-2 中找出佈线电容  $C_{\kappa}$  和线圈的固有电容  $C_0$ ，我們求出微调电容器的平均电容：

$$C_{n,op} = \frac{C_{x,max} - K_{n\theta}^2 C_{x,min}}{K_{n\theta}^2 - 1} - C_{ex}, \quad (3-4)$$

式中:  $C_{ex} = C_0 + m_2(C_{in} + C_{ox})$ ——电路电容;

$C_{ox}$ ——电子管输入电容;

$m_2$ ——电子管输入端的变换系数。

在长波、中波和短波上电子管输入阻抗是很大的，而对回路的旁路作用很小。因此在这些波长上电子管输入端总是直接接到回路上，并且  $m_2 = 1$ 。

在短波波段的高频端，特别是在超短波上电子管的输入阻抗是很小的。

为了减少电子管输入阻抗对回路的旁路作用，把电子管接到回路的一部分上，而这时  $m_2 < 1$ 。

通常给定  $m_2$  的数值为 0.5—0.8。变换系数  $m_2$  的数值越小，电子管与回路的耦合也减弱得越厉害，从而降低了回路的等效电容和更换电子管时因电子管输入电容的偏差对回路调谐的影响，也减少了回路的总衰减。

微调电容器的平均电容量应该为正值，并且不小于 3—10 微微法，从而可以用它的变化来平衡所定的电路电容量可能产生的误差。

如果所得的电容量  $C_{n,op}$  是负值，并且太小的话，那就应该另选一种同轴可变电容器，即另外选择电容量  $C_{x,max}$  和  $C_{x,min}$ ，或者适当地改变前面的计算，给出较小的波段系数  $K_{n\theta}$ 。

各分波段的回路线圈的电感为：

$$L = \frac{253 \times 10^2 (K_{n\theta}^2 - 1)}{(C_{n,max} - C_{n,min}) f_{n\theta,max}^2}, \quad (3-5)$$

式中  $L$ ——微亨；  $f_{n\theta,max}$ ——兆赫；  $C_n$ ——微微法。

### 3-4. 用固定频率工作的輸入回路的計算

原始的計算数据是：

- 1) 工作頻率  $f_0$ ；
- 2) 电子管輸入电容  $C_{ex}$ 。

計算程序如下。

我們选定回路电容  $C_n$  約為 5—30 微微法，并求出回路的等效电容：

$$C_s = C_0 + C_n + m_2^2(C_n + C_{ex}) \quad (3-6)$$

回路线圈的电感等于

$$L = \frac{253 \times 10^2}{C_s f_0^2}, \quad (3-7)$$

式中  $L$ ——毫亨；  $f_0$ ——兆赫；  $C_s$ ——微微法。

### 3-5. 自耦变压器耦合的輸入裝置的計算

电子管不完全接到回路上的、自耦变压器耦合的輸入电路如圖 3-1 所示。輸入裝置用調諧的和与饋綫匹配的天綫工作。

原始的計算数据是：

- 1) 分波段頻率  $f_{no,max} - f_{no,min}$  或固定頻率  $f_0$ (兆赫)；
- 2) 馈綫的特性阻抗  $\rho_g = \frac{1}{g_g}$  (歐姆)；
- 3) 馈綫長度(米)；
- 4) 馈綫的衰減  $\beta$  (分貝/米)；
- 5) 电子管輸入电导  $g_{ex} = \frac{1}{R_{ex}}$  (姆歐)；
- 6) 回路等效衰減  $d_s$ ；
- 7) 回路电感  $L$ (微微法)；
- 8) 电子管輸入端的变换系数  $m_2$ 。

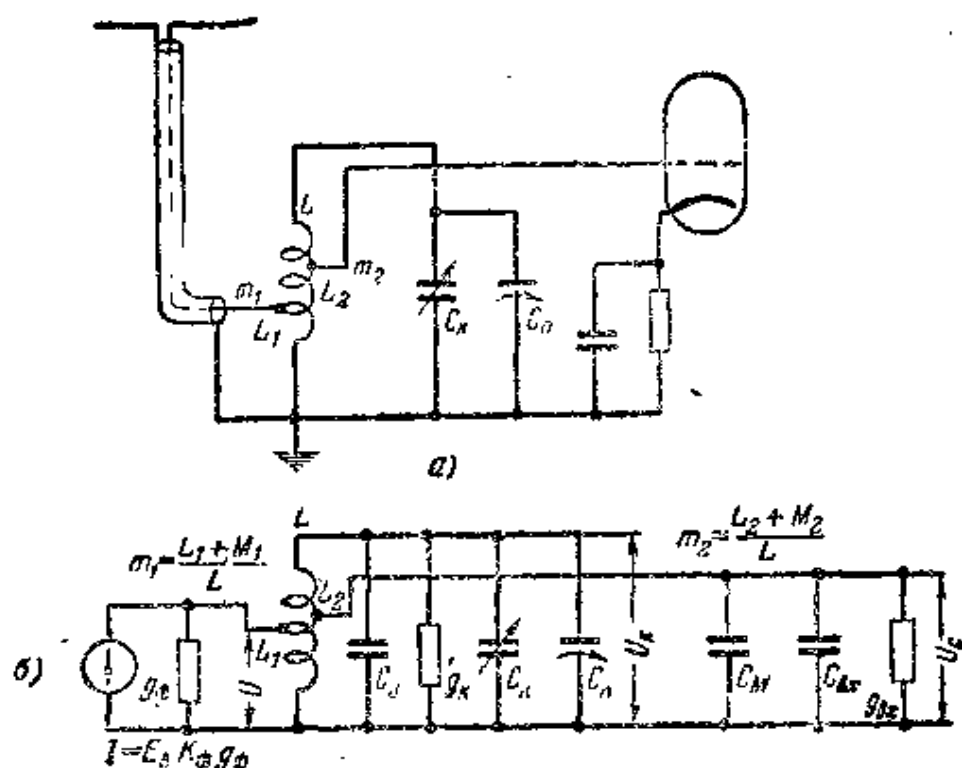


圖 3-1. a—電子管不完全接到回路上的、自耦變壓器耦合的輸入電路；b—等效電路。

計算程序如下。

如果輸入裝置應該在頻率範圍內工作，那末就應以分波段的中心頻率來計算輸入裝置。

如果沒有給出電子管的輸入電導，那就應該把輸入電導求出來：

$$g_{ex} = \frac{f^2}{K}, \quad (2-2)$$

式中  $g_{ex} = \frac{1}{R_{ex}}$  (兆姆歐)； $f$ ——兆赫； $K$ ——決定電子管輸入電導並載明在手冊中的系數，千歐·兆赫<sup>2</sup>(參看表 2-1)。

輸入裝置與饋線匹配時回路的衰減為

$$d_K = \frac{d_2}{2} - \rho m_2^2 g_{ex}, \quad (3-8)$$

式中  $\rho = 2\pi f L$ ,  $m_2 = \frac{L_2 + M_2}{L}$ ,

$f$ ——兆赫;  $L$ ——微亨;  $g_{ex}$ ——姆欧。

回路的谐振电导为

$$g_K = \frac{d_K}{2\pi f L}, \quad (3-9)$$

考虑到电子管输入电导的旁路作用时回路的谐振电导为

$$g = g_K + m_2^2 g_{ex}. \quad (3-10)$$

如果不等式  $g_K \ll m_2^2 g_{ex}$ , 那就有

$$g = m_2^2 g_{ex}. \quad (3-11)$$

为保证回路和馈线间得到匹配所需的变换系数:

$$m_{1c} = \frac{L_1 + M_1}{L} = \sqrt{\frac{g}{g_p}}. \quad (3-12)$$

当  $g_K \ll m_2^2 g_{ex}$  时,

$$m_{1c} = m_2 \sqrt{\frac{g_{ex}}{g_p}}. \quad (3-13)$$

如果  $m_{1c}$  的数值等于或者大于 1, 那末匹配是不可能的。

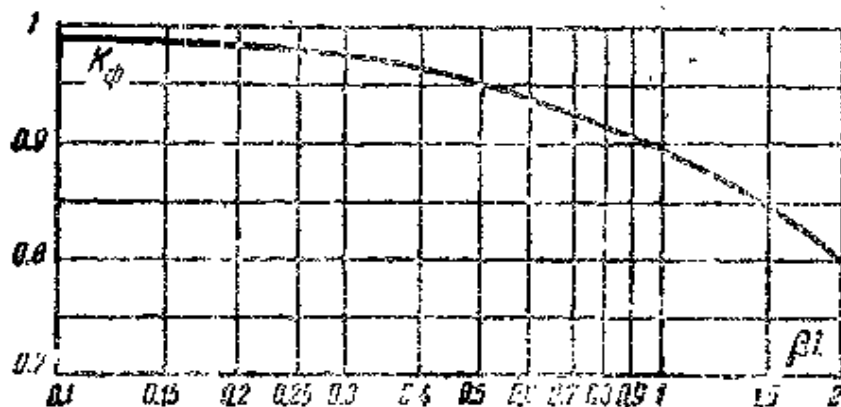


图 3-2 表示回路的中压变换系数与  $\beta$  之间的关系的曲线图

为了获得匹配必需减小  $m_2$  的数值，并且从头进行全部计算。

馈线的电压传输系数为

$$K_{\beta} = 10^{-0.05\beta l} \quad (3-14)$$

$K_{\beta}$  与数值  $\beta l$  的关系曲线图如图 3-2 所示。

匹配时输入装置在谐振频率上的传输系数等于

$$K_{sc} = \frac{m_2}{2} \sqrt{\frac{g_{\beta}}{g}} K_{\beta}. \quad (3-15)$$

当  $g_N \ll m_2^2 g_{sc}$  时，

$$K_{sc} = \frac{1}{2} \sqrt{\frac{g_{\beta}}{g_{sc}}} K_{\beta}. \quad (3-16)$$

在频率范围内工作的输入装置是用分波段中心频率来计算的；电子管的输入电导也是用分波段中心频率来求得的。由于回路电导和电子管输入电导的改变，输入装置和馈线之间将在分波段的边缘频率上发生失配现象。这种失配现象会使传输系数产生不显著的变化，因为匹配不是临界的：

$$K_s = K_{sc} \frac{2a}{1+a^2}, \quad (3-17a)$$

式中  $a = \frac{m_1}{m_{1c}}$ ；

由此可以看出，在失配一倍时，传输系数仅减少 20%。

电子管的输入电导与分波段频率的平方成正比。因此，在分波段中心频率上匹配时，电子管的输入阻抗（电压就是从这个阻抗上取下来加到电子管栅极上的）随着频率增加而同时减小，并且按照公式 (3-13) 将产生失配，这使得输入装置的传输系数有不很显著的下降。

输入装置在分波段的任意频率上的传输系数等于

$$K_0 = K_{oc} \frac{f_{ep}}{f} \cdot \frac{2\alpha}{1 + \alpha^2},$$

式中  $K_{oc}$  ——当变换系数为  $(m_{1c})f_{ep}$  时在分波段中心频率上匹配的传输系数。

如果把用频率表示的变换系数  $(m_{1c})f$  和  $(m_{1c})f_{ep}$  用电导来表示，我们得到：

$$\alpha = \frac{(m_{1c})f_{ep}}{(m_{1c})f} = \frac{f_{ep}}{f}.$$

把数值  $\alpha$  代入  $K_0$  的公式中，我们得到：

$$K_0 = K_{oc} \frac{2}{1 + \left(\frac{f}{f_{ep}}\right)^2}. \quad (3-176)$$

根据这个公式可以计算出输入装置在分波段边缘频率上的传输系数。为了使输入装置在分波段里有比较均匀的传输系数，需要在分波段的中心频率上取得匹配。

### 3-6. 变压器耦合的输入装置的计算

电子管不完全接入回路的、变压器耦合的输入电路如图3-3 所示，它用调谐的和与馈线匹配的天线工作。

原始计算数据是与上面自耦变压器耦合的输入装置相同。  
计算程序如下。

如果输入装置应该在频率范围内工作，那就应该根据分波段的中心频率来计算输入装置，而电子管的输入阻抗也应该在分波段中心频率上求出来。

输入装置与馈线匹配时，回路衰减用公式 (3-8) 来求。

回路的谐振电导用公式 (3-9) 来求，

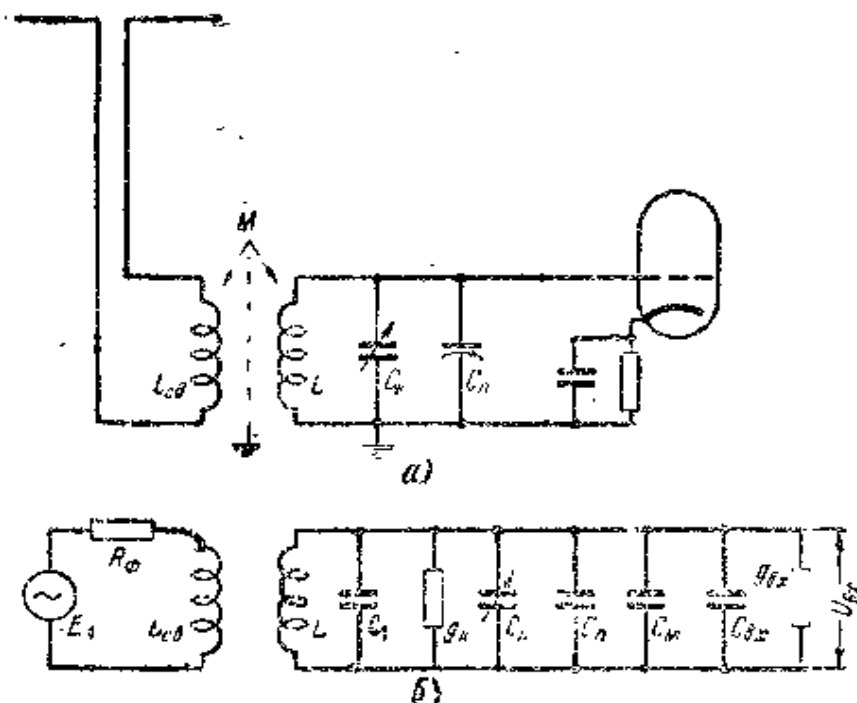


图 3-3 a—电子管不完全接到回路上的、电抗器耦合的输入电路；  
b—等效电路。

$$g_k = \frac{d_k}{2\pi f_0 L},$$

考虑到电子管输入电导的旁路作用的回路等效电导用公式(3-10)来求：

$$g = g_k + m_2^2 g_{ex}.$$

考虑到电子管输入电导的旁路作用的回路衰减为

$$d = 2\pi f_0 L g. \quad (3-18)$$

耦合线圈(线圈损耗忽略不计)的电感等于

$$L_{ce} = \frac{\rho_\phi}{2\pi f_0}, \quad (3-19)$$

式中： $L$ ——微亨； $f_0$ ——兆赫； $\rho_\phi$ ——欧姆。

取得匹配的耦合系数为

$$K_c = \sqrt{2d}. \quad (3-20)$$

保證與饋線取得匹配的互感等於

$$M_c = K_c \sqrt{L_{ca} L}, \quad (3-24)$$

匹配時輸入裝置在諧振頻率上的傳輸系數用公式(3-15)來求，

$$K_{t\sigma} = \frac{m_2}{2} \sqrt{\frac{g_{\phi}}{g}} K_{\phi}.$$

分波段邊端頻率上的傳輸系數用公式(3-176)來求，

$$K_t = K_{t\sigma} \frac{2}{1 + \left(\frac{f}{f_{cp}}\right)^2}.$$

### 3-7. 串联电感耦合的輸入裝置的計算

用串联电感耦合的輸入电路如圖3-4所示，它用調諧的和與饋線匹配的天線工作。

原始的計算數據是：

- 1) 工作頻率  $f_0$ ，兆赫；
- 2) 饋線的特性阻抗  $\rho_{\phi} = \frac{1}{g_{\phi}}$ ，歐姆；
- 3) 饋線長度，米；
- 4) 饋線衰減，分貝/米；
- 5) 電子管輸入電導  $g_{ax} = \frac{1}{R_{ax}}$ ，姆歐；
- 6) 電子管輸入電容  $C_{ax}$ ，微微法；
- 7) 等效的回路衰減  $d_a$ 。

計算程序如下。

首先選定補充電容量  $C_a$ 。

小補充電容量可以增大諧振傳輸系數，提高回路的等效衰減，從而加寬了通頻帶，降低了選擇性和增大了更換電子管時由於各電子管輸入電容參差不一而引起的影响。

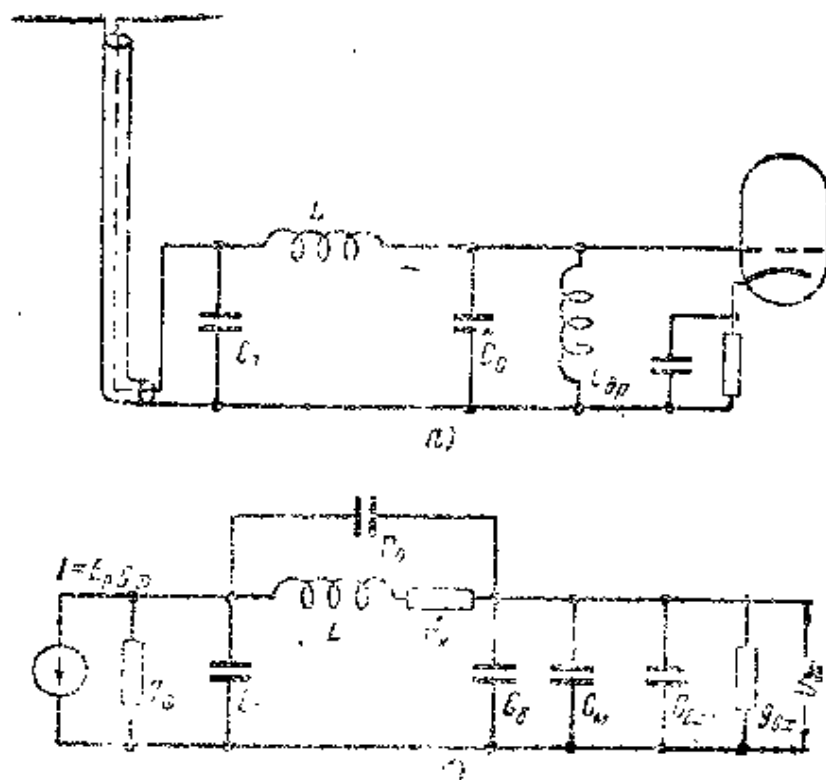


圖 3-4 a—用串联电感耦合的輸入电路;  
b—等效电路。

常用  $C_2$  的数值取为 5—20 微微法。为了使谐振傳輸系数得到最大值，應該取  $C_2=0$ 。

我們得到电容量：

$$C_2 = C_0 + C_n + C_{ex} \quad (3-22)$$

式中  $C_n$ ——佈綫电容(約2—4微微法)。

現在我們來確定保証与馈綫得到匹配的电容量  $C_1$ 。

$$C_1 = C_2 \sqrt{\frac{g_{2x}}{g_{ex}}} \quad (3-23)$$

回路的等效电容为

$$C_s = \frac{C_1 C_n}{C_1 + C_n} + C_0, \quad (3-24)$$

其中  $C_s$ ——鐵圈的固有电容，約为 0.5—2 微微法。

于是我們得到保證匹配的變換系數：

$$m_1 = \frac{C_2}{C_1 + C_2}, \quad (3-25)$$

$$m_2 = \frac{C_1}{C_1 + C_2}. \quad (3-26)$$

繞圈電感用公式(3-7)來求。

$$L = \frac{253 \times 10^3}{C_2 f_0^2}.$$

我們用公式(3-8)來求回路的衰減：

$$d_x = \frac{d_\theta}{2} - 2\pi f_0 L g_{ex}.$$

扼流圈電感為

$$L_{op} = (10-20)L. \quad (3-27)$$

饋線的電壓傳輸系數用公式(3-14)來求。

$$K_\phi = 10^{-0.05\beta l};$$

或者根據圖3-2中的曲線圖來確定。

在諧振頻率上匹配時的傳輸系數用公式(3-16)來求：

$$K_{ex} = \frac{1}{2} \sqrt{\frac{g_\phi}{g_{ex}}} K_\phi.$$

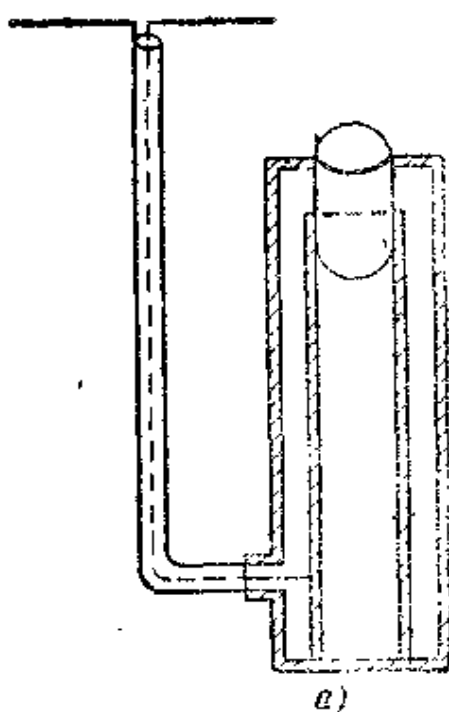
### 3-8. 諧振線耦合的輸入裝置的計算

圖3-5是諧振線耦合的輸入電路，它用調諧的和與鐵線匹配的天線工作。

原始的計算數據與串聯電感耦合的輸入裝置相同。

計算程序如下。

由於制作上的原因，外圓柱的內徑和內圓柱的直徑 $d$ ，應該選得使得它們便於與塔形管連接。

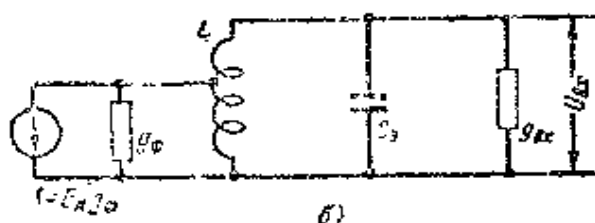


a)

在直徑比  $\frac{D}{d} = 3.6$  時 得到的

諧振線衰減最小。這個比值不是臨界值，當它在2.3—6.2的範圍內變化時，最小的諧振線衰減的變化不大於10%。

諧振線在最佳直徑比  $\frac{D}{d} = 3.6$



b)

圖 3-5 a—諧振線耦合的輸入電路； b—等效電路。

時的特性阻抗等於  $\rho = 77$  欧姆。

我們求出線的特性阻抗：

$$\rho = 138 \lg \frac{D}{d}. \quad (3-28)$$

我們得到波長：

$$\lambda_0 = \frac{3 \times 10^4}{f_0},$$

式中  $\lambda_0$ —厘米；  $f_0$ —兆赫。

諧振線的長度為

$$l = \frac{\lambda_0}{2\pi} \arctg \frac{1.6 \times 10^5}{\rho f_0 C_{ox}}, \quad (3-29)$$

式中，  $l$  和  $\lambda_0$ —厘米；  $\rho$ —歐姆；  $f_0$ —兆赫；

$C_{ox}$ —微微法。

與諧振線電容和電子管輸入電容等效的回路電容為：

$$C_\theta = \frac{1}{2} \left( C_{\theta H} + \frac{1}{f_0 \rho} \frac{\theta \times 10^5}{\sin^2 \theta} \right), \quad (3-30)$$

式中:  $\theta = 2\pi \frac{l}{\lambda_0}$ ;  $f_0$ —兆赫;  $\rho$ —欧姆;  $C$  和  $C_{\theta H}$ —微微法。

等效回路的电感用式(3-7)来求:

$$L = \frac{253 \times 10^3}{C_\theta f_0^2}.$$

谐振线单位长度内的电阻等于

$$R_1 = 0.83 \times 10^{-4} \sqrt{f_0} \frac{1 + \frac{D}{d}}{D}, \quad (3-31)$$

式中  $R_1$ —欧姆/厘米;  $D$  和  $d$ —厘米;  $f_0$ —兆赫。

谐振线的衰减为

$$d_A = -\frac{R_1 \lambda_0}{2\pi \rho}, \quad (3-32)$$

式中  $R_1$ —欧姆/厘米;  $\rho$ —欧姆;  $\lambda_0$ —厘米。

谐振线的谐振电导为

$$g_A = \frac{d_A}{3.28 f_0 L}, \quad (3-33)$$

式中  $g_A$ —姆欧;  $f_0$ —兆赫;  $L$ —微亨。

包括电子管电导在内的谐振线电导为

$$g = g_A + g_{ex}. \quad (3-34)$$

考虑到电子管电导的谐振线的衰减为

$$d = d_A + 2\pi f_0 L g_{ex},$$

式中  $f_0$ —兆赫;  $L$ —微亨;  $g_{ex}$ —姆欧。

保证与馈线匹配的变换系数用式(3-12)来求,

$$m_{1c} = \sqrt{\frac{g}{g_\theta}}.$$

从諧振線閉合端到饋線與內圓柱的連接點的距離為

$$l_1 = \frac{\lambda_0}{2\pi} \arcsin \left[ m_1 \sin \left( 2\pi \frac{l}{\lambda_0} \right) \right]. \quad (3-35)$$

諧振線的等效衰減為

$$d_g = 2d, \quad (3-36)$$

得到的等效的諧振線衰減值不應大于給定值。

饋線的電壓傳輸系數用式(3-14)

$$K_\phi = 10^{-0.05\beta l}$$

或圖3-2中的曲線圖來求。

在諧振頻率上匹配時的傳輸系數用公式(3-15)來求：

$$K_{sc} = \frac{1}{2} \sqrt{-\frac{R_\phi}{g}} K_\phi.$$

輸入裝置的通頻帶為

$$2\Delta f = f_0 d_g. \quad (3-37)$$

如果諧振線耦合的輸入裝置應該在波段範圍內工作，那末應該用式(3-29)來求最長波長和最短波長的諧振線長度；並且用式(3-176)來求分波段邊端頻率上的傳輸系數。在計算分波段中心頻率上的傳輸系數時，也應該根據中心頻率來求電子管的輸入電導。

為了與波段複蓋相適應地改變諧振線的長度，需要在構造上研製出具有短路條的諧振線。當輸入裝置不需要經常進行調諧時，可以使用接點式短路條；如果需要經常調諧時，可以應用無接點式短路條。

如果把電子管接到諧振線的一部分上，則必須選定電子管輸入端的變換系數  $m_2$  和找出電子管輸入電容和輸入電導在諧振線端的變換值。

$$C'_{ex} = m_2^2 C_{ex};$$

$$g'_{ex} = m_2^2 g_{ex}.$$

当把电子管接到谐振线端上时，计算方法相同，但是要把数值  $C_{ex}$  和  $g_{ex}$  换成  $C'_{ex}$  和  $g'_{ex}$ 。

匹配时的传输系数用式(3-15)来求，但需要乘以  $m_2$ ：

$$K_{ex} = \frac{m_2}{2} \sqrt{\frac{g_{ex}}{g}} K_{ex}.$$

从谐振线短路端到电子管和内圆柱的连接点的距离用公式(3-35)来求，但要用  $m_2$  来代替公式中的  $m_1$ 。

### 3-9. 使回路具有最小噪声系数的变换系数和输入

#### 装置的传输系数的计算

在必须得到最小噪声系数的情况下，输入回路的总变换系数由下式确定

$$M_{in,w} = M_c \sqrt{1 + \frac{1}{R_{in}g} \left( 1 + 4 \frac{g_{ex}}{g} \right)}, \quad (3-38)$$

式中  $M_{in,w} = \frac{m_{1,w}}{m_2}$ ;  $M_c = \frac{m_{1c}}{m_2}$ .

$$g = g_k + g_{ex}.$$

当  $g_k \ll g_{ex}$  时，

$$M_{in,w} = M_c \sqrt{1 + \frac{5}{R_{in}g_{ex}}}. \quad (3-39)$$

如果  $R_{in}g_{ex} = \frac{R_{in}}{R_{ex}} > 5$ ，那末  $M_{in,w} = M_c$ 。

因此在这种情形下，满足大传输系数和小噪声系数的两个总变换系数是一致的。

如果  $\frac{R_{in}}{R_{ex}} < 5$ ，则  $M_{in,w} > M_c$ ，而为了得到最小噪声系数，

总变换系数应该大于以取得匹配和得到大增益系数为条件的变换系数。

为了得到最小的噪声系数，我們选定  $M_{n.m}$ ，而这就使得輸入裝置和饋綫在一定程度上失去匹配，并使輸入裝置的傳輸系数略有减小。

兩個总变换系数之比等于

$$\frac{M_{n.m}}{M_c} = \frac{\frac{m_{1n.m}}{m_2}}{\frac{m_{1c}}{m_2}} = \frac{m_{1n.m}}{m_{1c}} = a.$$

匹配时輸入裝置的傳輸系数，根据公式(3-17a)等于

$$K_0 = K_{00} \frac{2a}{1+a^2}.$$

在  $R_{wg_{av}} > 5$  时，增大輸入回路的总变换系数，可以在輸入裝置傳輸系数略有减少时得到最小噪声系数。

如果輸入裝置在波段范围内工作，则應該在分波段的中心頻率上，就是在  $\omega_{0*} = \sqrt{\frac{k_{1n.m}}{L}}$  时，确定  $M_{n.m}$ ，并且求出輸入裝置在分波段邊端頻率上的傳輸系数。

### 3-10. 回路和天綫用电容耦合的輸入裝置的計算

圖 3-6 是回路和天綫用电容耦合的輸入电路。

原始的計算数据是：

- 1) 分波段的邊端頻率是  $f_{n\sigma, min} \sim f_{n\sigma, max}$ ，兆赫；
- 2) 回路电感  $L$ ，微亨；
- 3) 回路等效衰減  $d_a$ ；
- 4) 天綫的平均参数  $G_J$ ，微微法；  $r_J$ ，欧姆；天綫参数的參差系数  $q_r$  和  $q_o$ （其數值約為 1.5--2）。

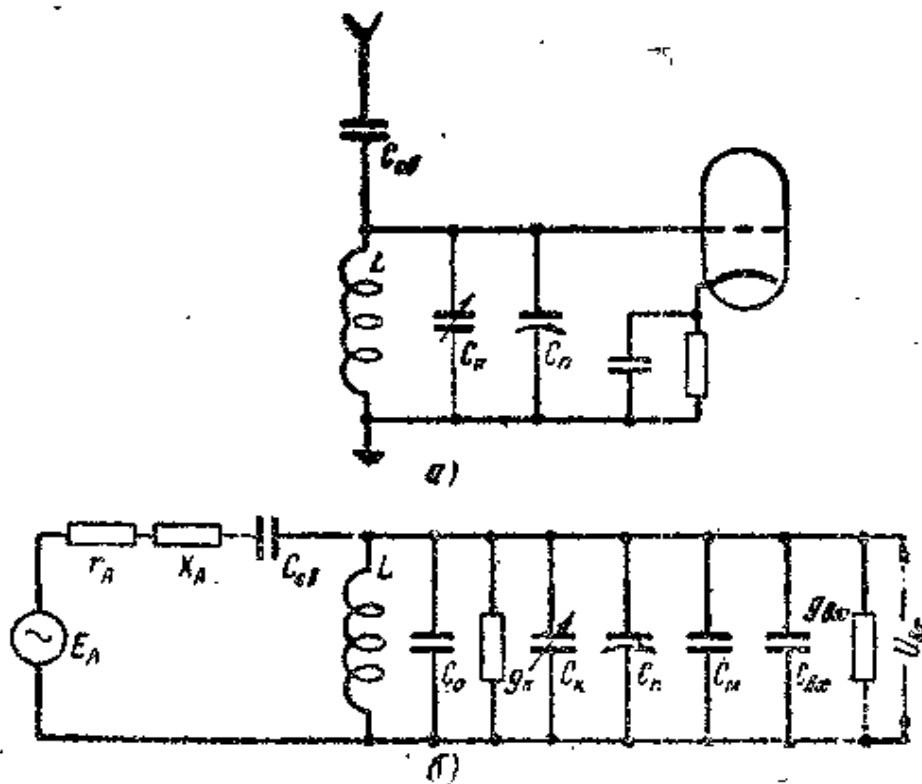


圖 3-6 a—回路与天線用电容耦合的輸入电路；  
b—等效电路。

每一个分波段的計算程序如下。

我們以天線对回路調諧的影响很小为条件，求出耦合电容器的电容量：

$$C_{001} = \frac{10^6}{2\pi f_{n\sigma, max}} \sqrt{\frac{d_0 C_A}{L} \cdot \frac{q_e}{q_e - 1}}, \quad (3-40)$$

式中： $f$ —兆赫； $C_A$ —微微法； $L$ —微亨。

我們預先確定 $C_{02}$ 的數值

$$C_{02} = \frac{10^6}{2} \sqrt{\frac{d_0}{(2\pi)^3 f_{n\sigma, max}^3 L r_A q_e}}, \quad (3-41)$$

式中： $C_{02}$ —微微法； $f$ —兆赫； $L$ —微亨； $r_A$ —歐姆。

然后以天線对回路衰減的影响很小为条件，求出耦合电容

器的电容量,

$$C_{ce2} = \frac{C_{ce1} C_A}{C_A + C_{ce1}}. \quad (3-42)$$

从两个已知电容量  $C_{ce1}$  和  $C_{ce2}$  中选定一个比较小的,  
 $C_{ce} < C_{ce1}$  和  $C_{ce} < C_{ce2}$ 。

在  $C_{ce}$  的值已经选定的时候, 可以认为  $d \approx d_s$ 。

于是得到天线电容和耦合电容器电容串联起来的合成电容量:

$$C_s = \frac{C_{ce} C_A}{C_{ce} + C_A}. \quad (3-43)$$

如果选定  $C_{ce}$  等于  $C_{ce2}$ , 作为比较小的电容, 那末这时  
 $C_s = C_{ce2}$ 。

输入装置的传输系数为

$$K_s = \frac{C_s L (2\pi f)^2}{d_s [1 + 10^{-6} C_s L (2\pi f)^2]} \cdot 10^{-6}, \quad (3-44)$$

式中:  $f$ ——用来确定传输系数的分波段频率。兆赫;  
 $C_s$ ——微微法;  
 $L$ ——微亨。

传输系数是在各个分波段的最低、中心、和最高这三种频率上计算出来的; 并且假定回路等效衰减在分波段内是常数。

### 3-11. 回路和天线用内电容耦合的输入装置的计算

图 3-7 是回路和天线用内电容耦合的输入电路。电容器  $C_{gn}$  与天线串联, 用来提高天线回路的固有频率, 也就是缩短天线回路的固有波长。

电容器  $C_{gn}$  同时是接收机输入端的保护电容器。天线回路与输入回路用电容器  $C_{ce}$  来耦合。电阻  $R$  用来把高压加到电子管的栅极上。它的数值比电容器  $C_{ce}$  在分波段最小频率上的容抗大 9 倍。

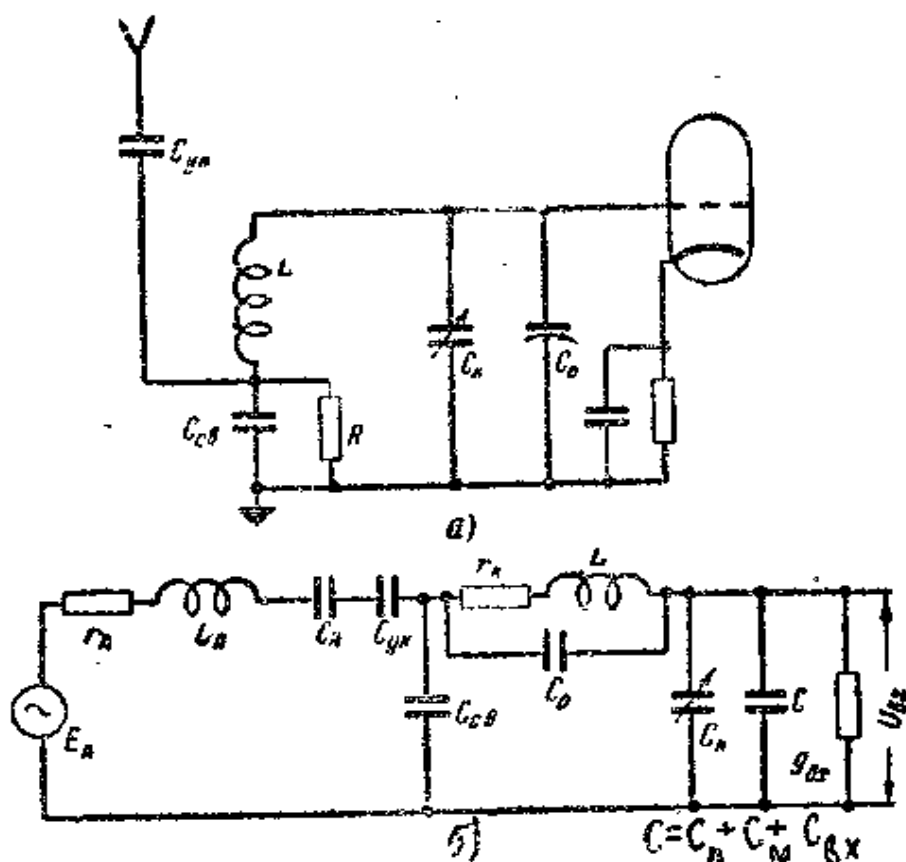


圖 3.7 6—回路与天綫用內由容耦合的輸入电路;  
δ—等效电路。

原始的計算数据是:

- 1) 分波段邊端頻率  $f_{n\partial,\min} - f_{n\partial,\max}$ , 兆赫;
- 2) 分波段系数  $K_{n\partial}$ ;
- 3) 中頻  $f_{np}$ , 千赫;
- 4) 回路的最大等效电容  $C_{\varrho,\max}$ , 微微法;
- 5) 回路等效衰減  $d_\varrho$ ;
- 6) 傳輸系数的均匀性系数

$$M_f = \frac{K_{f\max}}{K_{f\min}} \geq 0.6;$$

- 7) 考慮到天綫回路对輸入回路失諧的容許影响的數值  $a_A$

$(a_2 \leq 1)$ ,

8) 天线的平均参数  $L_A$ , 微亨;  $C_A$ , 微微法和  $f_A$ ; 天线参数的偏差系数  $q=1.5-2$ 。

每一个分波段的计算程序如下。

我们求出保证使传输系数具有给定的均匀性系数的天线缩短系数

$$K_s = q \sqrt{\frac{M_f}{\frac{1 - K_{nd}^2}{1 - M_f}}}, \quad (3-45)$$

再求出保证使对载频波道的选择性不显著降低的天线缩短系数

$$K_s = q \sqrt{1 + \delta \left[ \frac{f_{np}}{f_{nd,max}} + \left( \frac{f_{np}}{f_{nd,max}} \right)^2 \right]}, \quad (3-46)$$

从所得的数值中必须取最大的  $K_s$ 。

缩短电容器的电容为

$$C_{yK} = \frac{C_A}{K^2 \left( \frac{f_{nd,max}}{f_A} \right)^2 - 1}. \quad (3-47)$$

如果  $f_A \gg f_{nd,max}$ , 其中  $f_A = \frac{1}{2\pi\sqrt{L_A C_A}}$ , 那末  $C_{yK}$  的值是

负值。这就是说应该取电容  $C_{yK} = \infty$ 。

这时天线的保护电容器的电容量取为

$$C_{yK} \geq 10C_A. \quad (3-48)$$

在这种情况下, 天线的缩短系数将大于所要求的最小值

$$K = \frac{f_A}{f_{nd,max}}.$$

于是得到耦合电容器的电容量:

$$C_{ce} = \sqrt{\frac{C_1 C_{n\sigma, \max} \varphi(K_{n\sigma}, K)}{2a_\Delta d_s}}, \quad (3-49)$$

式中

$$C_1 = \frac{C_A C_{yx}}{C_A + C_{yx}},$$

$$\varphi(K_{n\sigma}, K) = n - \frac{1}{K_{n\sigma}^2 m},$$

$$n = q \frac{1 + \frac{C_A}{C_{yx}}}{1 + q \frac{C_A}{C_{yx}}},$$

$$m = q \frac{1 + \frac{1}{q} \frac{C_A}{C_{yx}}}{1 + \frac{C_A}{C_{yx}}}.$$

已得到的值  $C_{ce}$  使天线的有效电阻对回路的衰减影响不大, 因此可以认为  $d \approx d_s$ 。

输入装置的传输系数为

$$K_s = \frac{p_c}{d_s} \left[ 1 - \left( \frac{f}{f_{n\sigma, \max} K} \right)^2 \right], \quad (3-50)$$

式中  $p_c = \frac{C_1}{C_{ce}}$  —— 电容的耦合系数。

传输系数是在各分波段的最低、中心和最高这三种频率上计算出来的; 并且认为回路等效衰减在分波段内是常数。

阻抗  $R$  根据下列条件求得。

$$R \geq \frac{0.1}{2\pi f_{n\sigma, \max} C_{ce}},$$

### 3-12. 回路和天线用互感耦合的输入装置的计算

图 3-8 是回路和天线用互感耦合的输入电路。

在长波、中波和短波上使用非定向的Γ形或T形天线。这些天线是非谐振天线，并且只有当它的参数在工作波段内不发生剧烈变化的条件下才能令人满意地工作。

在频率  $f \leq 1.7 f_A$  的范围内，天线的电阻  $r_A$  变化很小，而电抗  $X_A$  的变化与串联回路中的差不多。

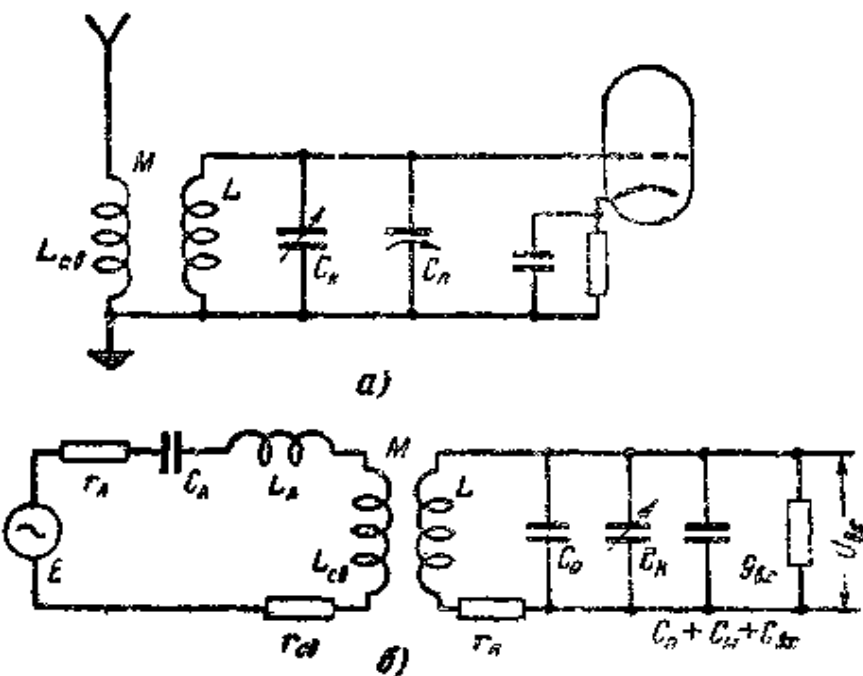


图 3-8 a—回路与天线用互感耦合的输入电路；b—等效电路。

因此在频率  $f \leq f_A$  时可以用  $L_A$ 、 $C_A$  和  $r_A$  串联组成的等效电路来代替天线，它们的数值应当等于：

$$L_A = 20 \text{ 微亨}; C_A = 100 \text{--} 300 \text{ 微微法}; r_A = 25 \text{ 欧姆};$$

$$f_A = 2 \text{--} 3.56 \text{ 兆赫}; h_0 = 4 \text{ 米}.$$

因此，当计算在低于  $1.7 f_A = 1.7 (2 \text{--} 3.56) = 3.4 \text{--} 6$  兆赫的频率上，即长波和中波上工作的输入装置时，天线可以用

具有上述参数的等效电路代替。在频率  $f > 1.7f_A$  时，天线阻抗  $r_A$  和  $X_A$  变化很大。

研究各类天线的结果表明，在 5—10 兆赫范围内电抗为电容性，其数值为  $|X_A| \leq 1000$  欧姆，而有效电阻的数值为  $r_A = 30—200$  欧姆。

在 15—20 兆赫范围内，电抗不论具有电容性或电感性，其数值均为  $|X_A| \leq 500$  欧姆，而有效电阻的数值为  $r_A = 100—300$  欧姆。

为了使输入装置有效地工作，必需把耦合线圈的电感量选得使它在分波段的最低频率上能平衡天线的电容量。

回路与天线用电感耦合的输入装置在长波和中波上的计算方法与短波上的计算方法是不同的。

#### A. 回路与天线用电感耦合的输入装置在长波和中波上的计算

原始计算数据是：

- 1) 分波段的边端频率  $f_{no, min} - f_{no, max}$ , 兆赫;
- 2) 分波段系数  $K_{no}$ ;
- 3) 线圈电感  $L$ , 微亨;
- 4) 回路等效衰减  $d_0$ ;
- 5) 天线的平均参数  $L_A$ , 微亨;  $C_A$ , 微微法和  $r_A$ , 欧姆;
- 天线参数的参差系数  $q_L$ ,  $q_C$ ,  $q_r$ .

计算程序如下。

首先求出在天线参数变化时，保证使天线回路的频率低于分波段最低频率的耦合线圈的电感量：

$$L_{co} = \frac{25.3 \times 10^2 q_L q_r}{(K_A f_{no, min})^2 C_A} - L_A, \quad (3-51)$$

式中：  $L_{co}$ ——微亨；  $f$ ——兆赫；  $C_A$ ——微微法；  $K_A$ ——天线的加长系数，等于 0.6—0.8。

如果給定了耦合線圈的衰減  $d_{ce} = 0.01 - 0.03$ , 那麼我們便可以求出它在分波段的最低頻率上的電阻:

$$r_{ce} = d_{ce} 2\pi f_{n\theta, \text{min}} L_{ce}, \quad (3-52)$$

式中:  $r_c$  — 欧姆;  $f$  — 兆赫;  $L_{ce}$  — 微亨。

天綫回路的電阻等於:

$$r_{A, q} = (r_A + r_{ce}) q_r. \quad (3-53)$$

天綫回路的衰減將等於:

$$d_{A, q} = \frac{r_{A, q} q_L}{2\pi f_{n\theta, \text{min}} (L_{ce} + L_A)} \quad (3-54)$$

式中:  $r$  — 欧姆;  $f$  — 兆赫;  $L$  — 微亨。

匹配耦合系數最低值等於:

$$K_{c, \text{min}} = (1 - K_A^2) \sqrt{\frac{d_{ce}}{d_{A, q}}}. \quad (3-55)$$

由於天綫回路的影響使回路等效衰減增加25%的耦合系數的最大值將等於:

$$K_1 = \frac{1}{2} K_{c, \text{min}}. \quad (3-56)$$

保證回路具有容許諧振頻移(此諧振頻移是由於天綫回路的無功成分造成的)的耦合系數等於

$$K_2 = \frac{2}{K_A} \sqrt{\frac{d_{ce}}{2} \frac{(q_L^2 q_c^2 K_{ce}^2 - K_A^2)(1 - K_A^2)}{q_L^2 q_c^2 K_{ce}^2 - 1}}. \quad (3-57)$$

從結構上來考慮, 耦合系數應該為

$$K_3 \leq 0.6 - 0.7. \quad (3-58)$$

從已得到的三個耦合系數中選擇最小的一個。

與天綫平均參數對應的天綫回路的中心頻率為

$$f_{0, A, q} = \frac{159}{V(L_{ce} + L_A) C_A}, \quad (3-59)$$

式中:  $f_{0, A, q}$  — 兆赫;  $L$  — 微亨;  $C_A$  — 微微法。

輸入裝置的傳輸系數等子。

$$K_0 = \frac{K}{d_\theta \left( 1 - \frac{f_{\theta, \text{min}}^2}{f^2} \right)} \sqrt{\frac{L_n}{L_{\theta\theta}}}. \quad (3-60)$$

傳輸系数是在各分波段的最低、中心和最高这三个頻率上計算出来的。并且假定回路等效衰減在分波段內是常数。

回路衰減等子

$$d_n = \frac{d_\theta}{1 + \left( \frac{K}{K_{\theta, \text{max}}} \right)^2}. \quad (3-61)$$

### 四、回路和天綫用電感耦合的輸入裝置在短波上的計算

原始計算数据是：

- 1) 分波段邊端頻率  $f_{n\theta, \text{min}}$ —— $f_{n\theta, \text{max}}$ , 兆赫;
- 2) 線圈電感  $L$ , 微亨;
- 3) 回路等效衰減  $d_\theta$ ;
- 4) 天綫參數  $X_A$  和  $r_A$ , 欧姆。

計算程序如下。

首先求出耦合線圈的電感:

$$L_{ca} = \frac{X_A}{2\pi f_{n\theta, \text{min}}}. \quad (3-62)$$

式中:  $L$ ——微亨;  $f_{n\theta, \text{min}}$ ——兆赫;  $X_A$ ——欧姆。

如果沒有給出  $X_A$  的數值, 那么对于分波段最低頻率可以取其等子 100—600 欧姆, 于是

$$L_{ca} = \frac{16-100}{f_{n\theta, \text{min}}}. \quad (3-63)$$

在选定这样的  $L_{ca}$  的數值后, 最大的介入失諧頻率將等子天綫容抗下的  $f_{n\theta, \text{max}}$ 。

用天綫電路使回路具有容許失諧的耦合系數等子

$$K_1 \leq \sqrt{d_0 \left( 1 - \frac{X_A}{2\pi f_{n0, max} L_{co}} \right)}, \quad (3-64)$$

式中:  $f$ ——兆赫;  $L_{co}$ ——微亨;  $X_A$ ——欧姆。

如果没有给出  $X_A$  的数值, 那么, 对于分波段的最高频率可以取其等于 100—200 欧姆, 于是

$$K_1 \leq \sqrt{d_0 \left( 1 - \frac{16-32}{f_{n0, max} L_{co}} \right)}. \quad (3-65)$$

能使天线电路的电阻对回路衰减影响不大的耦合系数等于

$$K_2 \leq \frac{1}{2} \sqrt{\frac{d_0 r_A}{2\pi f_{n0, min} L_{co}}}, \quad (3-66)$$

如果  $r_A$  的数值没有给出, 那末可以取其等于 50—200 欧姆, 于是

$$K_2 \leq (2.5-5) \sqrt{\frac{d_0}{2\pi f_{n0, min} L_{co}}}. \quad (3-67)$$

从两个已知值  $K_1$  和  $K_2$  中选择较小的一个。

输入装置的传输系数将是

$$K_0 = \frac{K}{d_0} \cdot \frac{2\pi f}{\sqrt{r_A^2 + X_A^2}}, \quad (3-68)$$

式中:  $f$ ——兆赫;  $L$ ——微亨;  $r_A$  和  $X_A$ ——欧姆;  $K$ ——耦合系数。

如果没有给出  $r_A$  和  $X_A$  的数值, 那末在 5—10 兆赫频率上取平均值为  $r_A=125$  和  $X_A=500$  欧姆; 而 15—20 兆赫频率上取平均值为  $r_A=200$  欧姆和  $X_A=150$  欧姆, 得:

在 5—10 兆赫频率上:

$$K_0 \approx 0.2 \times 10^{-2} \frac{K}{d_0} f V \sqrt{LL_{ee}}, \quad (3-69)$$

在 15—20 兆赫频率上

$$K_0 \approx 0.4 \times 10^{-2} \frac{K}{d_0} f V \sqrt{LL_{ee}}. \quad (3-70)$$

传输系数是在各个波段的最低、中心和最高这三个频率上计算出来的，并且假定回路等效衰减在分波段内是常数。

回路衰减等于

$$d_K = -\frac{d_0}{1 + \left(\frac{K}{2K_2}\right)^2}. \quad (3-71)$$

### 3-13. 回路与天线用双电容和电感耦合的 双回路输入装置的计算

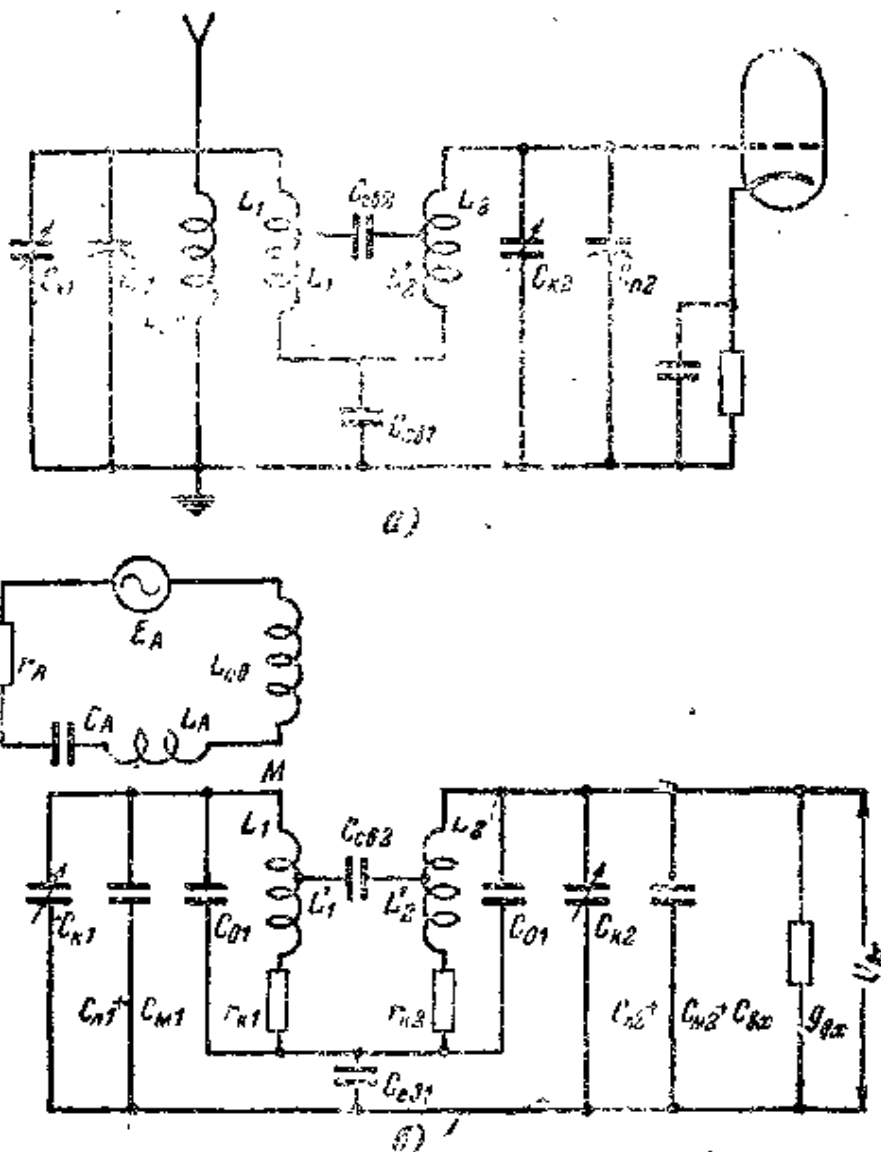
如果适当地选择广义耦合系数  $\beta = \frac{K}{d_0}$ ，那末双回路输入装置能使分波段的通频带接近于常数，因而能获得很高的选择性。

为了使带通滤波器具有不变的通频带，必须使广义耦合系数  $\beta$  按照一定的规律随分波段频率的增加而减小。

只要在带通滤波器中使用混合耦合，就可以使广义耦合系数  $\beta$  与频率具有这种关系。

图 3-9 所示为回路与天线用双电容（就是内耦合电容和不完全的外耦合电容）和电感耦合的双回路输入电路。

在带通滤波器中采用不完全的外电容耦合：只是由于在这种耦合下可以得到数值比较大的耦合电容  $C_{cap}$  而在制作上又很容易做到这一点。但是在采用外电容耦合时，要想得到很小的耦合电容量  $C_{cap}$  在制作上是很难做到的。



■ 3-9 a—回路与天线用包括内耦合电容的双电容耦合和用电感耦合的双回路输入电路;  $\epsilon$ —等效电路。

用内电容耦合和不完全的外电容耦合的带通滤波器的广泛  
耦合系数等于:

$$\beta = \frac{K_1 + K_2}{d_2} = \frac{1}{d_2} \left( \frac{C_o}{C_{o\text{in}1}} + \frac{\omega^2 C_{e\text{o}2}}{C_o} \right), \quad (3-72)$$

式中:  $K_1$ ——内电容耦合的耦合系数;

$K_2$ ——不完全外电容耦合的耦合系数;

$C_s$ ——回路的等效电容;

$C_{ce1}$ ——内电容耦合电容器的电容;

$C_{ce2}$ ——不完全外电容耦合电容器的电容;

$$m = \frac{L_1' + M_1}{L_1} \text{——变换系数。}$$

随着频率的增加，回路的等效电容减少，这就使外电容  $C_{ce2}$  的耦合作用增强，而内电容  $C_{ce1}$  的耦合作用减弱。

如果适当地选择电容量  $C_{ce1}$  和  $C_{ce2}$ ，就可以得到按照所要求的规律，随着分波段频率的增加而减少的广义耦合系数  $\beta$ 。

原始计算数据是：

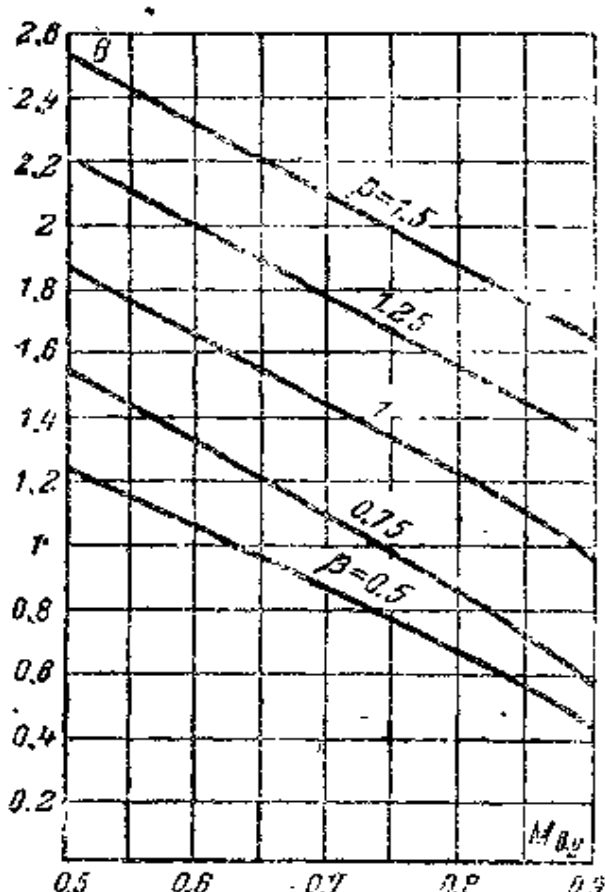


圖 3-10 系數  $B$  的曲線圖

1) 分波段的边缘頻率  $f_{n\partial,\min} - f_{n\partial,\max}$ , 千赫;

2) 分波段系数  $K_{n\partial}$ ;

3) 回路的最小等效电容  $C_{s,\min}$ ;

4) 通频带  $2\Delta f_n$ , 千赫;

5) 频率失真系数  $M_{e,yj}$ ;

6) 天线的平均参数  $L_A$ , 微亨;  $C_A$ , 微微法;  $r_A$ , 欧姆; 天线参数的差系数  $q_L$ ,  $q_C$ ,  $q_r$ 。

計算程序如下。

我們选定在分波段最低频率上的广义耦合系数

$\beta_1=1.3-1.5$ 。当 $\beta_1$ 是这个数值时，在整个分波段范围内可以得到略有双峰的良好谐振曲线和数值很小的回路等效衰减。

根据选定的数值 $\beta_1$ 和频率失真系数 $M_{g,y}$ ，可以从图3-10上找出系数 $B_1$ 的数值。

求出在分波段最低频率上的回路等效衰减

$$d_{s1} = \frac{2\Delta f_n}{f_{n\partial, \text{min}} B_1}. \quad (3-73)$$

带通频滤波器回路的等效衰减 $d_0 = \frac{1+\beta^2}{d}$ ，由于广义耦合系数 $\beta$ 的减少，会随分波段频率的增高而减小，而这就减小了回路间的反射电阻。

在 $K_{n\partial}=3$ 时，在分波段最低频率上的回路等效衰减，大约是最高频率上的1.5倍。

如果给定在分波段最高频率上的回路等效衰减 $d_{s2} = \frac{d_{s1}}{1.5}$ ，我们得到分波段最高频率上的系数 $B_2$ 为

$$B_2 = \frac{d_{s1}}{d_{s2}} \frac{B_1}{K_{n\partial}}. \quad (3-74)$$

根据从图3-10上找出系数 $B_2$ 的值，就可以找出分波段最高频率上的广义耦合系数 $\beta_2$ 。

内耦合电容器的电容为

$$C_{co1} = \frac{(K_{n\partial}^4 - 1) C_{g, \text{max}}}{d_{s2} \left( K_{n\partial}^2 \frac{d_{s1}}{d_{s2}} \beta_1 - \beta_2 \right)}. \quad (3-75)$$

不完全外耦合电容器的电容

$$C_{co2} = \frac{1}{m^2} \cdot \frac{K_{n\partial}^2}{K_{n\partial}^4 - 1} \cdot d_{s1} \left( K_{n\partial}^2 \beta_2 \frac{d_{s2}}{d_{s1}} - \beta_1 \right) C_{g, \text{max}}. \quad (3-76)$$

变换系数 $m = \frac{L_1 + M_1}{L_1} = \frac{L_2 + M_2}{L_2}$ 的数值要选择得使 $C_{co}$

## ≥2 微微法。

回路与天线的电感耦合用 § 3-12 中所讲的方法计算。

在式(3-55)和(3-57)中应该取  $d_0 = d_{02}$ 。

分波段最低和最高频率上的传输系数等于

$$K_{01} = \frac{\beta_1}{1 + \beta_1^2} \frac{K}{d_{01} \left( 1 - \frac{f_{A,u}^2}{f_{n0,nakc}^2} \right)} \sqrt{\frac{L}{L_{00}}}, \quad (3-77)$$

式中  $K$ ——天线电路与初级回路的耦合系数 [公式(3-54),  
(3-55)和(3-56)];

$$K_{02} = \frac{\beta_2}{1 + \beta_2^2} \frac{K}{d_{02} \left( 1 - \frac{f_{A,u}^2}{f_{n0,nakc}^2} \right)} \sqrt{\frac{L}{L_{00}}}, \quad (3-78)$$

传输系数是在各分波段的边缘频率上计算出来的。

## 3-14. 对等于中频的干扰频率的选择性的

### 计算和阻抗陷波器的计算

当射频系统对于和中频相等的干扰的频率的选择性不好时，这一干扰将进入变频器，被中频系统放大以后，在接收机的输出端上产生与接收机调谐无关的接收干扰。

如果射频系统对于和中频相等的干扰频率的选择性很差，那末或者在接收机输入端上使用阻抗陷波器，或者在高频放大级里，在等于中频的频率上采用一个很强的负反馈，这样就能显著地提高射频系统对于这个频率的选择性。

下面将计算射频系统在等于中频的频率上的选择性，讲述阻抗陷波器的工作原理和计算方法。由输入装置组成的射频系统在等于中频的频率上的选择性等于：

在小失带时

$$S_{npom} = \left[ 1 + \left( \frac{1 - \frac{f_{np}}{f}}{2 \cdot \frac{d_3}{d_2}} \right)^2 \right]; \quad (3-79)$$

在大失谐时

$$S_{npom} = \frac{\left| 1 - \left( \frac{f}{f_{np}} \right)^2 \right|}{d_2 \left( \frac{f}{f_{np}} \right)^3}, \quad (3-80)$$

式中  $f$ ——在  $f_{np}$  附近的分波段边端頻率。

由輸入裝置和高頻放大器組成的射頻系統在等于中頻的頻率上的選擇性等子：

在小失谐时

$$S_{npom} = \left[ \sqrt{1 + \left( \frac{1 - \frac{f_{np}}{f}}{2 \cdot \frac{d_3}{d_2}} \right)^2} \right]^{n+1}; \quad (3-81)$$

式中  $n$ ——高頻放大器的級數；

在大失谐时

$$S_{npom} = \frac{f_{np}}{f} \left[ \frac{\left| 1 - \left( \frac{f}{f_{np}} \right)^2 \right|^{n+1}}{d_2 \left( \frac{f}{f_{np}} \right)} \right]. \quad (3-82)$$

由双回路輸入裝置組成的射頻系統在等于中頻的頻率上的選擇性等子：

在小失谐，並且  $\beta \leq 1$  时

$$S_{npom} = \frac{\sqrt{(1 - \alpha_{npom}^2 + \beta^2)^2 + 4\alpha_{npom}^2}}{1 + \beta^2}. \quad (3-83)$$

式中  $\alpha_{npom} = 2 \cdot \frac{1 - \frac{f_{np}}{f}}{d_0}$ ,

在  $\beta \geq 1$  时

$$S_{npom} = \frac{\sqrt{(1 - \alpha_{npom}^2 + \beta^2)^2 + 4\alpha_{npom}^2}}{2\beta}; \quad (3-84)$$

在大失谐时

$$S_{npom} = \frac{1}{1 + \beta^2} \left[ \frac{1 - \left( \frac{f}{f_{np}} \right)^2}{d_0 \left( \frac{f}{f_{np}} \right)^2} \right]^2. \quad (3-85)$$

由双回路输入装置和高频放大器组成的射频系统在等于中频的频率上的选择性等于：

在小失谐而  $\beta \leq 1$  时

$$S_{npom} = \frac{\sqrt{(1 - \alpha_{npom}^2 + \beta^2)^2 + 4\alpha_{npom}^2}}{1 + \beta^2} (\sqrt{1 + \alpha_{npom}^2})^n; \quad (3-86)$$

在  $\beta \geq 1$  时

$$S_{npom} = \frac{\sqrt{(1 - \alpha_{npom}^2 + \beta^2)^2 + 4\alpha_{npom}^2}}{2\beta} (\sqrt{1 + \alpha_{npom}^2})^n; \quad (3-87)$$

在大失谐时

$$S_{npom} = \left( \frac{f}{f_{np}} \right)^2 \frac{1}{(1 + \beta^2)} \left[ \frac{1 - \left( \frac{f}{f_{np}} \right)^2}{d_0 \frac{f}{f_{np}}} \right]^{n+2}. \quad (3-88)$$

在等于中频的频率上的选择性是在各分波段的最接近中频的频率上计算出来的。

如果某些分波段在等于中频的频率上的选择性低于给定的

数值，那么在这些分波段上接收机的输入端应该使用阻抗陷波器，或者在高频放大级中，在等于中频的频率上使用负回授，其计算方法见第四章。

在与中频  $f_{np} = 465$  千赫相等的频率上，在长波波段的最高频率  $f_{n\omega, max} = 415$  千赫和中波波段的最低频率  $f_{n\omega, min} = 520$  千赫上，广播接收机的选择性是很低的。因此在这些分波段上，需要在接收机的输入端使用阻抗陷波器，或者在高频放大级中，在等于中频的频率上使用负回授。阻抗陷波器通常用在射频系统仅由输入装置组成的广播接收机中。

现在我们来看看阻抗陷波器的工作原理（其电路如图3-11所示）。这个电路能使频率等于中频的电压完全衰减。

为了使陷波器的输出电压等于零，必须满足下列电压恒等

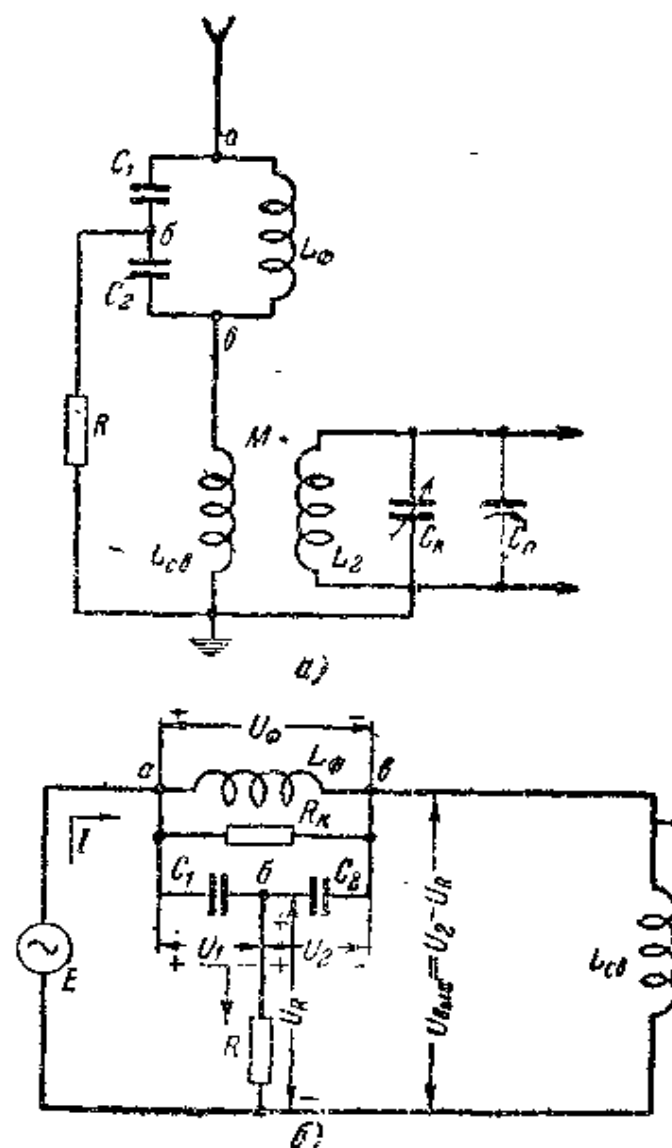


圖 3-11  
a—阻抗陷波器電路；b—等效電路。

式：

$$|U_R| = |U_2|.$$

在陷波器的电容量相等的时候，就是  $C_1 = C_2 = C$  时，将得到下列电压恒等式：

$$|U_1| = |U_R|.$$

于是得到

$$|U_1| = |U_R|.$$

电流  $I$  经过回路  $a\delta$  点和电阻  $R$  时产生电压降，

$$U_1 = IR_{k_{a\delta}} \text{ 和 } U_R = IR,$$

回路在  $a\delta$  两点间的阻抗等于

$$R_{k_{a\delta}} = m^2 R_k = \left(\frac{1}{2}\right)^2 R_k = \frac{R_k}{4} = \frac{1}{4} \cdot \frac{L_\beta}{C r_\beta} = \frac{L_\beta}{2 C r_\beta},$$

式中  $r_\beta$ ——陷波器线圈的电阻。

电压  $U_1$  和  $U_R$  用电流和阻抗表示时，得到：

$$I \cdot \frac{L_\beta}{2 C r_\beta} = IR,$$

由此

$$R = \frac{L_\beta}{2 C r_\beta}.$$

把分子和分母同乘以  $\omega_{np}$ ，得到：

$$R = \frac{\omega_{np} L_\beta}{2 C \omega_{np} r_\beta} = \frac{Q}{2 C \omega_{np}} = \frac{Q}{4 \times \frac{C}{2} \omega_{np}} = \frac{R_k}{4} = R_{k_{a\delta}}.$$

(3-89)

计算阻抗陷波器的方法如下。

如电容量  $C = C_1 = C_2$  给定为 500—1000 微微法，则由式

(3-7) 可以求出陷波器的电感量：

$$L = \frac{253 \times 10^3}{\frac{Q}{2} f_{np}} \text{亨}$$

若按线圈的制作要求取定了回路的品质因数，则可由式 (3-89) 求出陷波器的阻抗：

$$R = \frac{Q}{2C\omega_{np}} \Omega$$

## 第四章 高频放大器的计算

### 4-1. 概 述

高频放大器的主要作用有三种：1) 放大信号电压；2) 取得对镜频波道和等于中频的频率选择性；3) 提高信号/噪声比。

放大级电子管在 A 类状态下工作。加到电子管栅极上的电压的振幅，不应该进入有栅极电流的部分，并且要在电子管特性曲线的直线部分。

对高频放大器的要求如下：

1. 增益系数尽可能大；
2. 对镜频波道和等于中频的频率的选择性尽可能好；
3. 保证所需要的通频带；
4. 满足所要求的频带复盖；
5. 工作稳定；
6. 固有噪声尽可能小。

在高频上高频放大级中使用五极管，因为它们的电容量  $C_{ac}$  很小，而互导很大。

在特高頻上為了減少固有噪音常使用三極管，因為三極管的噪音阻抗小，而輸入阻抗較大。

高頻放大器的特点由下列各點來表明：

1. 电子管的輸入和輸出共用一个電極；
2. 回路和电子管板極電路的耦合种类；
3. 板極電路的饋電方式。

廣泛使用的電子管共極電路是共陰極電路和共柵極電路。

在放大級內使用下列的耦合電路：

1. 自耦變壓器耦合電路（頻率在350兆赫以下時使用）；
2. 直接耦合電路（頻率在100兆赫以下時使用）；
3. 串聯電感耦合電路（在200—500兆赫內的固定頻率上工作時使用）；
4. 共柵極和直接耦合電路（頻率在50—350兆赫時使用）；
5. 共柵極和諧振線耦合電路（頻率在350—1000兆赫時使用）；
6. 變壓器耦合電路（頻率在100兆赫以下時使用）；
7. 橋接電路（頻率在25—350兆赫時使用）。

板極電路的電源可以用串聯饋電的，也可以用串聯饋電的。在串聯饋電時通過電路的只有板極電流的高頻分量，而在串聯饋電時通過電路的是電子管板極電流的高頻分量和直流分量。

提高放大級對等於中頻的頻率的選擇性，是通過給放大級以中頻負回授的辦法來實現的。

## 4-2. 电路的选择

高頻放大級的電路應根據所給定的頻率範圍來選擇。當頻率在20—25兆赫以下時，為了取得最大的增益系數，放大級

的一切电路都应在放大管输出阻抗与下一级电子管的输入阻抗相匹配的状态下工作。

像在输入装置中一样，放大级中的匹配也不是临界的，而小范围内的失配实际上对增益系数没有影响。放大级的增益系数由于失配而产生的变化，可以用式 (3-17a) 计算出来。

由于回路谐振阻抗的增加，放大级的增益系数会随着分波段频率的增高而增加。在由一个分波段变换到另一个频率较高的分波段时，回路谐振阻抗显著降低，这就显著地降低了放大级的增益系数。因此，对于频率在 350 兆赫以下的多波段放大级来说，应该采用变压器或自耦变压器耦合电路。这种电路在变换分波段时，可以在频率较低的分波段上用减衰回路与电子管耦合的方法来均衡放大级的增益系数。

直接耦合的放大级电路的特点是，在转换到频率较高的分波段时，增益系数显著降低，因为这时回路的谐振阻抗显著降低。这种电路的增益系数比其他的电路大，但是它的稳定增益系数较小。

为了使放大级在分波段中具有比较均匀的增益系数，采用了变压器耦合电路，并且把板极电路的谐振频率选择得低于分波段最低频率。

串联电感耦合的放大级电路在固定频率上使用。对这个频率的最初调谐是用改变电感来实现的。

如果要接收机的噪声系数很小而实际灵敏度很高时，放大级就应采用直接耦合的用三极管工作的共栅极电路，这种电路的最大缺点是电子管的输入阻抗小。

谐振线耦合的用塔形管工作的共栅极电路，既可以在固定频率上使用，又可以在频带上使用。谐振线的调谐是用谐振线内可以改变谐振线长度的螺栓杆来进行的。在螺栓杆上有一个

耦合环，放在板極电路的电流波腹处，与跨接桥的位置无关。移动跨接桥时，改变了用自耦变压器来耦合饋线和陰極电路的变换系数，从而使輸入裝置失配。由于輸入裝置的匹配不是临界的，所以輸入裝置的傳輸系数可以在小范围内变化。

放大器的桥接电路在平衡时可以用电子管的極間电容来消除寄生的正回授，这就为在噪声系数小和实际灵敏度高的情况下使用三極管提供了可能性。桥接电路的增益系数比一般的放大电路要低一些，但是桥接电路不会产生自激。当共陰極放大电路不能保証所要求的稳定增益系数时，可以采用这种电路。

为了选定共陰極的放大級电路，必須根据稳定增益的条件来求得变换系数的数值：

$$K_0 = 10^{-3} S m_1 \frac{2\pi f_{n_0, max} L}{d_3} \leq 12.6 \gamma \sqrt{\frac{S}{f_{n_0, max} C_{a.e.3}}}, \quad (4-1)$$

式中：  $S$ ——毫安/伏；  $f$ ——兆赫；  $C_{a.e.3} = C_{a.e.} + C_{n.a}$ ——微微法；

$C_{a.e.}$ ——电子管的極間电容；

$C_{n.a}$ ——管坐电容（金屬管为0.01微微法，指形管为0.017微微法）；

$\gamma$ ——与放大器級数有关的系数（在  $n=1$  时  $\gamma=0.45$ ，  
 $n=2$  时  $\gamma=0.31$ ， $n=3$  时  $\gamma=0.27$ ， $n=4$  时  $\gamma=0.26$ ）；

$R_{n_0, max} = \frac{2\pi f_{n_0, max} L}{d_3}$ ——板極电路的諧振阻抗，千欧；

$m_1 = \frac{L'_2 + M_2}{L_2}$ ——电子管板極的变换系数。

求式(4-1)中  $m_1$  的解，得到：

$$m_1 \leq \frac{2 \times 10^4 d_g \gamma}{f_{n0, \max} L V f_{n0, \max} C_{a,e,s} S}, \quad (4-2)$$

式中:  $f$ ——兆赫;  $C_{a,e,s}$ ——微微法;  $S$ ——毫安/伏。

为了电子管的输出阻抗不致使回路等效衰减增加 25% 以上, 必须满足下列条件,

$$m_1^2 \frac{R_{k, \max}}{R_{out}} \leq 0.25,$$

由此

$$m_1 \leq \frac{1}{2} \sqrt{\frac{R_{out}}{R_{k, \max}}}, \quad (4-3)$$

在高频时  $R_{out} = R_i$ , 而在特高频时  $R_{out} = (5-12) R_{out}$ 。

在两个已得到的数值  $m_1$  中取较小的一个。应当指出, 如果放大级没有匹配好的话, 随着变换系数  $m_1$  的减少, 放大级的稳定性和选择性都得到改善, 但增益系数却降低了。

如  $m_1 < 1$ , 则可以采用自耦变压器或变压器耦合的放大级电路; 如  $m_1 \geq 1$ , 则可以采用直接耦合的放大级电路。

### 4-3. 計算高頻放大級的原始數據

計算用任意电路耦合的高頻放大級的原始数据如下:

- 1) 分波段频率  $f_{n0, \min} - f_{n0, \max}$  或固定频率  $f_0$ , 兆赫或千赫;
- 2) 回路等效衰减  $d_g$ ;
- 3) 回路电感量  $L$ , 微亨 (对串联电感耦合的放大级來說要計算这一数据);
- 4) 电子管种类及其工作状态:  $E_e, I_n, E_g, I_g, R_a, I_a$  和互导  $S$ , 毫安/伏;
- 5) 放大管的输出电导  $g_{out}$  和下一级电子管的和输入电导

$g_{ex2}$ , 姆欧;

6) 放大管的输出电容  $C_{out1}$ , 极间电容  $C_{a,c}$  和下一級电子管的输入电容  $C_{in2}$ ; 微微法 (在共栅极电路中电子管的极间电容是  $C_{a,k}$ ) ;

7) 放大级电路;

8) 变换系数  $m_1$  (在用自耦变压器或变压器耦合的电路上使用);

9) 佈线电容  $C_{ln}$  或  $C_{l1}$  和  $C_{l2}$  微微法;

10) 中频  $f_{np}$ , 兆赫或千赫;

11) 高频放大器的级数;

12) 电源电压  $E$ , 伏。

#### 4-4. 自耦变压器耦合的放大级的计算

图 4-1 是自耦变压器耦合和不完全耦合下一級电子管输入端的放大级电路。

在 10—15 兆赫以下的频率上作为放大级负载的电子管输入阻抗比回路的谐振阻抗大若干倍而和放大管的输出阻抗相等。因此在这些频率上, 下一級电子管输入端与放大管输出端匹配不起来, 所以下一級电子管的输入端接到整个回路上, 从而在这种情况下增大了放大级的增益系数。

放大级的计算程序如下。

如果没有给出电子管输入和输出阻抗, 那么就应把它们求出来。

下一級电子管的输入电导可用式(2-2)来求,

$$g_{ex2} = \frac{f^2}{K_2}.$$

放大管的输出电导等于

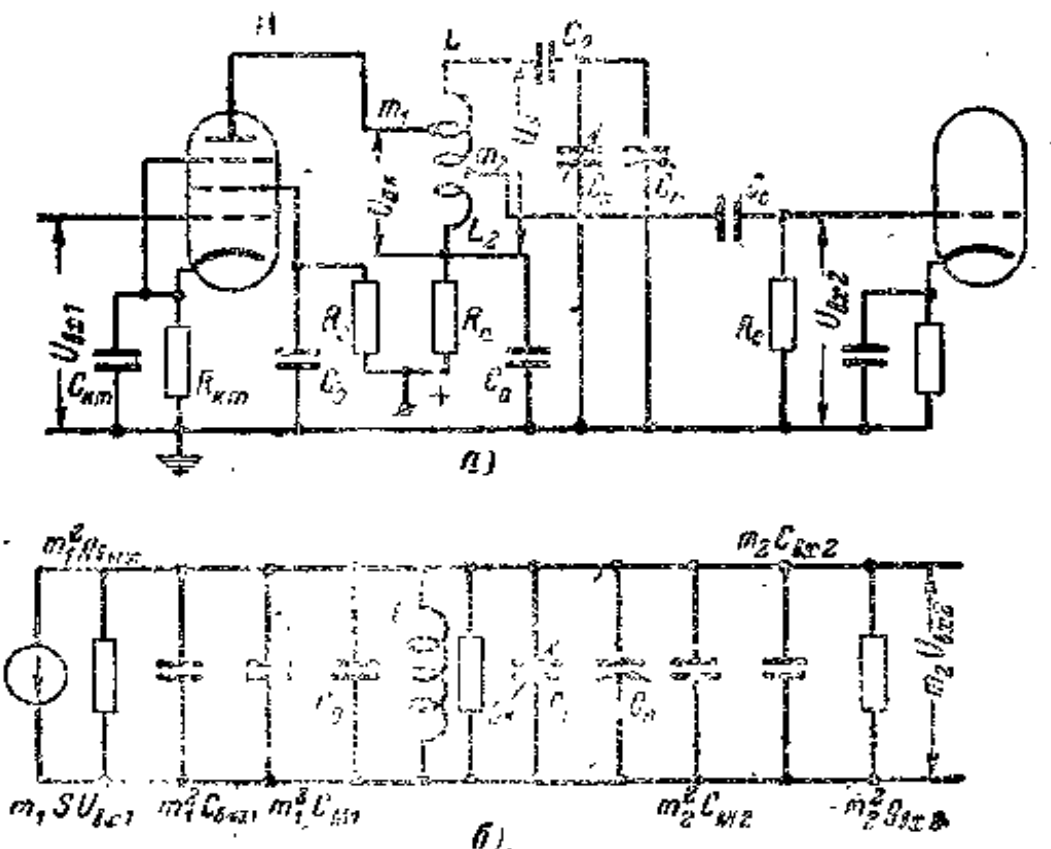


图 4-1  
a—自耦交正器耦合和不完全耦合下一级电子管输入端的放大级电路;  
b—等效电路。

$$g_{aux1} = \frac{g_{aux1}}{5-12} = \frac{f^2}{(5-12)K_1}, \quad (4-4)$$

式中:  $g_{aux1}$ ,  $g_{aux2}$  和  $g_K$  — 兆姆欧;  $f$  — 兆赫;  $K$  — 决定电子管输入电导的系数, 千欧·兆赫<sup>2</sup> (参看表 2-1)。

下一级电子管输入端的变换系数在匹配时为:

$$m_{2c} = \frac{L'_2 + M_2}{L_2} = \sqrt{\frac{m_1^2 g_{aux1} + g_K}{g_{aux2}}}, \quad (4-5)$$

式中  $g_K = \frac{1}{R_K} = \frac{d_2}{2\pi f_0 L}$  — 回路的谐振电导。

通常在特高频率时  $g_K \ll m_1^2 g_{aux1}$ , 于是

$$m_{2c} = m_1 \sqrt{\frac{g_{out1}}{g_{out2}}} \quad (4-6)$$

如果放大級在分波段範圍內工作，那麼就應該在分波段的中心頻率上進行計算。

當回路電導不能忽略不計時，應該在分波段中心頻率上計算出它的數值

$$g_{n, cp} = \frac{d_p}{2\pi f_{n0, cp} L}$$

放大級匹配時的增益系數為

$$K_{oc} = \frac{10^{-8} m_1 S}{2 \sqrt{(m_1^2 g_{out1} + g_{n, cp}) g_{out2}}} \quad (4-7)$$

式中：S——毫安/伏；g——姆歐。

通常在高頻時  $g_{n, cp} \ll m_1^2 g_{out1}$ ，於是

$$K_{oc} = \frac{10^{-8} S}{2 \sqrt{g_{out1} g_{out2}}} \quad (4-8)$$

這些公式中的輸出和輸入電導都是在分波段中心頻率上確定的。

由於電子管的輸出和輸入電導與分波段頻率的平方成正比地增加，所以在分波段上放大級中的匹配不會遭到破壞。

放大級匹配時的增益系數與分波段頻率的平方成反比。放大級增益系數與分波段頻率具有這種關係，是由於電子管的輸出和輸入電導隨頻率的增高而增加，但匹配不會遭到破壞。

分波段邊端頻率上放大級的增益系數  $K_0$  等於

$$K_0 = K_{oc} \left( \frac{f_{cp}}{f} \right)^2 \quad (4-9)$$

回路的衰減等於

$$d_{\alpha} = \frac{d_2}{2} - 2\pi f_{n\partial, cp} L m_1^2 g_{exx1}. \quad (4-10)$$

如果放大級在比較低的頻率上工作，且  $g_k \gg m_1^2 g_{exx1}$ ，那麼增益系数等於

$$K_{oc} = \frac{10^{-3}S}{2V \frac{g_k g_{ex2}}{\epsilon_k \epsilon_{ex2}}}, \quad (4-11)$$

式中  $g_k$  和  $g_{ex2}$  是在分波段中心頻率上求出來的。

放大級在分波段邊端頻率上的增益系数便等於

$$K_o = K_{oc} \frac{2 \left( \frac{f}{f_{cp}} \right)^2}{1 + \left( \frac{f}{f_c} \right)^3}. \quad (4-12)$$

如果放大級在比較低的頻率上工作，而  $g_k > m_1^2 g_{exx1}$ ，  
 $g_{exx1} = \frac{1}{R} = g_i$  和  $g_k \gg g_{ex2}$ ，那末放大級中就不能取得匹配，而變換系数要根據工作穩定和使電子管電導對回路的旁路作用較小等條件來選定。如回路等效衰減  $d_s = d_{s2}$ ，則

$$d_k = d_{s2} - 2\pi f_{n\partial, make} L g_i.$$

回路在頻率  $f_{n\partial, make}$  上的等效衰減因數為

$$d_{s1} = d_k + 2\pi f_{n\partial, make} L g_i.$$

在給定變換系数  $m_2 \leq 1$  時，我們得到放大級在分波段邊端頻率上的增益系数：

$$K_{o1} = 10^{-3} S \frac{2\pi f_{n\partial, make} L}{d_{s1}} m_1 m_2,$$

$$K_{o2} = 10^{-3} S \frac{2\pi f_{n\partial, make} L}{d_{s2}} m_1 m_2, \quad (4-13)$$

式中  $S$ ——毫安/伏；  $f_{n\partial}$ ——兆赫；  $L$ ——微亨。

在頻率較低的分波段上，使所取變換系数  $m_1$  的數值小於

稳定条件下的变换系数，这样，在变换波段时，可以均衡放大级的增益系数。

虽然如此，每个分波段中的增益仍然是不均衡的（因为增益系数随分波段内的频率而上升）。

栅漏电阻等于

$$R_c \geq \frac{10}{g_{ex2}}. \quad (4-14)$$

栅极电路隔流电容器的电容量等于

$$C_c \geq \frac{1.3}{f_{no, m} m} - g_{ex2}. \quad (4-15)$$

回路隔流电容器的电容量为

$$C_p = (10 - 20) C_{no, max}. \quad (4-16)$$

#### 4-5. 直接耦合的放大级的计算

图 4-2 是直接耦合的放大级电路。

图 4-2, a 中所示为直接耦合和串联馈电的放大级电路。在这个电路中必需接入一个电阻  $R_o$ ，用它来把负电压加到电子管栅极上。电阻  $R_o$  旁路回路（特别是在频率低于 2 兆赫时），从而使放大级的增益降低、通频带加宽，并使选择性变坏。

此级的等效电路如图 4-2, b 所示。

图 4-2, b 是一个直接耦合和并联馈电的放大级电路。在这个电路中没有电阻  $R_o$ ，而扼流圈电感也比回路电感大若干倍，它差不多对回路的谐振没有影响。扼流圈的固有电容包括在回路的总电容内。如在频带上工作，则变换波段时必需更换不同的扼流圈，以便在波段的较高频率上减少扼流圈的固有电容；或者使用小固有电容的特别制作的扼流圈。这种电路级的等效电路如图 4-2, c 所示。

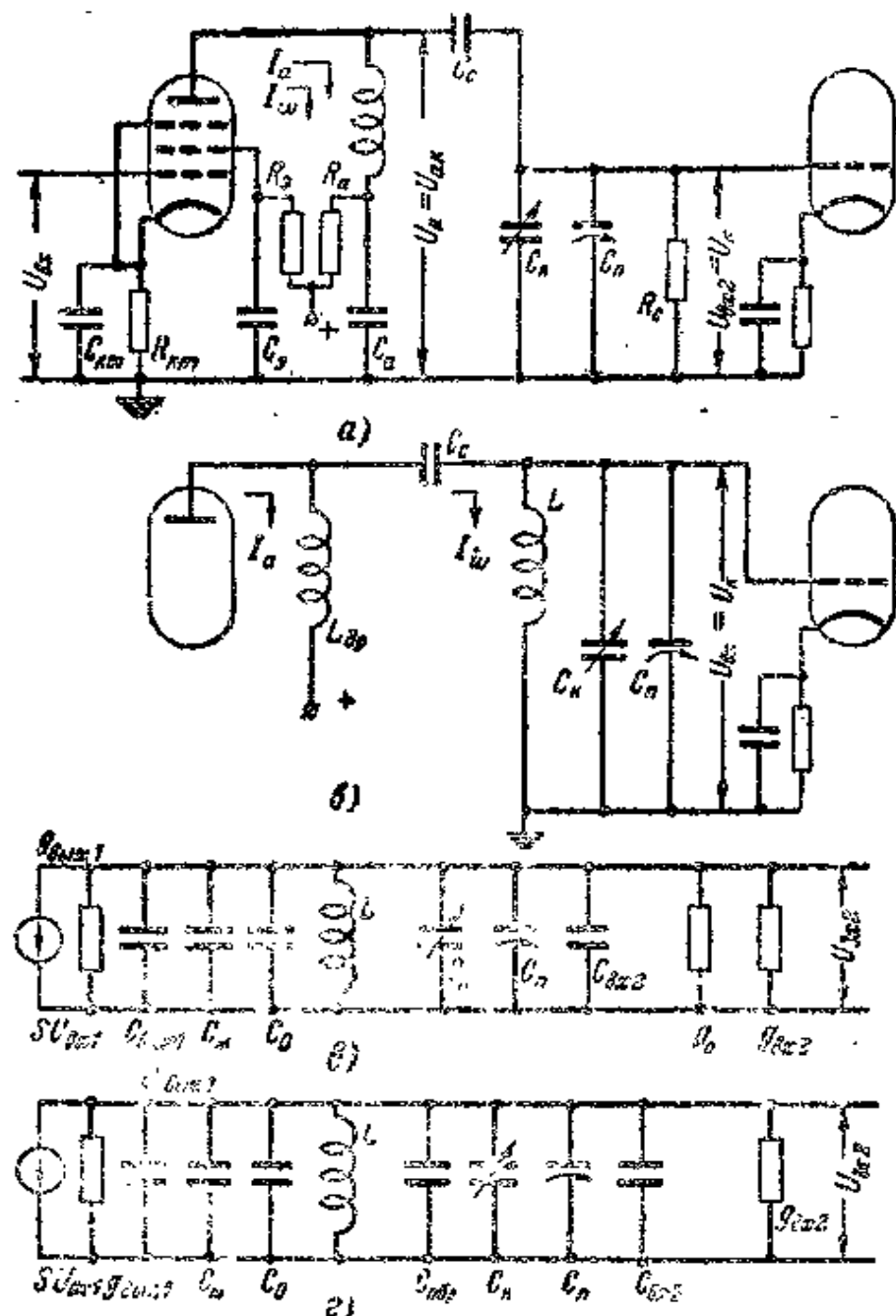


图 4-2 a—四极管直接耦合放大器中的放大级电路；b—直接耦合和扩散  
段电的放大级电路；c—分段直连；d—等效电路。

放大級的計算程序如下。

直接耦合的放大級只有在板極電路的變換系數等於或大於 1 的條件下，才能穩定地工作。

級的增益系數等於

$$K_0 = \frac{10^{-3}S}{g_{out1} + g_k + g_{out2}}, \quad (4-17)$$

式中  $S$  —— 毫安/伏；  $g$  —— 姆歐。

電子管的輸出和輸入電導與頻率的平方成正比，而回路的諧振電導與頻率成反比。因此，一級的增益系數將隨頻率的增高而減小。

在高頻上，如  $g_k \ll (g_{out1} + g_{out2})$ ，一級的增益系數等於

$$\begin{aligned} K_0 &= \frac{10^{-3}S}{g_{out1} + g_{out2}} = \frac{10^{-3}S}{g g_{out2} + g_{out2}} = \frac{10^{-3} \times 0.1S}{g_{out2}} = \\ &= \frac{10^{-4}SK_{\text{千歐·兆赫}^2}}{f^2}, \end{aligned} \quad (4-18)$$

式中  $K_{\text{千歐·兆赫}^2}$  —— 手冊中所示決定電子管輸入阻抗的系數  
(參看表 2-1)；

$S$  —— 毫安/伏。

在較低頻率上  $g_{out1} = \frac{1}{R_i} = g_i < g_k$  和  $g_k \gg g_{out2}$ 。

這樣，一級的增益系數主要取決於回路的諧振電導，並隨頻率的升高而增加。

如給定回路等效衰減  $d_2 = d_{22}$ ，則求得在頻率  $f_{n0, max}$  上的回路衰減：

$$d_K = d_{22} - 2\pi f_{n0, max} L g_i,$$

在頻率  $f_{n0, min}$  上回路等效衰減等於

$$d_{21} = d_K + 2\pi f_{n0, min} L g_i.$$

在分波段边缘频率上一级的增益系数

$$K_{\alpha 1} = \frac{10^{-3} S 2 \pi f_{n \sigma, m n} L}{d_{\alpha 1}},$$

$$K_{\alpha 2} = \frac{10^{-3} S 2 \pi f_{n \sigma, m a x} L}{d_{\alpha 2}}, \quad (4-19)$$

式中  $S$ ——毫安/伏;  $f_{n \sigma}$ ——兆赫;  $L$ ——微亨。

栅漏电阻可用式(4-13)求出:

$$R_c \geq \frac{10}{g_{\alpha x 2}}, \quad \text{当 } g_{\alpha x 2} > g_K + g_{\alpha K x 1} \text{ 时}$$

和

$$R_c \geq \frac{10}{g_K}, \quad \text{当 } g_K > g_{\alpha x 2} + g_{\alpha K x 1} \text{ 时。}$$

隔流电容器的电容量等于:

在串联馈电路时

$$C_c \geq \frac{1.6}{f_{n \sigma, m n}}$$

$$\sqrt{g_{\alpha x 2}^2 + [2 \pi f_{n \sigma, m n} (C_{K, m a x} + C_n + C_m + C_s)]^2} \quad (4-20)$$

在并联馈电路时

$$C_c \geq \frac{1.6}{f_{n \sigma, m n}} (g_{K, m n} + g_{\alpha x 2}). \quad (4-21)$$

并联馈电电路的扼流圈的电感量

$$L_{\alpha p} = (10-20) L_K. \quad (4-22)$$

#### 4-6. 串联电感耦合的放大级的计算

图 4-3 是串联电感耦合的放大级电路。

计算程序如下。

匹配时电子管板极回路和下一级电子管输入端之间的总变换系数等于

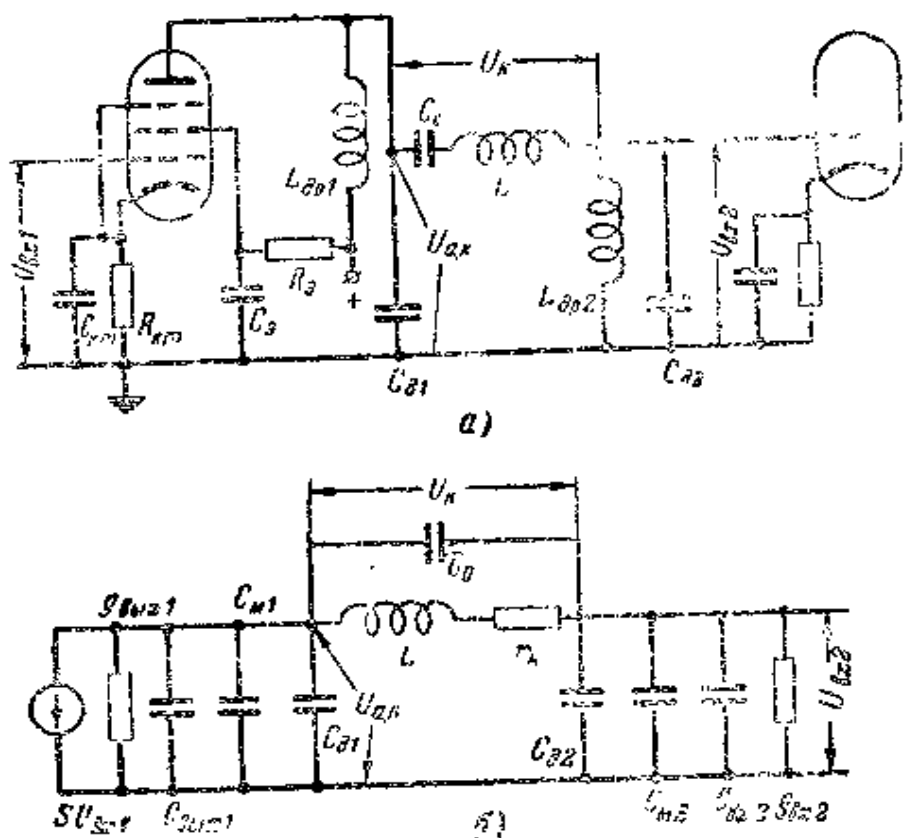


图 4-8 a—串联电感耦合的放大级电路; b—等效电路。

$$M_c = \frac{m_1}{m_2} = \sqrt{\frac{\mathcal{E}_{ex2}}{\mathcal{E}_{ex1}}} \quad (4-23)$$

如给定电容量  $C_1 > C_{ex1} + C_{s1}$ , 得到:

$$C_2 = M_c C_1. \quad (4-24)$$

附加电容器的电容量等于

$$C_{\delta 1} = C_1 - (C_{ex1} + C_{s1}), \quad (4-25)$$

$$C_{\delta 2} = C_2 - (C_{ex2} + C_{s2}). \quad (4-26)$$

同路的等效电容量用式(3-24)来求:

$$C_s = \frac{C_1 C_2}{C_1 + C_2} + C_0,$$

式中:  $C_0$  — 线圈的固有电容量(约0.5~2微微法)。

线圈的电感量用式(3-7)来求:

$$L = \frac{253 \times 10^3}{C_0 f_0^2},$$

匹配时增益系数用式(4-8)来求:

$$K_{oc} = \frac{10^{-3} S}{2V g_{aux1} g_{aux2}}.$$

根据(4-1)的条件放大级的增益系数应该等于或者小于稳定增益系数:

$$K_0 \leq K_{yom}.$$

扼流圈的电感量为

$$L_{o1} + L_{op2} \geq (10 - 20)L. \quad (4-27)$$

隔流电容器的电容量

$$C_c \geq (10 - 20)C_1. \quad (4-28)$$

回路衰减用式(4-10)来求:

$$d_k = \frac{d_e}{2} - 2\pi f_0 L m_1^2 g_{aux1}.$$

#### 4-7. 共栅极和直接耦合的放大级的计算

图4-4是共栅极和直接耦合的放大级电路。

级的计算程序如下。

电子管的输入电导

$$g_{av} = S. \quad (4-29)$$

电子管的输出电导

$$g_{aux} \approx g_{o,k}.$$

电子管的输入电容

$$C_{ax} \approx C_{c,c}. \quad (4-30)$$

电子管的输出电容

$$C_{abix} \approx C_{a.c} + C_{a.n.a}, \quad (4-31)$$

式中  $C_{a.n.a} = C_{a.n} + C_{n.a}$ ;

$C_{n.a}$ ——管座电容：指形管为 0.24—0.3 微微法，而五极管 6K4 和 6K8 接成三极管用时 约为 1 微微微法。

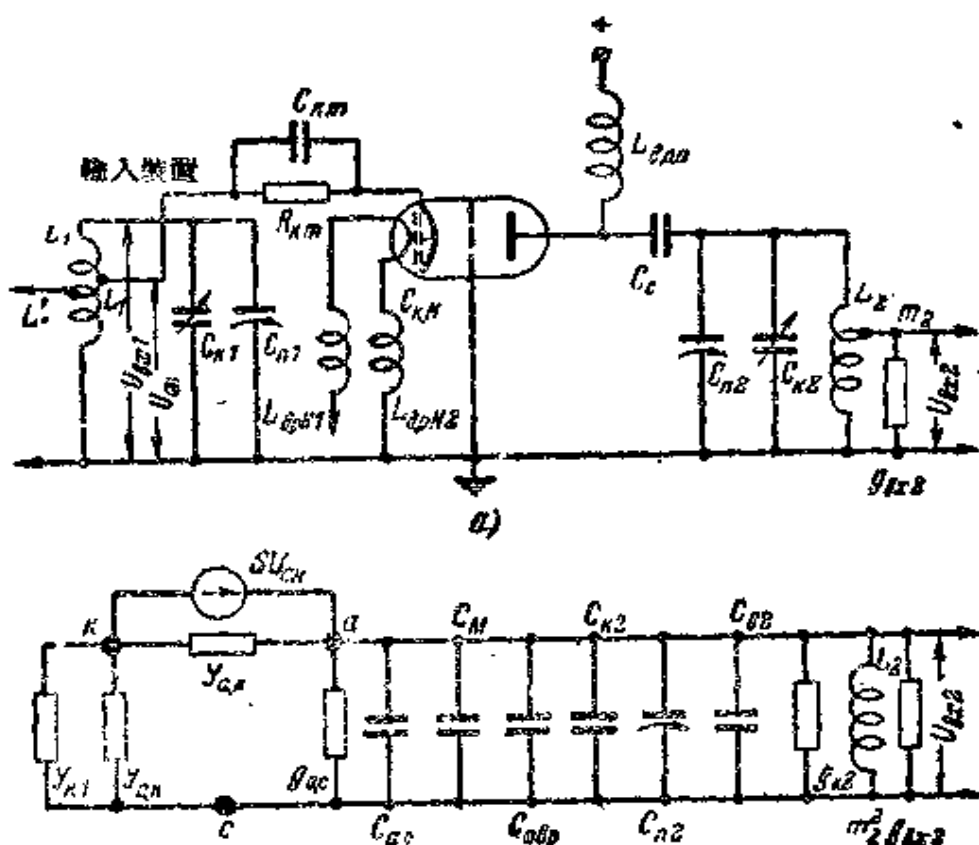


图 4-4 共栅极和直接耦合的放大级电路  
a—等效电路。

根据式(4-5)在匹配时的变换系数等于

$$m_{20} = \sqrt{\frac{g_n + g_{abix}}{g_{m2}}}.$$

匹配时级的增益系数用式(4-7)来求。

$$K_{oe} = \frac{10^{-6}S}{2V(g_{m1} + g_{m2})C_{ax2}}$$

匹配时每个回路中的稳定增益系数为:

在一級時

$$K_{yom} = 0.4 \frac{S}{\omega_0 C_{ax2}}, \quad (4-32)$$

而二級時

$$K_{yom} = 0.4 \frac{S}{\omega_0 C_{ax2}} - \frac{1}{2}. \quad (4-33)$$

为了使放大級稳定地工作，應該滿足下列条件

$$K_o < K_{cm}.$$

如果沒有滿足這一条件，那就應該把电子管的板極接到回路的一部分上。

表 4-1 中列出了电子管的極間电容和管座电容的数值。

表 4-1

电子管接法	电子管类型	$C_{ax}$ , 微微法	$C_{n.a.}$ , 微微法
五極管(接成三極管用)	6Ж4	2.13	0.94
	6Ж1П	4.0	0.24
	6Ж2П	1.76	0.24
	6Ж3П	2.9	0.24
三極管	6Н15П	0.5	0.32
	6Н3П	~0.5	~0.3
	6С2П	0.35	~0.3

由于接地柵極的屏蔽作用，电子管在共柵極电路中的極間电容量不等于共陰極电路中的極間电容量  $C_{ax}$ 。

如果放大級在分波段範圍內工作，則增益系数應該用式 (4-6), (4-9), (4-10), (4-11) 来計算。

隔流电容器的电容值和板极扼流圈的电感量用式(4-15),  
(4-27)来求,

$$C_c \geq \frac{1.6}{f_{n\theta, \min}} R_{\text{ext}},$$

$$L_{op} \geq (10-20)L.$$

灯丝电路中扼流圈的电感量应选择这样的数值,使得灯丝—阴极电容量对回路电容量没有影响。

为此,由  $\frac{L_{op,n}}{2}$  和  $C_{n,k}$  所构成的回路的频率至少应该比分波段的最低频率低  $2/3-4/5$ 。

因此,灯丝扼流圈的电感量应该等于

$$L_{op,n} = L_{op,s_2} = 2 \times \frac{253 \times 10^3}{C_{n,k} f_{n\theta, \min}} \cdot \quad (4-34)$$

#### 4-8. 共栅极和谐振线耦合的放大器的计算

图 4-5 是用塔形管的共栅极和谐振线耦合的两极放大器电路。板极谐振器与下一极电子管的栅极谐振器用耦合环耦合。在放大管的板极电路中有一个耦合谐振器系统,象普通的耦合回路一样,耦合谐振器具有形状良好的谐振曲线。

板极谐振器被放大管输出电导所旁路,而与它相耦合的下一极电子管的栅极谐振器则被电子管的输入电导旁路,结果使两个谐振器具有不同的衰减。

要使增益系数与通频带之积为最大值,谐振器间的耦合应选定为临界耦合,这样两个耦合谐振器就具有单峯谐振曲线。

计算程序如下。

根据制作要求板极和阴极回路的圆筒直径应该选择得便于与塔形管连接。

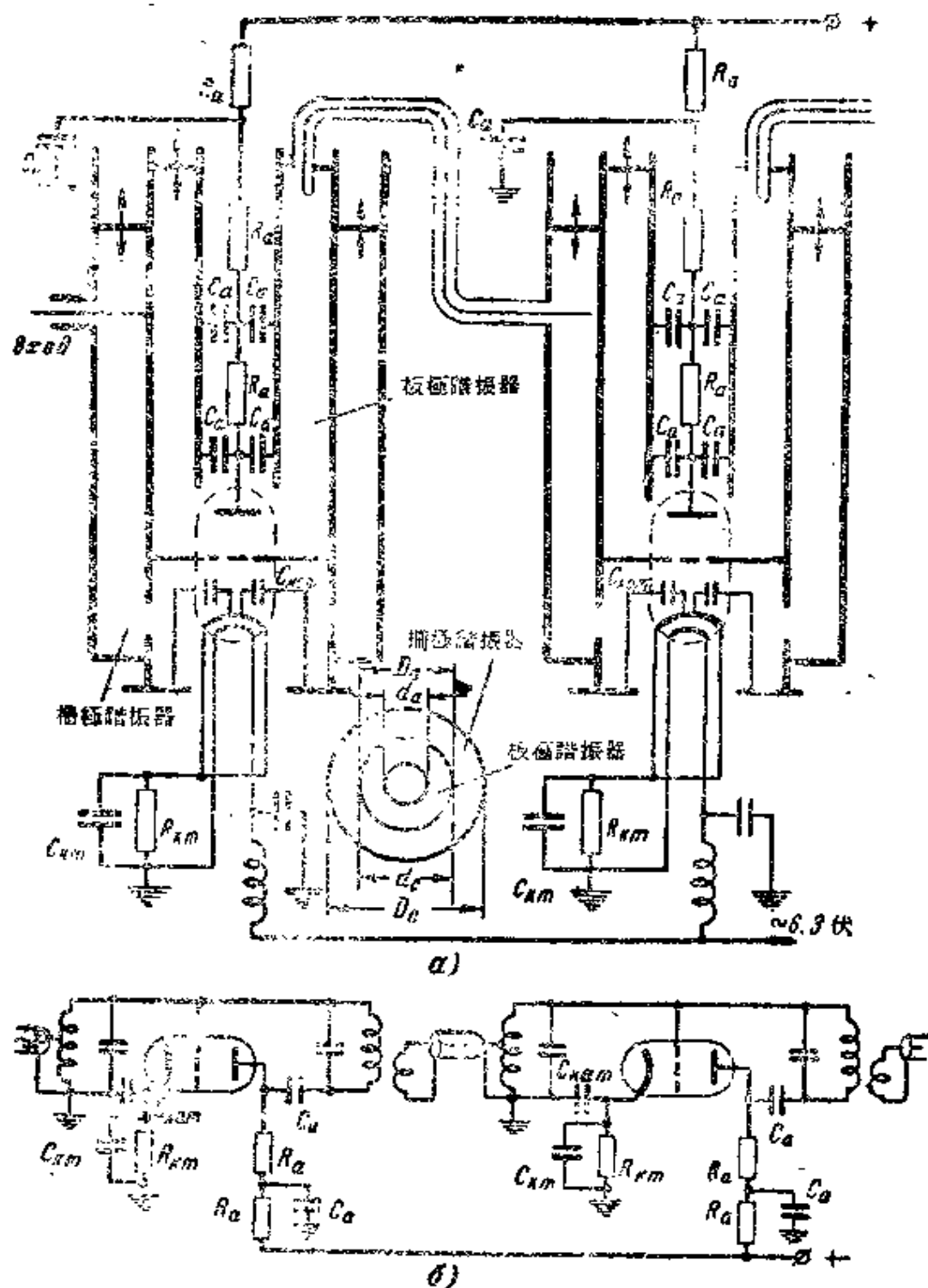


圖 4-5 a—具捕獲和諧振線結合的兩級放大器電路; b—等效電路

在諧振器的直徑之比  $\frac{D_c}{d_c} = 3.6$  時，諧振線的衰減最小（參看 § 3-8）。

我們用式(3-28)來求柵極和板極的諧振線的特性阻抗：

$$\rho_c = 138 \lg \frac{D_c}{d_c}, \quad \rho_a = 138 \lg \frac{D_a}{d_a}.$$

求得波長

$$\lambda_0 = \frac{3 \times 10^4}{f_0},$$

式中  $\lambda_0$ —厘米；  $f_0$ —兆赫。

現在我們可以用式(3-29)來求柵極和板極的諧振線的長度：

$$l_c = \frac{\lambda_0}{2\pi} \arctg \frac{1.6 \times 10^5}{\rho_c f_0 C_{ex}},$$

$$l_a = \frac{\lambda_0}{2\pi} \arctg \frac{1.6 \times 10^5}{\rho_a f_0 C_{aux}},$$

式中  $l$  和  $\lambda$ —厘米；  $\rho$ —歐姆；  $f_0$ —兆赫；  $C$ —微微法。

等效回路中，與諧振線和電子管的電容量等效的電容量用式(3-30)來求：

$$C_{eq,c} = \frac{1}{2} \left( C_{ex} + \frac{1.6 \times 10^5}{f_0 \rho_c} - \frac{\theta}{\sin^2 \theta} \right),$$

式中  $C_{ex} \approx C_{c,n}$ ；

$$C_{eq,a} = \frac{1}{2} \left( C_{aux} + \frac{1.6 \times 10^5}{f_0 \rho_a} - \frac{\theta}{\sin^2 \theta} \right),$$

式中  $C_{aux} \approx C_{a,c} + C_{a,n}$ ；  $\theta = 2\pi \frac{l}{\lambda_0}$ ；  $f$ —兆赫；  $\rho$ —歐姆。

等效回路中的電感量用式(3-7)來求：

$$L_c = \frac{253 \times 10^3}{C_{eq,c} f_0^2},$$

$$L_a = \frac{253 \times 10^3}{C_{a,a} f_0^2},$$

諧振線單位長度內的電阻用式(3-31)來求：

$$R_1 = 0.83 \times 10^{-4} \sqrt{f_0} \frac{1 + \frac{D}{d}}{D},$$

式中  $R_1$ —歐姆/厘米；  $D$ 和  $d$ —厘米；  $f_0$ —兆赫。

諧振線的衰減用式(3-32)來求：

$$d_{x,c} = \frac{R_1 \lambda_0}{2\pi \rho_c}, \quad d_{x,a} = \frac{R_1 \lambda_0}{2\pi \rho_a},$$

式中  $R_1$ —歐姆/厘米；  $\rho$ —歐姆；  $\lambda_0$ —厘米。

諧振線的諧振電導可用式(3-33)來求：

$$g_{x,c} = \frac{d_{x,c}}{6.28 f_0 L_c}, \quad g_{x,a} = \frac{d_{x,a}}{6.28 f_0 L_a}.$$

考慮到電子管的電導時，諧振線的電導可用式(3-34)來求：

$$g_e = g_{x,c} + g_{ex2}; \quad g_a = g_{x,a} + g_{ax1},$$

式中  $g_{ex2} = S_2$ ，下一級電子管的輸入電導。

考慮到電子管的電導時，諧振線的衰減為：

$$d_c = d_{x,c} + 2\pi f_c L_c g_{ex2};$$

$$d_a = d_{x,a} + 2\pi f_a L_a g_{ax1},$$

式中  $f_0$ —兆赫；  $L$ —微亨；  $g$ —毫歐。

與下一級電子管的柵極諧振器耦合的板極諧振器是該放大級的放大管的板極負載。因為兩級中的諧振器和電子管是一樣的，所以臨界耦合系數將等於

$$K_{rep} = \sqrt{\frac{d_c^2 + d_a^2}{2}}. \quad (4-35)$$

耦合環的結構計算是很困難的，因此用實驗的方法來選擇它。

放大級在臨界耦合時的增益系數等於

$$K_0 = \frac{U_{ox2}}{U_{ox1}} = \frac{1.47 \times 10^3 S}{2\pi f_0 V C_{s,e} C_{s,a}} = \frac{V(d_e^2 + d_a^2)}{(d_e + d_a)^2}, \quad (4-36)$$

式中  $S$ —毫安/伏;  $f_0$ —兆赫;  $C$ —微微法。

為了使放大器穩定地工作，應該滿足條件  $K_0 \leq K_{yem}$ ，其中  $K_{yem}$  可用式(4-32), (4-33)求出來。

放大級的通頻帶等於

$$2\Delta f_{0.4} = f_0 \frac{d_e + d_a}{\sqrt{2}}, \quad (4-37)$$

如果放大級應該在頻帶範圍內工作，那麼就應該用式(3-29)求出最長波和最短波的半振綫的長度。在這種情況下放大級在波段中心頻率上的匹配，必須用在這個頻率上所得到的  $\varepsilon_{sw1}$  和  $\varepsilon_{sw2}$  來實現。在分波段邊端頻率上的增益系數用式(4-9)來求。

#### 4-9. 變壓器耦合的放大級的計算

圖4-6是變壓器耦合的放大級電路。

放大級的計算程序如下。

如給定的回路衰減  $d_0 = d_{02}$ ，則我們得到在頻率  $f_{n0,max}$  上的回路衰減：

$$d_n = d_{02} - m^2 2\pi f_{n0,max} L g_i,$$

式中  $m = m_1 = \frac{M}{L}$  —在§4-2中得到的耦合系數。

回路在  $f_{n0,min}$  上的等效衰減等於

$$d_m = d_n + m^2 2\pi f_{n0,min} L g_i.$$

當板極電路的固有頻率比  $f_{n0,max}$  高得多時，放大級在分波段端頻率上的增益系數等於

$$L_{\text{互}} = \frac{m \cdot 2\pi f_{\text{工作频率}} L \times 10^{-3}}{d_{\text{气}}} ;$$

$$K_{\text{互}} = \frac{4\pi \cdot 2\pi f_{\text{工作频率}} L \times 10^{-3}}{d_{\text{气}}} , \quad (4-38)$$

式中  $S$ —毫安/伏;  $J$ —米赫;  $L$ —微亨。

### 耦合线圈的电感量

$$L_{\text{耦合}} = \left( \frac{m}{K} \right) L_1 \quad (4-39)$$

式中  $K=0.4-0.6$ —线圈间的耦合系数。

在频率较低的分波段上，把耦合系数选得小于稳定条件下

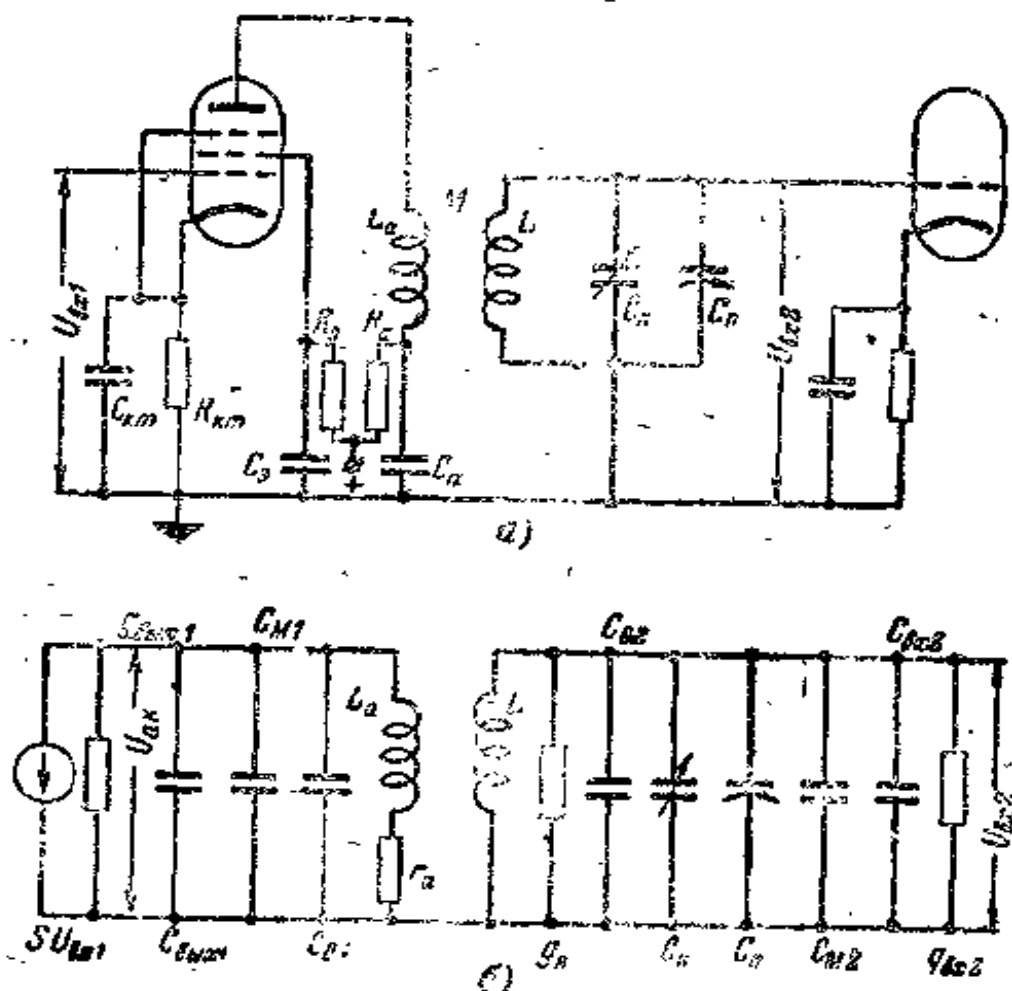


图 4-6 a—变压器耦合的放大级电路; b—等效电路

的耦合系数，这样，在变换波段时，可以均衡放大级的增益系数。但是，即使如此，每一分波段内的增益系数仍然是不均衡的（因为增益系数随分波段频率而增大）。

如果使板极电路的固有频率等于

$$f_{a.u} = (0.6 - 0.8) f_{n\theta, min}, \quad (4-40)$$

那么在分波段内就可以得到比较均匀的增益系数。

从式(3-7)耦合线圈的电感量等于

$$L_{ce} = \frac{253 \times 10^2}{C f_{a.u}^2},$$

式中  $C = C_a + C_{bias} + C_{M1}$ ；  $C_a$ —接入板极电路用来降低此电路的谐振频率的附加电容器；这个电容器的电容量通常取为200—500微微法。

级的增益系数等于

$$K_0 = \frac{10^{-2} mS}{\left[ \left( \frac{f}{f_{a.u}} \right)^2 - 1 \right]} \cdot \frac{2\pi f L}{d_0}, \quad (4-41)$$

式中  $S$ —毫安/伏；  $f$ —兆赫；  $L$ —微亨。

线圈间的耦合系数等于

$$K = m \sqrt{\frac{L}{L_{ce}}}. \quad (4-42)$$

耦合系数应符合结构制作上的需要，即不应大于0.6。

如果耦合系数大于0.6，那就要增大  $L_{ce}$ ，并减少  $C_a$ ，以便使板极电路的固有频率保持不变。

#### 4-10. 桥接电路耦合的放大级的计算

图4-7, a是与输入回路的公共中点耦合的放大级桥接电路。从此电路中可以看出，与输入回路的公共中点耦合的放大

級是共陰極放大級和共柵極放大級之間的中間級。共柵極放大級有以下兩個缺點：

1. 輸入阻抗小，這就使輸入回路被嚴重地旁路，使回路的品質因數降低，因而降低了前一級的增益系數或者說降低輸入裝置的傳輸系數；

2. 增益系數大時，放大級可能產生自激現象。

與輸入回路的公共中點耦合的放大級沒有這些缺點。在此

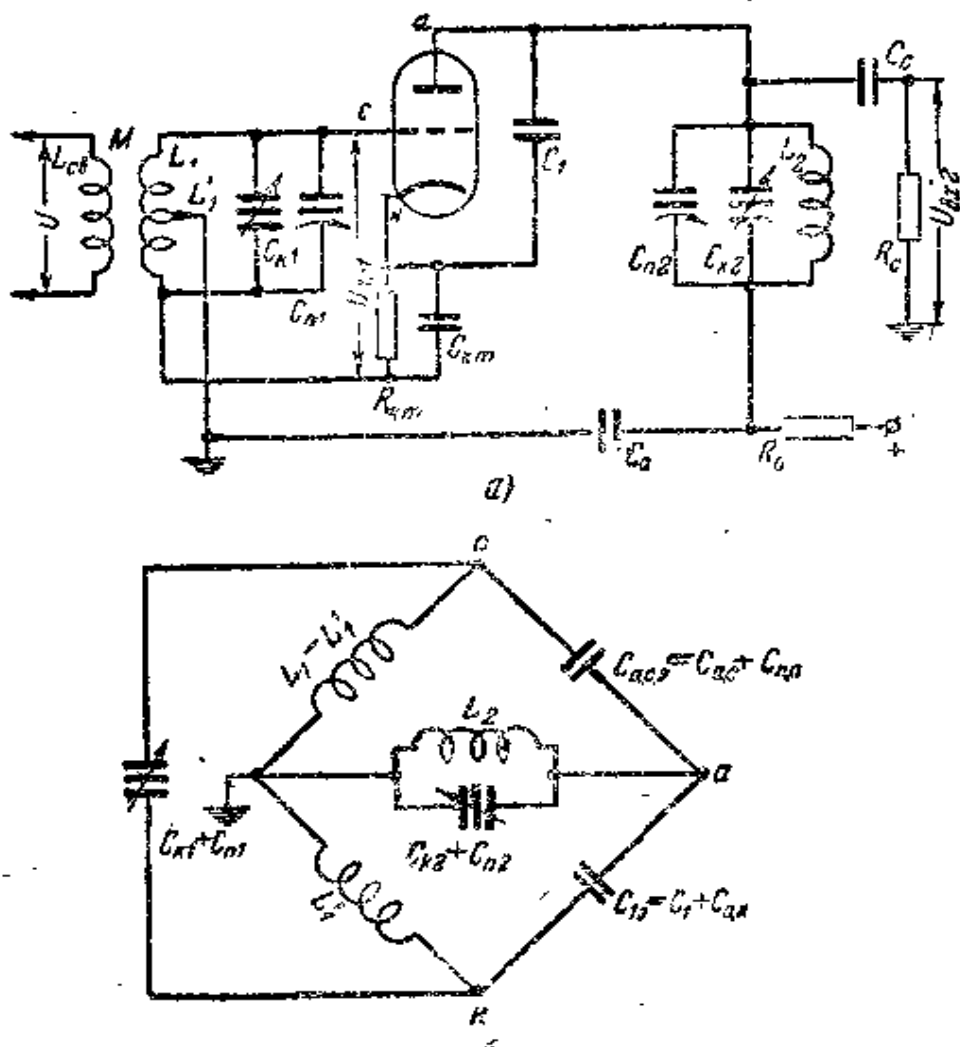


圖 4-7  $a$ —與輸入回路的公共中點耦合的放大級接線電路； $b$ —等效電路。

放大級中只有回路的下面部分比電子管的小輸入阻抗旁路。與輸入回路的公共中心點耦合的放大級電路可以看作是一個電橋，柵板和板極回路接到電橋的對角線上（圖 4-7, 6）。

如果回路間沒有直接耦合；即沒有正回授的話，那末當電橋平衡時，輸出回路的電壓不會加到輸入回路上，這樣就避免了放大級產生自激的可能性。電橋是靠接在電子管的板極和陰極之間的電容器  $C_1$  來平衡的。

為了組成放大的橋接電路，必須使用蝶式同軸可變電容器。

普通同軸電容器的動片與交流相連接，從而使橋接電路的平衡遭到破壞。

放大級的增益系數等於

$$K_o = \frac{U_{o2}}{U} = \frac{M}{L_1} S R_{k2} \frac{R_{k2}}{m^2 R_{k1} + R_{k2}}, \quad (4-43)$$

式中  $R_{k1} = \frac{2\pi f_0 L_1}{d_{g1}}$  —— 柵極回路的諧振阻抗；

$R_{k2} = \frac{2\pi f_0 L_2}{d_{g2}}$  —— 板極回路的諧振阻抗；

$$m = \frac{L'_1 + M_1}{L} \approx \frac{L'}{L},$$

$M$  —— 繩圈  $L_{te}$  和  $L_1$  間的互感量。

通常取變換系數  $m=0.2-0.3$ 。在這種情況下，與公共中點耦合的放大的增益系數與共陰極放大的增益系數的區別將是很小的：

$$K_o \approx \frac{M}{L} S R_{k2}. \quad (4-44)$$

為了平衡電橋，電容器  $C_1$  的電容量應該等於

$$C_1 = C_{a,e,\alpha} \frac{1-m}{m} = C_{a,g}. \quad (4-45)$$

电容器  $C_1$  通常采用半可变电容器，因为这样可以在各电子管产品的极间电容差参不一时使桥接电路得以平衡。

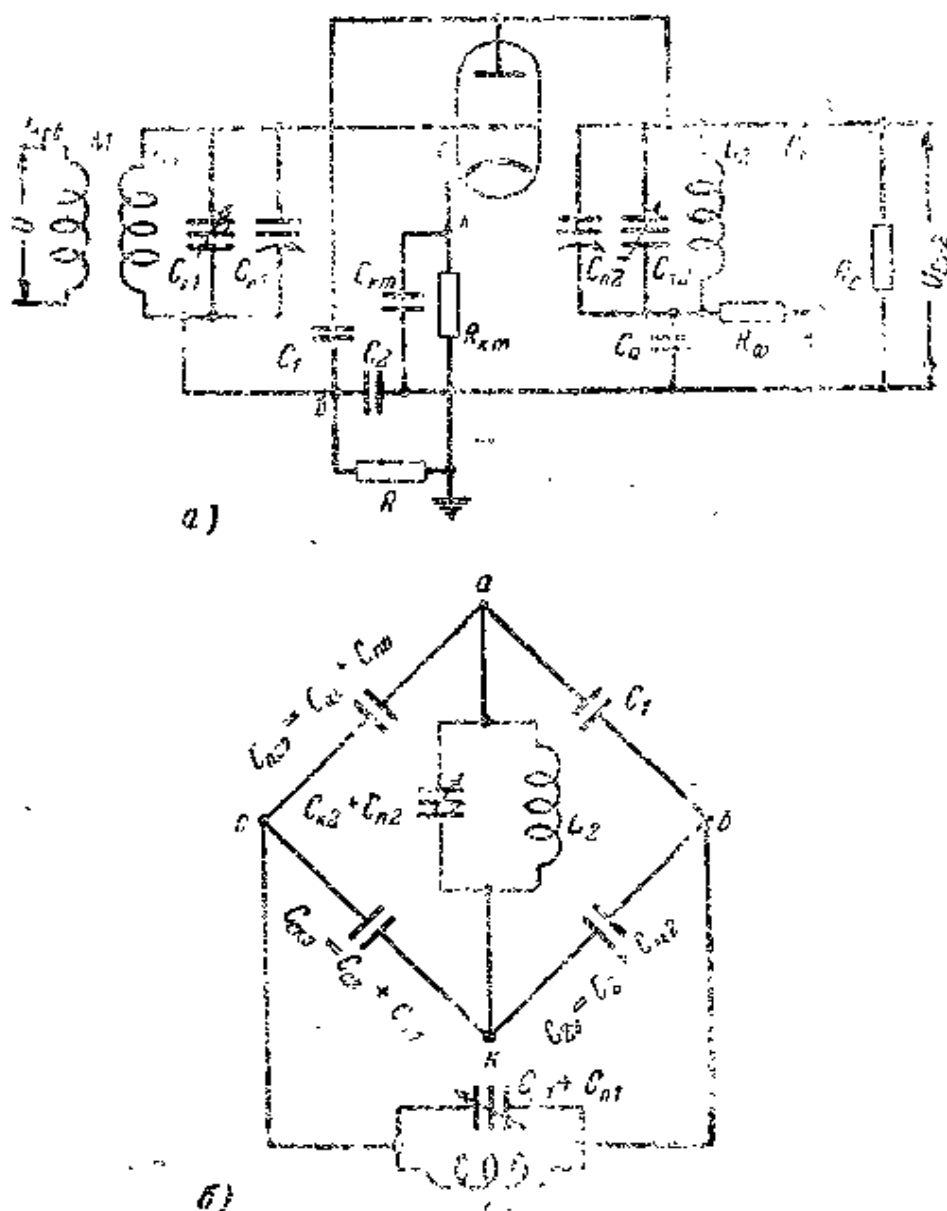


图 4-8 a—放大级的电容性耦合电路; b—等效电路

圖 4-8, a 是放大級的由容性橋接電路。此電路可以看作是一個對角線上接有柵極和板極回路的中橋（圖 4-8, b）。當電橋平衡時，放大級將沒有正回授，因而放大級不會自激。

放大級的增益系數等於

$$K_a = \frac{U_{g_{x2}}}{I_I} = \frac{M}{L} \cdot \frac{C_{22}}{C_{c,n,a} + C_{22}} \cdot S R_{k2}, \quad (4-46)$$

式中  $C_{22} = C_2 + C_{m2}$ ，

$C_{c,n,a} = C_{c,n} + C_{m1}$ 。

為了取得較大的增益，必須使電容器的電容量等於 (3-5)  $C_{c,n,a}$ 。

為了平衡電橋，電容器  $C_1$  的電容量應該等於

$$C_1 = \frac{C_{a,c,a}}{C_{c,n,a}} C_{22}. \quad (4-47)$$

電容器  $C_2$  通常採用半可變電容器，這就可以在測定佈線電容有誤差和電子管極間電容有參差時使橋接電路取得平衡。

#### 4-11. 放大級的電阻和旁路電容器的計算

電子管陰極上的偏壓電阻等於

$$R_{km} = \frac{|E_c|}{I_k} \quad (4-48)$$

式中  $E_c$ ——偏壓；

$I_k$ ——電子管的陰極電流。

柵柵極電路的降壓電阻

$$R_g = \frac{E - E_g}{I_g}, \quad (4-49)$$

式中  $E$ ——電源電壓；

$E_g$ ——電子管的柵柵壓；

$I_g$ ——柵柵流。

板路中去耦变压器的电阻通常等于

$$R_o = 1 - 3 \text{ 千欧} \quad (4-50)$$

所计算的电阻的数值都取为最接近于标准值的整数。

电阻的类型根据耗散功率来选择：

$$P_{par} = I^2 R = \frac{E^2}{R} \leq P_R,$$

式中  $P_R$ ——电阻的额定功率。

阴极电路中旁路电容器的电容量：

用五极管时

$$C_{km} \geq 2 \times 10^3 \times \frac{S}{f_{n\partial, min}}, \quad (4-51)$$

用三极管时

$$C_{km} \geq 2 \times 10^3 \times \frac{S}{\left(1 + \frac{R_k}{R_i}\right) f_{n\partial, min}}, \quad (4-52)$$

式中  $C_{km}$ ——微微法；  $S$ ——毫安·伏；  $R_k$ ——板极回路的谐振阻抗；  $R_i$ ——电子管的内阻；  $f_{n\partial, min}$ ——兆赫。

帘栅极电路中的旁路电容器的电容量等于

$$C_o \geq 3.5 \times \frac{C_{a,r}^2}{C_{a,r} + C_{n,a}}, \quad (4-53)$$

式中  $C_{a,r}$ ——管坐电容量（金属电子管为 0.01 微微法，指形管为 0.017 微微法）。

表 4-2 中所列举的是各种电子管的帘栅极电路中的旁路电容器的最小电容量。

电子管板极电路中的旁路电容器的电容量为：

$$C_o \geq \frac{16 \times 10^3}{f_{n\partial, min} R_o}, \quad (4-54)$$

式中  $C_o$ ——微微法；  $f$ ——兆赫；  $R_o$ ——千欧。

表 4-2

电子管类型	$C_{oc}$ , 微法	$C_{ac}$ , 微法	$C_o$ 的最小值, 微法
6K2 12K2	0.003	6.0	9 700
6K1 12K4	0.005	8.5	16 800
6K7	0.005	7.0	11 400
6K9C	0.005	4.75	5 460
6K3П	0.0035	5.5	2 550
6Б8С	0.003	4.0	3 120
1K1П	0.01	3.5	910
6K3	0.003	7.0	13 150
6K4	0.015	11.0	17 600
6Ж1П	0.02	4.0	870
6Ж2П	0.02	4.1	910
6Ж3П	0.025	6.5	2 020
62K4П	0.0035	5.5	2 950

所计算的电容量都取为最近似于标准值的整数。

在高頻放大器回路中只能使用耗损和电感都很小的陶瓷电容器和云母电容器。

所选择的电容器应具有这样的工作电压，即  $E \leq E_{pas}$ 。

#### 4-12. 射频系统的增益系数、谐振曲线和

#### 对镜频波选的选择性的计算

射频系统的增益系数是在每个分波段的边端频率上用公式(2-63)计算出来的：

$$K_{mpq} = K_{oey} K_{oyeq1}^n$$

射频系统的增益系数的最小值应当近似于或略大于初步计算出来的增益系数。

射頻系統的諧振曲線是在每個分波段的邊端頻率上根據下列公式繪出來的：

在小失諧範圍內，對單回路輸入裝置和高頻放大器來說，

$$A = \frac{1}{[V \sqrt{\frac{1}{1+\alpha^2}}]^{n+1}}, \quad (4-55)$$

式中  $\alpha = \frac{2\Delta f}{d_s f_0}$ ；

$n$ ——高頻放大器的級數。

在小失諧範圍內對雙回路輸入裝置和高頻放大器來說

$\beta \leq 1$  時

$$A = \frac{1 + \beta^2}{V (1 - \alpha^2 + \beta^2)^2 + 4\alpha^2} \frac{1}{(V \sqrt{\frac{1}{1+\alpha^2}})^n}, \quad (4-56)$$

$\beta \geq 1$  時

$$A = \frac{2\beta}{V (1 - \alpha^2 + \beta^2)^2 + 4\alpha^2} \frac{1}{(V \sqrt{\frac{1}{1+\alpha^2}})^n}. \quad (4-57)$$

當射頻系統僅由一個輸入裝置組成時，系統的諧振曲線要根據公式(4-55)、(4-56)、(4-57)在  $n=0$  時繪制。在臨界耦合時在小失諧範圍內，具有雙耦合諧振線耦合的放大器的射頻系統，它的諧振曲線是用下列公式來計算的：

$$A = \frac{1}{V \sqrt{\frac{1}{1+\alpha^2}}} \left( \sqrt{\frac{1}{1 + \frac{\alpha^4}{\beta^2}}} \right)^n. \quad (4-58)$$

根據已得的数据繪出射頻系統的諧振曲線。

射頻系統對鏡頻波道的選擇性，是按最壞的情況，這就是在每個分波段的最高頻率上計算出來的。

具有單回路輸入裝置和高頻放大器的射頻系統對鏡頻波道的選擇性等於：

在小失谐的情况下

$$S_{sep\pi} = \left[ \sqrt{1 + \left( \frac{4f_{np}}{d_0 f_0} \right)^2} \right]^{n+1}, \quad (4-59)$$

在大失谐的情况下

$$S_{sep\pi} = \frac{(1-X^2)^{n+1}}{d^{n+2} X^{n+2}}, \quad (4-60)$$

具有双回路输入装置和高频放大器的射频系统对镜频波道的选择性，在小失谐时用公式(3-84)和(3-85)来计算：

在  $\beta \leq 1$  时

$$S_{sep\pi} = \frac{\sqrt{(1-\alpha_{np}^2+\beta^2)^2 + 4\alpha_{np}^2}}{1+\beta^2} (\sqrt{1+\alpha_{np}^2})^n,$$

在  $\beta \geq 1$  时

$$S_{sep\pi} = \frac{\sqrt{(1-\alpha_{np}^2+\beta^2)^2 + 4\alpha_{np}^2}}{2\beta} (\sqrt{1+\alpha_{np}^2})^n,$$

式中  $\alpha_{np} = \frac{4f_{np}}{d_0 f_0}$

在大失谐时

$$S_{sep\pi} = \frac{(1-X^2)^{n+2}}{d^{n+2} X^{n+4} (1+\beta^2)}, \quad (4-61)$$

式中  $X = \frac{f_0}{f_0 + \beta f_{np}}$

当射频系统仅由输入装置组成时，射频系统对镜频波道的选择性是用上述公式在  $n=0$  时计算出来的。

如果射频系统由输入装置和用双耦合谐振线耦合的放大器组成时，则它对镜频波道的选择性，在临界耦合下并为小失谐时等于

$$S_{np,n} = V \sqrt{1 + \alpha_{np}^2} \left( 1 / \sqrt{1 + \frac{\alpha_{np}^4}{4}} \right)^n. \quad (4-62)$$

在失谐时

$$S_{np,n} \approx \frac{|(1 - X^2)^{2n+1}|}{2^n d_s^{2n+1} X^{2n+2}}. \quad (4-63)$$

射频系统对等于中频频率的选择性的计算见§ 3-14。

#### 4-13. 应用负回授来提高放大级对等于中频频率的选择性

在等于中频的频率上应用负回授的办法，可以显著地提高放大级对此频率的选择性。

为了在等于中频的频率上获得负回授，必须在放大级电子管的阴极上接入一个对中频调谐的并联回路。它的阻抗对所有的频率都很小，而对中频则非常大。当强大的负回授作用在放大级上时，它就会使放大级在此频率上的增益系数显著地降低。

放大级在等于中频的频率上的增益系数等于：

$$K' = \frac{K}{1 + S_K R_{K,n}}, \quad (4-64)$$

式中  $S_K$  —— 电子管阴极电流的互导；

$R_{K,n} = \frac{2\pi f_{np} L}{d_s}$  —— 阴极回路在频率  $f_{np}$  上的谐振阻抗；

$K$  —— 放大级在等于中频的频率上的增益系数。

放大级对等于中频的频率的选择性等于

$$S_{np,n} = \frac{K}{K'} = 1 + S_K R_{K,n}. \quad (4-65)$$

通常  $S_K R_{K,n} \gg 1$ ，于是

$$S_{npom} = S_k R_{x,x} = S_k \frac{2\pi f_{np} L}{d_p}. \quad (4-66)$$

从公式 (4-66) 中可以看出，为了取得較大的選擇性必須降低陰極回路的衰減。

因为陰極回路的衰減  $d_k > 0$ ，所以不能使  $S_{npom} = \infty$ 。

## 第五章 中頻放大器的計算

### 5-1. 概述

中頻放大器的主要作用是：

1. 放大中頻信号电压；
2. 取得对相鄰波道的选择性。

放大級电子管在 A 类状态下工作。加到电子管柵極上的信号电压的振幅，不應該进入柵流区，并且应当不超出电子管特性曲綫的直線部分。下一級电子管柵極上的信号电压振幅应当最大。

对中頻放大器有下列要求：

1. 增益系数尽可能大；
2. 对相鄰波道的选择性尽可能好；
3. 在給定的頻率失真系数下保証有所需的通頻帶；
4. 在更換电子管时通頻帶要稳定；
5. 工作稳定。

在中頻放大級內采用極間电容小、互导和內阻大的高頻五極管。

中頻通頻帶通常在 0.11—12 兆赫的范围内。通頻帶与 調制种类和接收方法(有微調；無微調；不調諧和無微調)有关。

在頻率調制時通頻帶最寬。

在放大級中採用下列電路：

- 1.直接與濾波器第一回路耦合的電路；
- 2.用自耦變壓器與濾波器第一回路耦合的電路；
- 3.具有兩個串聯的對不同中頻調諧的帶通濾波器的電路；

- 4.通頻帶可調的電路；

- 5.集中選擇性（多節帶通濾波器）的電路。

在中頻放大器中使用單峯諧振曲線，從而可以使接收機對電台進行精調。濾波器回路間的耦合是臨界耦合。

在濾波器回路中採用固定電容器。濾波器回路的調諧使用礦介質的鐵心。

## 5-2、電路的選擇

中頻放大級的電路是根據給定的對相隣波道選擇性的數值即根據矩形系數來選擇的。

在對相隣波道的選擇性不好時，在放大級中使用用電感耦合的雙回路帶通濾波器的電路。在穩定度滿足要求和電子管內阻對回路的旁路作用小時，採用與濾波器第一回路直接耦合的電路。如果不能滿足這個條件，就使用用自耦變壓器與濾波器第一回路耦合的電路。

具有兩個串聯的對不同中頻調諧的帶通濾波器的電路，用於接收調幅和調頻信號的接收機中。採用這種電路便能使接收機對兩個不同的中頻在同一个放大器內放大。

通頻帶可調的電路通常用於高質量的廣播接收機中。

集中選擇性的電路在需要對相隣波道得到很高的選擇性時使用。這種電路能夠得到近似于U形的諧振曲線，即得到接近

于 1 的矩形系数。

### 5-3. 濾波器回路电容量的选择和电感量的计算

濾波器回路电容器的电容量根据下列条件来选择：

1. 取得最大的稳定增益系数；
2. 换电子管时具有稳定的通频带。

根据得到最大增益系数的条件，便可求出濾波器回路电容器的电容量。

具有双回路带通濾波器的放大级的稳定增益系数等于：

$$K_{yom} = 12.6 \gamma \beta \sqrt{\frac{S}{f_{np} C_{a.o.s}}}, \quad (5-1)$$

式中  $\beta = \frac{K}{d_s}$  —— 总耦合系数；

$K$  —— 濾波器线圈间的耦合系数。

如果把具有双回路带通濾波器的放大级的稳定系数与單回路放大级的稳定系数比较一下，便可以看出两者只相差一个  $\beta$  值。

令具有双回路带通濾波器的放大级的增益系数等于稳定增益系数 (5-1 式)，我們有：

$$\frac{\beta}{1+\beta^2} S R_K = \frac{\beta}{1+\beta^2} S \frac{10^3}{2\pi f_{np} C_{a.o.s} d_s} \leq 12.6 \gamma \beta \sqrt{\frac{S}{f_{np} C_{a.o.s}}},$$

求  $C_{a.o.s}$  的解，得到：

$$C_{a.o.s} \geq \frac{12.6}{(1+\beta^2) R_K} \sqrt{\frac{S C_{a.o.s}}{f_{np}}} \quad (5-2)$$

因为在  $\beta=1$  时各放大级中使用具有单峯谐振曲綫的带通濾波器，所以

$$C_{s,y} \geq \frac{6.3}{\gamma d_s} \sqrt{\frac{SC_{a,e,n}}{f_{np}}}, \quad (5-3)$$

式中  $C_{s,y}$ ——微微法;  $S$ ——毫安/伏;  $C_{a,e,n}$ ——微微法;  
 $f_{np}$ ——兆赫。

对具有双耦合回路的放大器来说, 更换电子管的通频带的增加不大于 10% 的条件是:

$$C_{s,y,n} \geq 3\Delta C Q_s, \quad (5-4)$$

式中  $\Delta C = \sqrt{\Delta C_{outx1} \Delta C_{inx2}}$ ;

$\Delta C_{outx1}$  和  $\Delta C_{inx2}$ ——电子管输出电容和输入电容的参差系数。

这个条件是 A. A. 柯罗索夫提出来的。

表 5-1 中列出了电子管输入电容和输出电容的相对参差系数。

为了得到最大的稳定增益系数和稳定的通频带, 滤波器回路的等效电容量  $C_s$  应当在两个已知值  $C_{s,y}$  和  $C_{s,y,n}$  中选择较大的一个:

$$\left. \begin{array}{l} C_s \geq C_{s,y}, \\ C_s \geq C_{s,y,n}. \end{array} \right\} \quad (5-5)$$

带通滤波器回路的等效电容等于

$$C_s = \sqrt{C_{s1} C_{s2}} \approx \frac{C_{s1} + C_{s2}}{2} \quad (5-6)$$

式中  $C_{s1} = C_{k1} + C_{outx1} + C_{in1} + C_{o1}$ ;

$$C_{s2} = C_{k2} + C_{inx2} + C_{out2} + C_{o2}.$$

滤波器各回路的电容量和电感量应当相等。于是

$$C_{k1} = C_{k2} = C_k, \quad C_{o1} = C_{o2} = C_o$$

及

$$L_1 = L_2 = L.$$

把滤波器回路的等效电容量代入公式 (5-6) 中, 求  $C_k$  的

表 5-1

电子管的类型	$C_{ex, nom}$ 微微法	$\frac{\Delta C_{ex}}{C_{ex}}$	$C_{actx, nom}$ , 微微法	$\frac{\Delta C_{actx}}{C_{actx}}$
6K3 12K3	6.0	0.2	7.0	0.26
6K4 12K4	8.5	0.2	7.0	0.3
6K1П	3.4	0.2	3.0	0.3
6Ж1П	4.3	0.116	2.2	0.136
6Ж2П	4.3	0.116	2.3	0.13
6Ж3П	1.8	0.28	6.5	0.2
6Ж8 12Ж6	6.0	0.18	7.0	0.26
6Ж3	8.5	0.2	7.0	0.3
6Ж4	11.0	0.2	5.0	0.3

解，得到：

$$C_n \approx C_s \cdot \frac{C_{ex,x1} + C_{x1} + 2C_0 + C_{x2} + C_{ex,x2}}{2} \quad (5-7)$$

滤波器线圈的电感量由公式 (3-7) 求出。

$$L = \frac{253 \times 10^3}{C_s f_{sp}^2}$$

#### 5-4. 滤波器第一回路的耦合电路的选择

在选择滤波器第一回路与电子管板路耦合的电路时，必须根据具有稳定的增益和电子管的输出电阻不使回路衰减的增加大于 25% 等条件来求出变换系数。

根据公式 (5-1) 在  $\beta=1$  时保证具有稳定增益的变换系数等于：

$$m_1 \leq \frac{4 \times 10^8 d_0 \gamma}{f_{np} L V f_{np} C_{a.c.0} S}, \quad (5-8)$$

式中  $f_{np}$  ——兆赫;  $C_{a.c.0}$  — 微微法;  $S$  ——毫安/伏;  
 $L$  ——微亨。

根据公式(4-3)保证使回路衰减的增加不大于 25% 的变换系数等于:

$$m_1 \leq \frac{1}{2} \sqrt{-\frac{R_i}{R_k}}, \quad (5-9)$$

从两个已得到的数值中取较小的一个。

如果已选定的数值  $m_1 \geq 1$ , 那就是说滤波器的第一回路可以直接接到电子管的板路中。

### 5-5. 計算中頻放大級的原始數據

計算放大級的原始數據是:

1. 一个中頻  $f_{np}$  或两个中頻  $f_{np1}$  及  $f_{np2}$ , 兆赫或千赫;
2. 帶通濾波器的等效衰減  $d_0$ ;
3. 濾波器回路的電感  $L$ , 微亨;
4. 电子管的类型和它的工作状态:  $E_\sigma, I_\kappa, E_\phi, I_\phi, E_a, I_a$  和互导  $S$ , 毫安/伏;
5. 放大管的內阻  $R_i$ , 兆歐;
6. 放大管的輸出电容及極間电容和下一級电子管的輸入电容;

$C_{o.v.1}$ ,  $C_{a.c.}$  和  $C_{o.v.2}$ , 微微法;

7. 放大級的电路;
8. 变换系数  $m_1$ ;
9. 佈綫电容  $C_{\gamma 1}$  和  $C_{\gamma 2}$ , 微微法;
10. 中頻放大級加上变頻級的数目;

### 11. 电源电压。

#### 5-6. 具有带通滤波器的放大级的计算

如上所述，中频放大器的带通滤波器各回路间的耦合是临界的，那相当于广义耦合系数  $\beta = \frac{L_1}{L_2} = 1$ 。

带通滤波器的谐振曲线具有一个比较平坦的峯顶。

图 5-1 是带有带通滤波器的放大级电路。

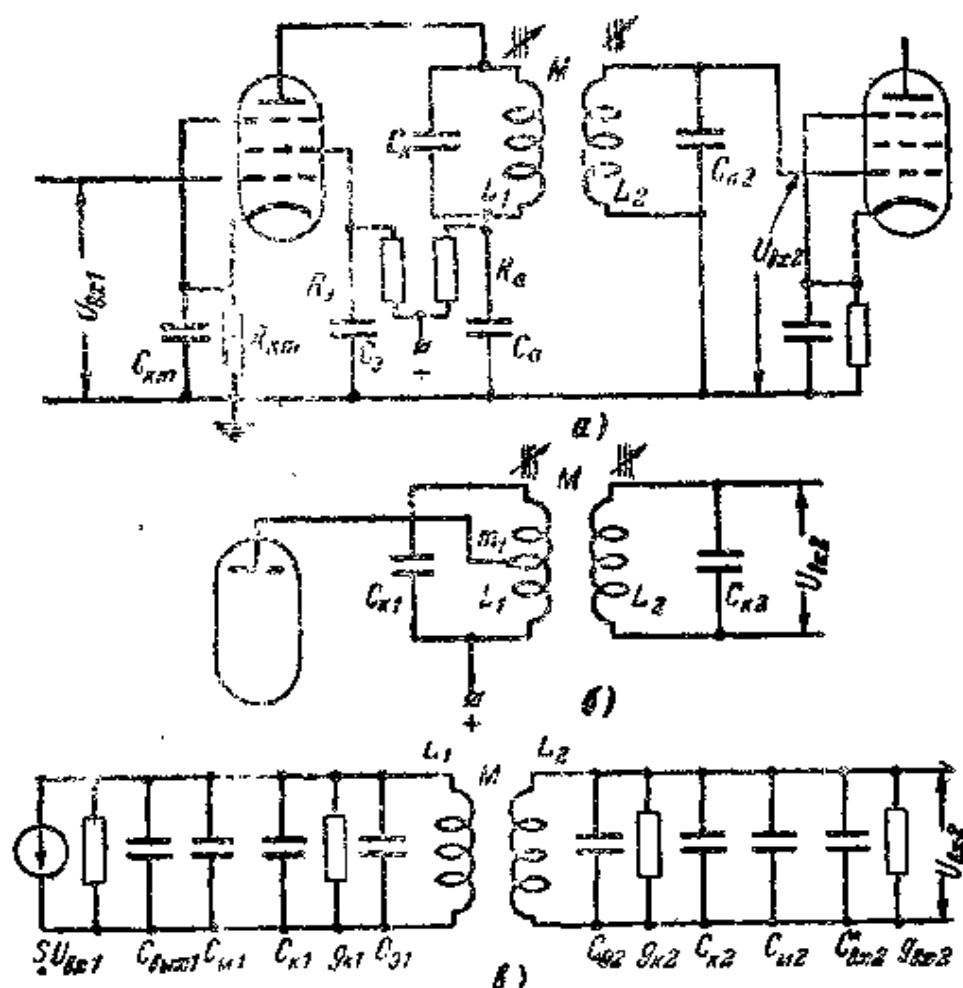


图 5-1 a—带有带通滤波器的放大级电路；b—带有带通滤波器并用自耦变压器与滤波器第一回路耦合的放大级电路；c—等效电路。

計算程序如下。

在  $\beta=1$  時放大級的增益系数等於

$$K_0 = 10^{-3} S \frac{\pi f_{np} L_{m1}}{d_0}, \quad (5-10)$$

式中  $f_{np}$ ——兆赫；  $L$ ——微亨；  $S$ ——毫安/伏。

濾波器線圈間的耦合系数

$$K_{np} = d_0. \quad (5-11)$$

濾波器線圈之間的互感

$$M = K_{np} L, \quad (5-12)$$

### 5-7 具有調諧到不同中頻的兩個串聯帶通

#### 濾波器的放大級的計算

圖 5-2 是具有兩個串聯的對不同中頻調諧的帶通濾波器的放大級電路。低中頻帶通濾波器與電子管的板極相接，而高中

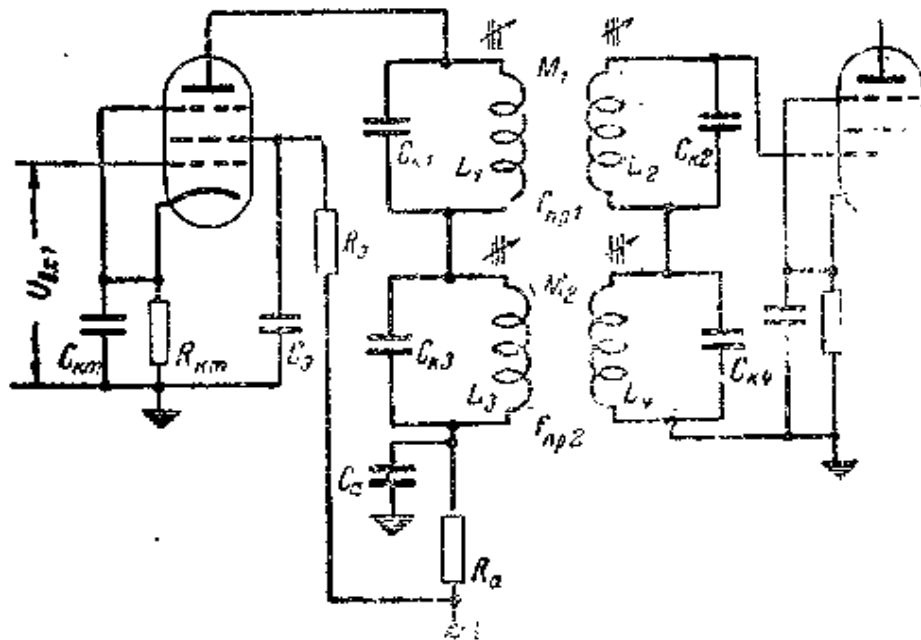


圖 5-2 具有兩個串聯的對不同中頻調諧的帶通濾波器的放大級電路

頻帶通濾波器与板路濾波器  $C_nR_n$  相接。

对低中頻而言，第二濾波器的阻抗是很小的，只有第一濾波器是电子管的負載。

具有兩個串联濾波器的放大級应当根据公式 (5-10)、(5-11) 和 (5-12) 对每个中頻来計算。

濾波器的諧振阻抗是不一样的：低中頻濾波器的諧振阻抗比高中頻濾波器的諧振阻抗大。所以在低中頻上放大級的增益系数要比在高中頻上大。

### 5-8. 具有可变通頻帶的放大級的計算

在高質量的广播接收机中，在变頻級和第一中頻放大級中使用可調的通頻帶。

如果接收机的通頻帶是可变的，那末就可以在信号强和干擾电平小时依靠通頻帶的加寬来获得高質量的接收，而在信号弱和干擾电平大时依靠通頻帶的压缩来获得滿意的接收。

通頻帶調整电路分为兩类：平滑調整电路和步进調整电路。

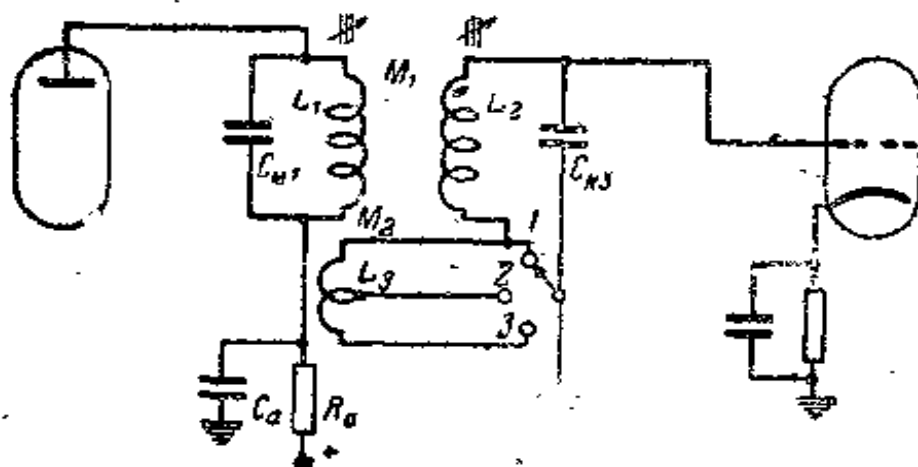


圖 5-8 具有可变通頻帶的放大級电路

各級通頻帶的平滑調整是用移近濾波器線圈，也就是增強線圈間耦合的辦法來實現的。

放大級通頻帶的步進調整是按圖 5-3 的電路用接入附加線圈  $L_3$  的部份匝數的辦法來實現的，線圈  $L_3$  是一個匝數不多的線圈，它繞在線圈  $L_1$  的旁邊，與線圈  $L_2$  串聯。

當轉換開放在位置 1 上時，線圈  $L_3$  與線圈  $L_2$  不串聯，通頻帶只由線圈  $L_1$  和  $L_2$  之間的耦合來決定。當轉換開放在位置 2 上時，線圈  $L_3$  與線圈  $L_2$  串聯，而通頻帶則由於濾波器回路間的耦合增強而加寬。

由於  $L_3 \ll L_2$ ，所以線圈  $L_3$  接入第二回路實際上不會引起失調。

當轉換開放在位置 3 上時，通頻帶會由於耦合的繼續增強而更加加寬。

可變通頻帶放大級的計算程序如下。

首先用公式 (5-10)、(5-11) 和 (5-12) 計算出  $\beta=1$  時窄通頻帶放大級，而后再計算出寬通頻帶放大級。

我們得到數值

$$\alpha = -\frac{(2\Delta f_n)_{\text{up}}}{d_n f_{np}}, \quad (5-13)$$

為了使中頻系統的諧振曲線在寬通頻帶時接近于單峯曲線，必須選擇放大級(在其中調整通頻帶)通頻帶的頻率失真系數為

$$(M_{\text{ymu}})_{\text{up}} = \frac{(M_{\text{mpu}})_{\text{up}}}{n+1}, \quad (5-14)$$

式中  $n$ ——中頻放大器的級數。

根據數值  $\alpha$  和  $M_{\text{ymu}}$ ，從圖 5-4 的曲線圖中便可以找到濾波器的諧振曲線和廣義耦合系數  $\beta > 1$ 。

放大級的增益系數等於：

$$K_0 = \frac{\beta}{1 + \beta^2} 10^{-3} S \frac{2\pi f_{np} L_m}{d_s}, \quad (5-15)$$

式中  $S$  ——毫安/伏;  $f_{np}$  ——兆赫;  $L$  ——微亨。

濾波器線圈間的耦合系数为

$$K = \beta d_s. \quad (5-16)$$

濾波器線圈之間的互感按公式 (5-12) 等于

$$M = K L.$$

当通頻帶平滑調整 (这种調整是用改变一个線圈对另外一个線圈的位置来实现的) 时, 我們求出寬通頻帶上的值  $\beta$ 、 $K_0$ 、 $K$  和  $M$ 。数值  $K$  将适用于移近的線圈, 而数值  $K_{np}$  适用于分开的線圈。

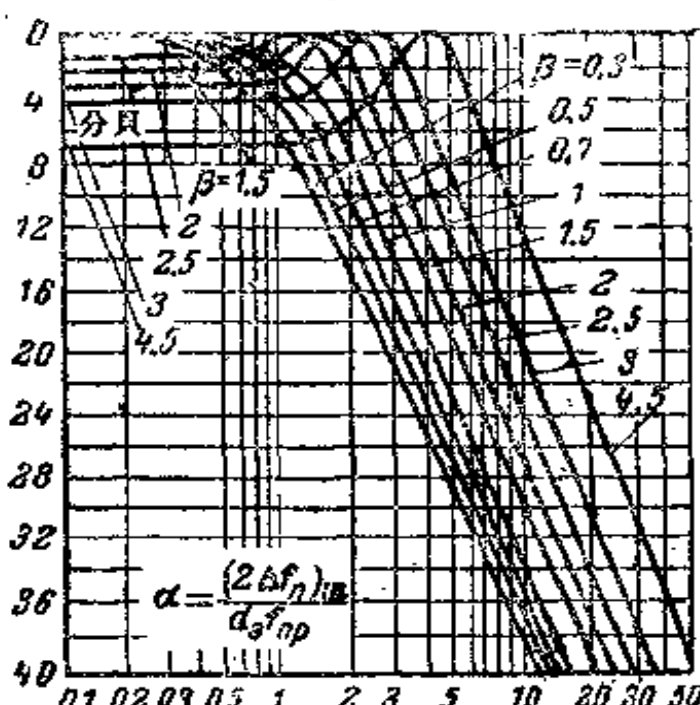


圖 5-4 双回路带通濾波器的广义譜振曲綫

在步进調整通頻帶时, 我們在寬通頻帶上求出的值还是  $\beta$ 、 $K_0$ 、 $K$  和  $M$ , 并且求得頻帶的几个数值上的  $\beta$ 、 $K$  和  $M$ 。在这种情况下广义耦合系数为兩個系数之和:

$$K_{06} = K_{np} + K = \\ = \beta_{06} d_s, \quad (5-17)$$

式中  $K_{np} = d_s$  ——窄通頻帶时所求得的耦合系数;

$$K = \frac{M_2}{\sqrt{L_1 L_2}} \text{——線圈 } L_1 \text{ 和 } L_2 \text{ 之間的耦合系数,}$$

$\beta_{06}$ ——接通线圈  $L_3$  时的广义耦合系数。它是在直通频带时从图 5-4 的曲线中求出来的。

根据公式 (5-17) 线圈  $L_1$  和  $L_3$  之间的耦合系数等于

$$K = d_9(\beta_{06} - \beta_{kp}), \quad (5-18)$$

线圈  $L_1$  和  $L_3$  之间的互感量等于：

$$M_2 = KV L_1 L_3. \quad (5-19)$$

### 5-9. 集中选择级的计算

集中选择滤波器通常用于变频级。中频系统对相位波道的选择性基本上是由这一滤波器来确定的。所以这一级就叫做集中选择级。

集中选择滤波器接到变频器的板极电路中，这就使得相位波道的干扰电台的信号在进入中频放大器第一电子管的栅极之前大大地减弱，并且消除了在中频放大器中由于交扰调制所引起的干扰。

集中选择级的电路如图 5-5 所示。在此电路中滤波器是由 4 节（第一和最后的半节和三整节）组成的。

计算顺序如下。把中频系统通频带的频率失真系数平均地分配到系统的各级上。根据公式(5-14)集中选择变频级的频率失真系数等于

$$(M_{nv})_{06} = \frac{(M_{mnv})_{06}}{n+1}. \quad (5-20)$$

我们假定对相位波道的选择性是由集中选择滤波器来确定的。

滤波器回路的品质因数等于

$$Q \geq 1.4 \cdot \frac{f_{np}}{\Delta f_n}, \quad (5-21)$$

式中  $\Delta f_n$ ——接收机通频带的一半。

从(5-21)条件中选择 $Q$ 值时, 必须考虑到线圈结构的可能性。

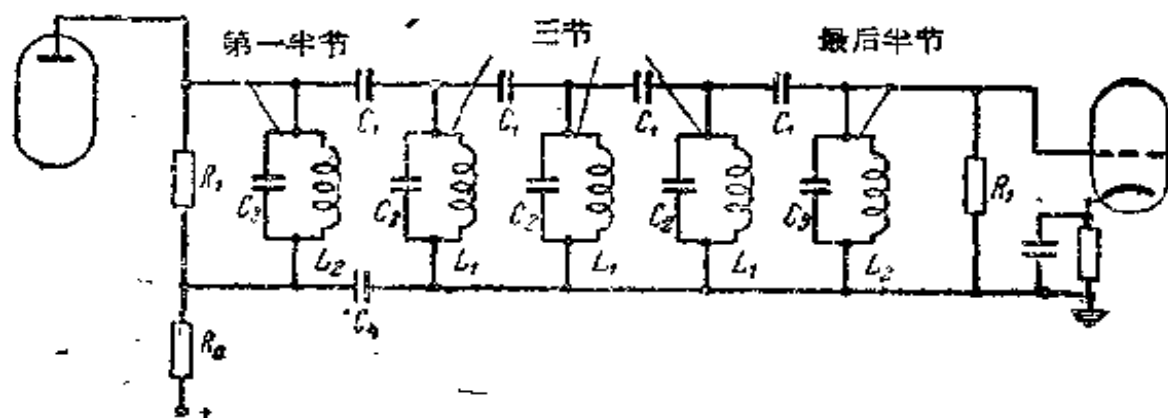


圖 5-5 集中選擇數的串路

广义衰减

$$\delta = \frac{f_{np}}{Q \Delta f_n}, \quad (5-22)$$

对相隣波道的相对失真等于

$$X_c = \frac{\Delta f_e}{\Delta f_n} , \quad (5-23)$$

式中  $\Delta f_c$ —相隣波道的失調。

根据数值  $\delta$ ,  $X_c$  和  $X_c=1$  (对应于一半通频带的相对失谐), 我们从图 5-6, a 的图表中得到一节滤波器的频率失真系数  $M_1$  (分贝) 和对相位波道的选择性  $S_1$  (分贝).

我們得到濾波器的節數。

$$n_{\beta\sigma} = \frac{(S_{000000})_{\beta\sigma}}{S_{1235}}. \quad (5-24)$$

### 濾波器的頻率失真系數等子

$$M_{\phi\partial\delta} = n_{3g} M_{1\partial\delta} \leq M_{g_4\partial\delta}. \quad (5-25)$$

如果頻率失真系数大于容許值，那就应当另外取一个品質因数并重新进行計算。

根据  $\delta$  和  $n_{\text{sp}}$  的值我們从圖 5-6, 6 的圖表中得到系数  $a$ 。通常取輸入和輸出的电阻值  $R_1=50-150$  千歐。

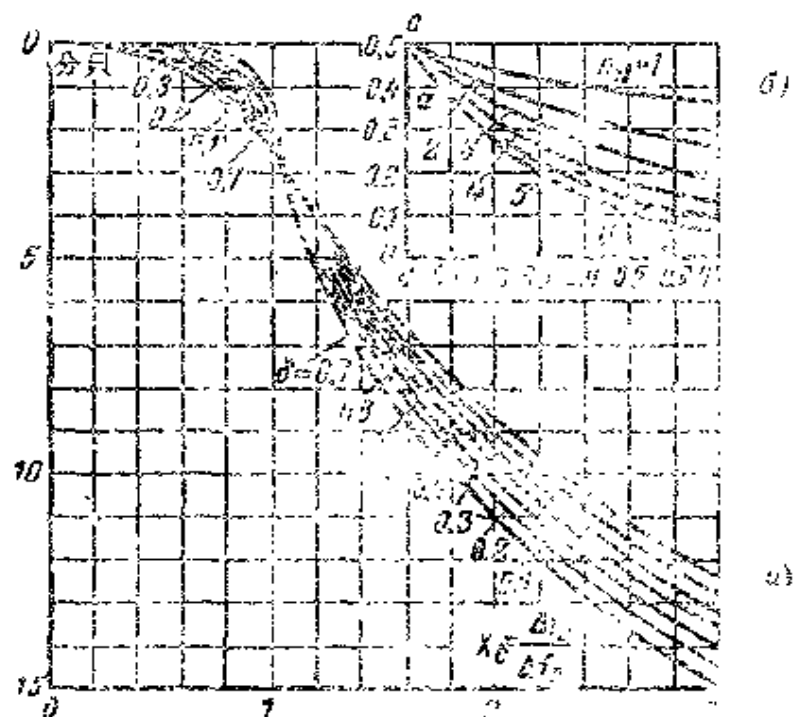


圖 5-6 a—單節濾波器的二義階級曲線；b—確定諧振器與輸  
系統的階級圖

变頻級的增益系数等于

$$K_{\text{v}, n} = S_{\text{v}, p} R_1 a, \quad (5-26)$$

式中  $S_{\text{v}, p}$ —变频跨导，毫安/伏；

$R_1$ —千歐。

外耦合电容器的电容量等于

$$C_1 = \frac{1.6 \times 10^6}{f_{\text{v}, p} R_1}, \quad (5-27)$$

式中  $C_1$ —微微法； $f_{\text{v}, p}$ —千赫； $R_1$ —千歐。

### 回路电容器的电容量

$$C_2 = \frac{1.6 \times 10^5}{\Delta f_n R_1} = 2 C_1 \quad (5-28)$$

$$C_3 = 0.5 C_2 \quad (5-29)$$

回路电感量等于

$$L_1 = \frac{1.6 \times 10^5 \Delta f_n R_1}{f_{c_p}^2}, \quad (5-30)$$

式中  $L_1$ ——微亨；  $\Delta f_n$ ——千赫；  $R_1$ ——千欧。

$$L_2 = 2 L_1 \quad (5-31)$$

取隔流电容器  $C_4$  的电容量为 0.01—0.1 微法。

滤波器的谐振曲线是根据与  $\delta$  相应的曲线计算出来的，方法是把从图 5—6(a) 的纵坐标上取下来的数值乘以  $n_{av}$ ，把从横坐标上取下来的数值乘以  $\Delta f_n$ 。

滤波器各节之间的耦合只应用耦合电容器  $C_1$  来实现。为了消除回路之间的寄生耦合，每个线圈都应放在隔离罩中，隔离罩应当与接收机的底架很好地连接起来。

滤波器中使用高品质因数的回路是合适的。回路的品质因数越高，所得到的矩形系数就可能越好。为了使回路得到高品质因数，应当使用铁矽铝合金或镍基铁做的罐形铁心和陶瓷电容器  $C_1$ 、 $C_2$  和  $C_3$ 。

## 第六章 变频器的计算

### 6-1. 概述

变频器把各种不同载频的已调制信号或键控信号变成固定中频的电压，而有滤波的频率和形状保持不变。

本机振荡器回路应当这样调谐，即在旋转调谐旋钮时使射频系统的频率和本机振荡器的频率之差对任何信号载频而言都要等于中频 $f_i - f_c = f_{np}$ 。用回路统调的办法便可以得到这样的频率差。

用变频管和混频管进行变频。变频管（复合管）起两个作用：即作本机振荡器用和作使本机振荡器振荡与信号振荡混频的混频器用（电子管 6A7、6A2П、6И1П 和 1A1П）。混频管只能使本机振荡器振荡和信号进行混频，因而需要单独的本机振荡器。任何三极管或五极管都可作混频管用。

混频级又分成两种类型：一种是单栅式，即信号和本机振荡器的电压都加到电子管的一个栅极上；另一种是双栅式，即信号和本机振荡器的电压分别加到电子管的不同栅极上。

## 6-2. 电路的选择

变频器电路的选择与接收机的类型有关。对本机振荡器频率的稳定度要求不很高的广播接收机中，可用复合管做变频器。使用复合管可以简化变频器的结构和使接收机减少一只电子管。

在对本机振荡器频率的稳定度要求很高的干线通信接收机中，需要使用混频管变频器和单独的本机振荡器。

当干线接收机对本机振荡器频率的稳定度要求不高时，也可以用复合管做混频器。

## 6-3. 原始数据

计算变频器的原始数据是：

1. 中频 $f_{np}$  或两个中频 $f_{np_1}$  和 $f_{np_2}$ （兆赫或千赫）；
2. 带通滤波器的等效衰减因数 $d_s$  或集中选择滤波器的数

据：

3. 濾波器回路的电感  $L$ , 微亨;
4. 用变頻管的变頻級电路或用混頻管和單獨本机振蕩器的变頻級电路;
5. 变頻管的类型及其工作状态或混頻管和振蕩管的类型及其工作状态;
6. 内阻  $R_i$  或  $R_{inp}$  (千欧) 和变頻跨导  $S_{np}$  (毫安/伏);
7. 电源电压, 伏。

#### 6-4. 复合管变頻器的計算

用复合管 6A7 和 JA10 的变頻器电路如圖 6-1 所示。本机振蕩器是按电感回授的三点式电路連接的。

計算順序如下。

从公式 (5-9) 中得到保证回路衰減因数不大于 25% 的变換系数:

$$m_1 \leq \frac{1}{2} \sqrt{\frac{R_{i np}}{R_k}},$$

式中  $R_{i np} = (1.5-2) R_i$ ——变頻管或混頻管的内阻。

如果  $m_1 \gg 1$ , 那么就是說, 濾波器的第一回路就可以直接接到电子管的板路中。我們選擇类似于中頻放大級的帶通濾波器。

在  $\beta=1$  时变頻器的增益系数等于

$$K_{ave} = 10^{-3} S_{np} \frac{\pi f_{np} L m_1}{d_s}, \quad (6-1)$$

式中  $S_{np}$ ——变頻跨导, 毫安/伏;

$f_{np}$ ——兆赫;

$L$ ——微亨。

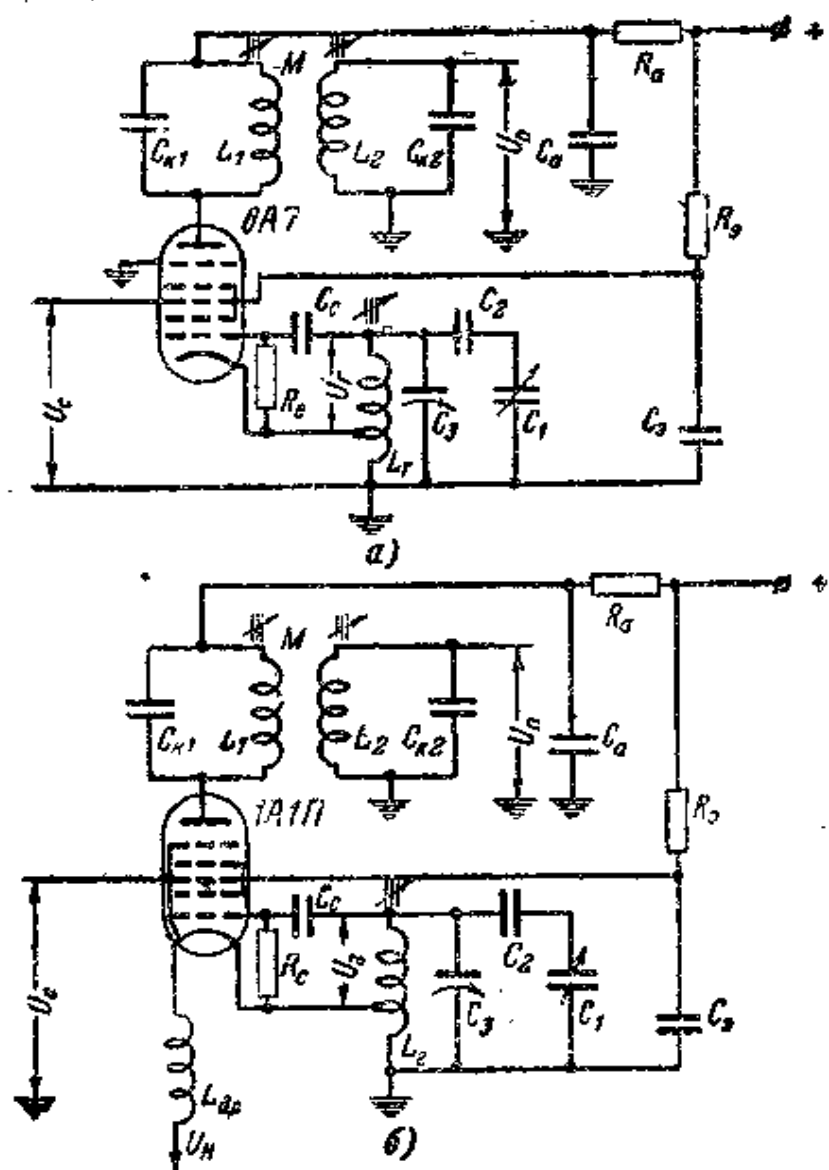


圖 6-1 用复合管的变频器电路。  
a—用 6A7 电子管； b—用 1A11 电子管。

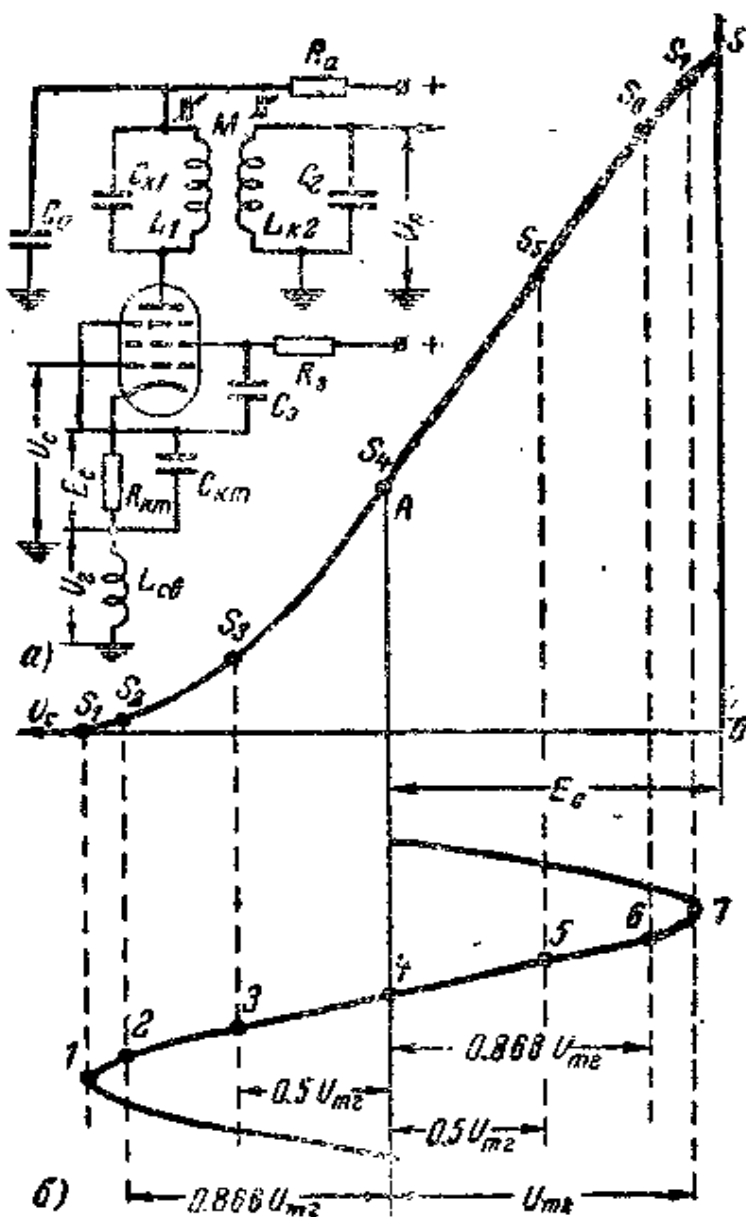


圖 6.2  
—五極管混頻器的電路；6—表示求  $S_1-S_7$  數值的方法的曲線圖—用以按圖解法確定混頻器的參數。

如果变频器中使用集中选择滤波器，那么增益系数就用公式(5-26)来求。

### 6-5. 具有单独本机振荡器的变频器的计算

高频五极管的罩栅变频器电路如图 6-2, a 所示。为了减弱混频器栅极回路和本机振荡回路之间的耦合，信号电压要加到电子管的栅极上。而本机振荡器的电压通过耦合线圈  $L_{ce}$  加到电子管的阴极电路中。

计算顺序如下。

变频跨导可以按照表示电子管的互导与第一栅极电压之关系的特性曲线  $S(U_c)$  (图 6-2, b) 用图解法计算出来。

在这个特性曲线上我们根据偏压  $E_c$  来选择工作点 A，要选得使本机振荡器电压的振幅  $U_m < E_c$  佔有整个的特性曲线，而不进入正的区域。

我们在特性曲线  $S(U_c)$  上标出七个点，如图 6-2, b 所示，而求出七个跨导值。

变频跨导等于：

$$S_{rp} = \frac{1}{12} [(S_7 - S_1) + (S_5 - S_3) + \sqrt{3} (S_6 - S_2)] \quad (6-1)$$

为了获得最大变频跨导值，必须使  $S_1, S_2$  和  $S_3$  等于零，而  $S_5, S_6$  和  $S_7$  最大。如果在板流的截止点上工作，便可以达到这个要求。但是由于这种状态下工作会出现高次谐波，而高次谐波会使干扰噪声增多，所以最好不采用这种工作状态。

如用图解法计算变频跨导，一下就可以求出变频跨导、栅偏压和本机振荡器电压的振幅。

混频管的内阻等于：

用五极管时

$$R_{inp} = (1.5 - 2) R_i;$$

用三極管時

$$R_{inp} = (3 - 4) R_{i_0} \quad (6-2)$$

從公式(5-9)中我們得到保證回路衰減不大於25%的變換系數：

$$m_1 \leq \frac{1}{2} \sqrt{\frac{R_{inp}}{R_K}}.$$

如果  $m_1 \geq 1$ ，那就是說，濾波器的第一回路可以直接接入電子管的板路中。

我們使用類似於中頻放大級的普通濾波器。

變頻器的增益系數在  $\beta = 1$  時等於

$$K_0 = 10^{-3} S_{np} \frac{\pi f_{np} L}{d_3} m_1,$$

式中：  $S_{np}$  — 壓安/伏；  $f_{np}$  — 兆赫；  $L$  — 微亨。

如果在變頻器中使用集中選擇濾波器，那麼增益系數可用公式(5-26)來求。

在柵路中帶有諧振線的三極管混頻器可用類似的方法計算。本機振蕩器的電壓是用一根電纜（它的一端與本機振蕩器相連，另一端與自耦變壓器相連）加到柵極電路中的（圖6-3）。

### 6-6. 本機振蕩器電路的選擇

接收機本機振蕩器是自激振蕩器，對它們有下列的要求：

- 1) 在波段的各頻率上振蕩穩定；
- 2) 有足以使變頻管和混頻管正常工作的振蕩電壓和分波段里電壓的變化最小；
- 3) 振蕩的頻率穩定和諧波最少。

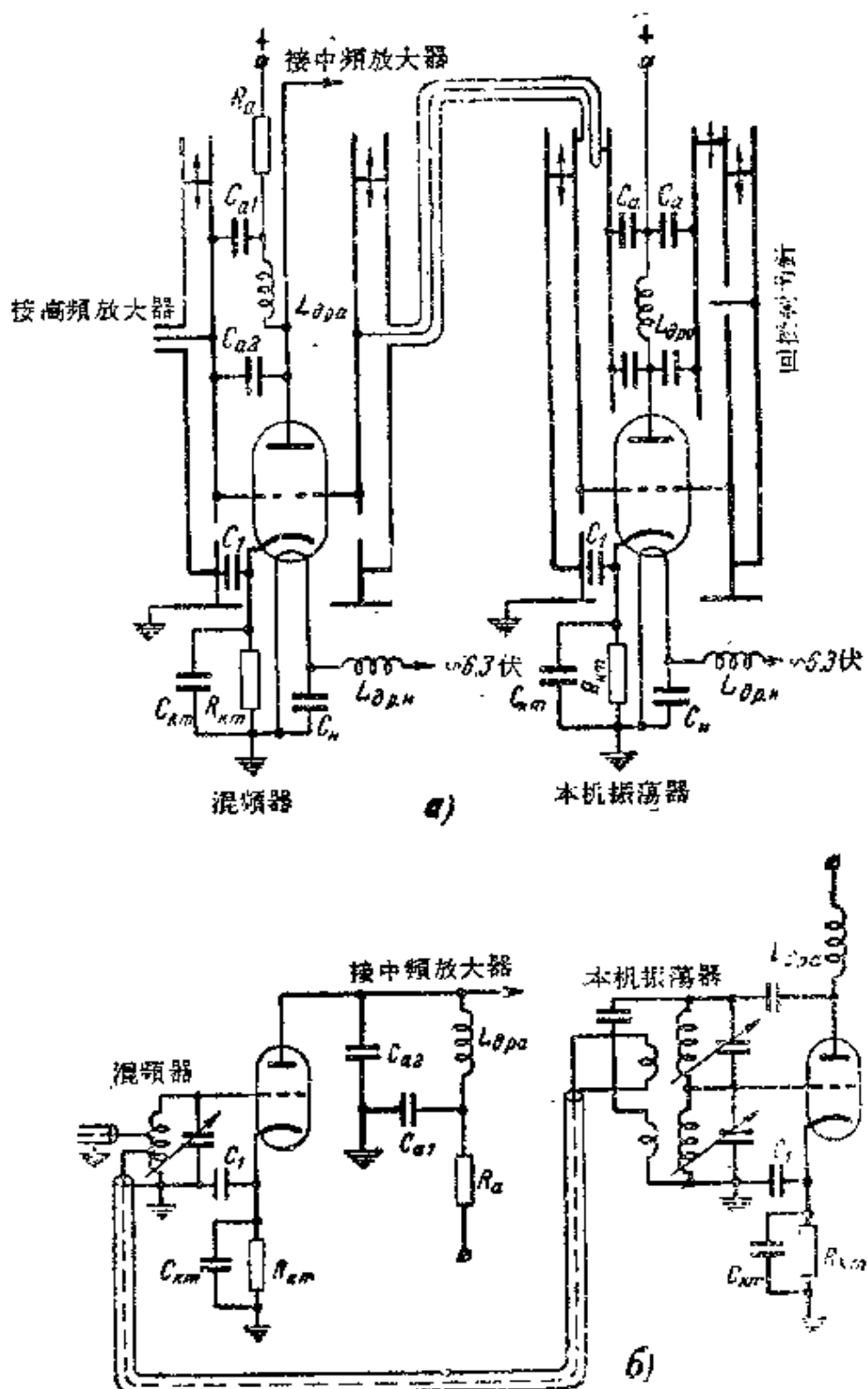


圖 6-3 ⑤—帶同抽點振盪的盤封三極管的混頻器和本  
機振盪器電路；⑥—等效電路

用自耦变压器回授的本机振荡器的三点电路如圖 6-1 a 和 6 所示。用直热式电子管时（圖 6-1 b），在灯絲電路里必須有一个扼流圈，以便使部分本机振荡器的線圈在高頻時不致短路。本机振荡器的三点电路具有良好的频率稳定性，并且要用一个帶抽头的線圈。

用复合管时，基本上使用自耦变压器回授的本机振荡器三点式电路；三点电路在不大于 50—70 兆赫的频率时工作得很好。

圖 6-3 所示为三極管混頻器电路和帶諧振線的三極管本机振荡器电路。帶諧振線的三極管本机振荡器电路用于 350 到 1000 兆赫的频率上。使用諧振線就保証了频率的高度稳定，溫度的变化对频率漂移不会有严重的影响。

振荡频率由板極線的長度來决定。陰極線要調到低于振荡的频率上，它的調節不是临界的。

本机振荡器的回授是用調節針来实现的。这个針与陰極線外管焊接起来，并且它的一部份接入板極線的腔中。这个針在回路間能产生电感回授，电感回授是用調節它升入板極線空腔的深度來調整的。如果把調節針与管子絕緣起来，那么在線路間便能产生电容回授。在这种情况下調整回授的大小是把調節針沿自己的軸移动来实现的。

由于保証帶諧振線的本机振荡器的自偏压有困难，便使用了陰極偏压。

用电感回授的本机振荡电路如圖 6-4 所示。这个电路中要求有产生回授用的第二線圈。三点电路的频率稳定性比电感回授电路的要高一些。电感回授电路在频率不高于 15—25 兆赫的频率时采用。

频率稳定性高的电容回授的本机振荡器电路如圖 6-5 所示。

回路的左支路是由电容  $C_1$  和电感  $L_2$  串联组成的（电容  $C_3$  由于它的数值很小故忽略不计），在工作频率上我們得到一个随频率而变化的感抗，它比用电容回授的三点式本机振荡器电路的回路中的这一支路的感抗要变化得剧烈一些。因此这种本机振荡器电路具有固定频率的能力，能保证频率具有高度的稳定性。

如果在电子管栅极和阴极之间并联一个电容器  $C_4$ ，电容器  $C_4$  与电容器  $C_1$  和  $C_3$  串联，这种情况也会影响到频率稳定度的提高。采用这种接法，可以减少电子管的动态输入电容和栅阴极之间的电导对回路频率和品质因数的影响。

当接收机使用固定调谐时，本机振荡器接电容回授的三点

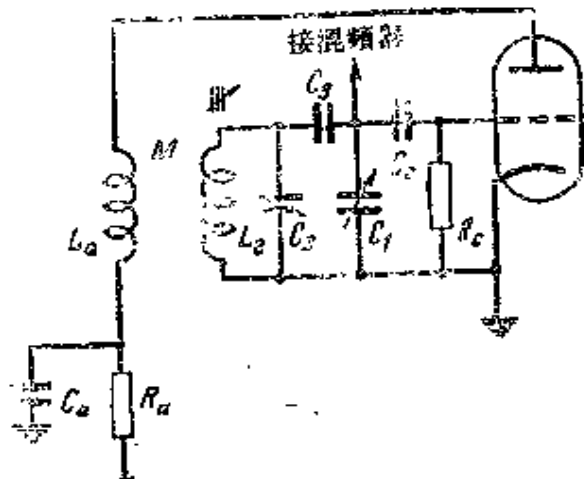


图 6-4 用电感回授的本机振荡器电路

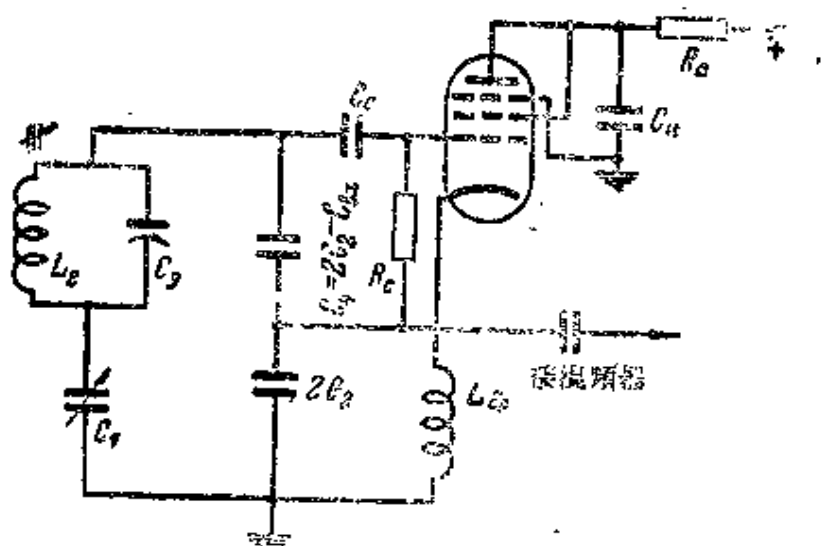


图 6-5 稳定度高的电容回授的本机振荡器电路

电路连接。这种电路同如图 6-5 所示的电路的区别就是它没有电容器  $C_1$ 。本机振荡器回路的起始调谐是用线圈的铁心来实现的。只须转换每个线圈的一端便可转换固定调谐。

近来负电阻本机振荡器电路得到了广泛的使用。在这种电路中把产生负电阻的电子管电路与回路并联以激励振荡。负电阻可以在下降伏安特性曲线的电子管电路中得到。负电阻的数值等于  $R = -\frac{du}{di}$ ，并由下降伏安特性曲线的倾斜角来决定。

把负电阻与回路并联起来，我们得到总电导

$$g_K - g_{ompu} = g_o \quad (6-3)$$

从这个公式可以看出，当  $|g_{ompu}| \geq g_K$  时，总电导等于零或为负值。由于负电阻把补偿回路耗损的电能送入回路中来，因而回路中便产生振荡。

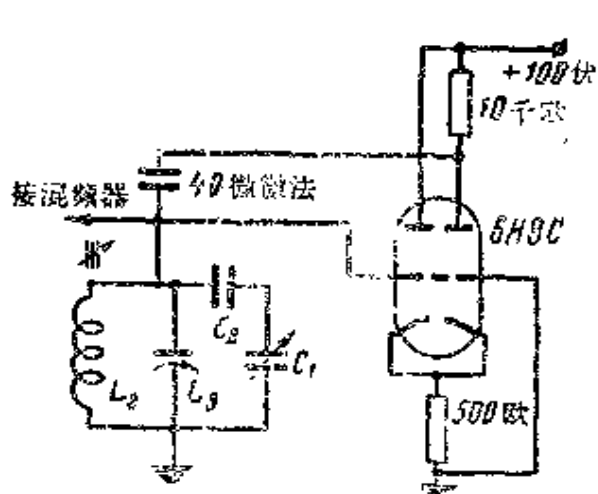


图 6-6 用双三极管产生负电阻的本机振荡器电路

正向授本机振荡器  
也可以看作是一个负电  
阻振荡器。

用电子管 6H8C 装  
制成的负电阻本机振荡  
器电路如图 6-6 和 6-7  
所示。用高 频五极管  
6K7 或 6K3 装制成的负  
跨导本机振荡器电路如  
图 6-8 所示。这电路也具  
有负电阻，负电阻是在

电子管的特殊工作状态下取得的。回路直接接入抑制栅极的电  
路中，而且经过一个电容器接到帘栅电路中。这些栅极上的交  
变电压在相位上是比较接近的。

帘栅电压瞬时值的增加同时也会引起抑制栅电压的增加，

这就导致电子管板流的增大和帘栅流的减小。因而帘栅极和阴极之间是负的。如果回路并联在电子管的帘栅极与阴极之间，就会引起变频级的自激。

负跨导电路可以用改变电子管第一栅电压的办法使振荡频率在

±2—5%的范围内变化。

### 负跨导本机振荡器

振荡器的这种特性可用来进行自动频率微调，其方法是把来自鉴频器的电压加到电子管的第一栅极上。

一切负电阻本机振荡器电路

都能产生稳定性高的振荡频率，振幅稳定的电压和少量的谐波。

在所有的本机振荡器电路中都应当使用品质因数尽可能高的回路，以使频率具有很高的稳定性。为了减小本机振荡器回路中的耗损必须使用陶瓷电容器，带陶瓷定片支柱的可变同轴电容器和陶瓷管座。

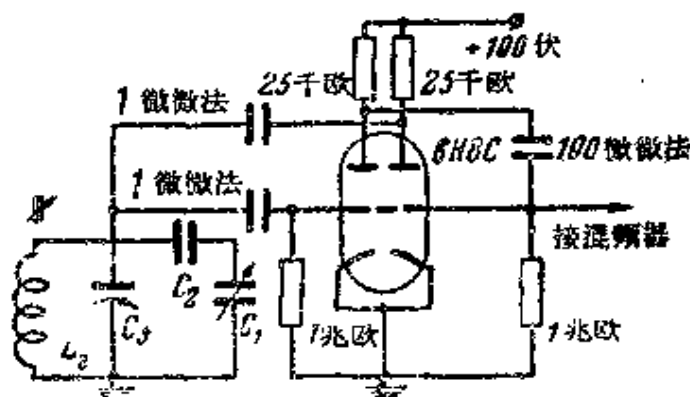


图 6-7 用双三极管产生负电阻的本机振荡器电路的变形。

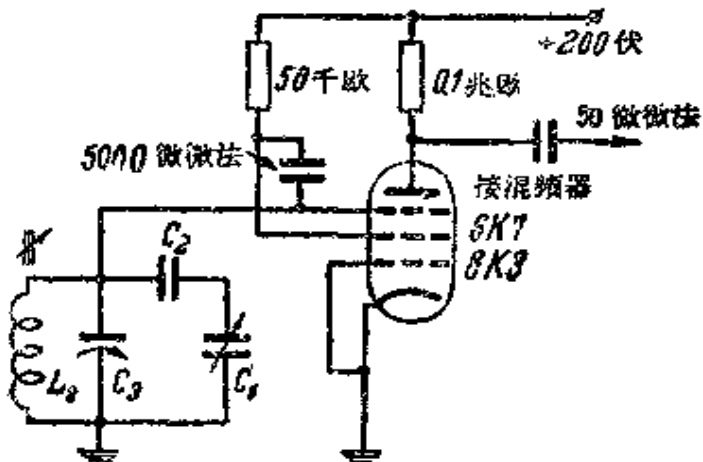


图 6-8 高频五极管负跨导本机振荡器的电路

負電阻本機振蕩器電路可以在高頻上工作，但只要用一個無抽頭的線圈，從而，簡化了線圈的結構和分波段的轉換裝置，因為回授電路不需要轉換。

本機振蕩器的自振狀態可以用無線電發信設備教科書中所講明的自激振蕩器的計算方法來計算。

本機振蕩器中所用的小功率電子管的特性曲線是不夠理想的，所以自振狀態的計算還須用試驗的方法來校正。

本機振蕩器電子管柵路的時間常數  $\tau_c = C_c R_c$  應當小於本機振蕩器回路的時間常數

$$\begin{aligned} \tau_c &= \frac{2L_i}{r} = \frac{2}{\omega_{i,\max} d} = \frac{1}{\pi f_{i,\max} d}; \\ C_c R_c &< \frac{1}{\pi f_{i,\max} d}, \end{aligned} \quad (6-4)$$

式中  $f_{i,\max}$ ——本機振蕩器的最大頻率。

電阻  $R_c$  使本機振蕩器回路旁路，所以希望這個電阻的數值尽可能的大。

電容器  $C_c$  的電容量為電子管輸入電容  $C_{c,\kappa}$  的 5—10 倍。

於是根據公式(6-4)得到：

$$R_c < \frac{10^3}{(5-10)C_{c,\kappa}\pi f_{i,\max} d}, \quad (6-5)$$

式中： $R_c$ ——千歐； $C_{c,\kappa}$ ——微微法； $f_{i,\max}$ ——兆赫。

根據回路的統調條件來計算本機振蕩器的回路元件。

## 6-7. 回路統調的計算

在現代的接收機中用附加電容器來統調回路。用這種統調回路的方法時，可以使用這樣的可變同軸電容器，它在輸入裝置，高頻放大器和本機振蕩器中的各連的電容量是一樣的。在

本机振荡器回路中接入附加电容器，以便获得一个等于本机振荡器的频率和输入装置及高频放大器的谐振频率之差的固定中频。

适当选择本机振荡器回路的电感和附加电容器的电容量，只能够在每一分波段的三个频率上得到准确的回路统调。在分波段的其他频率上回路的统调就被破坏了，此时本机振荡器的频率和射频系统的谐振频率之差也不等于中频了。

接收机是根据检波器输入端的最大信号电压进行调谐的。

射频系统比中频系统的谐振曲线更宽。所以检波器输入端的最大电压将与中频系统的准确调谐相对应。在这种情况下射

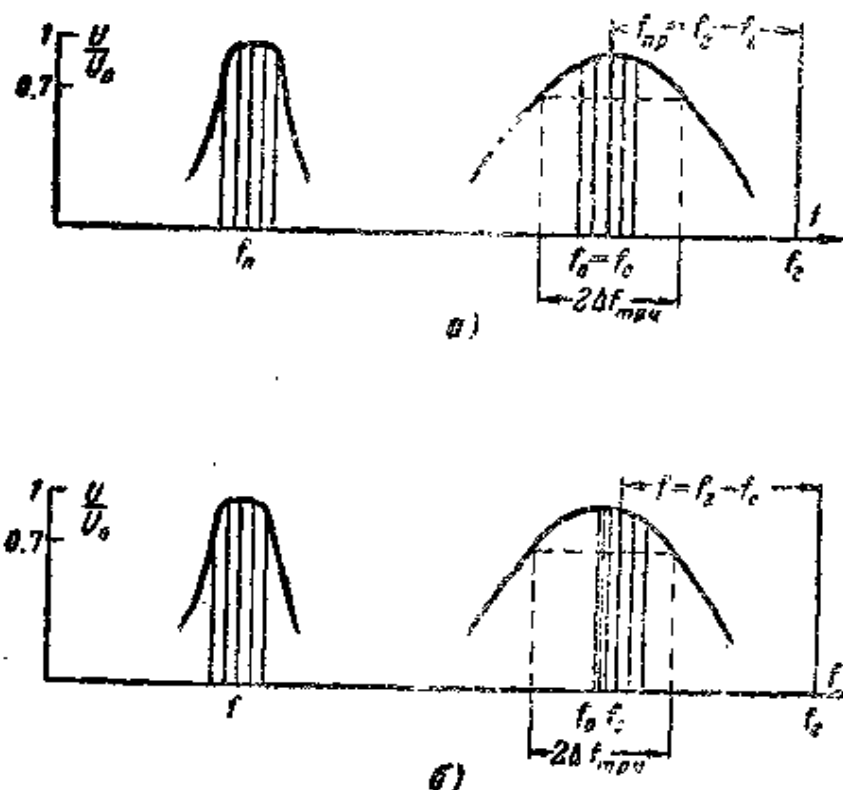


圖 6-9 射頻系統和中頻系統的調諧圖  
a——對統調點的調諧圖；b——對分波段任意點的調諧圖

頻系統在与三个統調頻率不相等的頻率上將会产生某些失諧。

因而回路統調的最大誤差值由射頻系統的通頻帶來決定。

射頻系統和中頻系統对統調頻率和分波段其他頻率的調諧圖如圖 6-9 所示。

統調的允許誤差如下：

$$\Delta f = (f_c + f_{np}) - f_i \leq \frac{1}{4} 2\Delta f_{mpu} . \quad (6-6)$$

輸入裝置、高頻放大器和本机振蕩器等回路的电路如圖 6-10, a 所示。本机振蕩器回路的微調電容器通常和回路的電感并联。

計算的原始数据是：

- 1) 分波段的邊端頻率  $f_{n\partial,\min}$ —— $f_{n\partial,\max}$ , 兆赫;
- 2) 中頻  $f_{np}$ , 兆赫;
- 3) 射頻系統回路的電感  $L$ , 微亨。

計算順序如下①。

求出准确統調的頻率：

$$\left. \begin{aligned} f_1 &= \frac{f_{n\partial,\max} + f_{n\partial,\min}}{2}, \\ f_2 &= f_1 - \frac{\sqrt{3}}{4} (f_{n\partial,\max} - f_{n\partial,\min}), \\ f_3 &= f_1 + \frac{\sqrt{3}}{4} (f_{n\partial,\max} - f_{n\partial,\min}). \end{aligned} \right\} \quad (6-7)$$

求出准确統調頻率的輔助值：

① 在本节下面所举的全部公式中  $f$  都以兆赫为單位,  $L$  以微亨为單位,  $c$  以微微法拉為單位。

$$\left. \begin{aligned} a &= f_1 + f_2 + f_3, \\ b^2 &= f_1 f_2 + f_2 f_3 + f_1 f_3, \\ c^3 &= f_1 f_2 f_3, \\ d &= \rho^{-1} \cdot 2 f_{np}, \\ l^2 &= \frac{b^2 d - c^3}{2 f_{np}}, \\ m^2 &= ad + f_{np}^2 - b^2 + l^2, \\ n^2 &= \frac{f_{np}^2 l^2 + c^3 d}{m^2}. \end{aligned} \right\} \quad (6-8)$$

求出本机振荡器回路的电容量  $C_2$  和  $C_3$  以及电感量  $L_i$ 。

$$C_2 = \frac{25330}{L n^2}, \quad (6-9)$$

$$C_3 = \frac{25330}{L(l^2 - n^2)} - (C_0 + C_N), \quad (6-10)$$

$$L_i = L \frac{l^2}{m^2} \frac{C_2}{C_2 + (C_3 + C_0 + C_N)}. \quad (6-11)$$

电容器  $C_3$  是半可变电容器，以便能补偿所取佈綫电容和綫圈的固有电容的誤差，以及补偿电容器  $C_2$  的电容量的參差。电容器  $C_3$  的电容量的平均值应当等于从公式 (6-10) 中所求出的数值。

如果給出分波段的几个頻率值，便可按下式求出統調的曲綫：

$$\Delta f = f_i - (f_{n\bar{o}} + f_{np}) = m \sqrt{\frac{f_{n\bar{o}}^2 + n^2}{f_{n\bar{o}}^2 + l^2}} - (f_{n\bar{o}} + f_{np}). \quad (6-12)$$

三点統調曲綫如圖6-10,6所示。統調的最大絕對誤差  $|\Delta_1 f|$ ， $|\Delta_2 f|$ ， $|\Delta'_1 f|$  和  $|\Delta'_2 f|$  是可能存在的，并且彼此不相等。

如果用准确統調頻率  $f_1$ ， $f_2$  和  $f_3$  来代替  $f_{n\bar{o}}$ ，那么公式

(6-12) 可以做檢查用；在這種情況下  $\Delta f = 0$ 。

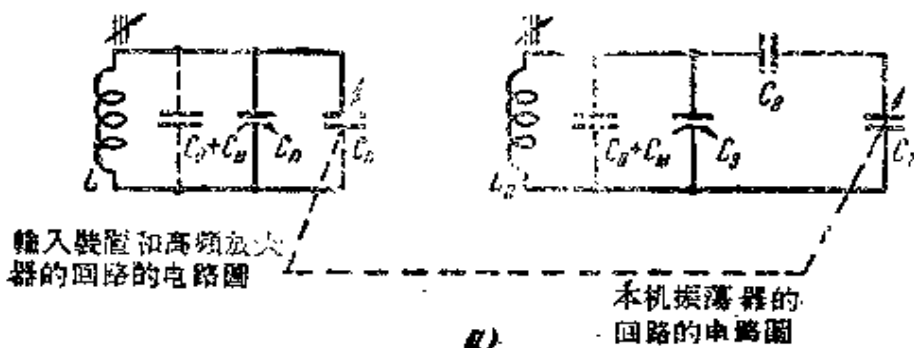


圖 6-10 a——輸入裝置，高頻放大器和本機振盪器的電路；  
b——三點統調曲線。

在計算統調時應當注意，必須計算到有效數字不得小於 5 位，否則，便得不到所要求的統調。

統調的允許誤差可用公式(6-6)來求。

電平為 0.7 的射頻系統的通頻帶用下列公式來求：

對單回路輸入裝置的射頻系統來說

$$2\Delta f_{mpn} = d_n f_{no, n, n} V \sqrt{V_2 - 1} \quad (6-13)$$

式中  $n$ ——高頻放大器的級數。

对双回路输入装置的射頻系統來說，在第一次近似計算中，可以認為通頻帶由双回路輸入裝置來確定：

$$2\Delta f_{mpq} \approx 1.41 d_{\theta} f_{n\theta, min} \quad (6-14)$$

在  $f_{np} \ll f_{n\theta}$  的情況下，可以去掉本机振蕩器回路中的電容器  $C_2$ ，在分段波的兩點上進行統調。

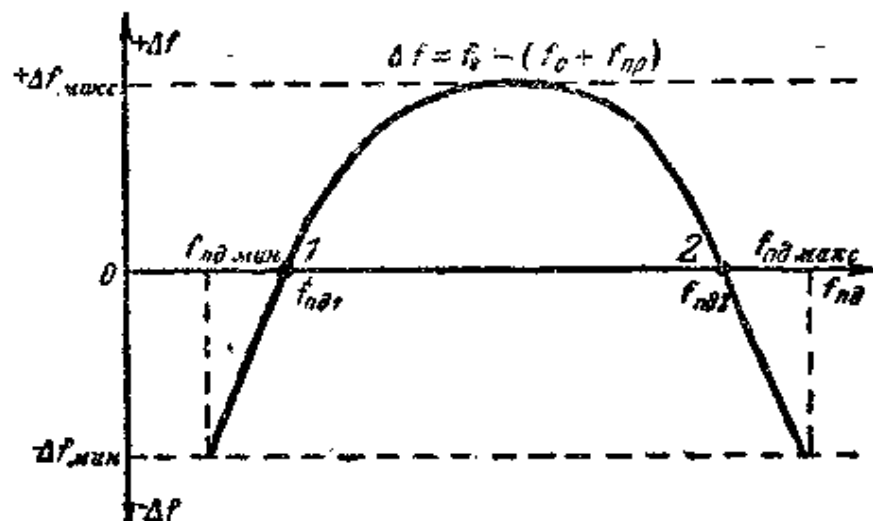


圖 6-11 兩點統調曲線

計算順序如下。

求出準確統調頻率：

$$\left. \begin{aligned} f_1 &= f_{n\theta, min} + \frac{f_{n\theta, max} - f_{n\theta, min}}{4}, \\ f_2 &= f_{n\theta, max} - \frac{f_{n\theta, max} - f_{n\theta, min}}{4}. \end{aligned} \right\} \quad (6-15)$$

求出輔助系數。

$$\alpha = \left( \frac{f_1 + f_{np}}{f_2 + f_{np}} \right)^2. \quad (6-16)$$

求出微調電容器的平均電容量和本機振蕩器回路的電感量。

$$C_s = \frac{25330}{L(1-\alpha)} \left( \frac{\alpha}{f_1^2} - \frac{1}{f_2^2} \right) - (C_o + C_n), \quad (6-17)$$

$$L_t = \frac{25330}{(f_1 + f_{np})^2 \left( C_s + C_o + C_n + \frac{25330}{f_1^2 L} \right)}. \quad (6-18)$$

如果给出分波段的几个频率值，便可按下式计算出统调曲线。

$$\Delta f = \frac{159}{\sqrt{L_t \left( C_s + C_o + C_n + \frac{25330}{f_{np}^2 L} \right)}} - (f_{no} + f_{np}). \quad (6-19)$$

两点统调曲线如图 6-11 所示。统调的允许误差可由公式 (6-6) 来确定。

### 6-8. 扩展调谐的计算

在广播接收机中为了便于在短波波段上进行调谐，使用了扩展调谐系统或半扩展的调谐系统，这种调谐是用各分波段共用的可变同轴电容器来进行的。

对短波的无线电台来说，其频带宽度为 200—300 千赫。

表 6-1 中列举了无线电台的波段。

这种调谐把波段的一个短波部分“扩展”到整个的度盘上。半扩展调谐是把二至三个短波段“扩展”到整个的度盘上。在半扩展调谐时，短波分波段的数目减少，但是调谐密度增大（度盘的一度为 1 千赫）。

扩展调谐和半扩展调谐是用下列方法实现的：用给回路串联和并联电容器的方法来减小射频系统各回路和本机振荡器回路的频率之重叠系数。

扩展调谐的射频系统回路和本机振荡器回路的电路如图

6-12 所示。射频系統回路和本机振盪器回路的电路是一样的。为了获得統調，必須使射頻系統的回路和本机振盪器回路所复蓋的頻帶相同，而其頻率偏移為一个中頻，即  $f_i = f_c + f_{np}$ 。

表 6-1

波段	波段的边缘频率，兆赫	波段的频带宽度 $\Delta f_{yoke}$ ，千赫	
長 波	0.15—0.415	265	
中 波	0.52—1.6	1080	
短 波	49米 41米 31米 25米 19米 16米 13米 11米	6.0—6.2 7.0—7.3 9.5—9.7 11.7—11.9 15.1—15.4 17.7—18.0 21.5—21.7 25.5—26.6	200 300 200 200 300 300 200 1000
超 短 波	66—72	6000	

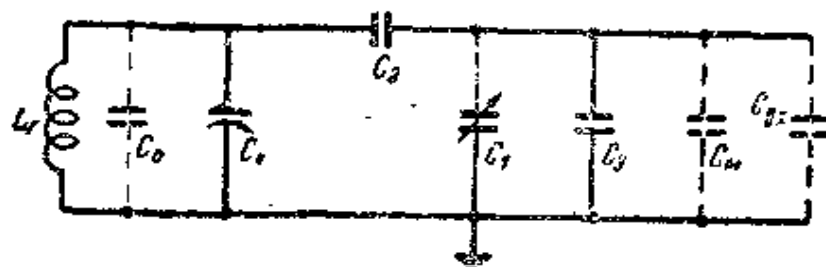


圖 6-12 扩展調諧的射頻系統回路和本机振盪器回路的电路

因此，在射頻系統回路中使用了和本机振盪器回路中相同的电容量，但射頻系統回路的电感量应当大于本机振盪器回路的电感量。在这种情况下就可以在一点上得到統調。由于波段系数很小以及分波段的頻率为中頻的若干倍，所以統調誤差就很小了。

計算的原始数据是：

1. 扩展分波段的端频率

$$f_{n\partial,\min} = f_{n\partial,\max}, \text{ 兆赫,}$$

2. 可变电容器的电容量

$$C_{n,\max}, \text{ 微微法。}$$

計算順序如下。

我們給定微調电容器的平均电容量  $C_4 = 7 - 15$  微微法，并求出电容量

$$C_{\theta 4} = C_4 + C_0, \quad (6-20)$$

式中  $C_0$  ——本机振蕩器线圈的固有电容。

我們給定并联电容器的电容量  $C_3 = \left(\frac{1}{4} - \frac{1}{5}\right)C_{n,\max}$  并求出电容量

$$C_{\theta 3} = C_3 + C_{\theta 2} + C_{\theta 1}. \quad (6-21)$$

我們給定回路的最小电容量  $C_{\min} = 60 - 120$  微微法。我們便可求出本机振蕩器的扩展分波段系数

$$K_{n\partial,i} = \frac{f_{n\partial,\max} + f_{np}}{f_{n\partial,\min} + f_{np}}. \quad (6-22)$$

串联电容器的电容量等于

$$C_2 = \frac{C_{\max} + C_{\theta 3}}{K_{n\partial,i}^2 C_{\min} + C_{\theta 1}} - 1. \quad (6-23)$$

本机振蕩器回路的电感

$$L_i = \frac{25330}{C_{\min} (f_{n\partial,\max} + f_{np})^2}. \quad (6-24)$$

射频系統回路的电感

$$L_r = \frac{25330}{C_{\min} f_{n\partial,\max}^2}, \quad (6-25)$$

如果几个扩展分波段具有相同的分波段系数，那么 $C_2$ 、 $C_3$ 和 $C_4$ 的电容量对所有的扩展分波段来说都是一样的。而变换的只是本机振荡器的线圈。

如果几个扩展分波段具有不同的分波段系数，那么对每个分波段来说，都必须计算本机振荡器回路的电容，以及本机振荡器回路的和射频系统回路的电感。

扩展调谐要求本机振荡器频率具有很高的稳定性，因为当用接收机的度盘调谐电台时，本机振荡器频率的很小漂移都会引起显著的调谐误差。因此为了提高频率的稳定性，应当使用频率稳定性高的本机振荡器，以及在回路中使用陶瓷电容器。

### 6-9. 在分波段任何点上的扩展调谐的计算

在短波上射频系统的通频带是相当宽的。只要稍微改变本机振荡器的频率，就可以在频带宽为200—300千赫的范围内调谐接收机，而不用重调射频系统的回路。

本机振荡器频率变化不大时，可用改变本机振荡器回路电感的办法来完成，而改变本机振荡器回路的电感是用移动附加线圈（它与本机振荡器的线圈并联）里的铁心来实现的。

在接收机的度盘上，除了标上接收机的分波段以外，还有一个用调谐指示器的刻度表示的附加度盘，而调谐指示器与移动线圈（它与本机振荡器的线圈并联）铁心的旋钮是连在一起的。

当接收机在分波段的任何部分上调谐时，可以用移动附加线圈铁心的办法，把这一部分“扩展”到整个补充的度盘上。这种扩展调谐的方法能使一个短波波段在任意点上进行扩展调谐。

在分波段任意点上进行扩展调谐的本机振荡器电路如图

6-13 所示。

計算的原始数据是：

1. 分波段的邊端頻率  $f_{\partial, \min}$ —— $f_{\partial, \max}$ ，兆赫；
2. 頻帶寬度  $\Delta f_{\partial, \Delta n}$ ，千赫。

計算順序如下。

我們首先計算短波波段的回路統調（§ 6-7），根據計算結果求出本機振盪器線圈的電感  $L_1$ 。然後我們給定附加線圈的最小電感

$$L_{\partial, \min} = (4-6) L_1 \quad (6-26)$$

我們求出比值

$$\alpha = \frac{\Delta f_{\partial, \Delta n}}{f_{\partial, \min}} \quad (6-27)$$

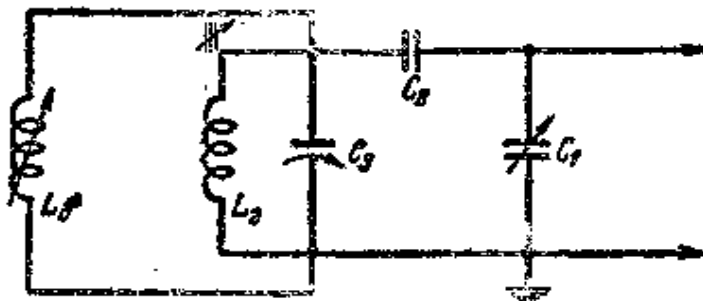


圖 6-13 在分波段任意點上擴展調諧的本機振盪器

我們求出本機振盪器回路的最小等效電感

$$L_{\partial, \min} = \frac{L_{\partial, \min} L_t}{L_{\partial, \min} + L_t} \quad (6-28)$$

附加電感的最大電感量等子

$$L_{\partial, \max} = \frac{L_{\partial, \min} (1+2\alpha) L_1}{L_1 - L_{\partial, \min} (1+2\alpha)} \quad (6-29)$$

當進行附加線圈結構的計算時，必須這樣選擇線圈架的直徑和鐵心的類型，使當鐵心抽出時，線圈的電感等子  $L_{\partial, \min}$ ；當鐵心放進時，線圈的電感等子  $L_{\partial, \max}$ 。

在分波段內本机振盪器回路电感的相对变化仍是不改变的，所以扩展調諧段將隨着分波段頻率的提高成正比地加寬。

如果在分波段的最高頻率上进行計算，即取比值为  $\frac{\Delta f_{y.p.u.}}{f_{n\sigma,max}}$ ，那么扩展調諧段將隨着分波段頻率的减小而变窄，而在分波段起始处將变得比要求的更小。

如果將小电容可变电容器与本机振盪器的可变电容器并联，那么在分波段的任意一点上都可以进行扩展。在这种情况下扩展調諧段將隨頻率的提高而迅速地加寬。

这就是这种方法的缺点，所以在分波段的任意点上进行扩展調諧都不采用改变本机振盪器回路电容的方法。

扩展調諧段宽度的变化在分波段上等于

$$\Delta f_{y.p.u.} = \frac{L_{\sigma,max} - L_{\sigma,min}}{2L_{\sigma,max}} f_{n\sigma}, \quad (6-30)$$

式中  $L_{\sigma,max} = \frac{L_{\sigma,max} L_i}{L_{\sigma,max} + L_i}$ 。

圖 6-14 表示分波段中的扩展調諧段宽度的关系。

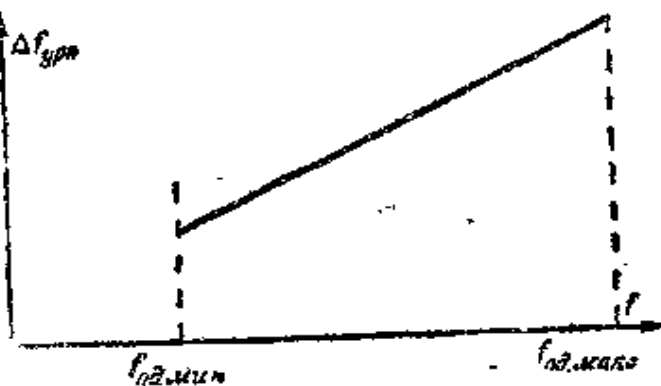


圖 6-14 分波段中扩展調諧段宽度的关系

### 6-10. 产生交扰嘯声的頻率的确定

当本机振盪器的諧波和信号組合后产生接近于中頻的組合頻率时，便会出现交扰嘯声。这时組合頻率与中頻产生差拍，經過檢波以后便分离出音頻的差頻。

在接收机的調諧頻率上也可能出現交扰嘯聲

$$f_c = \frac{p \pm 1}{q - p} f_{np}, \quad (6-31)$$

式中  $p$  和  $q$ ——与本机振盪器頻率和信号頻率的諧波次数相当的任意正整数。

如果在頻率  $f_c$  上沒有电台工作，那么也將沒有交扰嘯聲。

当不大于五次的信号和本机振盪器的諧波組合时，在每个分波段上都要計算交扰嘯聲。

### 6-11. 中頻系統的增益系数、諧振曲綫和对相

#### 障波道的選擇性的計算

中頻系統的增益系数等于

$$K_{mn4} = K_{gn4} K_{gnm}^n. \quad (6-32)$$

中頻系統的增益系数应当等于或稍大于初步計算出来的增益系数。

当濾波器回路之間具有最佳耦合时，中頻系統的諧振曲綫等于

$$A = \frac{1}{\left( \sqrt{1 + \frac{\alpha^4}{4}} \right)^{n+1}}, \quad (6-33)$$

式中  $n$ ——中頻放大器的級數。

如果中頻系統的通頻帶是可变的，則需要計算它的寬通頻帶的諧振曲綫：

$$A = \left( \sqrt{\frac{2\beta}{(1 - \alpha^2 + \beta^2)^2 + 4\alpha^2}} \right)^m \cdot \left( \sqrt{1 + \frac{\alpha^4}{4}} \right)^p, \quad (6-34)$$

式中  $p$ ——具有固定通頻帶的中頻系統的級數；

——用增加濾波器回路間耦合 ( $\beta > 1$ ) 來加寬通頻帶的中頻系統的級數。

中頻系統（包括變頻級的集中選擇濾波器和中頻放大級的具有臨界耦合的雙回路濾波器在內）的諧振曲線等於

$$A = A_{c.u} \left( \frac{1}{\sqrt{1 + \frac{\alpha_c^4}{4}}} \right)^n, \quad (6-35)$$

式中  $A_{c.u}$ ——集中選擇濾波器的諧振曲線，它的計算見 § 5-9。

根據已得的数据，可以畫出中頻系統的諧振曲線。

中頻系統對相隣波道的選擇性在窄通頻帶時（在具有可變通頻帶的中頻系統時）可由下式求出：

$$S_{choice} = \left( \sqrt{1 + \frac{\alpha_c^4}{4}} \right)^{n+1}, \quad (6-36)$$

式中  $\alpha_c = \frac{2\Delta f_c}{d_c f_{np}}$ ；

$\Delta f_c$ ——對相隣波道的尖諳。

具有集中選擇濾波器的中頻系統對相隣波道的選擇性可由用公式(6-35)計算出來的諧振曲線來決定。

中頻系統的矩形系數可以根據它的諧振曲線計算出來：

$$K_{n0.1} = \frac{2\Delta f_{0.1}}{2\Delta f_{0.7}}, \quad (6-37)$$

$$K_{n0.01} = \frac{2\Delta f_{0.01}}{2\Delta f_{0.7}}. \quad (6-38)$$

## 第七章 二極管檢波器的計算

### 7-1. 概述

在無線電接收機中都使用二極管檢波器，因为它有下列优点：

1. 檢波時几乎沒有失真；
2. 在強信号時不怕過荷，而且工作很好。

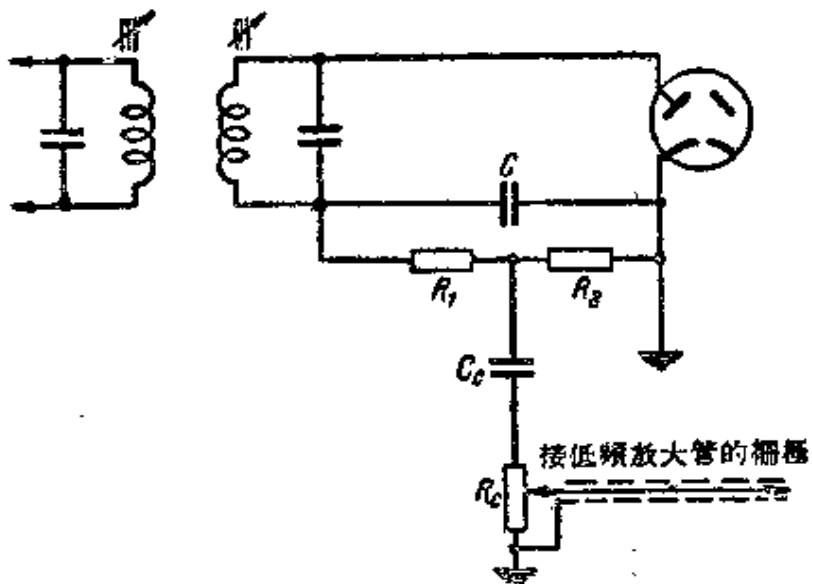


圖 7-1 双二極管的串联檢波器的电路

二極管信号檢波器是按串联电路連接的，而自動增益調整的檢波器是按并联电路連接的。半導體二極管可以代替電子管二極管。

双二極管的串联檢波器电路如圖 7-1 所示。左边的二極管用作信号檢波，而右边的二極管用作自動增益調整的整流器。經常使用复合管，如双二極五極管或双二極三極管（圖 7-2）。

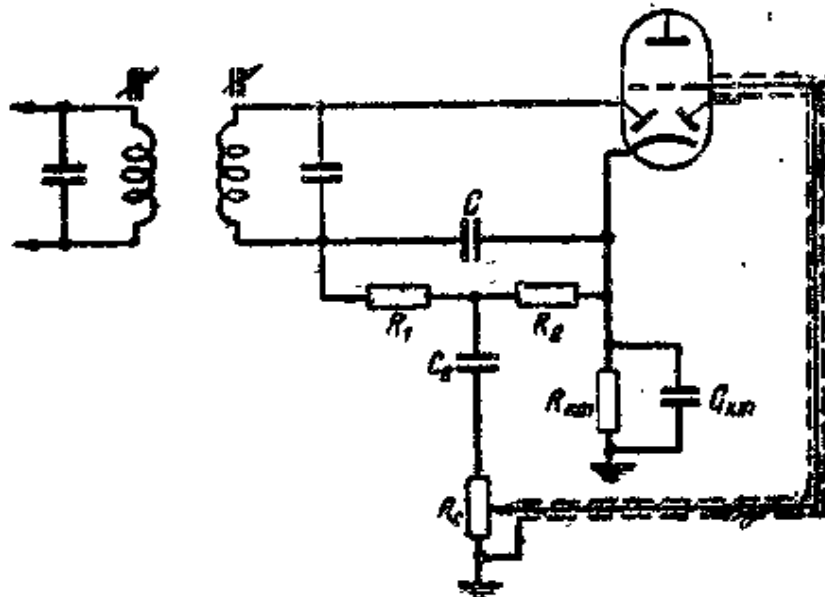


圖 7-2 双二極三極管的串聯檢波器的電路

在檢波器的輸出端接有接收機輸出功率的人工調整器，它能使輸出功率從零均勻地變到最大。

對二極管檢波器有下列要求：

1. 电压傳輸系数尽可能大；
2. 輸入阻抗尽可能大；
3. 幅——頻失真最小；
4. 非線性失真最小。

為了減小檢波器對回路的旁路作用，檢波器要接到回路的一部份上。

## 7-2. 二極管檢波器的計算

計算的原始數據是：

1. 低音頻和高音頻

$F_L$  和  $F_H$ , 赫;

2. 中頻  $f_{np}$ , 千赫;

3. 最大的調制度  $m_{max}$  (通常  $m_{max}=0.8-0.9$ )。

計算順序如下。

給定檢波器的負載內阻

$$R_B = R_1 + R_2 = (0.2-0.8) \text{ 兆歐} \quad (7-1)$$

求出變換系數，在此系數下回路衰減由於檢波器輸入阻抗的緣故增加一個數值  $d_{in} = (0.15-0.25) d_{in}$

$$m = \frac{R_1 + M}{L} = 10^3 \sqrt{\frac{(0.15-0.25) d_{in} \cdot R_n}{4\pi f_{hp} L}}; \quad (7-2)$$

式中  $R_n$  ——兆歐；  $f_{hp}$  ——兆赫；  $L$  ——微亨。

如果  $m \geq 1$ ，那麼可以把檢波器接到整個回路上。

應當指出，變換系數隨著檢波器負載電阻的增大而增大。

我們求出檢波器的負載電阻  $R_1$  和  $R_2$

$$\left. \begin{aligned} R_1 &= (0.15-0.8) R_n, \\ R_2 &= (0.85-0.2) R_n. \end{aligned} \right\} \quad (7-3)$$

隨著電阻  $R_2$  的增大和電阻  $R_1$  的減小，檢波器的傳輸系數增大，中頻電壓的濾波系數減小，電阻  $R_c$  對電阻  $R_2$  的旁路作用增加，因此非線性失真則由於直流通和音頻交流的負載電阻之間的差別而增大。

所以在高質量的廣播接收機中，為了減少檢波器的非線性失真，常取  $R_1 > R_2$ ，此時檢波器的傳輸系數降低。要這樣地選擇放大管柵極的漏洩電阻，以使檢波器在負載被旁路的條件下沒有非線性失真：

$$R_c = \frac{R_2^2}{(1-m_{max})(R_1 + R_2)} \quad (7-4)$$

電阻  $R_c$  的值應不大於 2 兆歐，因為當  $R_c$  大於 2 兆歐時，放大管可能閉鎖。

當從電阻  $R_2$  上還有已整流電壓加到陰極射線調諧指示器

上时，这个音频电阻要被放大管的漏洩电阻  $R_c$  和陰極射線調諧指示器的濾波器電阻  $R_{ca}$  旁路（圖 7-3）。

根據這種情況我們給定放大管的漏洩電阻約為 1—2 兆歐，並求出陰極射線調諧指示器的濾波器的電阻值：

$$R_{c,\phi} = \frac{R_c}{R_c(1-m_{max})\left(\frac{R_1+R_2}{R_2^2}-1\right)}, \quad (7-5)$$

陰極射線調諧指示器濾波器的電阻值應不大於 3—5 兆歐。

如果計算時，電阻值為負，那就是說需要增大放大管的漏洩電阻或減小電阻  $R_2$ 。

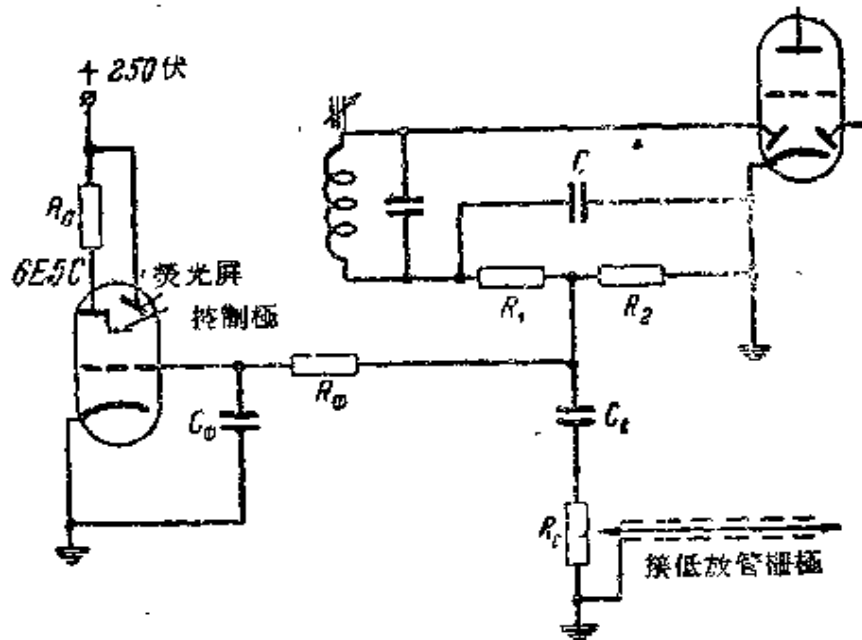


圖 7-3 陰極射線調諧指示器的連接圖

以沒有非線性失真為條件求出檢波器負載的電容

$$C_1 \leq \frac{\sqrt{1-m_{max}^2}}{2\pi F_{max} R_c m_{max}}, \quad (7-6)$$

並以具有最大的电压傳輸系数為條件求出

$$C_2 \geq 10 C_{\text{anode}}. \quad (7-7)$$

必須这样地選擇檢波器負載的電容量，使其滿足(6-7)和(7-7)的兩個條件

$$\begin{aligned} C &< C_1, \\ C &> C_2. \end{aligned}$$

我們得到截止角：

$$\theta = \sqrt{\frac{3\pi}{R_n S}}. \quad (7-8)$$

式中  $S$ ——二極管特性曲線的互導。

調制中心頻率的電壓傳輸系數等於

$$K_\theta = \cos \theta \frac{R_2}{R_1 + R_2}. \quad (7-9)$$

隔流電容器的電容量等於

$$C_c \geq \frac{1.6}{F_{\text{MHz}} R_c}. \quad (7-10)$$

最大的音頻電壓

$$U_{m2} = K_\theta m_{\text{max}} U_{m2, \text{av}}. \quad (7-11)$$

中頻電壓的濾波系數（電阻上的中頻電壓與檢波器輸入端的中頻電壓之比）在功率調整器的游標位于上邊的位置時等於

$$K_g \approx 2\pi f_{np} R_1 \left( -\frac{C_s}{C_{\text{anode}}} \right), \quad (7-12)$$

式中  $C_s = C_{s,n} + C_{c,n} + C_{a,e}(1 + K_{gmu})$ ；

$C_{s,n}$ ——連接電子管柵極與功率調整器的隔離導線的電容；通常

$C_{s,n} = 20-50$  微微法，而  $K_{gmu} = 10-80$ 。

濾波系數應當不小于 50。為了增加濾波系數，應給電阻  $R_1$  并聯一個 15-25 微微法的電容器。

低音頻的頻率失真系數

$$M_\alpha = \frac{K_0}{K_\alpha} = \sqrt{1 + \frac{1}{(2\pi F_n C_e R_e)^2}}. \quad (7-13)$$

高音頻的頻率失真系數等於

$$M_\theta = \frac{K_0}{K_\theta} = \sqrt{1 + \left(\frac{2\pi F_\theta C_\theta R_2}{1 + \frac{R_2}{R_1}}\right)^2} \sqrt{1 + \left(\frac{2\pi F_\theta C R_{i\theta}}{1 + \frac{R_{i\theta}}{R_n}}\right)^2}. \quad (7-14)$$

式中  $R_{i\theta} = \frac{\pi}{S\theta}$ 。

根據這些頻率失真系數便可繪出檢波器的幅-頻特性曲線。

### 7-3 半導體檢波器

最近，在無綫電接收機中已開始使用半導二極管來進行檢波。半導體二極管與電子管二極管相比有下列優點：

1. 不需要燈絲電源；
2. 尺寸小；
3. 極間電容小（0.5—1微微法）；
4. 特性曲線的斜率大；
5. 機械強度好。

半導體檢波器的缺點是：

1. 參數的特性數據不一致；
2. 參數隨溫度變化；
3. 反向電阻低並且不穩定。

半導體二極管的檢波過程與電子管二極管的檢波過程的區別在於前者有反向電流，因而有反向內阻  $R_{iobp}$ 。反向電流雖然很小，但在檢波器輸入電壓周期的大部分時間內都有反向電

流通过，并在负载电阻上产生一个电压，其极性与正向电流所产生的电压相反，从而增大了截止角，减小了已整流电压和检波器的输入电阻。

锗二极管的输入电阻等于

$$R_{in} = \frac{R_{io\beta p} R_h}{2 R_{io\beta p} + 3 R_h}. \quad (7-15)$$

半导体检波器的输入电阻比电子管检波器的小。

输入电压小时（小于 80 毫伏），由于反向电流的原因，可能产生较大的非线性失真。所以为消除非线性失真，应当把不小于 0.2 伏的电压加到检波器的输入端上。

应当根据最小反向内阻的最大值来选择振幅检波器、自动增益调整整流器和频率检波器的锗二极管。

检波器的输入电阻应当是这样的，即它不会使回路品质因数显著降低。

在回路谐振阻抗大，而检波器输入电阻小的情况下，应当把检波器接到回路的一部份上，以减小旁路作用。

如果回路的谐振阻抗不大，那么可以使用输入电阻小，也就是反向内阻小的检波器。

半导体二极管 ДГ-Ц3, ДГ-Ц5 和 ДГ-Ц7 的最小反向内阻大约为 300—500 千欧。二极管 ДГ-Ц8 的最小反向内阻约为 60—250 千欧。

#### 7-4. 阴极射线调谐指示器工作状态的计算

无线电接收机的自动增益调整防碍准确地调谐电台。这是因为当接收机对电台的调谐不准确时，由接收机回路失谐所引起增益的减小被自动增益调整作用来补偿了。所以接收机的不准确调谐不会使信号的音量降低，而只会由于已调制信号的一

一个边频被抑制使信号产生非线性失真。

为了使接收机能对电台准确地调谐采用了光调谐指示器，它能在断开低频放大器（输出功率调整器的游标放在下边的位置上，图7-3）时，找到工作电台，从而消除了在寻找电台时大量出现的各种干扰的影响，因为在没有信号时，自动增益调整不工作，并且接收机的增益最大。

阴极射线调谐指示器 6E5C 可以作为光调谐指示器来使用。在标准状态下这种指示器的板压和板阻为：

$$E_a = 250 \text{ 伏} \text{ 和 } R_a = 1 \text{ 兆欧。}$$

在指示器的栅极上须加上大小与给定的接收机灵敏度相适应的已整流电压，以使得阴暗扇面角等于  $15-30^\circ$ 。

当接收机输入端的信号迅速增大时，指示器就可能产生溢越现象。自动增益调整的作用越差，这种现象也越明显。

阴暗扇面（用度计量）与电子管 6E5C 的栅极电压的关系如图 7-4 所示。

与接收机灵敏度相应的电子管的栅压应当等于  $-3$  到  $-5$  伏。

指示器栅路滤波器用来分离电压的直流分量，这一分量与载频电平成正比，而与调制度无关。

按下列条件选择滤波器的电容量

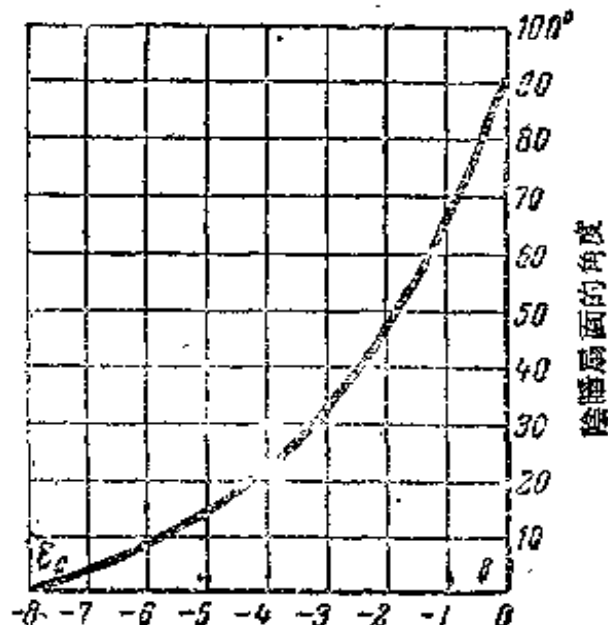


图 7-4 阴暗扇面（用度计量）与电子管 6E5C 的栅极电压的关系

$$C_{\phi} = \frac{0.05 - 0.1}{R_{\phi}}, \quad (7-16)$$

式中  $C_{\phi}$  —— 微法;  $R_{\phi}$  —— 兆欧

### 7-5. 未調制电报信号的听覺接收

在接收机中有差頻振蕩器或調制器时，便可以接收未調电报信号。

在使用差頻振蕩器时，它的振蕩与信号的中頻混合产生差拍。經過檢波后得到等于信号中頻  $f_{np}$  和差頻振蕩器频率  $f_{m..}$  之差的拍頻。

$$F_6 = f_{np} - f_{m..}$$

只要改变差頻振蕩器的頻率或者中頻（稍微变动接收机的調譜即可改变中頻），就可以改变可听见的电报信号的音調。

当同时接收几个具有相近載頻的电报时，这些电台的音頻信号將具有不同的音調，这就便于区分出所需的信号。差頻振蕩器裝成單独的一級，而它的电压加到中頻放大器的末級上。

在使用調制器时，电报信号經過調制器受到音頻調制。經過檢波器以后便可得到固定音頻的电报信号。

中頻放大器的末級被当做調制器使用时，从音頻振蕩器來的电压就加到這一級上。这一电压可以加到放大管的抑制柵上。

通常用一个电子管来作調制器和音頻振蕩器。为此 使用 6H1D 型三極——七極管（七極管的極間电容  $C_{a.c} = 0.006$  微微法）和 6A8 型七極管（極間电容  $C_{a.c} = 0.06$  微微法）最合适。極間电容小时就可以实现級的稳定放大。七極管 6A7、6A10C、6A20J 的極間电容分別为 0.13, 0.13 和 0.3 微微法。这样大的極間电容不能保证級的稳定放大。

## 第八章 頻率檢波器的計算

### 8-1. 概述

頻率檢波器把調制信号从調頻信号中分出来。頻率檢波器分成兩類：頻率——幅度檢波器和頻率——相位檢波器或者簡單地說相位檢波器。

頻率幅度檢波器把信号頻率的变化变成相应的电压振幅的变化，这种变化是由振幅檢波器来檢波的。属于这类檢波器的有鑑頻器和比例檢波器。

相位檢波器把信号頻率的变化变成兩個电压間相应相移的变化，这两个电压从兩個柵極上控制多柵管的板流，从而决定着板流的直流分量与頻率的关系。属于这类檢波器的有相位檢波器和同步相位檢波器。

对頻率檢波器的主要要求如下：

1. 檢波特性曲線的直線性要能保証在最大頻移时，进行不失真的檢波；
2. 增益系数（即檢波器输出端音頻电压与輸入端調頻电压之比）尽可能大；
3. 最大限度地抑制寄生調幅；
4. 檢波器的灵敏度尽可能大（能在輸入电压小的情况下工作，而同时保证增益系数大和寄生調幅的抑制效果好）。

大多数的情况下使用鑑頻器或比例檢波器。

鑑頻器的傳輸系数小于1，并需要一个抑制寄生調幅的設置器。

比例檢波器能抑制寄生調幅是因为檢波器的輸入电阻隨信

号电压振幅的变化而变化，以及能改变滤波器回路的品质因数，从而均衡了从滤波器到检波器的信号电压的振幅。

检波器输入电阻能随信号电压振幅来变化是由于检波器的负载被电容大的电容器旁路，因此负载电压很少随时间变化。负载电压决定着检波器的起始工作点，这一工作点几乎是固定不变的。随着信号振幅的增大，截止角也将增大，这就会降低检波器的传输系数和输入电阻。因而信号电压的振幅变化会使传输系数和输入电阻（使滤波器回路旁路的电容产生相反的变化，而所有这一切都会大大地衰减输出端上的寄生调制。

比例检波器的优点是：

1. 灵敏度高；
2. 增益系数大；
3. 不用限幅器便能抑制寄生调制。

## 8-2. 频率检波器电路的选择

鉴频器需要一个限幅器，为了使限幅器能有效地工作必须在其输入端加上不小于1—2伏的信号电压。所以接收机的增益系数应当相当大。

比例检波器不需要限幅器而且灵敏度高。使它正常地工作只要在中频放大器末级的输入端加上一个0.05—0.1伏的电压就行了，因此接收机的增益系数只要为使用鉴频器时的 $\frac{1}{10}$ — $\frac{1}{20}$ 就行了。

但是应当指出，调谐比例检波器比鉴频器更困难。把比例检波器调整得能强烈地抑制寄生调制也是特别困难的。

在鉴频器和比例检波器中可以采用半导体二极管作检波器，以减少接收机中电子管的数目和降低电源所消耗的功率。

为了使频率检波器很好地工作，必须用参数相同的半导体二极管。

### 3-3. 限幅器的计算

限幅器能消除调频信号的寄生调制。它是中频放大器的一级，它的电子管是在与截止栅流和板流相应的限幅状态下工作的。为了获得很大的栅流，在电子管的板极和帘栅极上加上降低一些的电压，并且当加到帘栅极上的电压比加到电子管板极上的电压大一些时，限幅效果更好。

通常当电子管的帘栅压为20—30伏，板压为10—15伏时，五极管可以在限幅级工作。

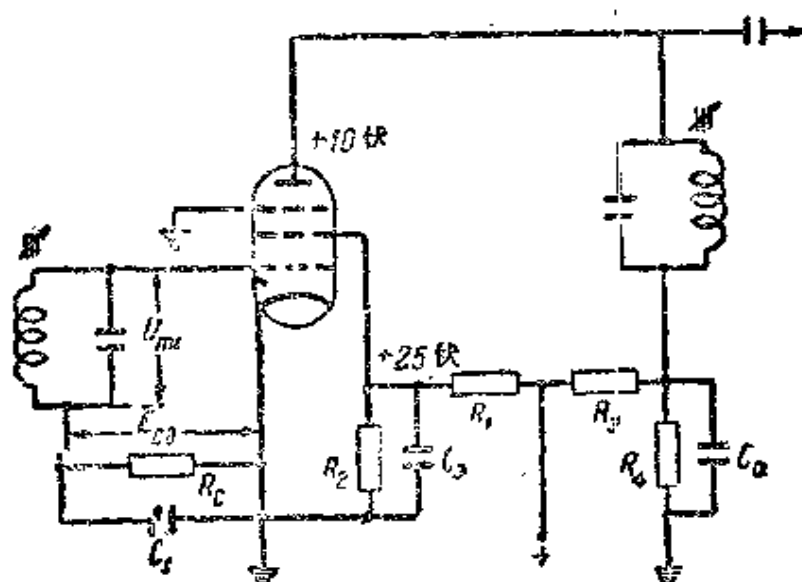


图 3-1 截止板流和栅流的限幅器电路

用截止板流和栅流的限幅器电路如图 3-1 所示。

计算程序如下。

为了有效限幅，我们选用了锐截止电子管。最合适的电子管是 6K8、6K3、6K1P、6K2P 和 6K3P。在板压和帘栅压

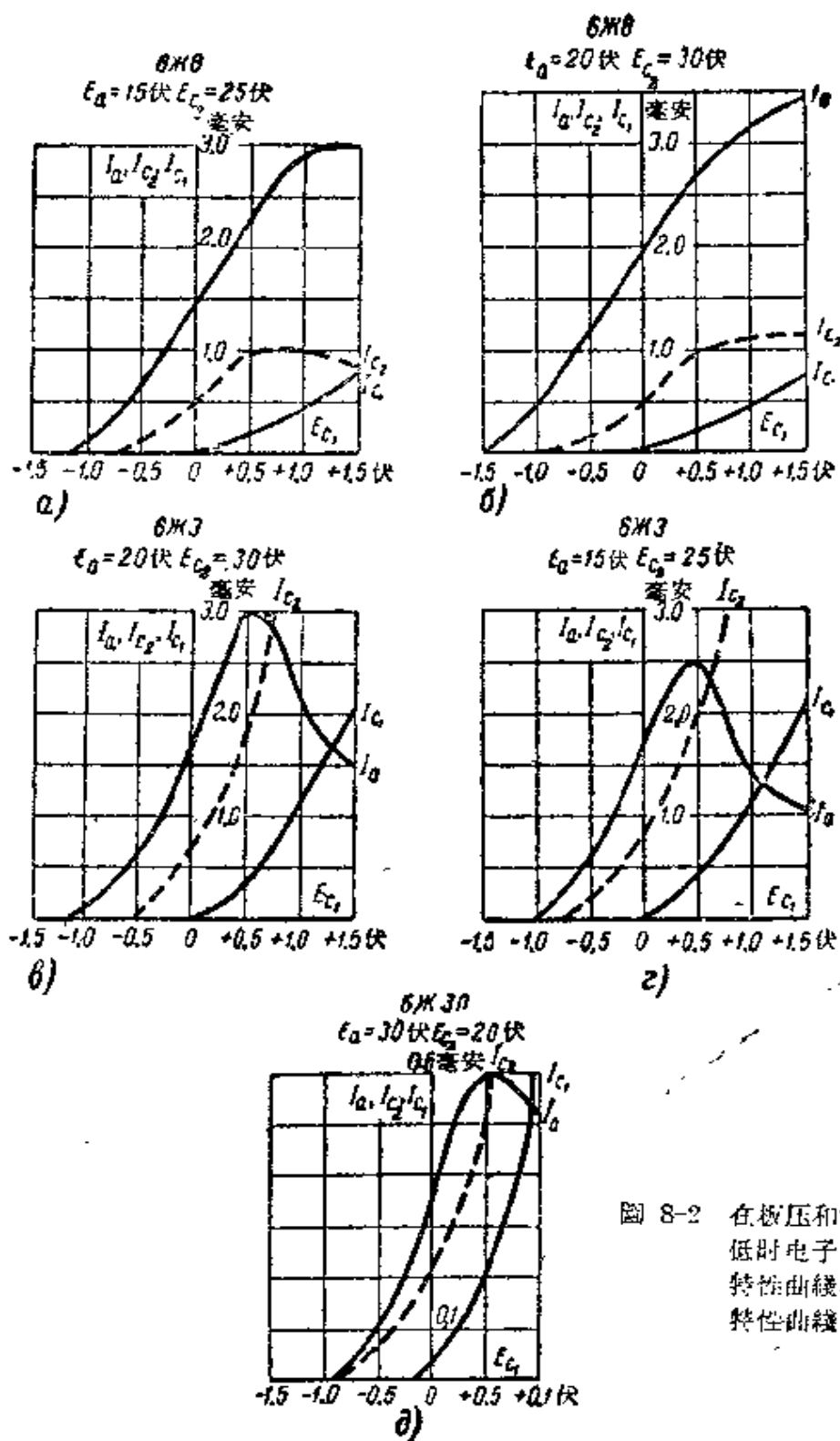


圖 8-2 在板压和帘栅压降  
低时电子管的板压  
特性曲线和栅  
特性曲线

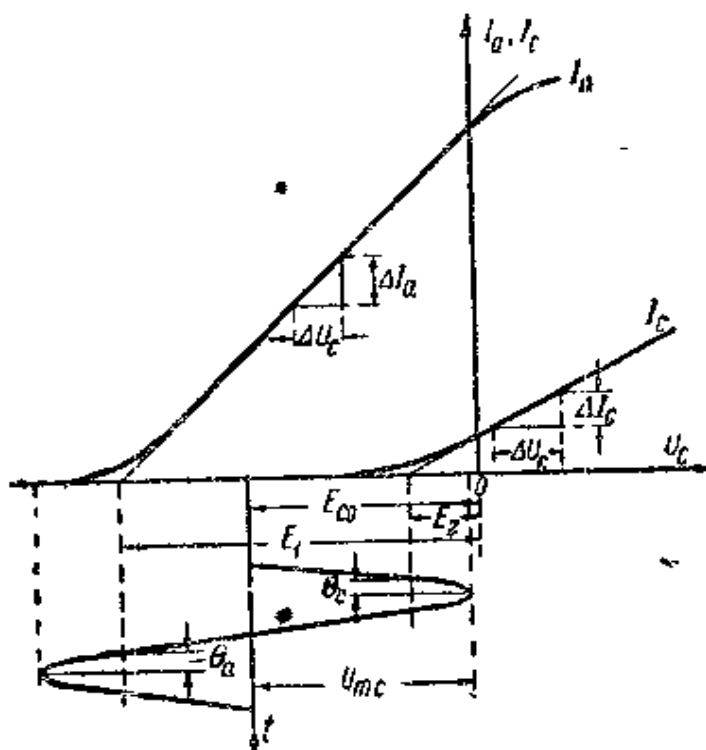


圖 8-3a 限幅器板流和柵流特性曲線的理想化

降低時繪出板流和柵流的特性曲線。

在板壓和帘柵壓降低時，電子管 6J8、6J3 和 6J3 $\Pi$  的板流和柵流，以及帘柵流的特性曲線如圖 8-2 所示。

理想的板流和柵流特性曲線如圖 8-3a 所示。

電子管柵路的工作與二極管相似，而此電路的截止角只由電阻  $R_c$  和柵流特性曲線的互導  $S_c$  來

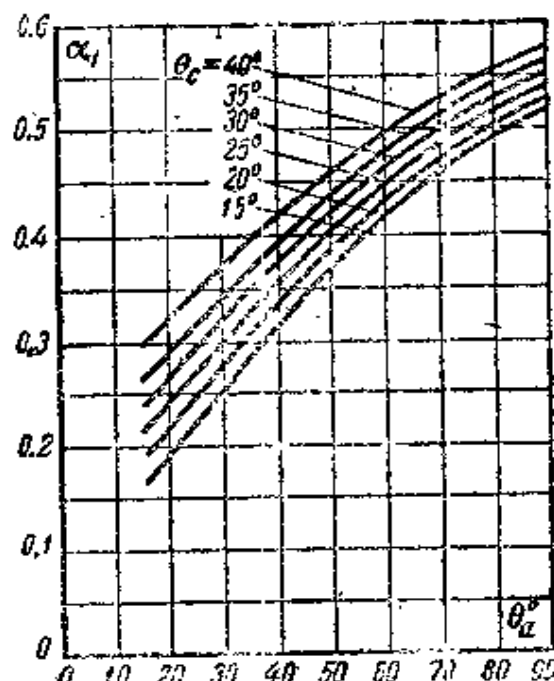


圖 8-3b 平頂脈沖的分解系數圖

決定。

根據板流和柵流的特性曲線我們得到板流和柵流的互導：

$$S = \frac{\Delta I_a}{\Delta U_\sigma}, \quad (8-1)$$

$$S_\sigma = \frac{\Delta I_e}{\Delta U_c}. \quad (8-2)$$

我們在數值從 50 到 200 千歐的電阻  $R_c$  的幾個值上計算柵流截止角。

$$\theta_c = \sqrt{\frac{8\pi}{S_c R_c}}. \quad (8-3)$$

我們求出電阻  $R_\sigma$  的所選值之  $\cos \theta_\sigma$ 。

把計算結果列入表 8-1 中。

表 8-1

$R_c$				
$\theta_c$				
$\cos \theta_c$				

當振幅不同的信號加到電子管的柵極上時，我們可以求出由柵流脈衝所產生的電子管的柵偏壓  $E_{co}$ ：

在  $E_2$  為負值時

$$E_{co} = U_{mc} \cos \theta_c + E_1, \quad (8-4a)$$

在  $E_2$  為正值時

$$E_{co} = U_{mc} \cos \theta_c - E_2. \quad (8-4b)$$

計算結果列入表 8-2 中。

我們求出板流的脈衝：

$$I_{a, \text{pulse}} = S(U_{mc} + E_1 - E_{co}), \quad (8-5)$$

式中  $E_1$  和  $E_{co}$ ——電壓的絕對值。

表 8-2

$U_{mc}$ , 伏	在不同数值的 $R_c$ 和 $\cos \theta_c$ 时的 $E_c$				
	$R_c \cos \theta_c$	$R_c \cos \theta_c$	$R_c \cos \theta_c$	$R_c \cos \theta_c$	$R_c \cos \theta_c$
0.25					
0.5					
0.75					
1					
2					
4					
6					

从圖 8-3,a 中，在  $E_2$  为負值时，我們可求出  $\cos \theta_a$ ：

$$E_1 - E_{c0} = U_{mc} \cos \theta_a;$$

$$E_{c0} - E_2 = U_{mc} \cos \theta_c,$$

由此得到

$$E_{c0} = U_{mc} \cos \theta_c + E_2.$$

把  $E_{c0}$  代入第 1 式并求出它对  $\cos \theta_a$  的解，我們得到：

$$\cos \theta_a = \frac{E_1 - E_2}{U_{mc}} - \cos \theta_c. \quad (8-6a)$$

在  $E_2$  为正值时

$$\cos \theta_a = \frac{E_1 + E_2}{U_{mc}} - \cos \theta_c. \quad (8-6b)$$

截止角  $\theta_a$  只能小于  $90^\circ$ 。

从板流和柵流的特性曲綫中取  $E_1$  和  $E_2$  后，我們求出  $\cos \theta_a$ 。

設  $\theta_a > 90^\circ$ ， $\theta'_a = 180 - \theta_a$ ，我們得到板流一次諧波的平頂脉冲的分解系数。

$$\alpha_1 = \frac{1}{2\pi} \frac{2\theta_a' - 2\theta_c + \sin 2\theta_a - \sin 2\theta_a'}{\cos \theta_c - \cos \theta_a'} \quad (8-7)$$

一次諧波板流半頂脉冲的分解系数可以从平頂脉冲分解系数表（見無線電發信設備教科書）或圖(8-36)中查到。板流一次諧波的振幅等于

$$I_{m1} = I_{a, \max} \alpha_1. \quad (8-8)$$

用  $U_{mc}$  的下列數值：0.25, 0.5, 0.75, 1, 2, 4 和 6 伏來計算  $I_{m1}$ 。

計算每個  $R_c$  數值的結果列入表 8-3 中。

表 8-3

$U_{mc}$ , 伏	$E_{c0}$ , 伏	$I_{a, \max} = S(U_{mc} + E_1 - E_{c0})$	$\kappa_1 \cos \theta_c; \theta_c$	$\theta_a' = 180 - \theta_a$	$\alpha_1$	$I_{m1} = I_{a, \max} \alpha_1$
0.25						
0.5						
0.75						
1						
2						
4						
6						

根据表 8-3 的数据画出  $I_{m1}$  和  $U_{mc}$  的曲线圖(圖 8-4)来。从圖中可以选择出一个能获得最有效限幅的  $R_c$  来。

当輸入电压为負半週时，偏压依靠电容器  $C_c$  通过电阻  $R_c$

放电来维持。这个电路的时间常数应当等于：

$$\tau_c = C_c R_c = 15-20 \text{ 微秒}。 \quad (8-9)$$

由此我們得到：

$$C_c = \frac{(15-20) \times 10^6}{R_c}, \quad (8-10)$$

式中  $C_c$ ——微微法；  $R_c$ ——千欧。

現在我們來計算帘栅極和板極電路的分壓器。帘栅電路分壓器的計算方法如下。

求出帘栅——陰極間的電阻

$$R_{i\theta} = \frac{E_3}{I_\theta}。 \quad (8-11)$$

為了獲得與帘栅流的變化（它是由偏壓的變化造成的）關係不大的帘栅壓，我們使分壓器的下邊電阻等於

$$R_2 = \frac{R_{i\theta}}{4-8}。 \quad (8-12)$$

我們求出分壓器下部的等效電阻：

$$R_s = \frac{R_{i\theta} R_2}{R_{i\theta} + R_2}。 \quad (8-13)$$

求出分壓器的上邊電阻：

$$R_1 = R_s \left( \frac{E}{E_3} - 1 \right), \quad (8-14)$$

式中  $E$ ——電源電壓。流過分壓器的總電流等於

$$I_\theta = \frac{E}{R_1 + R_s}。 \quad (8-15)$$

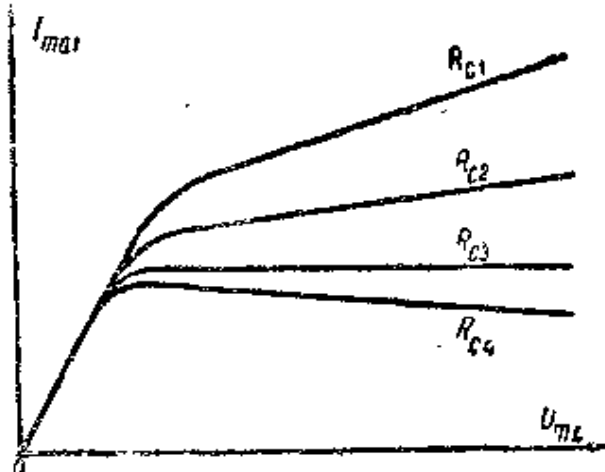


圖 8-4 限隔器的特性曲線

分压器电阻上的耗散功率

$$P_1 = I_o^2 R_1, \quad (8-16)$$

$$P_2 = \frac{E_s^2}{R_2}. \quad (8-17)$$

旁路电容器的电容量等于

$$C_p = \frac{16 \times 10^6}{f_{rp} R_s}, \quad (8-18)$$

式中  $C_p$ —微微法;  $f_{rp}$ —兆赫;  $R_s$ —千欧。

根据耗散功率来选择电阻的类型。

板极分压器用类似的方法计算。

#### 8-4. 鑑频器的计算

鉴频器电路如图 8-5 所示。

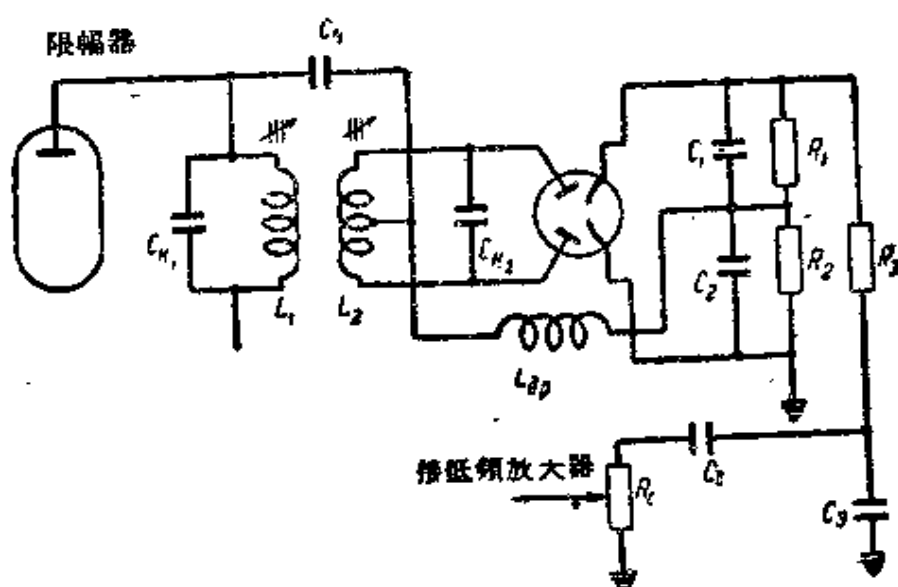


图 8-5 鉴频器电路

计算的原始数据是:

1. 滤波器回路的等效衰减  $d_s$

2. 中頻  $f_{np}$ , 兆赫;
  3. 最大頻移  $\Delta f_{max}$ , 千赫;
  4. 最大調制頻率  $F_{max}$ , 千赫;
  5. 二極管的类型及其互導  $S$ , 毫安/伏;
- 計算程序如下。

根據濾波器回路的等效衰減，我們求出保證濾波器特性曲線具有直線部分所必需的廣義耦合系數：

$$\beta = 3 \frac{\Delta f_{max}}{d_n f_{np}}, \quad (8-19)$$

式中  $\Delta f_{max}$ ——最大頻移。

濾波器繞圈之間的耦合系數等於

$$K = \beta d_n. \quad (8-20)$$

給定檢波器負載電阻  $R_1 = R_2 = 100 \sim 120$  千歐，根據非線性失真最小的條件求出使負載分流的電容器的電容量：

$$C_1 = C_2 = \frac{2.4 \times 10^5}{R_1 F_{max}}, \quad (8-21)$$

式中  $C$ ——微微法；  $R_1$ ——千歐和  $F_{max}$ ——一千赫。

由公式(7-8)求截止角：

$$\theta = \sqrt[3]{\frac{3\pi}{R_1 S}},$$

檢波器的傳輸系數等於

$$K_o = \cos \theta. \quad (8-22)$$

給定濾波器初級串接的電容器的電容量

$C_{E_1} = 21 \mu\mu$  微微法；

而求出濾波器初級電路的等效電容量

$$C_{n1} = C_{E_1} + C_{aux1} + C_{v1}, \quad (8-23)$$

式中  $C_{aux1}$ ——限幅器電子管的輸出電容。

为了使滤波器的两个回路都得到同样的等效电容，次级电路的回路电容器的电容应等于

$$C_{n2} = C_{s1} - C_{s2} - C_a, \quad (8-24)$$

式中  $C_a$ ——二极管板极之间的电容。

限幅器回路的谐振阻抗为

$$R_k = \frac{10^3}{d_s \times 2\pi f_{np} C_{s1}}, \quad (8-25)$$

式中  $R_k$ ——千欧；  $f_{np}$ ——兆赫；  $C_{s1}$ ——微微法。

从图 8-4 中取得在限幅状态下限幅器电子管板流的一次谐波振幅值后，我们求得回路的一次谐波的电压振幅：

$$U_{m1} = I_{m1} R_k. \quad (8-26)$$

如果给定了不同的频偏值，我们便能计算鉴频器的半个特性曲线：

$$U_{mod} = U_{m1} \cos \theta \psi(\alpha, \beta), \quad (8-27)$$

$$\text{式中 } \psi(\alpha, \beta) = \frac{\sqrt{4 + (\beta + 2\alpha)^2} - \sqrt{4 + (\beta - 2\alpha)^2}}{2\sqrt{(1 + \alpha^2 - \beta^2)^2 + 4\beta^2}}.$$

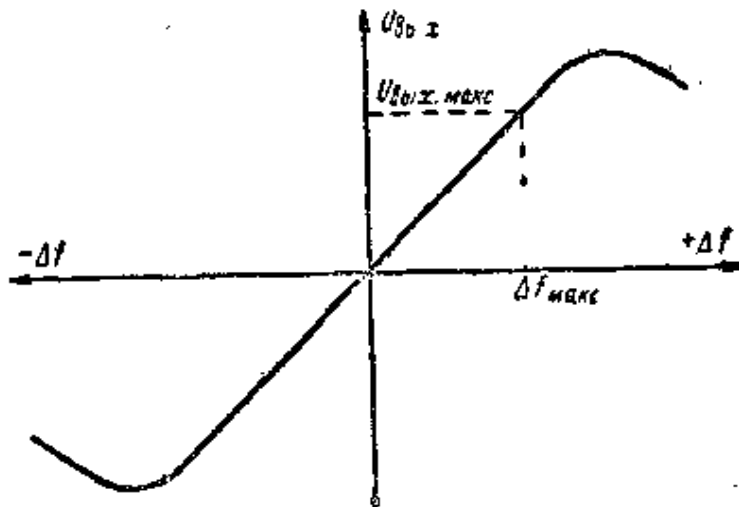


图 8-6 鉴频器的特性曲线

此处

$$\alpha = \frac{2\Delta f}{d_2 f_{np}},$$

計算結果記入表 8-4 中。根据表 8-4 中数据划出鑑頻器的特性曲綫 (圖 8-6)，它是一条对称于  $\Delta f$  之正負值的曲綫，而从曲綫上可以得到在最大频率偏移时的最大输出电压。

表 8-4

$\Delta f$ , 千赫					
0					
$\psi(\alpha, \beta)$					
$U_m \text{ max}$					

濾波器回路的电感用公式(3-7)来求：

$$L_1 = L_2 = \frac{253 \times 10^2}{C_{31} f_{np}^2}.$$

扼流圈电感的大小應該是这样的，即它不应使初級回路的电感旁路：

$$L_{op} \geq 10 L_K. \quad (8-28)$$

以中频电压在电容器上的电压降落小为条件来求耦合电容器  $C_4$  的电容量：

$$C_4 = \frac{(3-5) \times 10^4}{f_{np} R_K}, \quad (8-29)$$

式中  $C_4$  —— 微微法；  $f_{np}$  —— 兆赫；  $R_K$  —— 千欧。

在鑑頻器的輸出端接有一个由电阻  $R_3$  和电容器  $C_3$  串联組成的預先失真校正电路。此电路的振幅頻率特性曲綫是下降的。

發射机內借助于电阻和电容器串联組成的電路人为地造成預先失真，即造成上升的調幅調頻的特性曲綫。这个电路的時間常数是 50 - 100 微秒。

發射机內引入預先失真是由于下列原因。

在語言和音乐的頻譜中能量的分配是不均匀的。高音頻時頻譜組成部分的振幅比中音頻時小。但从發射机到接收机輸入端的途中，附加在信号上的噪声和干扰均匀分佈在整个頻譜上，結果使接收机輸出端的信号噪声比，在高調制音頻上要比在中調制音頻上小。

發射机的預先失真可以使接收机輸出端对一切頻率都得到一样的信号噪声比，而振幅頻率失真在接收机內用电路  $R_3 C_3$  棟正。

电阻  $R_3$  的值应当这样选择，即不致于使鑑頻器輸出端的音頻电压剧烈下降：

$$R_3 \leq 0.2 R_c. \quad (8-30)$$

調頻無線电广播中發射机的預先失真电路的时间常數应等于 75 微秒。

鑑頻器內預先失真校正电路的电容器  $C_3$  的电容量应等于

$$C_3 = \frac{75 \times 10^3}{R_3}, \quad (8-31)$$

式中  $C_3$  ---微微法；  $R_3$  ---千欧。

### 8-5. 比例檢波器的計算

圖 8-7 是比例檢波器的电路。

原始計算数据是：

1. 中頻  $f_{m_p}$ , 兆赫;
2. 最大頻率偏移  $\Delta f_{max}$ , 千赫;
3. 最高調制頻率  $F_{max}$ , 千赫;
4. 二極管类型及其互導  $S$ , 毫安/伏。

实验証明，如果在回路  $L_1 C_{k1}$  和  $L_2 C_{k2}$  之間的广义耦合系数为

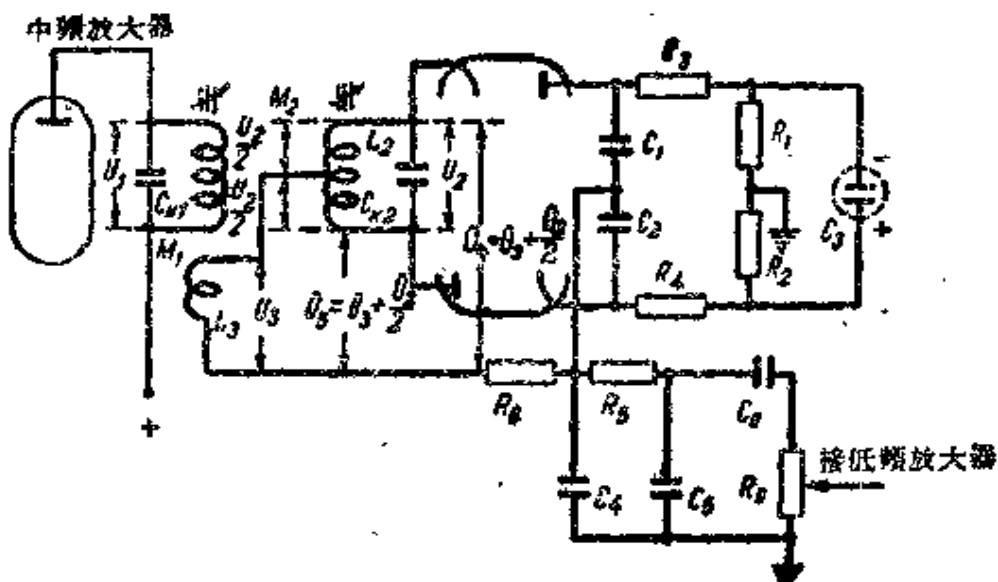


圖 8-7 比例檢波器的電路

$$\beta = \frac{K}{d} = 0.5 \quad (8-32)$$

時，電壓比值為

$$\frac{\frac{U_2}{2}}{U_3} = 0.6 - 0.7, \quad (8-33)$$

而且在信號電平顯著降低時回路  $L_2C_{12}$  的品質因數增加 2—3 倍，那末抑制寄生調幅的效果最好。如果電阻

$$R_1 = R_2 = 5 - 8 \text{ 千歐}, \quad (8-34)$$

那末這一點是可以做到的。

應該指出，提高檢波器的品質因數可以改善抑制寄生調幅的效果，但是會減少檢波器的直線部分。因此為了使抑制寄生調幅具有良好的效果，而同時又使檢波器的特性曲線具有足夠大的直線部分，次級電路的品質因數對於 4 兆赫以下的中頻應當約為 50—70，而對於 10 兆赫中頻應該約為 75—120。

計算程序如下。

用公式 (8-32) 求广义耦合系数  $\beta$  的数值。给定滤波器初級电路的电容器的电容量

$$C_{\kappa 1} = 24-36 \text{ 微微法},$$

并用公式 (8-23) 来求滤波器初級电路的等效电容:

$$C_{s1} = C_{\kappa 1} + C_{av, \kappa 1} + C_{\nu 1}.$$

为了使滤波器的两个电路得到一样的等效电容, 次級电路的回路电容器的电容用公式 (8-24) 来求:

$$C_{\kappa 2} = C_{s1} - C_{\mu 2} - C_a,$$

用公式 (8-25) 来求滤波器初級电路的諧振电阻:

$$R_{\kappa} = \frac{10^8}{d_2 \times 2\pi f_{np} C_{s1}}.$$

用公式 (3-7) 来求滤波器的回路电感:

$$L_1 = L_2 = \frac{253 \times 10^2}{C_{s1} f_{np}^2}.$$

取线圈电感  $L_3$  等于

$$L_3 = (0.5-0.6) L_1. \quad (8-35)$$

用滤波器参数和线圈  $L_3$  的品质因数来表示公式 (8-33) 中的电压, 并求线圈  $L_1$  和  $L_3$  之间的互感  $M_1$  的解, 得出:

$$M_1 = \frac{\hat{\beta} \sqrt{L_1 L_3}}{(0.6-0.7) 2 Q_3}, \quad (8-36)$$

式中  $Q_3$  —— 线圈  $L_3$  的品质因数, 可取其等于 50-80。

电阻  $R_3$  和  $R_4$  是对称的。它们能使电路对称, 并以此来减少多余的调幅。这些电阻的数值是从 200 到 1000 欧姆, 用试验的方法来选择。

电阻  $R_5$  使二极管的电流的顶峯平滑, 从而在信号电平很大时大大地降低了由于电路的不对称而产生的剩余调幅。

电阻  $R_6$  的数值在 30-50 千欧范围内选择。

电容器  $C_1$ 、 $C_2$  和  $C_4$  的电容約为 300 微微法。由  $C_5 R_5$  组成的預先失真校正电路用公式 (8-31) 来計算。

由电容器  $C_3$  和电阻  $R_1$  和  $R_2$  组成的电路的时间常数應該是 0.1—0.2 秒。因此电容器  $C_3$  的电容等于

$$C_3 = \frac{0.1 - 0.2}{R_1 + R_2} \cdot 10^3, \quad (8-37)$$

式中  $C_3$ —微微法； $R$ —千欧。

給出不同的頻偏值后，我們來計算比例檢波器的特性曲綫：

$$U_{m\alpha x} = S U_{mc} Q_s \frac{1}{2\pi f_{np} U_{o1}} \cos \theta \psi(\alpha, \beta), \quad (8-38)$$

式中  $S$ —下一级中頻放大器的电子管互导；

$U_{mc}$ —下一级中頻放大器的电子管栅極上中頻电压的振幅（通常  $U_{mc} = 0.05 - 0.1$  伏）；

$Q_s$ —濾波器初級电路的等效品質因数。

$\cos \theta$  的大小由檢波器的互导与  $R_1 + R_2$  的乘积决定。由圖 8-8 用  $S_o(R_1 + R_2)$  可以求出  $\cos \theta$ 。計算結果列入表 8-4 中。

根据該表中的数据我們可划出比例檢波器的特性曲綫。

比例檢波器的增益系数約为 5—7。在載頻上比例檢波器把寄生調幅抑制到約为  $\frac{1}{40-60}$ ，而在  $\pm 75$  千赫上失諧时—約为  $\frac{1}{10-15}$ 。

当下一级中頻放大器电子管輸入端的中頻电压从20毫伏变到几伏时，抑制寄生調幅的范围仍然有效，并且增益系数不变。

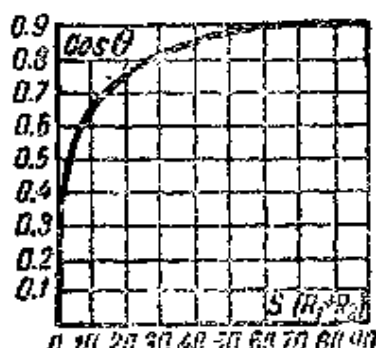


圖 8-8 求  $\cos \theta$  的曲綫圖

## 第九章 自動增益調整的計算

### 9-1 延遲式自動增益調整電路的計算

延遲式自動增益調整電路（圖 9-1）的延遲電壓同時是所有被調電子管的起始偏壓。這個電壓是由流過  $R_4$  的接收機的總電流產生的。

原始計算數據是：

1. 載頻輸入電壓的變化率

$$\alpha = \frac{E_{A,\max}}{E_{A,\min}},$$

2. 輸出電壓的容許變化率

$$p = \frac{U_{\text{输出},\max}}{U_{\text{输出},\min}}.$$

3. 被調電子管的型號和數目。

計算程序如下。

求出必需的增益變化率

$$\begin{aligned} K_{\max} &= \frac{U_{\text{输出},\max}}{E_{A,\min}} / \frac{U_{\text{输出},\max}}{E_{A,\max}} = \frac{E_{A,\max}}{E_{A,\min}} \cdot \frac{U_{\text{输出},\max}}{U_{\text{输出},\min}} \\ &= \frac{\alpha}{p}. \end{aligned} \quad (9-1)$$

自動增益調整的整流器應該產生一個可調電壓  $U_p$ ，以便使增益從  $K_{\max}$  變到  $K_{\min}$ 。現在我們就來求這個電壓。

為此必須根據相當類型的電子管的曲線  $S = \varphi(E_c)$  画出被調各級電子管的互導的乘積  $S_1 S_2 S_3 \dots S_n = \varphi(E_c)$  的曲線（圖 9-2）。如果變頻器也在被調之列，那末在乘積中也應包括變頻跨導  $S_{np}$ 。

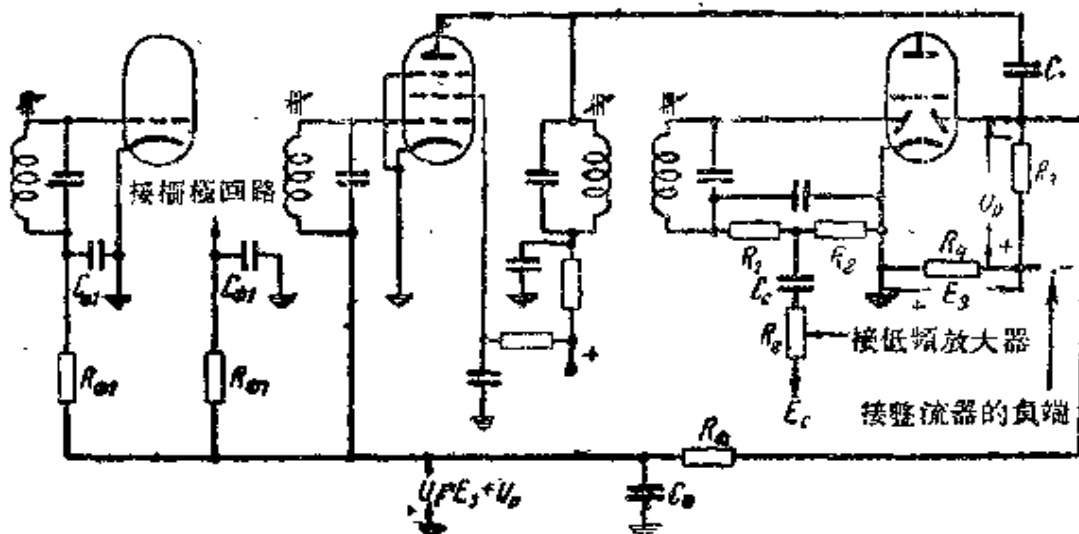


图 9-1 延迟式自动增益调整电路

为了表示互导积的巨大变化，图 9-2 中的纵坐标是用对数比例尺表示，而横坐标是用直线比例尺表示。

如给定起始偏压  $E_c$  等于延迟电压  $E_p$ ，则从图 9-2 中用这一偏压求出  $(S_1 S_2 S_3 \dots S_n)_{max}$ 。

因为增益与电子管互导成正比，所以从公式 (9-1) 将得出

$$(S_1 S_2 S_3 \dots S_n)_{max} = \frac{(S_1 S_2 S_3 \dots S_n)_{max}}{\frac{a}{p}}. \quad (9-2)$$

从图 9-2 中可根据  $(S_1 S_2 S_3 \dots S_n)_{max}$  的数值求出最大偏压  $E_{c,max}$  和可调电压  $U_p$ 。

求出自动增益调整整流器输入电压之最小振幅  $U_{m,ex,max}$ ，它相当于接收机输入端的最小电压，并等于所给定的灵敏度：

$$U_{m,ex,max} = E_s = \frac{U_p}{p-1}. \quad (9-3)$$

如果  $U_{m,ex,max}$  的数值大于  $|E_s|$ ，那就是说接收机的输入

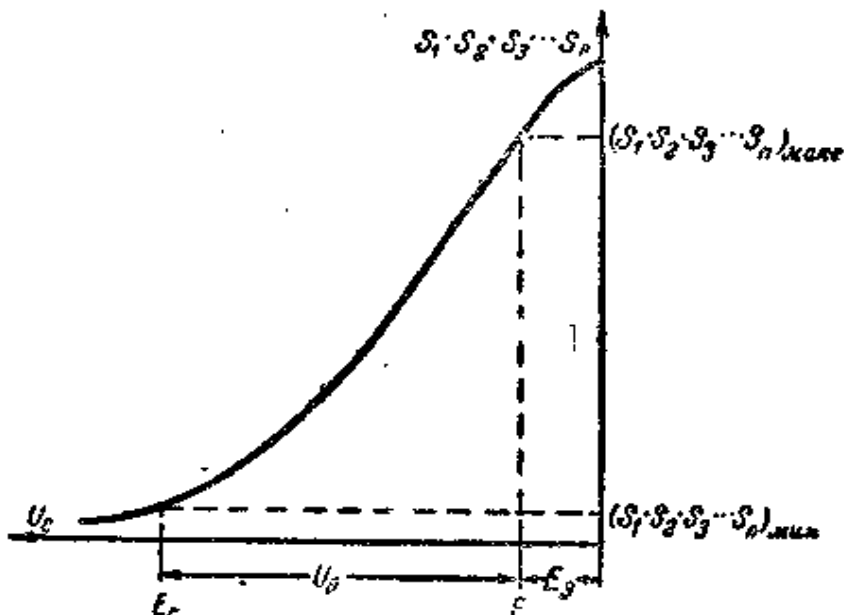


圖 9-2 在偏压变化时各电子管互导乘积变化曲綫的形狀

电压和输出电压不能达到规定的变化率。在这种情况下應該使用延迟—放大式自动增益調整电路。

接收机自动增益調整的特性曲綫用下式来求

$$E_A = E_{A,max} = \frac{(S_1 S_2 S_3 \cdots S_n)_{max}}{(S_1 S_2 S_3 \cdots S_n)} \left( 1 + \frac{U_p}{E_s} \right), \quad (9-4)$$

式中  $E_{A,max}$  ——給定的接收机灵敏度。

给出不同数值的  $U_p$ ，根据  $U_{max} = E_s + U_p$  的数值从圖 9-2 中求出  $(S_1 S_2 S_3 \cdots \cdots S_n)$  的对应值，而后用公式 (9-4) 来計算  $E_A$  的数值。

信号檢波器的輸出声压（在  $m=0,3$  时）等于  $U_{m,out} = -0.3 U_{m,out} K_o$ 。

为了計算方便起見，最好把所有的計算值列入表 9-1 中。

用表 9-1 中的数据画出自动增益調整特性曲綫（圖 9-3）。

为了能够表示出  $E_A$  的巨大变化，圖的横坐标軸取 对数比例

表 9-1

$U_p$	$E_A + U_p = U_{m, \text{max}}$	$S_1, S_2, S_3, \dots, S_n$	$E_A$	$U_{m, \text{min}} = 0.3 U_{m, \text{max}} K_\sigma$
—	—	—	—	—

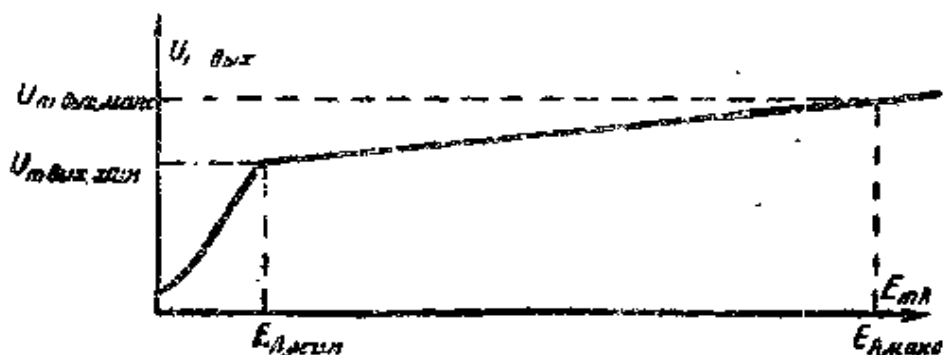


圖 9-3 自動增益調整特性曲線的形狀

尺，而縱坐标則取直線比例尺。

因为自动增益調整整流器的輸入电压等于檢波器的輸入电压，而此电压又与檢波器的輸出电压成正比，所以我們可以以縱坐标来表示檢波器輸出电压的变化。

在表 9-1 中沒有小于  $E_{A,\text{min}}$  的  $E_A$  值。因为檢波器輸出电压的变化与  $E_A$  成正比，所以它的減小与  $E_A$  的減小成線性关系。

應該考慮到橫坐标是用对數比例尺表示的，因此特性曲線的一部分將用对數曲線來表示，并且不通过坐标原点。

圖 9-3 上應該标出  $E_{A,\text{min}}$ 、 $E_{A,\text{max}}$ 、 $U_{m,\text{min},\text{max}}$  和  $U_{m,\text{max},\text{max}}$  各点。

自動增益調整濾波器的時間常數應具有这样的数值，能使

自动增益調整非常迅速地動作，而同時還不會產生信號解調現象。

自動增益調整濾波器的時間常數對電話接收機來說取為

$$\tau_p = C_p R_p = 0.02 - 0.2 \text{ 秒}, \quad (9-5)$$

而對於電報接收機來說則取為

$$\tau_p = 0.01 - 1 \text{ 秒}. \quad (9-6)$$

為了消除波調整級的自激現象 接入一個輔助濾波器  $R_{\phi 1}$   $C_{\phi 1}$ ，其時間常數為

$$\tau_{\phi 1} = C_{\phi 1} R_{\phi 1} = 0.1 \tau_p. \quad (9-7)$$

輔助濾波器的電容量應根據下列條件選擇

$$C_{\phi 1} \geq 100 C_{ex}, \quad (9-8)$$

式中  $C_{ex}$ —電子管的輸入電容。

為了簡化射頻系統回路的轉換電路和消除電子管柵極電路在轉換連接時的斷電現象，自動增益調整電壓和偏壓用圖 9-4 中的電路傳輸。

$C_2$  的電容量根據下列條件選擇

$$C_2 \geq 20 C_{ex}. \quad (9-9)$$

電阻  $R_2$  應具有這樣的數值，以便消除對回路的啟動旁路現象。

在頻率最低的分波段上回路的諧振阻抗最大。因此應該在這個分波段上選擇  $R_2$  的數值。

$$R_2 \geq 10 R_{\pi, max}. \quad (9-10)$$

為了提高自動增益調整整流器的輸入阻抗，負載電阻要有 1—1.5 兆歐，而  $C_1$  的電容約為 50—100 微微法。

自動增益調整整流器的輸入阻抗等於

$$R_{ex} \approx \frac{1}{3} R_2. \quad (9-11)$$

自动增益調整整流器接到濾波器初級電路上，而檢波器接到次級電路上。這樣連接檢波器和自動增益調整整流器時，可以使濾波器電路得到比較均勻的旁路，結果得到的回路衰減是相當一致的，從而提高了濾波器諧振曲線的形狀在回路可能失諧時的穩定性。

在這樣連接檢波器和自動增益調整整流器時，加到它們輸入端上的電壓在  $\beta=1$  時將是相同的，因為

$$U_2 = \beta U_1. \quad (9-12)$$

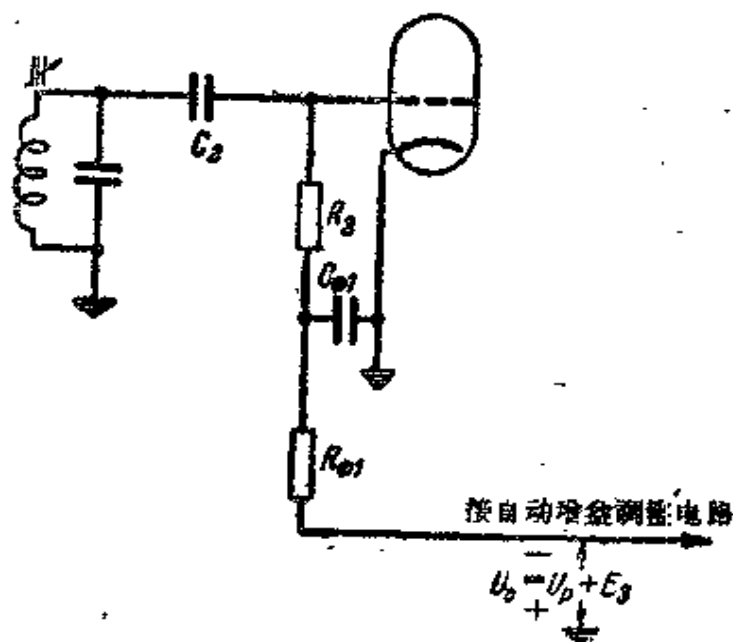


圖 9-4 把自動增益調整電壓和偏壓加到射頻系統電子管柵極上的電路

## 9-2 延遲和放大自動增益調整整流器輸出電

### 壓之直流分量的自動增益調整電路的計算

圖 9-5 是一個不同于延遲式自動增益調整電路的電路，其不同之點在於這個電路在自動增益調整整流器之後用直流通壓放大器來放大直流分量。

在直流电压放大器电路中，电阻接到板馈电源的负电路上，而流过电阻的是接收机全部电子管的板极和帘栅极电路的总电流，它很少受自动增益调整工作的影响。几十伏板馈电压都消耗在这些电阻上。

接被调电子管的栅极

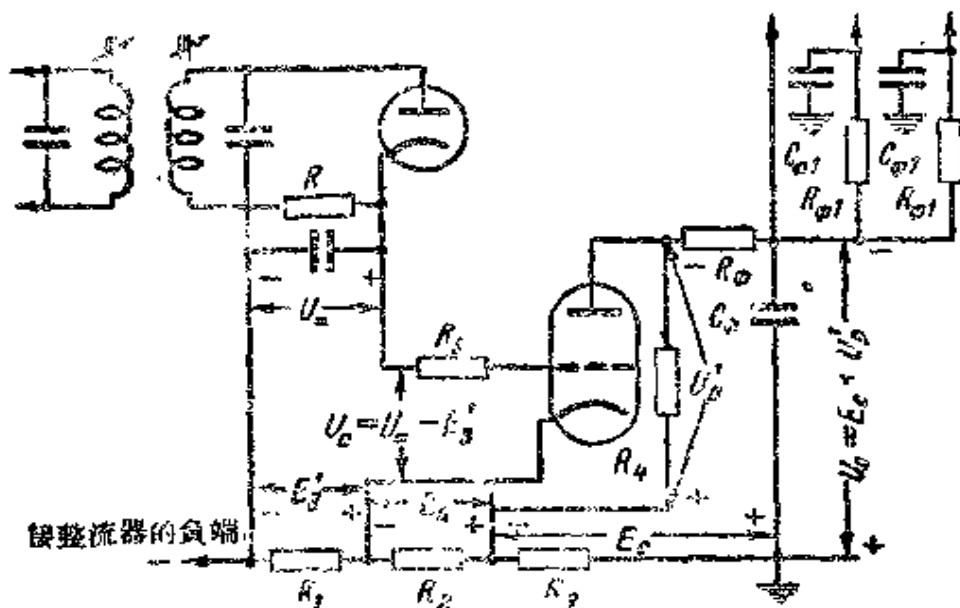


圖 9-5 延退放大式自動增益調整機械波器輸出電壓的直流通量的自動增益調整電路

使用对接收机底盤为负的小功率电源可以减小板压值。

电阻  $R_1$  是用来获得延退电压的。电阻  $R_2$  是用来取得板压的。从电阻  $R_3$  上取下全部被调整电子管的起始栅偏压。电阻  $R_4$  是直流放大器的板极负载。

电路的工作原理如下。在信号弱时自动增益调整整流器负载电阻上的整流电压是很小的，而三极管被负延退电压关锁，因为

$$U = - \sqrt{E_s^2}$$

三极管的电流将等于零，而负载电阻  $R_4$  上的调整电压  $U_p$  也

将等于零。这时加到被调管栅极上的只有从电阻  $R_3$  上取下来的起始偏压  $E_c$ 。

在信号强时  $U > |E'_3|$ , 三极管启开, 而流过电阻  $R_4$  的将是由于这个电阻的电压降  $U_p = I_a R_4$  所产生的板流。加到被调管栅极上的除了起始偏压之外, 还有调整电压  $U_p$ 。

电阻  $R_5$  是在已整流电压的数值很大时用来限制栅流的, 其数值约为 1 兆欧。

图 9-6 是自动增益调整直流电压放大器的工作图。

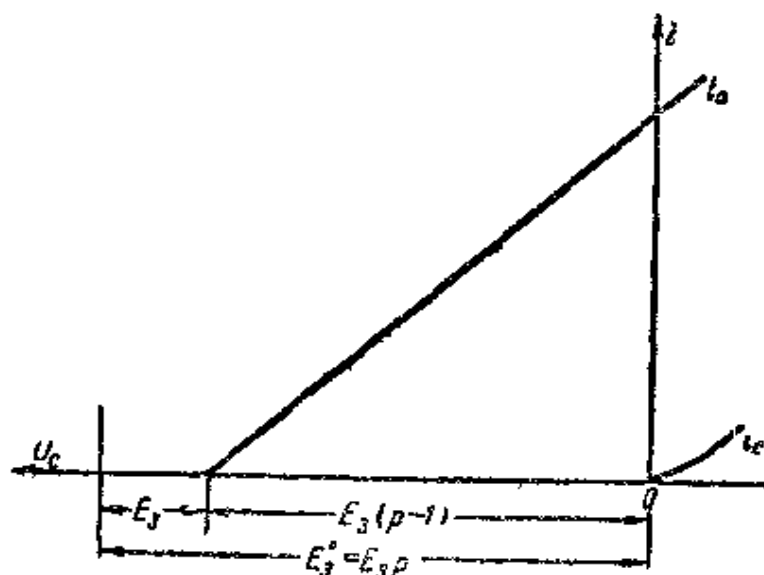


图 9-6 直流电压放大器的工作图

原始计算数据和延迟式自动增益调整电路相同。

自动增益调整整流器的计算方法也和延迟式自动增益调整整流器相同。

用图 9-2 可求出调整电压  $U'_p$  的必要值。这个电压应该在三极管板极负载的电压为  $E_{A, max}$  的情况下从电阻  $R_4$  上取得。

求出直流电压的增益系数,

$$K_{n,n} = \frac{U'_p}{E_3(p-1)}, \quad (9-13)$$

式中  $E_3 = U_{m0} \cdot m u_0$

直流通用放大器的计算从选择三极管开始。最好是根据接收机其余各级中所用的同类电子管来选择三极管。

电子管的增益系数根据下列条件来求

$$\mu \geq \frac{U_p + (5-10) \text{ 伏}}{E_3 - (p-1)} . \quad (9-14)$$

取自电阻  $R_2$  的三极管板压等于

$$E_a = E_3(p-1)\mu . \quad (9-15)$$

根据流过电阻  $R_1$ 、 $R_2$  和  $R_3$  的接收机总电流  $I_{o\delta m}$  来求电阻  $R_2$ ：

$$R_2 = \frac{E_a}{I_{o\delta m}} = \frac{E_3}{I_{o\delta m}} (p-1)\mu . \quad (9-16)$$

板极负载电阻等于

$$R_t = \frac{R_1}{\frac{\mu}{K_m} - 1} , \quad (9-17)$$

式中 三极管的  $\mu$  和  $R_1$  是在栅压为零和板压为若干伏时得到的。

其次求出电阻  $R_1$  和  $R_3$ ：

$$R_1 = \frac{E_a \rho}{I_{o\delta m}} , \quad (9-18)$$

$$R_3 = \frac{E_a}{I_{o\delta m}} . \quad (9-19)$$

用公式(9-5)、(9-6)和(9-7)来计算滤波器  $R_\phi C_\phi$  和  $R_{\phi 1} C_{\phi 1}$ 。

如果要得到最大增益，板极负载电阻必需根据下列条件选择：

$$R_t = \frac{E_a - (5-10) \text{ 伏}}{I_0} = \frac{E_3(p-1)\mu - (5-10) \text{ 伏}}{I_0} , \quad (9-20)$$

式中  $I_0$ ——三極管在柵压为零和板压为 5~10 伏时的板流。

### 9-3. 被調整管的帘網極和控制柵極的电源

为了保証自动增益調整良好地工作，必須使得当被調整管的控制柵極的調整电压  $U_p$  变化时，帘柵压  $E_s$  和起始偏压  $E_c$  不發生变化。

随着接收机輸入端信号电压的增大，調整负电压  $U_p$  的絕對值也增大，結果減小了被調管的陰極电流和板極电流。

如果被調整管的帘柵極用压降电阻供电和用陰極电阻来取得起始偏压，那末陰極电流和帘柵电流的減少会使偏压  $|E_c| = I_k R_{cm}$  降低和使帘柵压  $E_s = E - I_s R_s$  增大，这里  $E$ ——电源电压。

偏压絕對值的減小和电子管帘柵压的增大会引起互导的增大，而阻碍互导的減小，但是在自動增益調整工作时互导是应当減小的。

接收机总电流在接入电源負电路的电阻上产生一个电压降（它同时是延迟电压），利用这个电压降来使被調整管得到一个不受自动增益調整工作影响的柵偏压。

如果被調整管帘柵压經過一个其中的总电流比帘柵流大 2~4 倍的分压器，那么这个电压也可以不受自动增益調整工作的影响。

## 第十章 接收机的綜合特性曲綫的計算

当接收机各个系統的計算完畢之后，必須計算綜合特性曲綫。

接收机高頻系統 在每个分波段的邊端頻率上的增益系数

(檢波器以前的增益系数), 可以用公式(2-23)來計算:

$$K_{np,em} = K_{mpa} K_{mnu}.$$

我們利用与延迟电压相当的檢波器輸入电压  $U_{m\sigma,ex}$  来計算出接收机在每个分波段的邊端頻率上的灵敏度。

$$E_{A,peak} = \frac{U_{m\sigma,ex}}{\sqrt{2} K_{np,em}}. \quad (10-1)$$

接收机在每个分波段的邊端頻率上的諧振曲綫，是用射頻系統的諧振曲綫和中頻系統的諧振曲綫相乘的方法画出来的（圖10-1），兩种諧振曲綫的計算方法參看 § 4-12 和 6-11。

利用接收机的諧振曲綫可以求出接收机对相邻波道的选择性和諧振曲綫在每个分波段的邊端頻率上的頻率失真系数，也就是接收机高频部分的頻率特性。

低頻放大器的頻率特性可以給定，也可以計算出来。

如果接收机和低頻放大器的諧振曲綫的頻率失真系数用分貝表示，那末可以把各对应頻率下的頻率失真系数相加，来求出接收机的电压保真度曲綫（圖10-2）。

对广播接收机來說，要計算声压保真度曲綫，并且要利用电压保真度曲綫和电动式揚声器的幅頻特性曲綫兩者（圖10-2）來求出它的不均匀性。

調頻接收机的电压保真度曲綫只由低頻放大器决定，而声压保真度曲綫應該由低頻放大器和揚声器兩者决定。

如果保真度曲綫的頻率失真系数同号，那么它的不均匀性由最大的頻率失真系数决定。

对鏡頻波道和等于中頻的頻率的选择性的計算方法參看 § 4-12 和 4-13。

每个分波段的統調曲綫的計算方法參看 § 6-7。

自動增益調整的特性曲綫的計算方法參看 § 9-1。

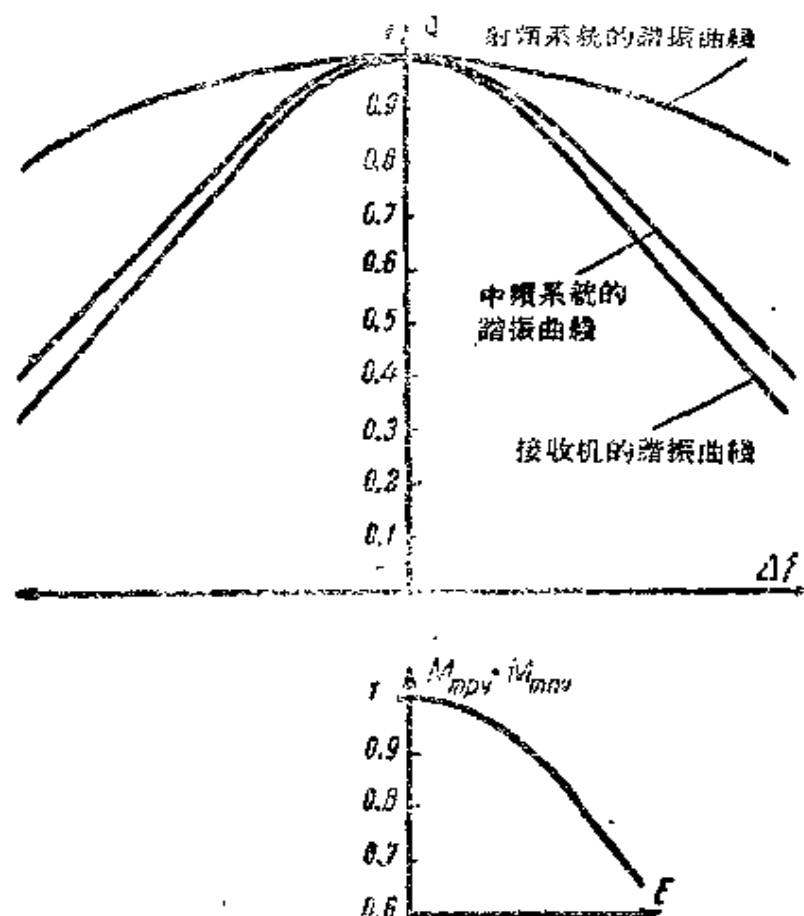


圖 10-1 接收机的谐振曲线

接收机所消耗的功率的計算方法如下。

各电子管的板极和帘栅极电路所消耗的功率等于：

$$P_a = E_a (I_{a1} + I_{a2} + I_{a3} + \dots + I_{s1} + I_{s2} + I_{s3}), \quad (10-2)$$

式中  $E_a$ ——接收机底盤和电源正極之間的板極电压；

$I_{a1}, I_{a2}$  和  $I_{a3}$ ——电子管的板極电流；

$I_{s1}, I_{s2}$  和  $I_{s3}$ ——用降压电阻供电时电子管帘栅极电路中的电流或者用分压器供电时电路中的总电流。

接在負电源电路上用来取得起始偏压和延迟电压的电阻  $R_o$  所消耗的功率等于

$$P_o = I_{o\mu}^2 R_o, \quad (10-3)$$

式中  $I_{o6u}$ ——接收机的总电流。

高压消耗的总功率为

$$P_{a06} = 1.2 (P_a + P_c), \quad (10-4)$$

式中系数 1.2 考虑了由于电子管的板极和帘栅极电流的参差所必需的备分功率。

高压电源的电压为

$$E = E_a + I_{o6u} R_o. \quad (10-5)$$

电子管的灯丝电路在并联时所消耗的功率等于

$$P_n = 1.2 E_n (I_{n1} + I_{n2} + I_{n3} + \dots), \quad (10-6)$$

而在串联时为

$$P_n = 1.2 I_n (E_{n1} + E_{n2} + E_{n3} + \dots + E_{n6}), \quad (10-6)$$

式中  $I_n$ ——电子管的灯丝电流；

$E_n$ ——每一只电子管的灯丝电压；

$E_{n6}$ ——镇流管或降压电阻上的电压降。

接收机所消耗的总功率为

$$P_x = P_{a06u} + P_n. \quad (10-7)$$

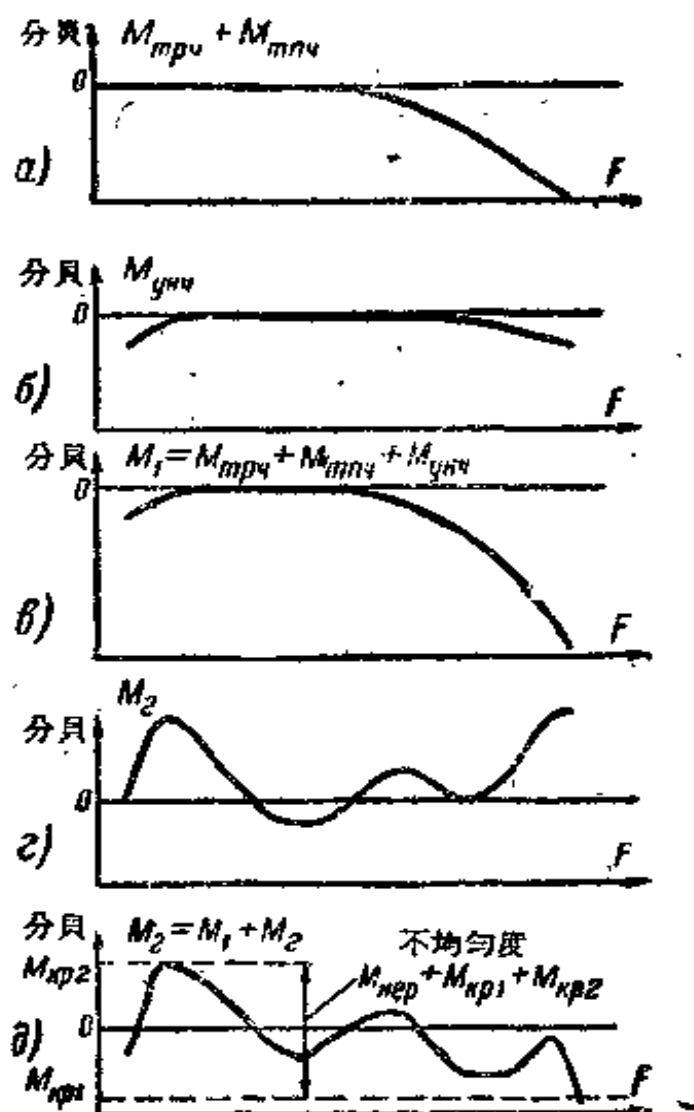


圖 10-2 接收机的电压和声压的保真度曲线

## 附 录

### 在大失諧時對鏡頻波道的選擇性

回路的選擇性表示，在回路的電容器上的諧振時的電壓究竟比失諧時的電壓大多少倍：

$$S_{sep\kappa} = \frac{U_0}{U} = \frac{e_0 Q_a}{e A}, \quad (\Pi-1)$$

式中  $U_0$  和  $U$ ——分別為諧振時和失諧時回路電容器上的電壓；

$e_0$  和  $e$ ——分別為諧振時和失諧時引入回路的電動勢；

$Q_a$ ——回路的等效品質因數（諧振傳輸系數）；

$A = \frac{Q_a X}{\sqrt{1 + Q_a^2 \left( \frac{1 - X^2}{X} \right)^2}}$ ——失諧時回路的傳輸系數；

$X = \frac{f_0}{f_0 + 2f_{np}}$ ——失諧系數。

所謂大失諧是指失諧系數為  $X > 1.1$  或  $X < 0.9$  的失諧。

在大失諧時，如果  $1 \ll Q_a^2 \left( \frac{1 - X^2}{X} \right)^2$ ，則回路的傳輸系數將等於：

$$A = \frac{X^2}{|1 - X^2|}. \quad (\Pi-2)$$

把公式 (Pi-2) 代入公式 (Pi-1) 後，得到：

$$S_{sep\kappa} = \frac{e_0 Q_a}{e} \cdot \frac{|1 - X^2|}{X^2}. \quad (\Pi-3)$$

現在讓我們來求大失帶時輸入裝置對鏡頻波道的選擇性。  
為此，我們要確定諧振時和失諧時引入回路的電動勢。

回路與天線用電感耦合的輸入裝置（圖 3-8），如果不考慮天線電路諧振的情況，我們得到：

$$e_0 = I_A \omega_0 M = \frac{E_A}{\omega_0 L_{ce}} \omega_0 M = \frac{M}{L_{ce}} E_A,$$

$$e = I_A \omega M = \frac{E_A}{\omega L_{ce}} \omega M = \frac{M}{L_{ce}} E_A.$$

回路與天線用電容耦合的輸入裝置（圖 3-6）：

$$e_0 = -\frac{C_0}{C_0 + C_y} E_A = e,$$

式中  $C_0$ ——回路的等效電容。

內電容耦合的輸入裝置（圖 3-7）：

$$e_0 = I_A \frac{1}{\omega_0 C'_0} = -\frac{E_A}{\frac{1}{\omega_0 C_{ce}}} = -E_A \frac{C_{ce}}{C'_0},$$

$$e = I_A \frac{1}{\omega C'_0} = -\frac{E_A}{\frac{1}{\omega C_{ce}}} = -E_A \frac{C_{ce}}{C'_0}.$$

式中  $C'_0 = \frac{C_{ce} C_y}{C_{ce} + C_y}$ .

當  $m_{1c}^2 R_{ex} \gg \omega L'_1$  時，在匹配狀態下工作的自耦變壓器耦合的輸入裝置（圖 3-1）

$$e_0 = I_A m_{1c}^2 R_{ex} = e.$$

可見，在諧振時和失諧時引入回路的電動勢相等，即

$$e = e_0. \quad (\text{II-4})$$

把 (II-4) 代入 (II-3) 後，得到：

$$S_{sep\alpha} = Q_\alpha \left| \frac{1 - X^2}{X^2} \right|. \quad (\text{II-5})$$

現在讓我們來求大失諧時高頻放大級對鏡頻波道的選擇性。為此，我們要求出諧振時和失諧時引入回路的電動勢。

變壓器耦合的放大級（圖 4-6）：

$$e_0 = I_a \omega_0 M; \quad e = I_a \omega M.$$

直接耦合的放大級（圖 4-2）：

$$e_0 = I_a \omega_0 L_1; \quad e = I_a \omega L_1.$$

在匹配狀態下工作的自耦變壓器耦合的放大級（圖 4-1）：

$$e_0 = I_a \omega_0 U'_1; \quad e = I_a \omega U'_1.$$

在諧振時和失諧時引入回路的電動勢  $e$  不相等。

把引入回路的電動勢的值代入式(II-3)後，我們便得到在大失諧時任何高頻放大級電路對鏡頻波道的選擇性之一般表達式，

$$S_{sep\kappa} = \frac{\omega_0}{\omega} Q_a \frac{|1 - X^2|}{X^2}.$$

因為  $\frac{\omega_0}{\omega} = X$ ，所以

$$S_{sep\kappa} = Q_a \frac{|1 - X^2|}{X}. \quad (\text{II-6})$$

公式(II-5)和(II-6)的區別僅為分母的乘數不同。當  $X < 1$  時，輸入裝置對鏡頻波道的選擇性比放大級大，而當  $X > 1$  時則相反。

### 應用五極管的放大器的工作穩定度

根據涅塊斯特準則，全部回路都調到諧振時，放大器的穩定度最差。

當  $f <$  兆赫且回路調到諧振時，具有單回路和耦合回路的放大級的穩定增益系數等於：

$$K_{sym} = \gamma \sqrt{\frac{S}{\omega_0 C_{a,e,s}}} \quad (\text{II-7})$$

$$K_{sym} = \gamma \beta \sqrt{\frac{S}{\omega_0 C_{a,e,s}}} \quad (\text{II-8})$$

式中  $\beta = \frac{K}{d_p}$  ——广义的耦合系数。

表 II-1 中示出了系数  $\gamma$  与级数  $n$  的关系。

表 II-1

$n$	1	2	3	4	5	6	$n \rightarrow \infty$
$\gamma$	0.45	0.31	0.27	0.26	0.25	0.24	0.22

## 参考文献

- Сифоров В. И., Радиоприемные устройства, Воениздат, 1951.
- Колосов А. А., Резонансные системы и резонансные усилители, Связьиздат, 1949.
- Изюмов Н. М., Радиокремль, Воениздат, 1954.
- Куликовский А. А., Частотная модуляция в радиосвещании и радиосвязи, Госэнергоиздат, 1947.
- Куликовский А. А., Болошин И. А. и Потрясай В. Ф., Основы учебного проектирования радиоприемников, Госэнергоиздат, 1956.
- Славерс А. П., Радиоселекционные приемники (расчет и проектирование), "Советское радио", 1952.
- Лебедев В. Д. Радиоприемные устройства, Связьиздат, 1955.
- Баркан В. Ф., Жданов В. К., Радиоприемные устройства, Оборонгиз, 1956.
- Быков Ю. С., Валиков Р. А., Гуткин И. С. (под ред. проф. Левина Г. А.). Задачник по курсу радиоприемных устройств, Госэнергоиздат, 1947.
- Лейтес Р. Д., Руководство по курсовому проектированию радиоприемательских приемников супергетеродинного типа, Связьиздат, 1954.
- Лабутин В., Расчет многослойного фильтра, "Радио", 1956, № 12.
- Щуцкий К. А., Курсовое и капитальное проектирование радиоприемников, изд. ВЭТС, 1953.
- Щуцкий К. А., Автоматическая регулировка усиления, "Радио", 1951, № 10.
- Щуцкий К. А., Расчет ёмкости блокировочных конденсаторов, "Радио", 1956, № 4.
- Щуцкий К. А., Исследование обратных связей в усилителях за счет проходной ёмкости, Кандидатская диссертация, май, 1955.